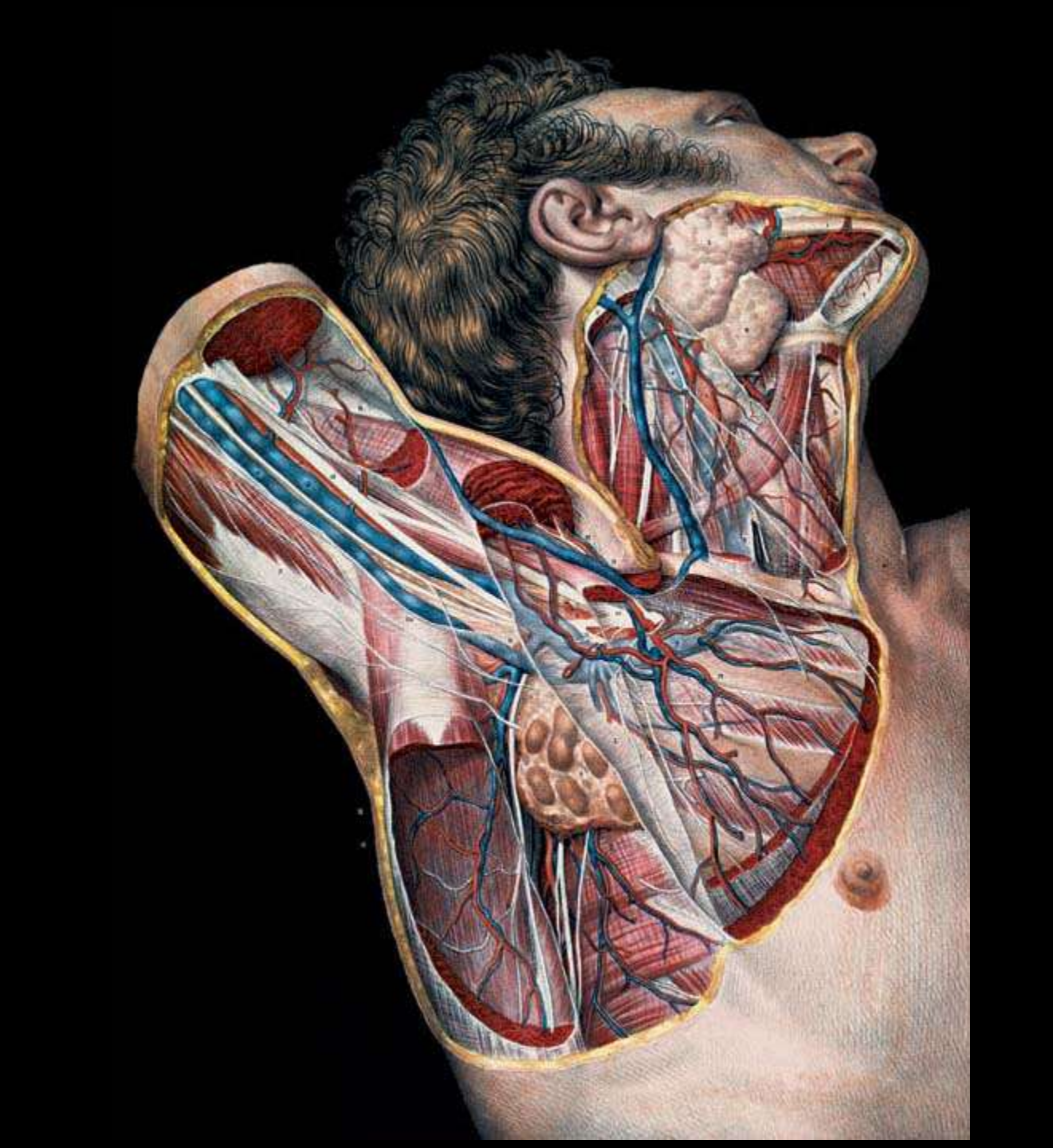
Collège des Enseignants de Radiologie de France (CERF)

Enseignements DES
Module national "Anatomie"
Paris – 6 février 2015

Variabilité anatomique vasculaire (artères, veines, et lymphatiques)

Jean-Marie LE MINOR
Faculté de Médecine de Strasbourg



1. Variabilité humaine

Variabilité individuelle = polymorphisme Notion fondamentale en biologie





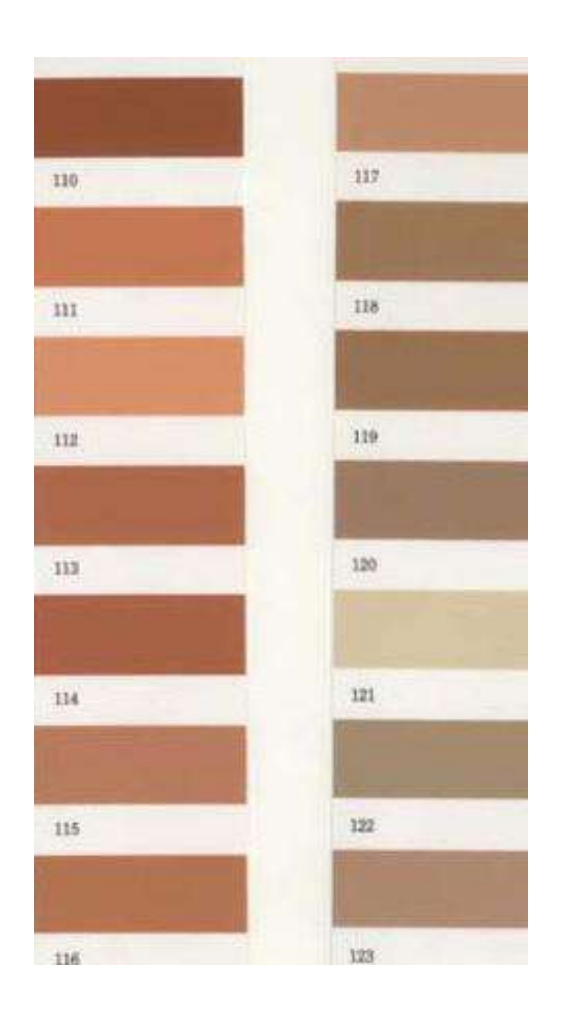
VARIABILITÉ MORPHOLOGIQUE EXTERNE

- > PIGMENTATION CUTANÉE
- > COULEUR DES YEUX (IRIS)
 - > COULEUR DES CHEVEUX
 - > PILOSITÉ

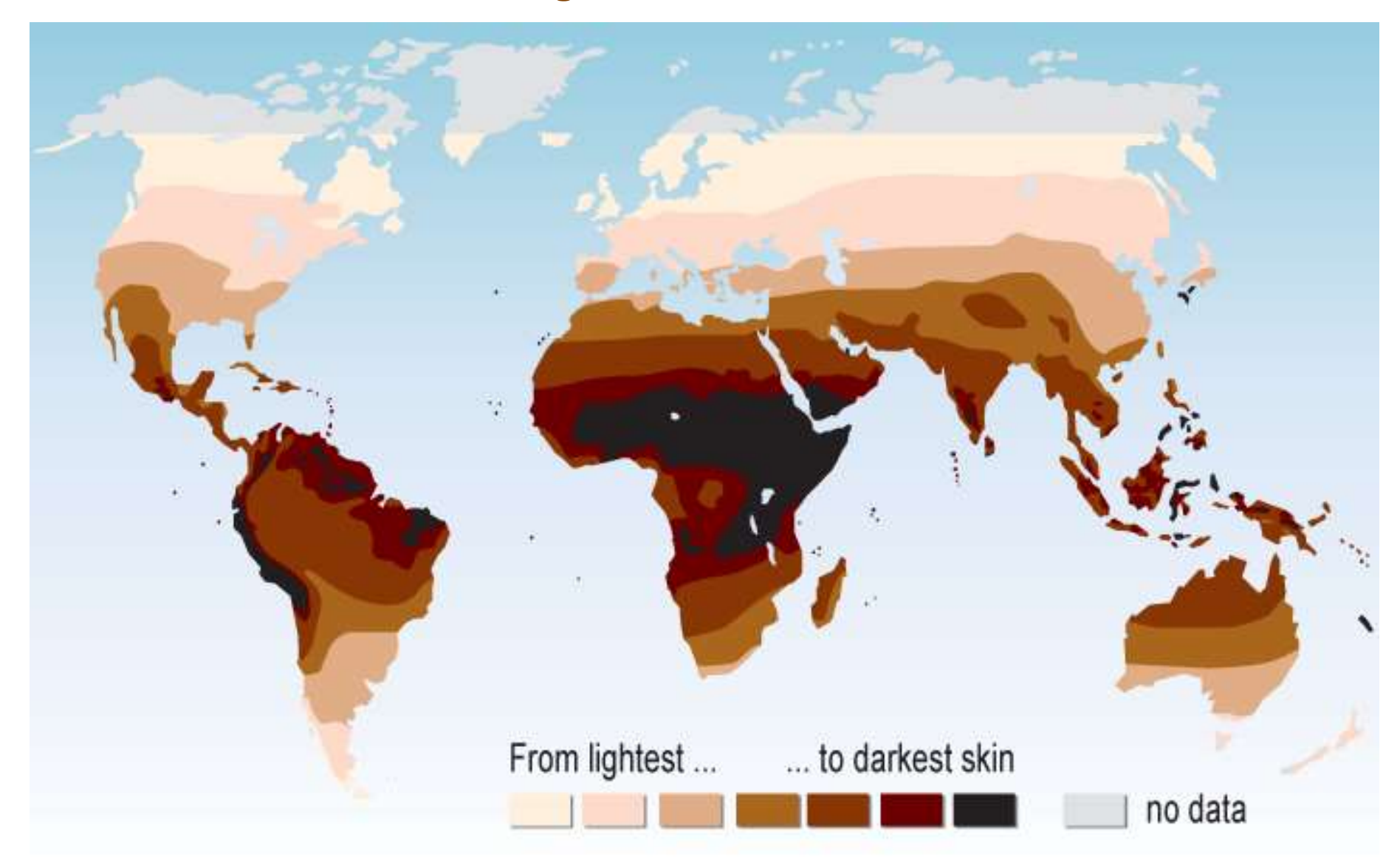


Pigmentation cutanée

1	10		19	28	
2	11		20	29	
3	12		21	30	
4	13		22	31	
5	14		23	32	
6	15		24	33	
7	16		25	34	
8	17		26	35	
9	18		27	36	



Pigmentation cutanée



Couleur des yeux (iris)

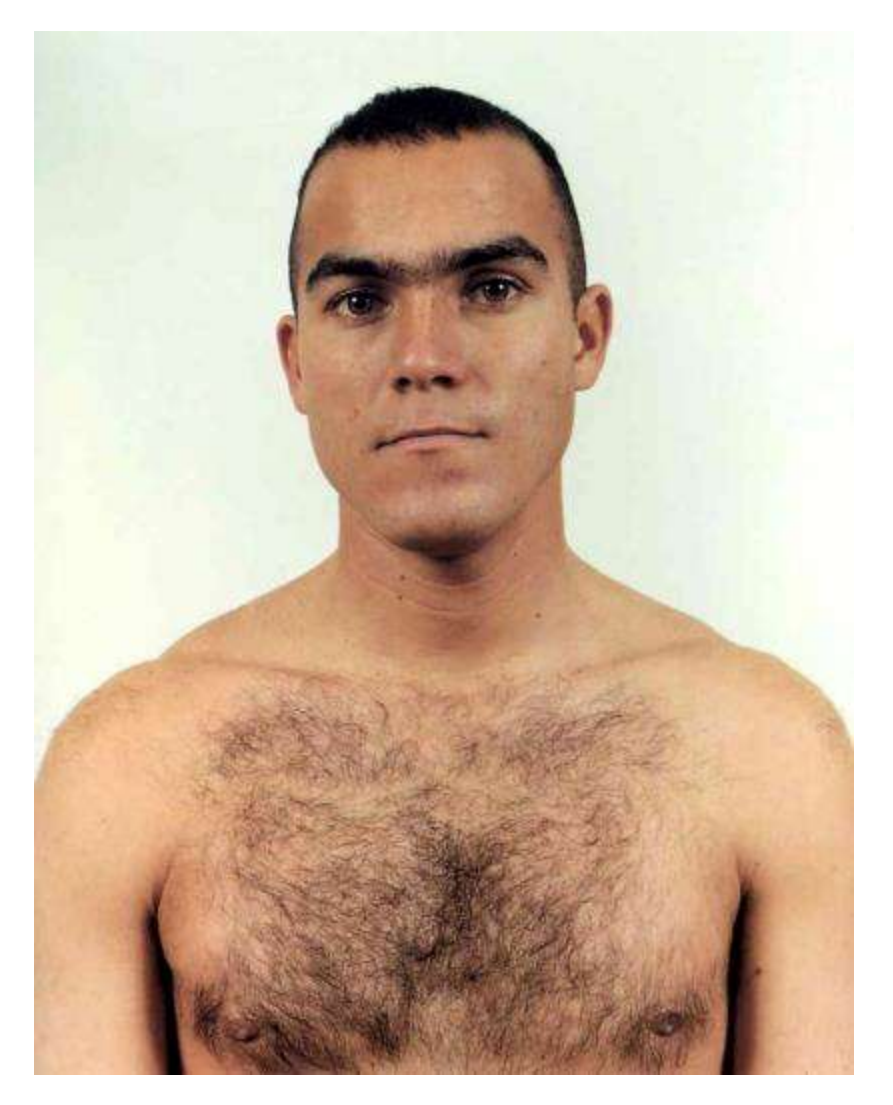


Couleur des cheveux



Pilosité corporelle





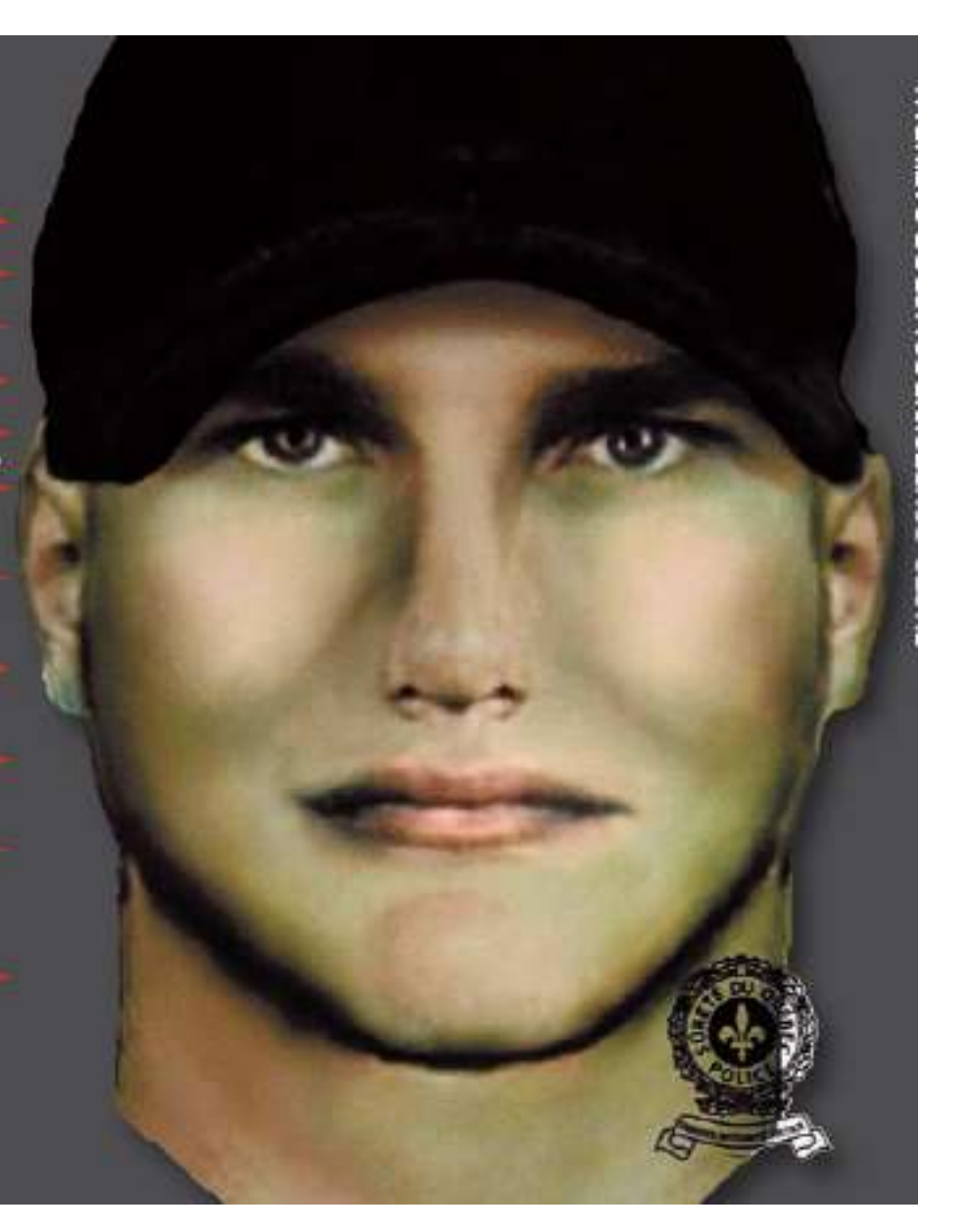
VARIABILITÉ MORPHOLOGIQUE EXTERNE

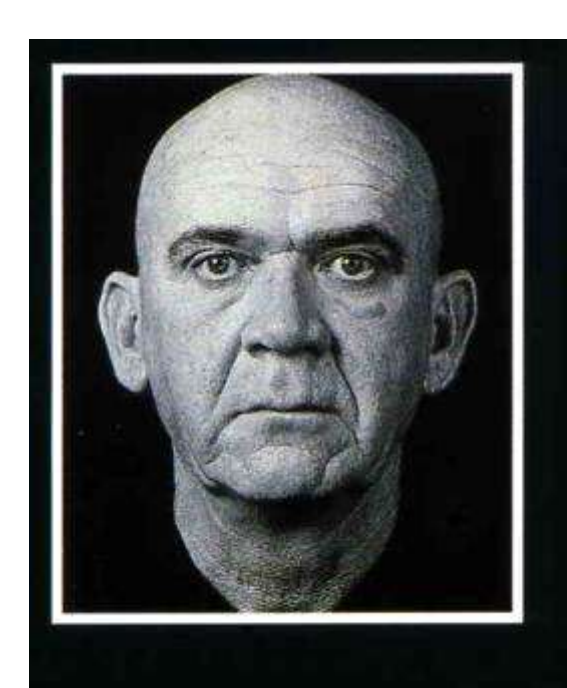
> FORME DES DIFFÉRENTES PARTIES DU CORPS

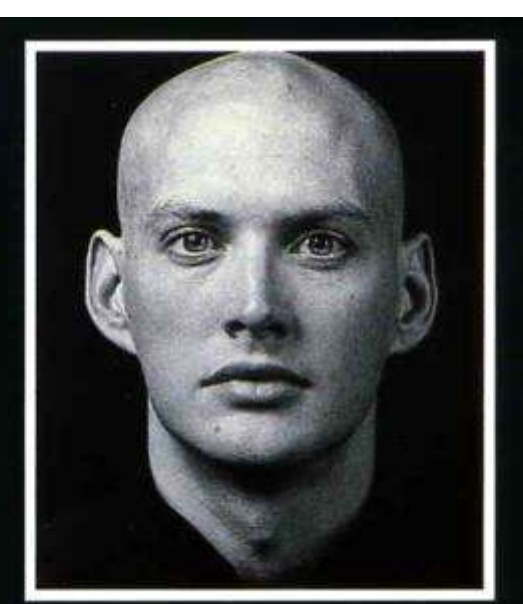
("portrait-robot")

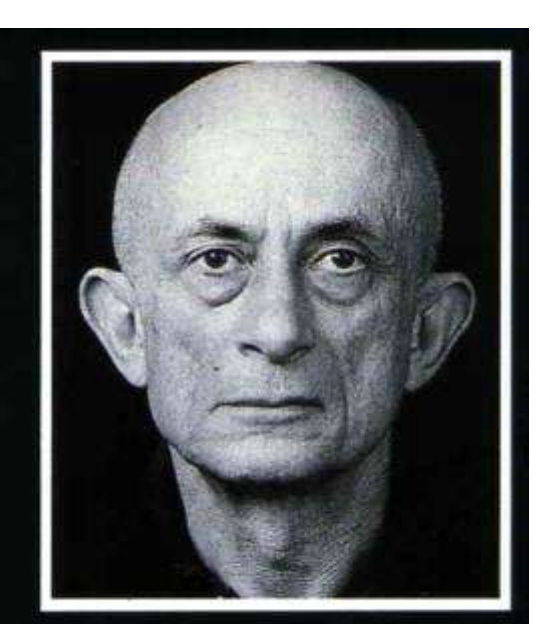
L'avez-vous vu?

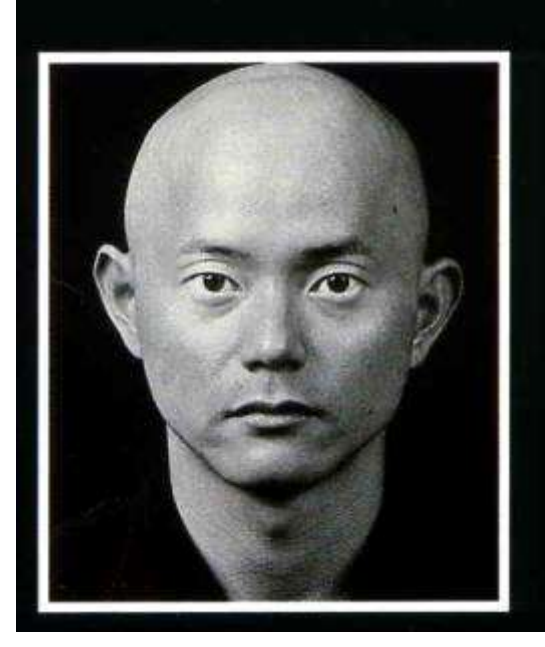
- Homme blanc, âgé de 20 à 35 ans
- ■1,78 m à 1,83 m (5 pi 10 po à 6 pi)
- 90 kg et plus (200 lb et plus)
- Francophone, sans accent
- Costaud naturel sans toutefois etre obese
- Petit ventre, grosses mains, allure negligee
- Teint legerement olive, comme une personne qui n'est pas en sante.?
- N'avait ni barbe ni moustache lorsqu'apercu le 23 aout 2011.
- Cheveux fonces, probablement courts. Il portait une casquette.
- Regard qualifie d'intimidant et inquietant par les temoins.
- Toute personne qui détient des renseignements peut les communiquer en appelant au 819 243-2346, poste 6677.
- Une récompense de 10 000 \$ est offerte par le biais de Jeunesse au Soleil à toute personne fournissant de l'information menant à une arrestation.

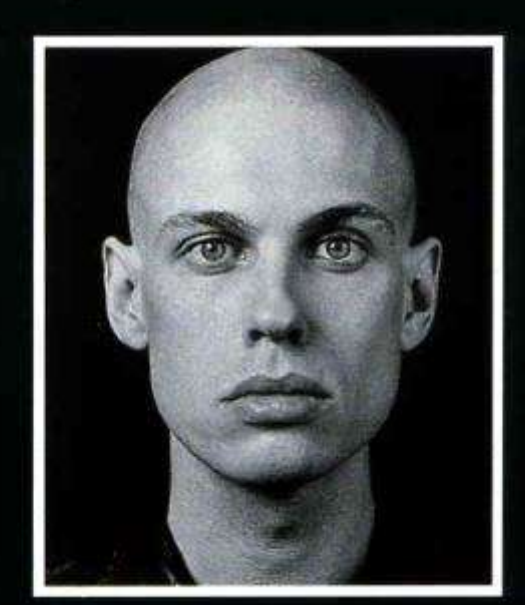


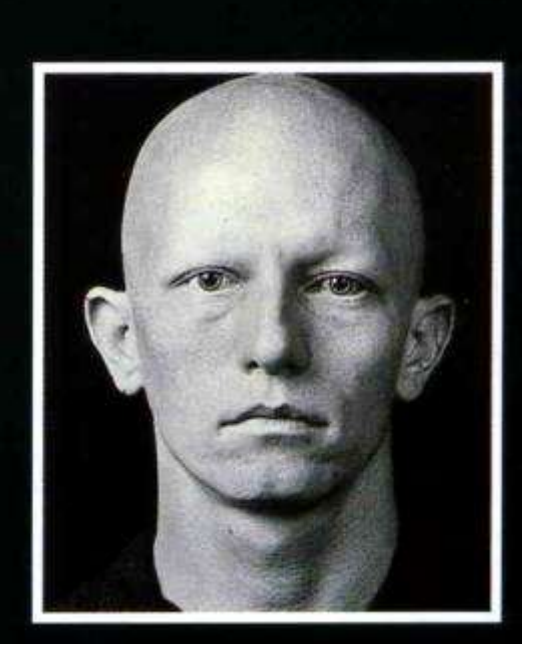






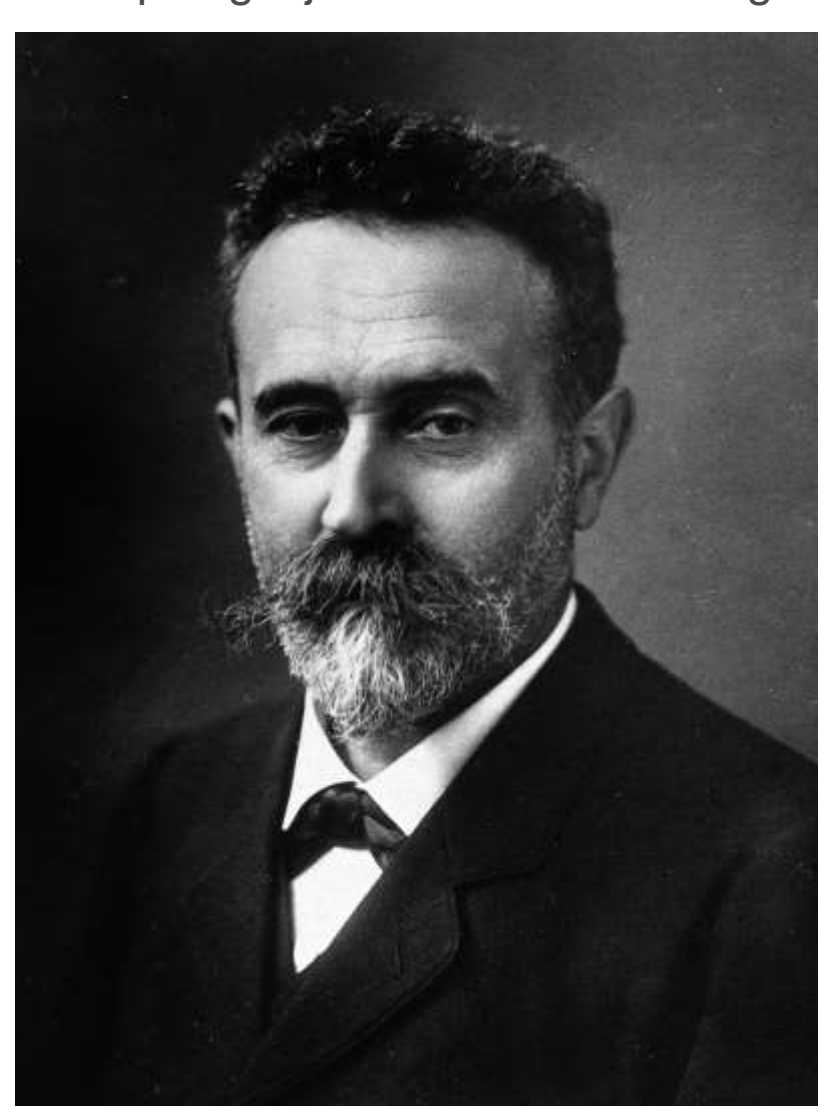


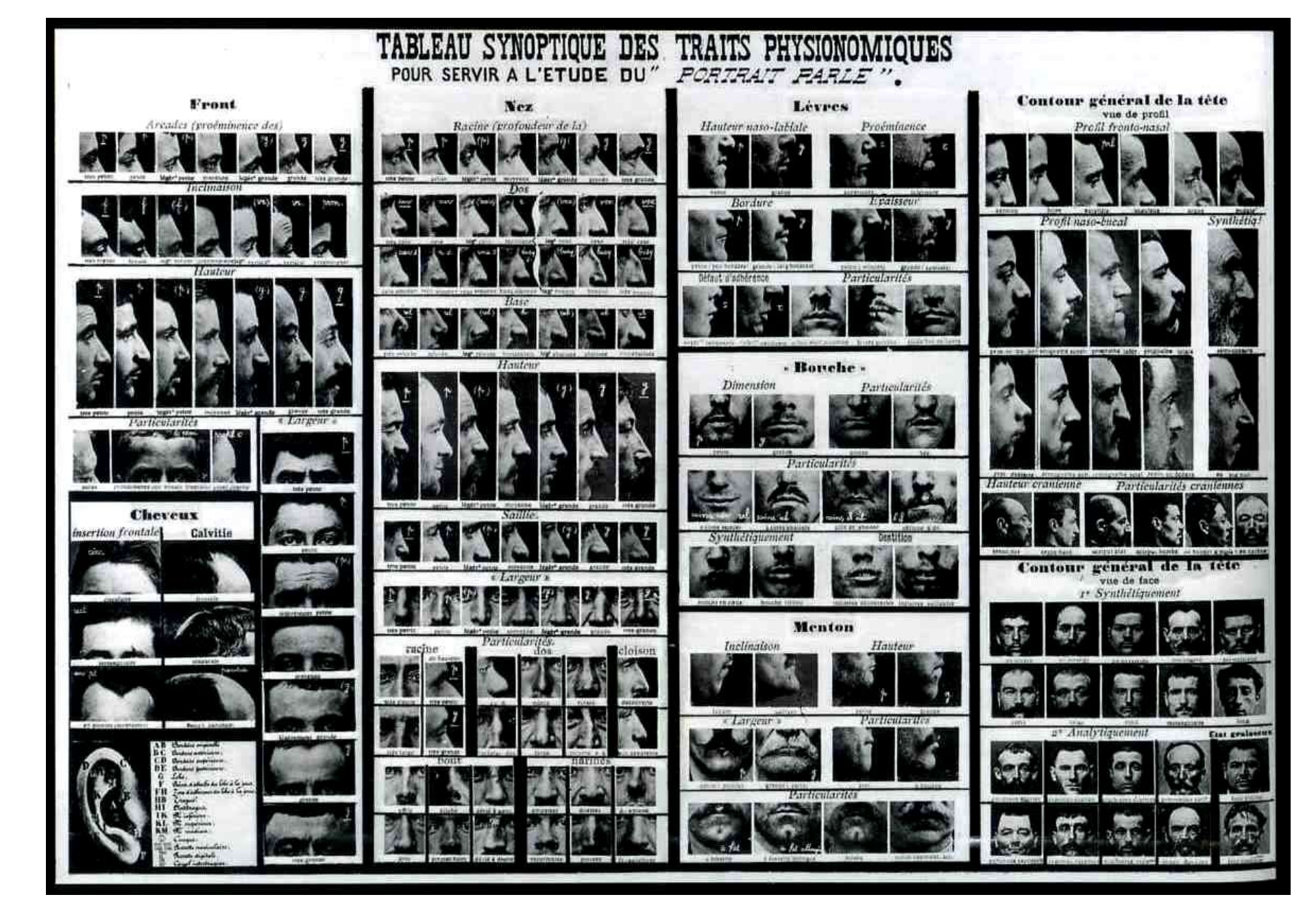




Alphonse BERTILLON (1853-1914)

1870 : premier laboratoire de police d'identification criminelle anthropologie judiciaire— "bertillonage"

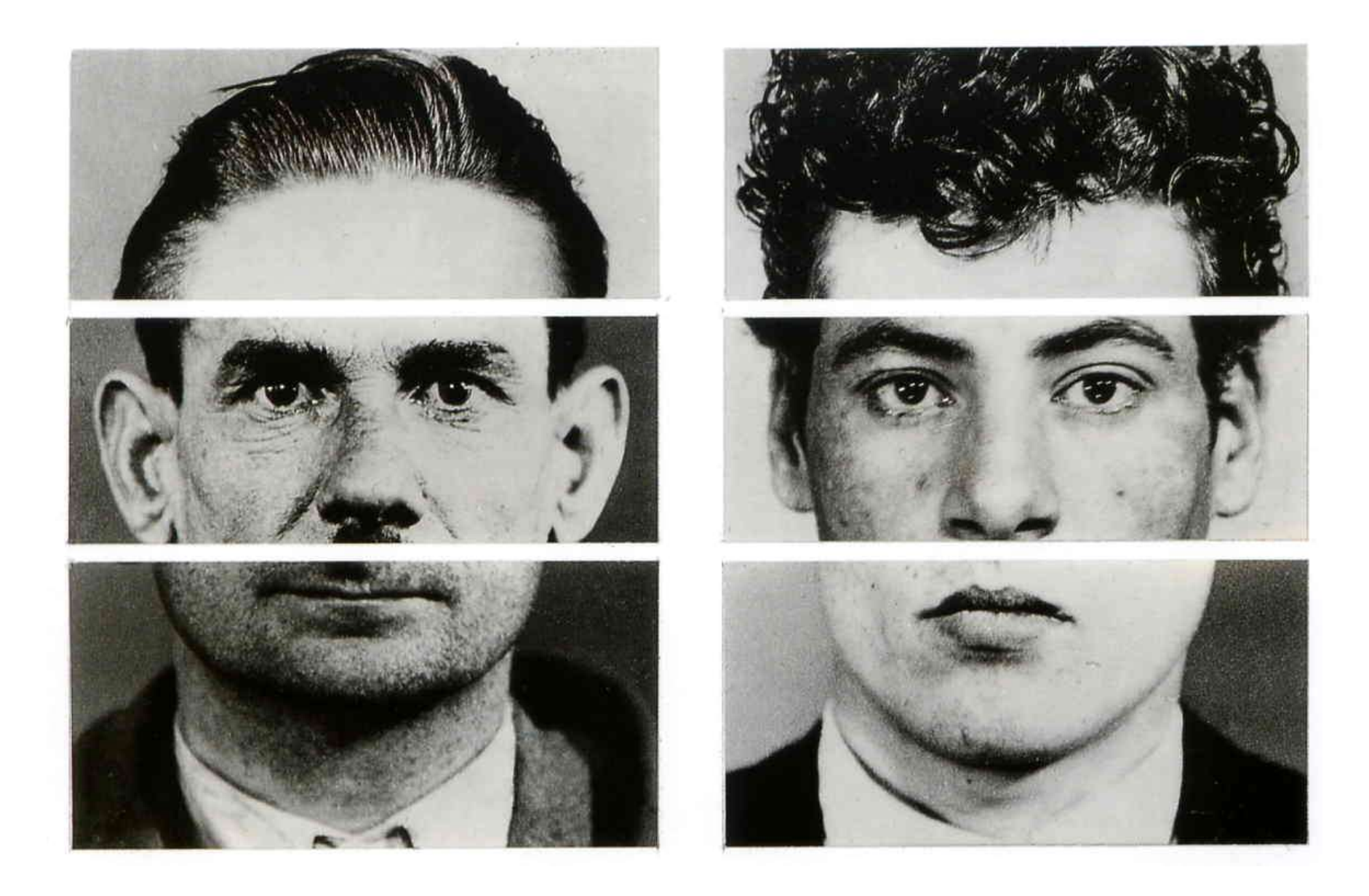


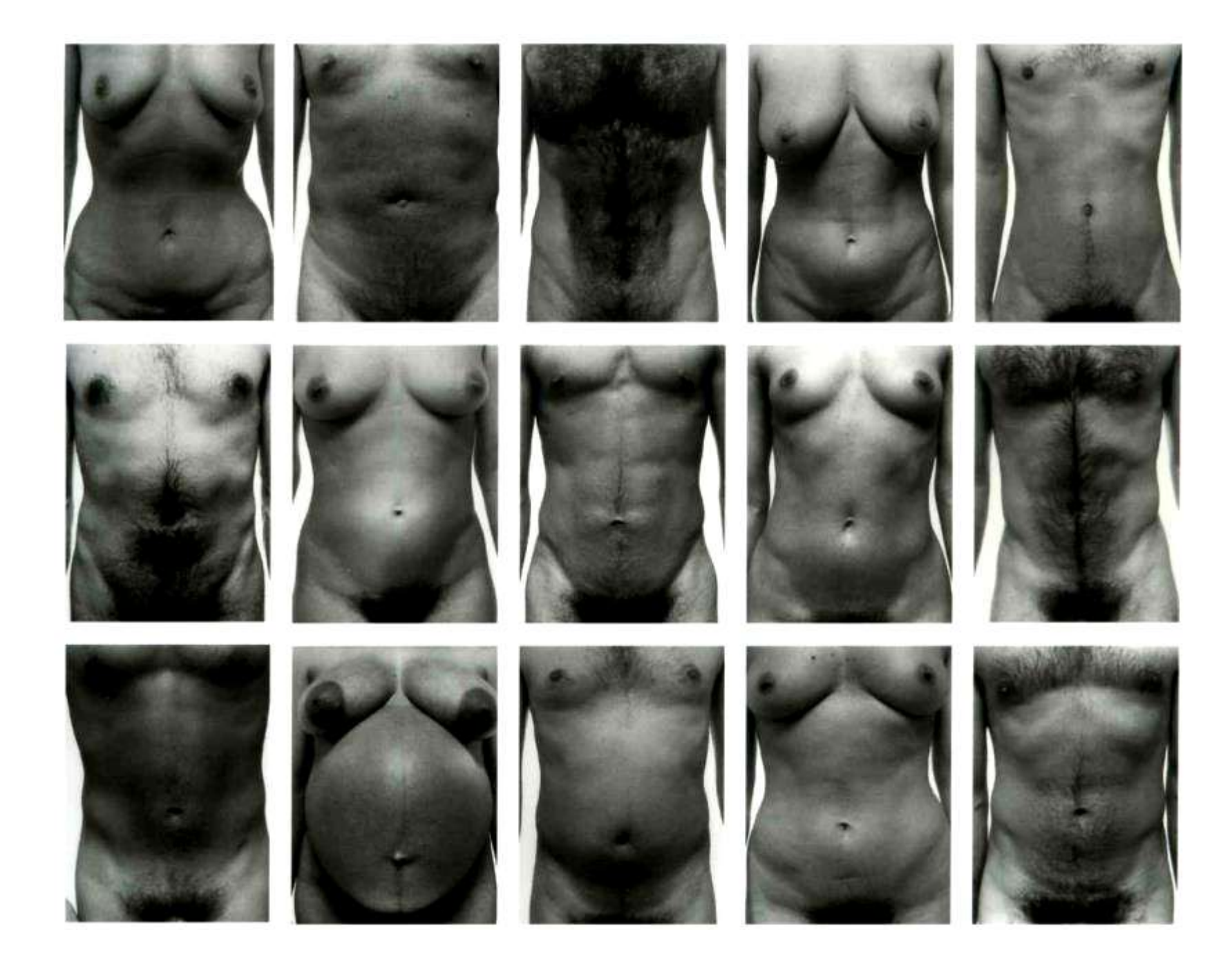


Nez



tres petite petite légèr* petite moyenne légèr* grande grande







VARIABILITÉ MORPHOLOGIQUE EXTERNE

➤ DERMATOGLYPHES

Dermatoglyphes



ARC BOUCLE TOURBILLON

Dermatoglyphes





VARIABILITÉ ANATOMIQUE INTERNE

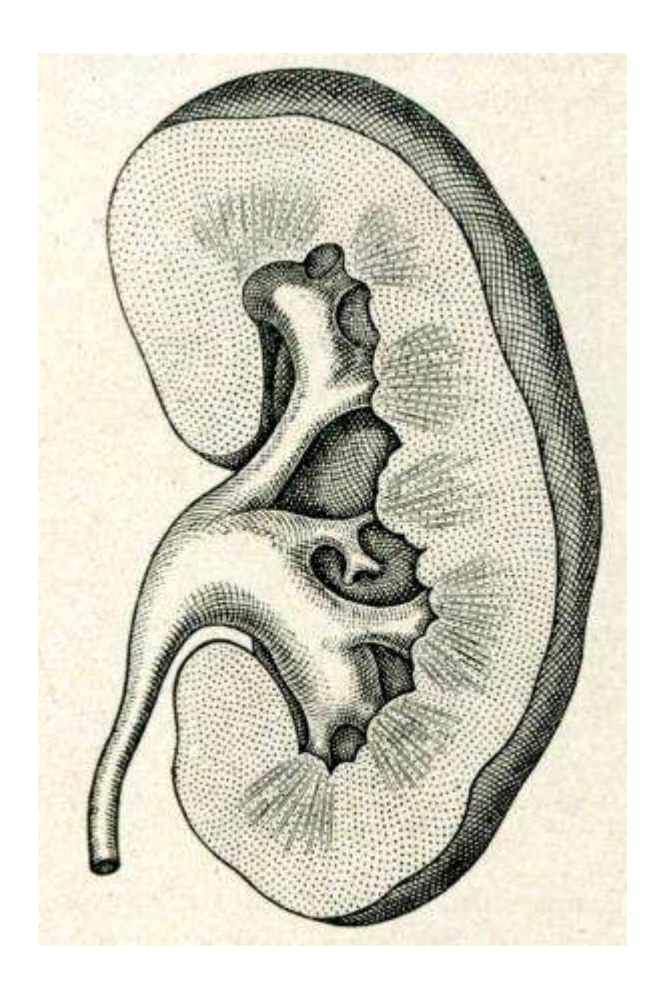
- > OSSEUSE
- > DENTAIRE
- > ARTICULAIRE
- > MUSCULAIRE
- > VASCULAIRE (ARTÉRIELLE, VEINEUSE...)
 - > NERVEUSE
 - > VISCÉRALE

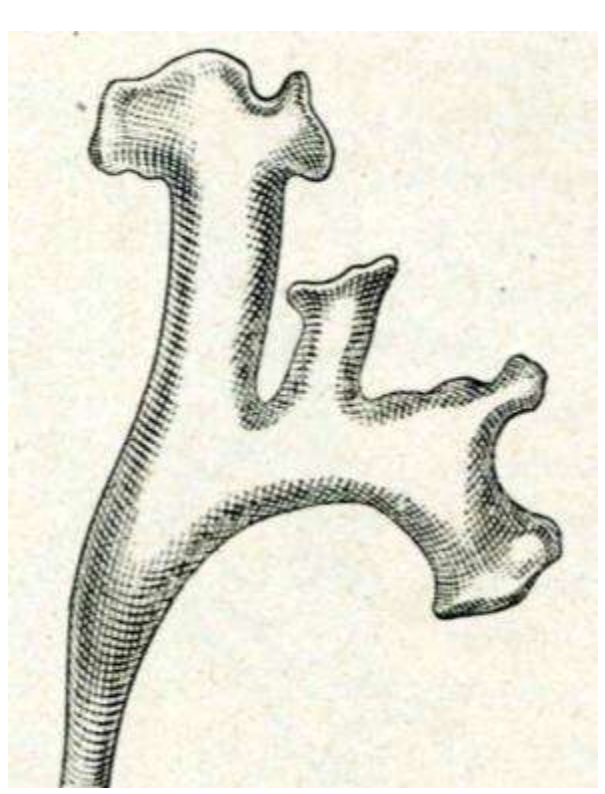


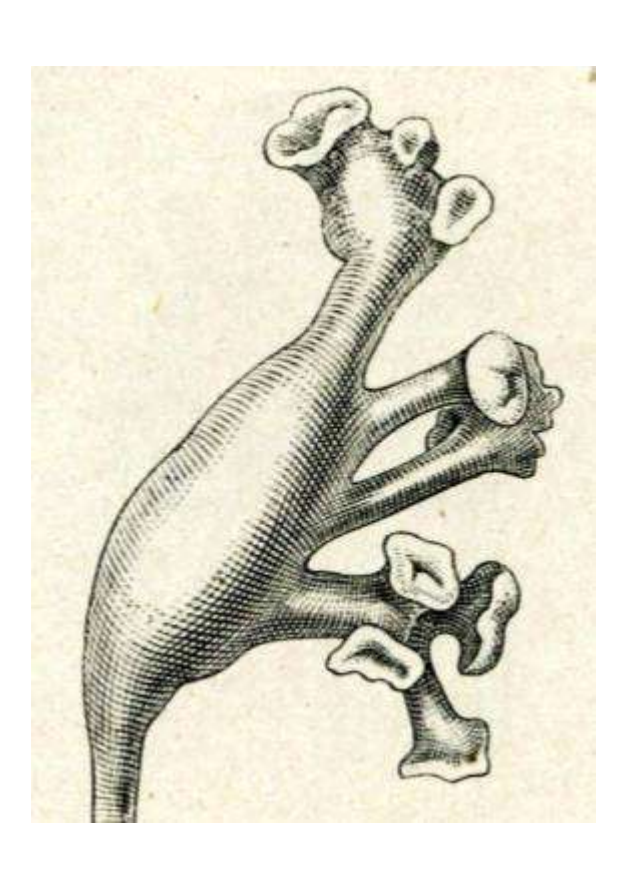
56,5 % des individus



41,0 % des individus







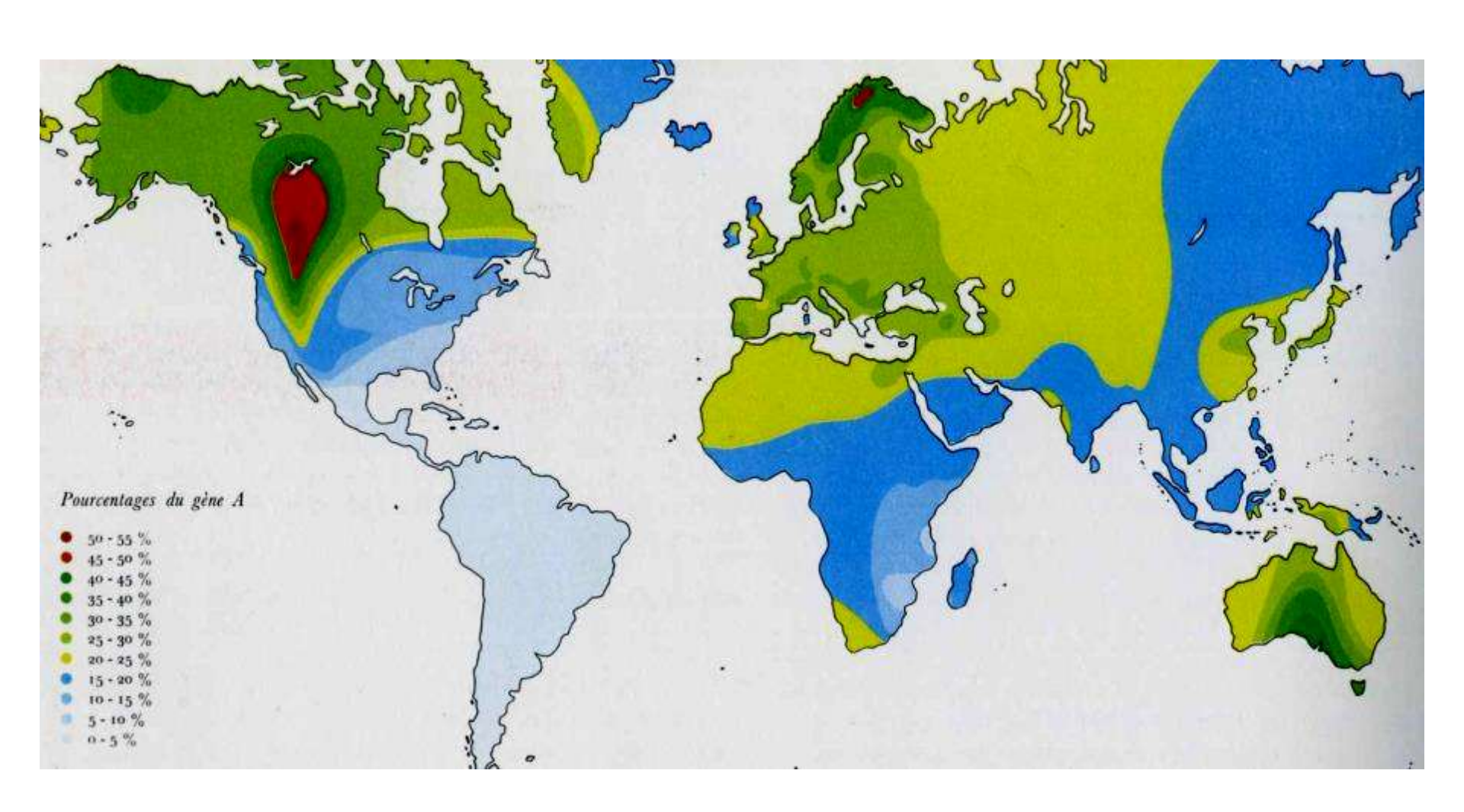
VARIABILITÉ VISCÉRALE (REIN) : SEGMENTATION PYÉLO-CALICIELLE

VARIABILITÉ BIOLOGIQUE ET MOLÉCULAIRE

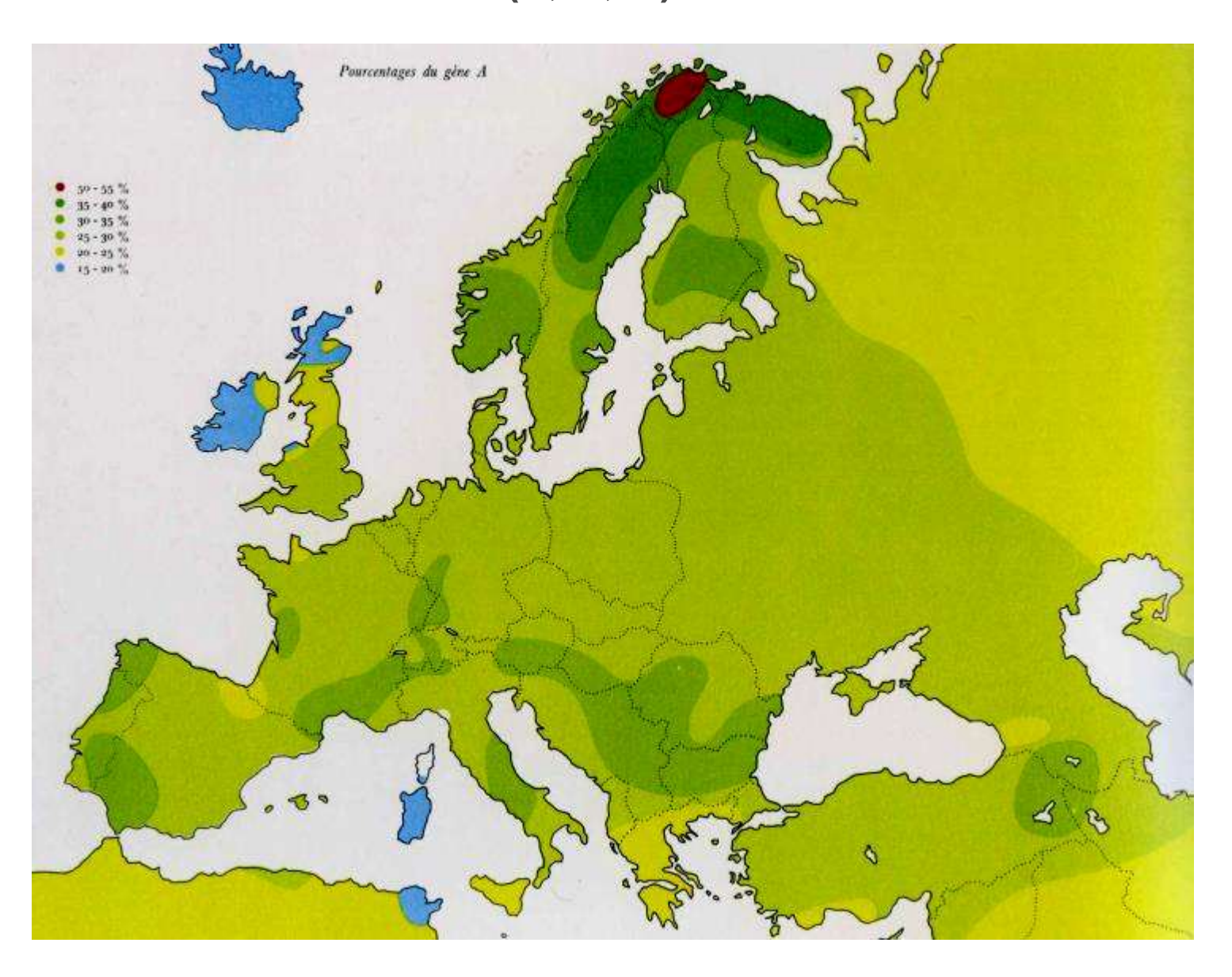
- > GROUPES SANGUINS
- > PROTÉINES ex: hémoglobine
 - > ADN, ARN

polymorphisme génétique – empreintes génétiques

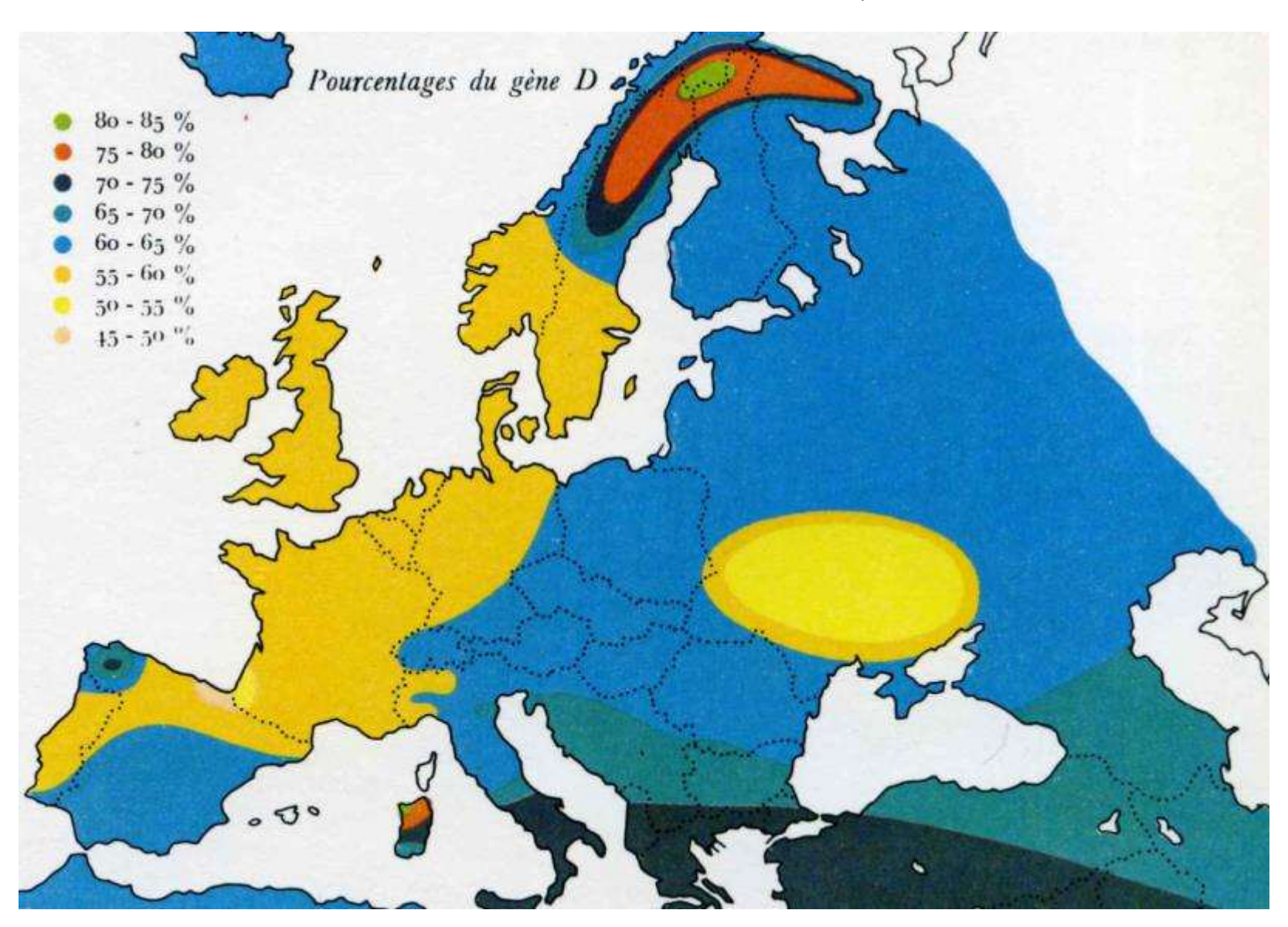
GROUPES SANGUINS (A, B, O): FRÉQUENCE GROUPE A



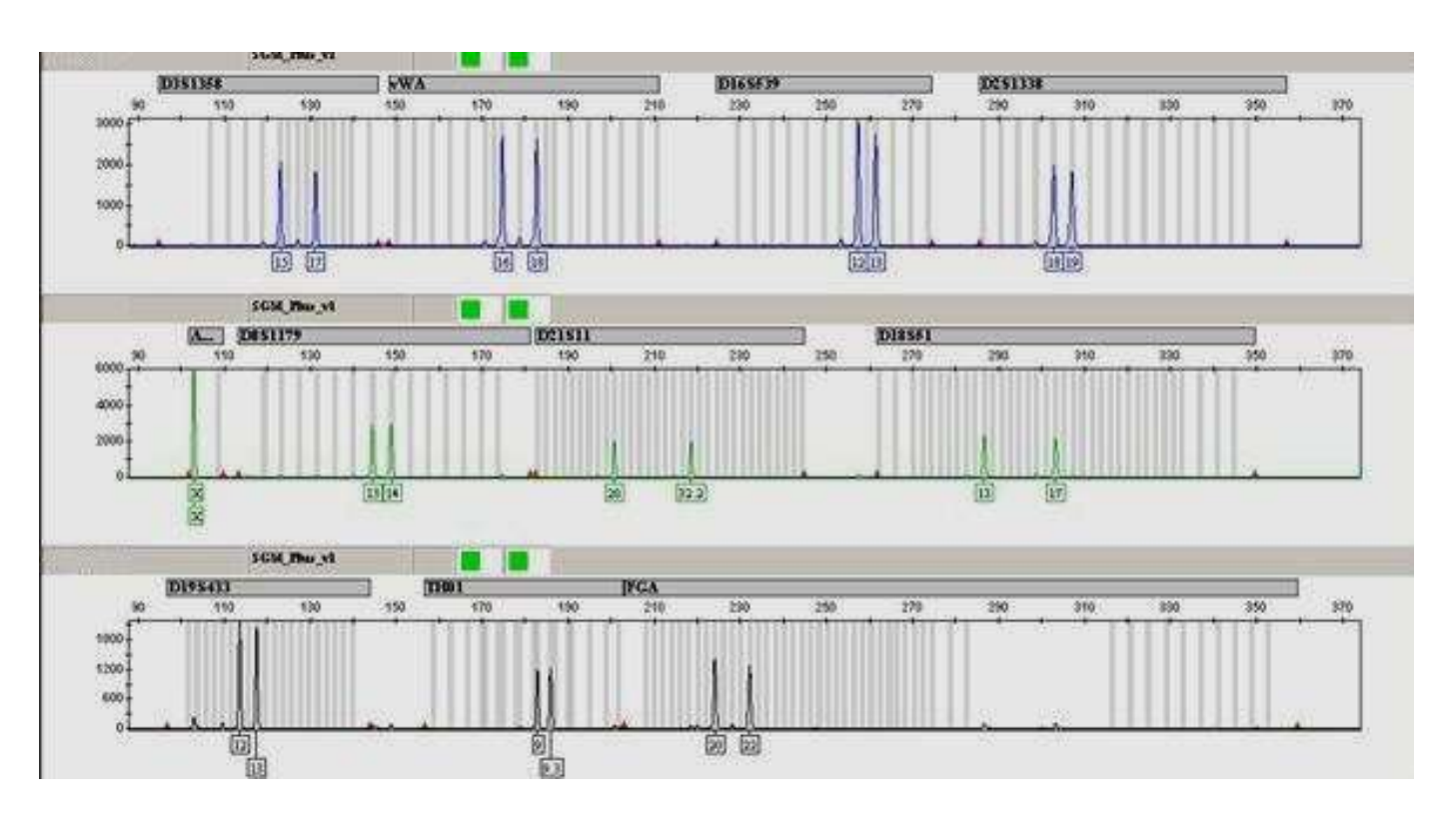
GROUPES SANGUINS (A, B, O): FRÉQUENCE GROUPE A

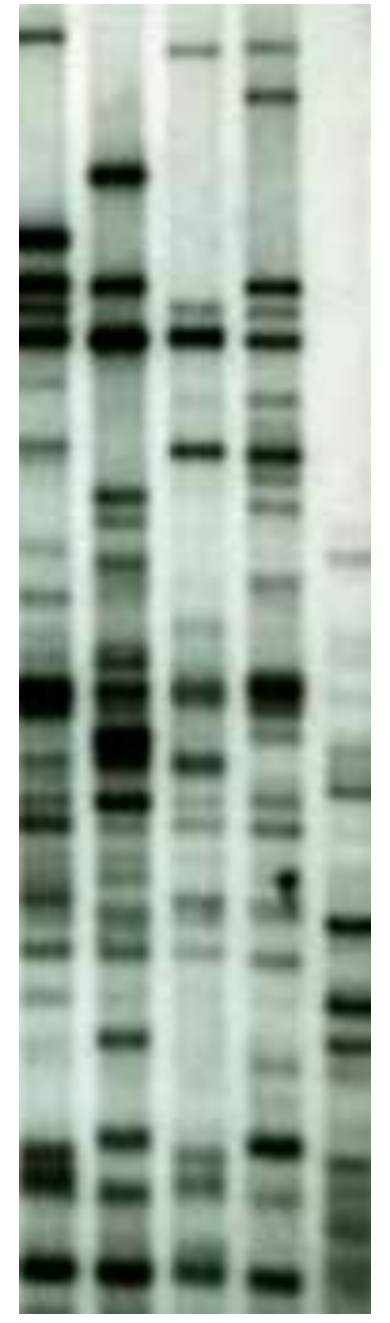


FACTEURS SANGUINS RHÉSUS: FRÉQUENCE GROUPE D



POLYMORPHISME GÉNÉTIQUE : SÉQUENCAGE DE L'ADN





2. Aspects méthodologiques

TYPES DE VARIABILITÉ ANATOMIQUE

2 TYPES:

- 1°) VARIABILITÉ QUANTITATIVE = CARACTÈRES MÉTRIQUES
- 2°) VARIABILITÉ QUALITATIVE = CARACTÈRES NON-MÉTRIQUES = CARACTÈRES DISCRETS

TYPES DE VARIABILITÉ ANATOMIQUE

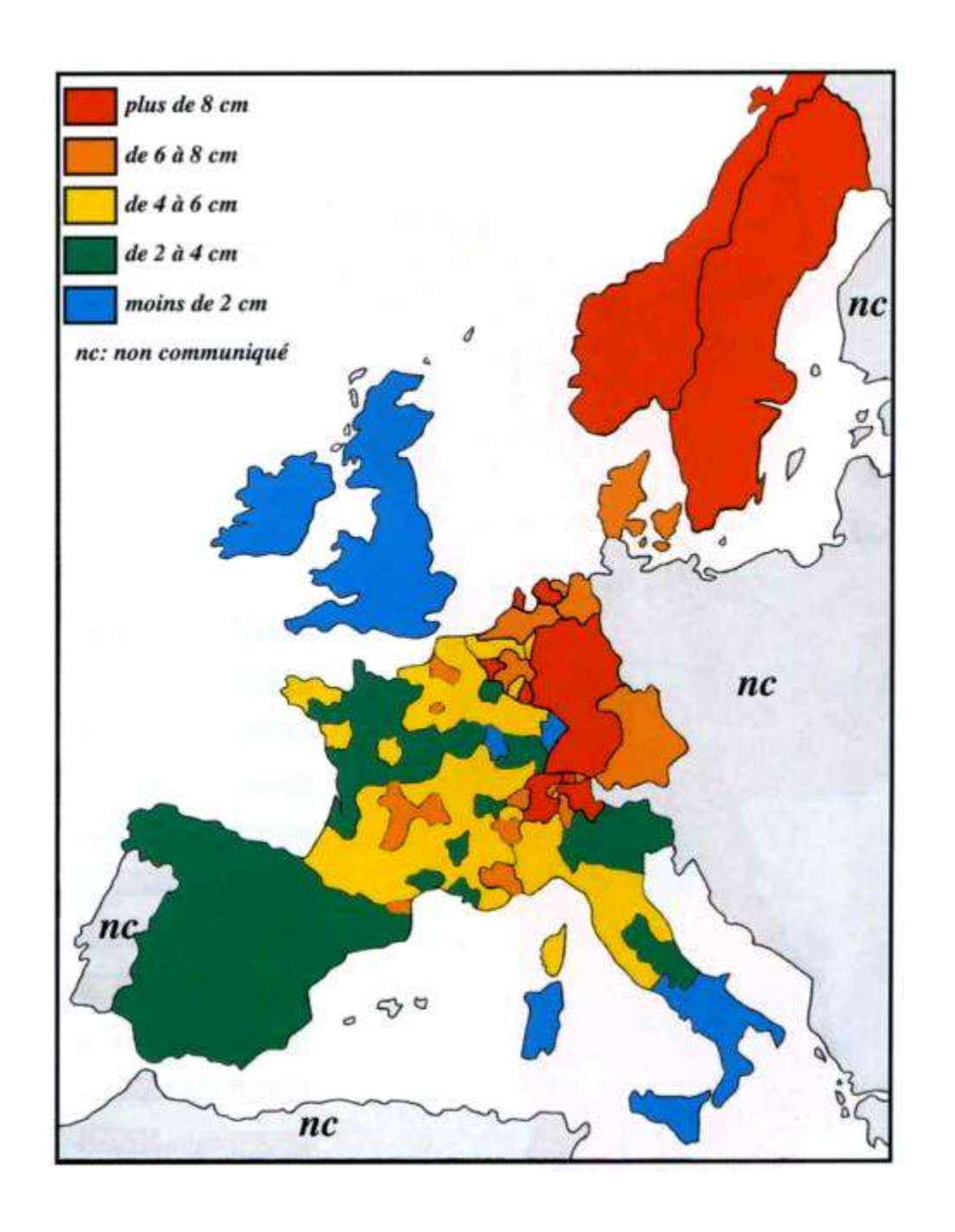
2 TYPES:

1°) VARIABILITÉ QUANTITATIVE = CARACTÈRES MÉTRIQUES

2°) VARIABILITÉ QUALITATIVE = CARACTÈRES NON-MÉTRIQUES = CARACTÈRES DISCRETS



VARIABILITÉ DE LA TAILLE INDIVIDUELLE





46



- paramètres linéaires (mm)
 - longueurs
 - diamètres
- paramètres angulaires (°)
- paramètres surfaciques (mm²)
- > paramètres volumiques (mm³)

TYPES DE VARIABILITÉ ANATOMIQUE

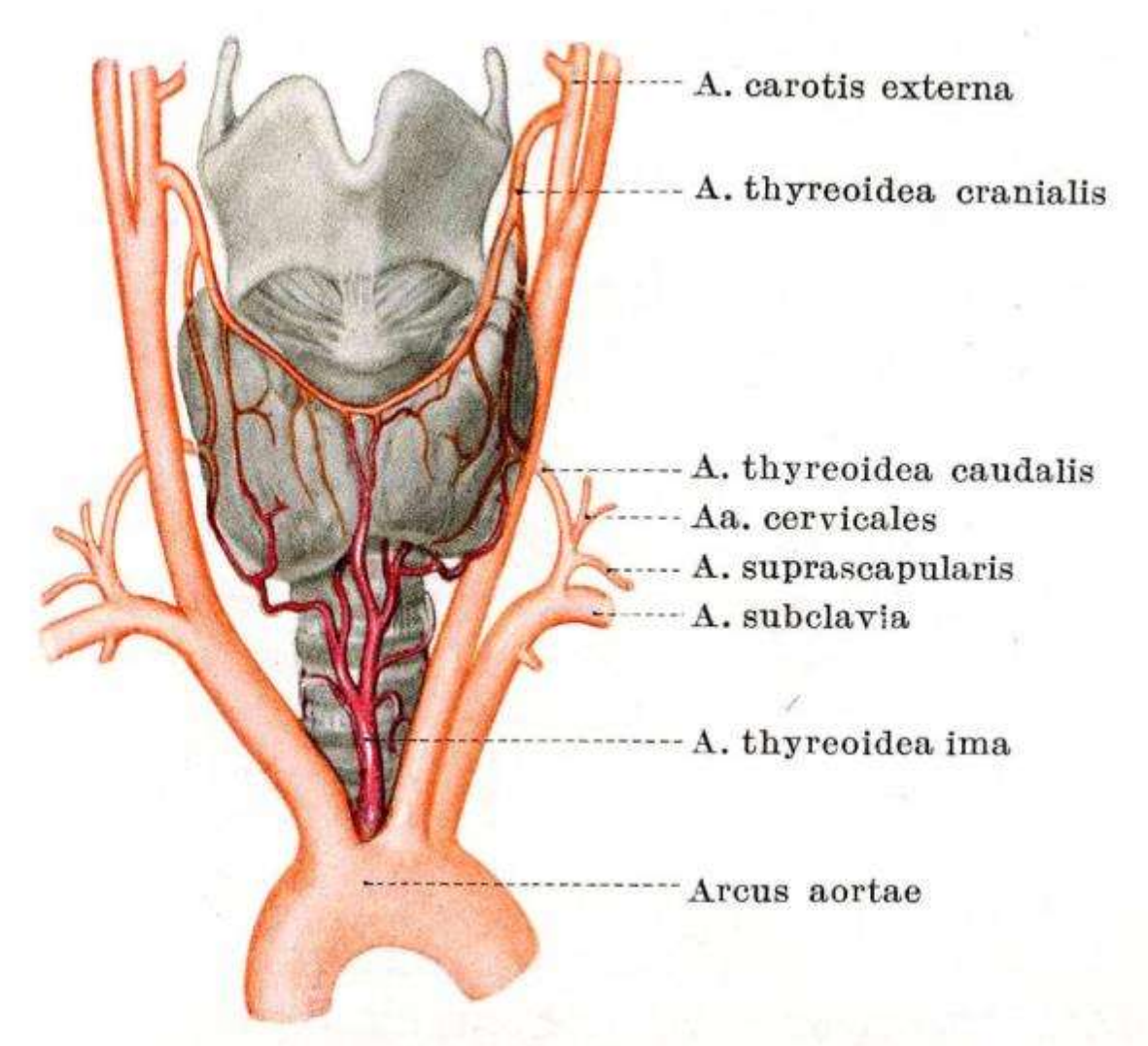
2 TYPES:

- 1°) VARIABILITÉ QUANTITATIVE = CARACTÈRES MÉTRIQUES
- 2°) VARIABILITÉ QUALITATIVE = CARACTÈRES NON-MÉTRIQUES = CARACTÈRES DISCRETS

ARTÈRE THYROIDIENNE IMA Présente / Absente

= caractère binaire

Fréquence (%°)



OCCURRENCE

Fréquence

Nombre de cas de variante

Nombre de cas totaux

OCCURRENCE

Fréquence (%)

Nombre de cas de variante

x 100

Nombre de cas totaux

VARIABILITÉ SELON LE CÔTÉ DROIT ou GAUCHE

1°) LATÉRALITÉ

2°) SYMÉTRIE

Latéralité d'une variante

Variante	Nombre de cas	Fréquence
Côté Gauche	71	14,2%
Côté Droit	81	16,2%
Total	152	15,2%

Symétrie d'une variante

Variante	Nombre de cas	Fréquence	Fréquence relative
Bilatérale	48	9,6%	46,2%
Unilatérale G	23	4,6%	22,1%
Unilatérale D	33	6,6%	31,7%
Total	104	20,8%	100,0%

Signification évolutive = phylogénétique

Présent → Absent

Absent → Présent

Signification évolutive = phylogénétique

Caractère PRIMITIF

= ANCESTRAL

= PLÉSIOMORPHIE

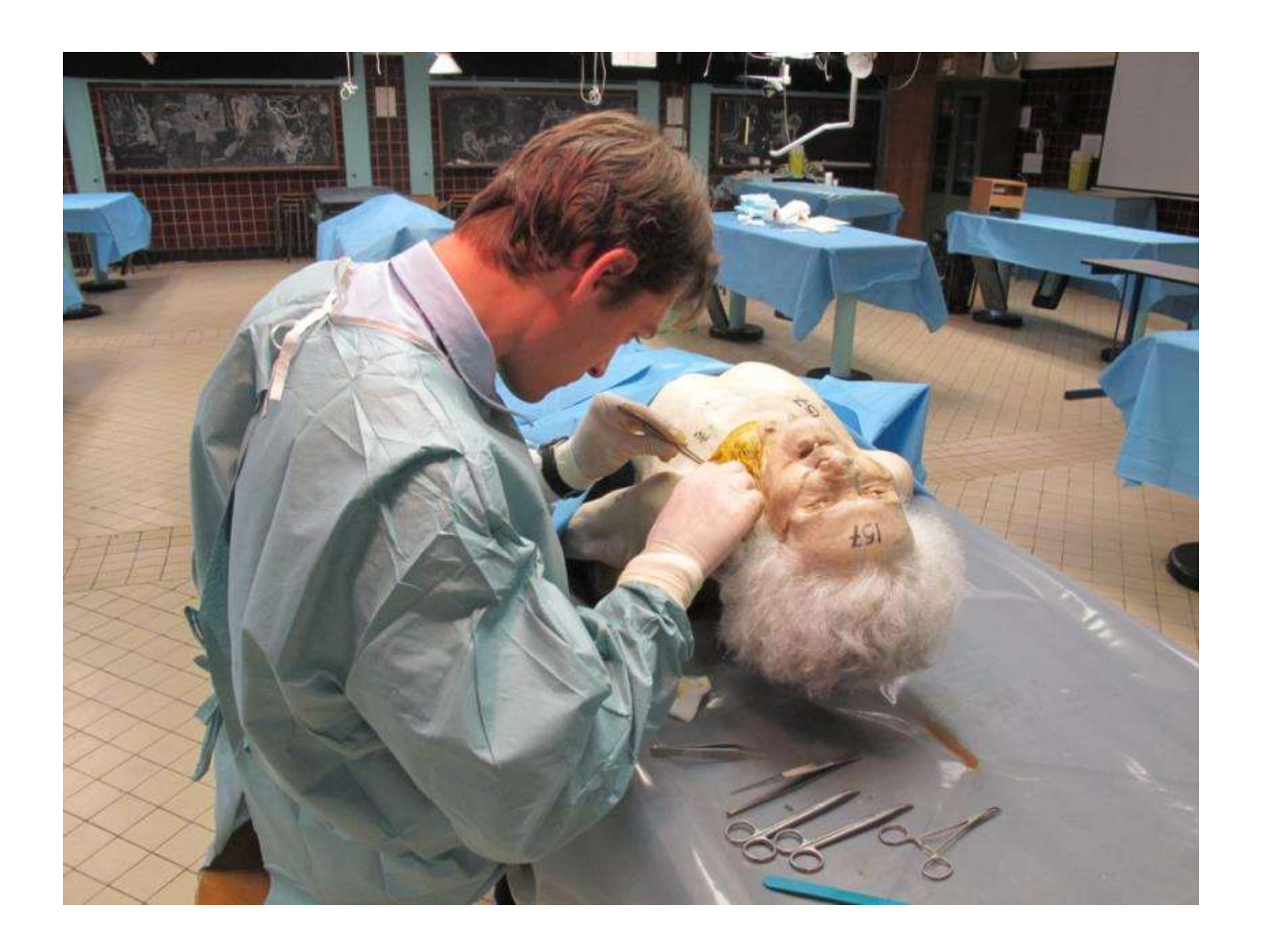
Caractère DÉRIVÉ

= APOMORPHIE

1°) DISSECTION

2°) INJECTION

- 4°) ANGIOGRAPHIE (in vivo) / angioscan / angio-IRM
 - a) Artériographie
 - b) Phlébographie
 - c) Lymphographie

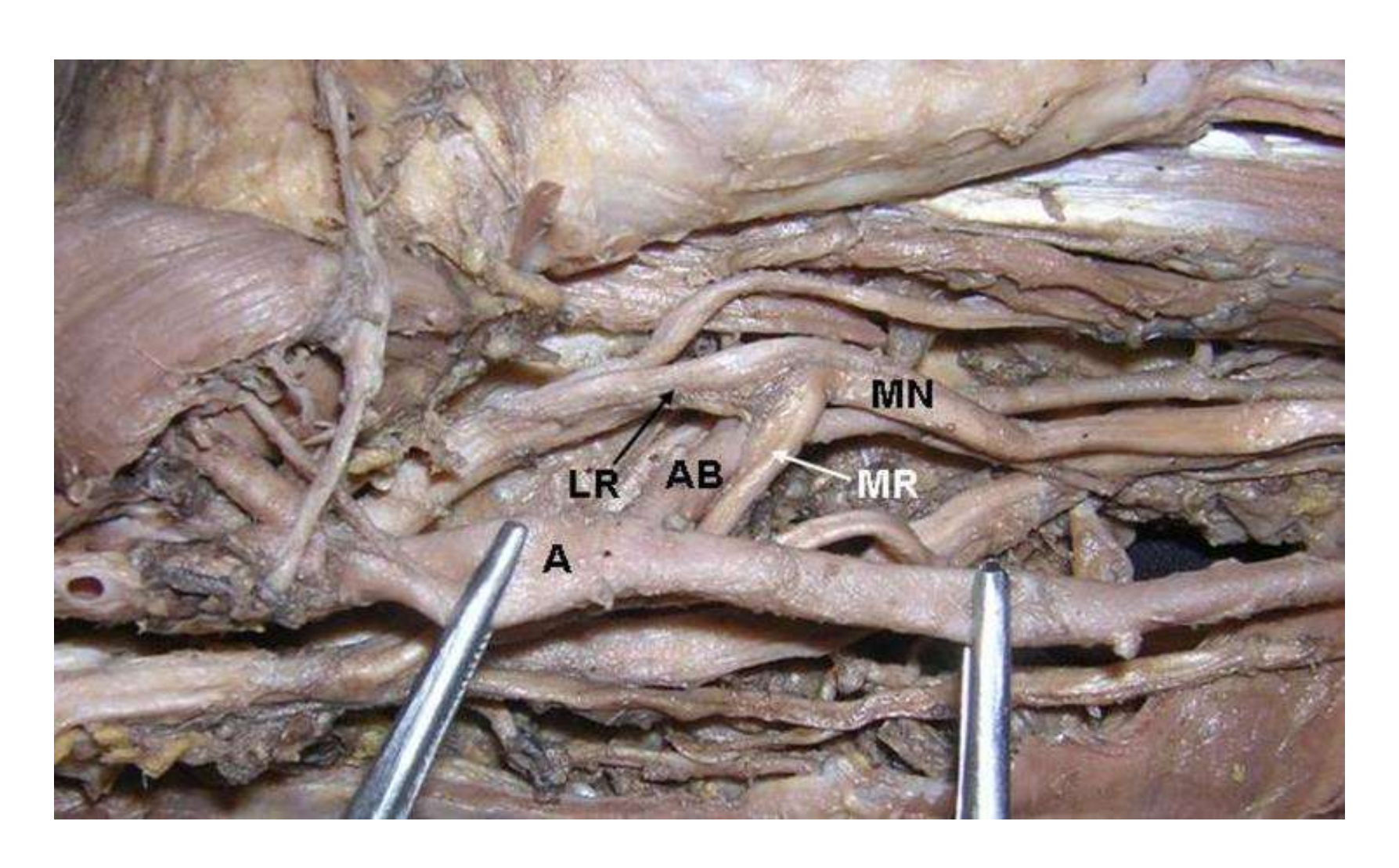


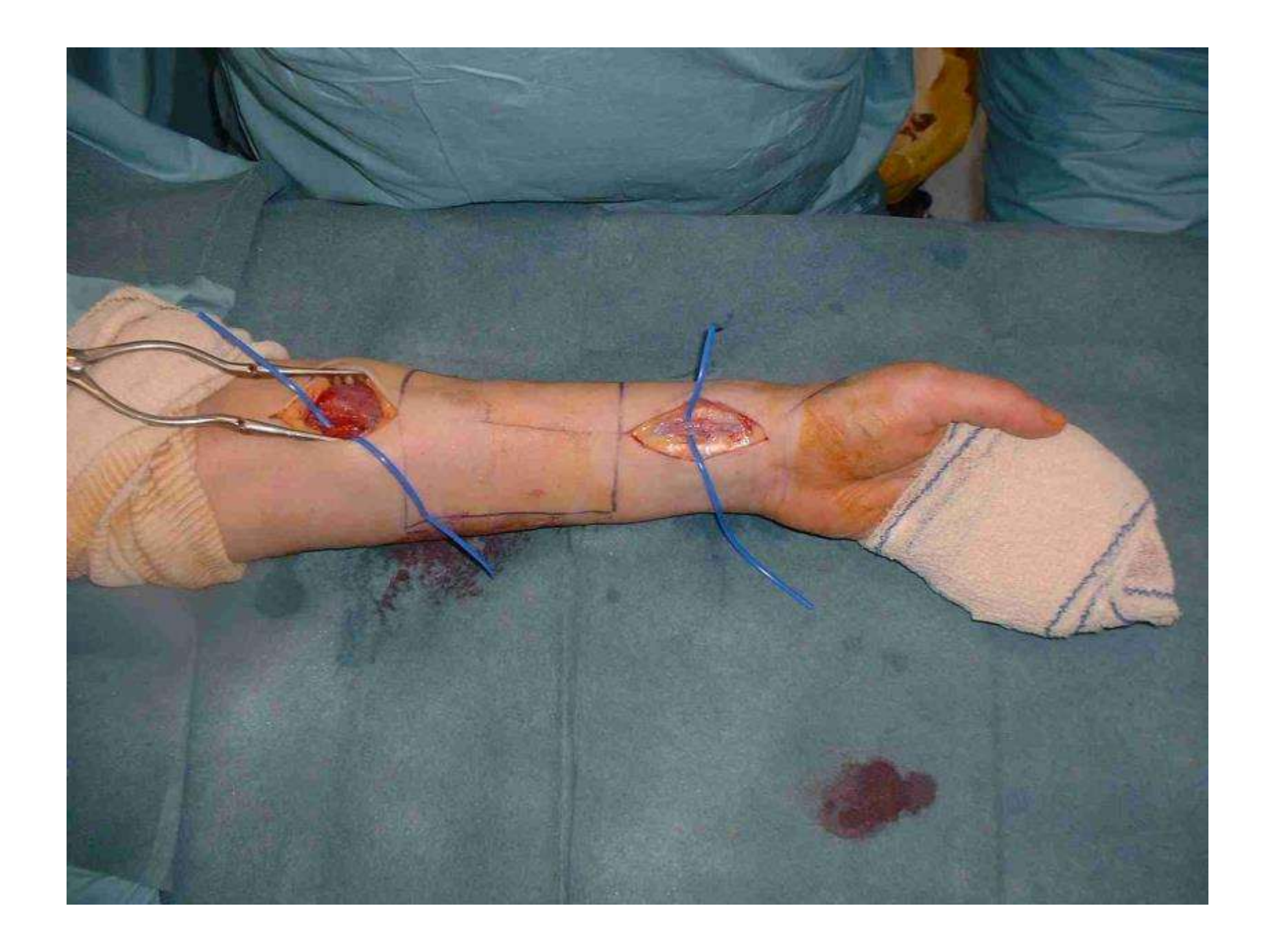


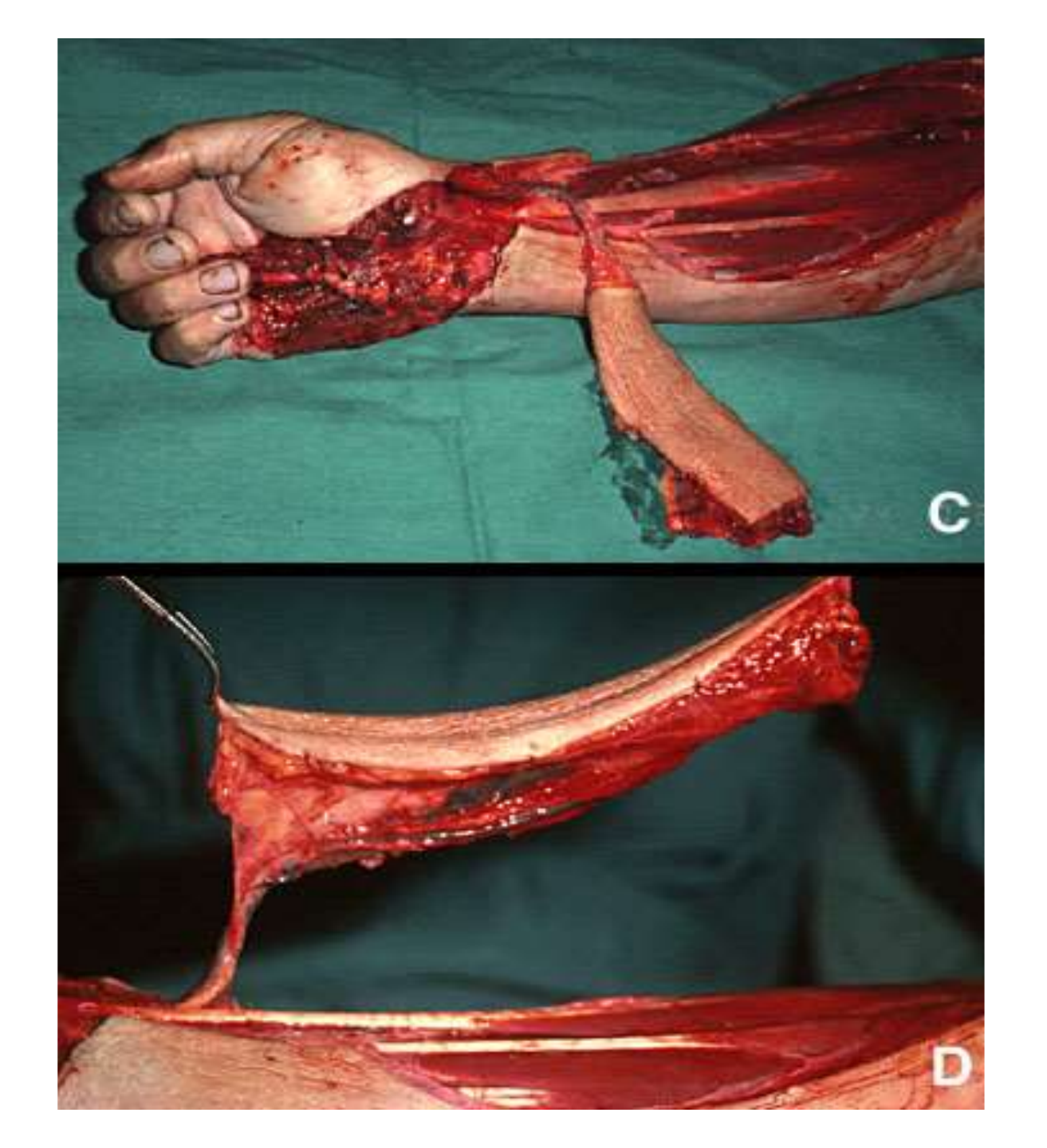


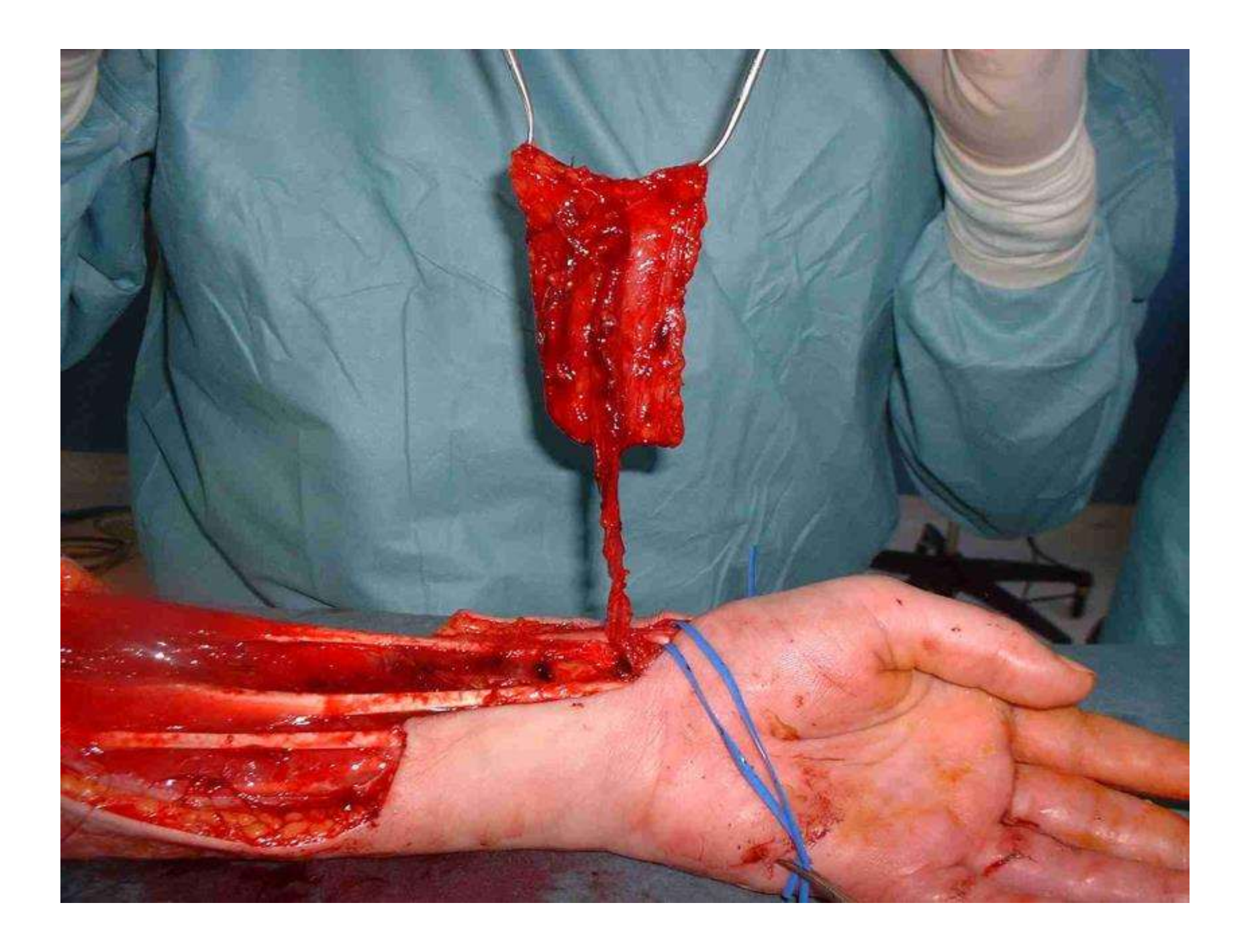


DISSECTION









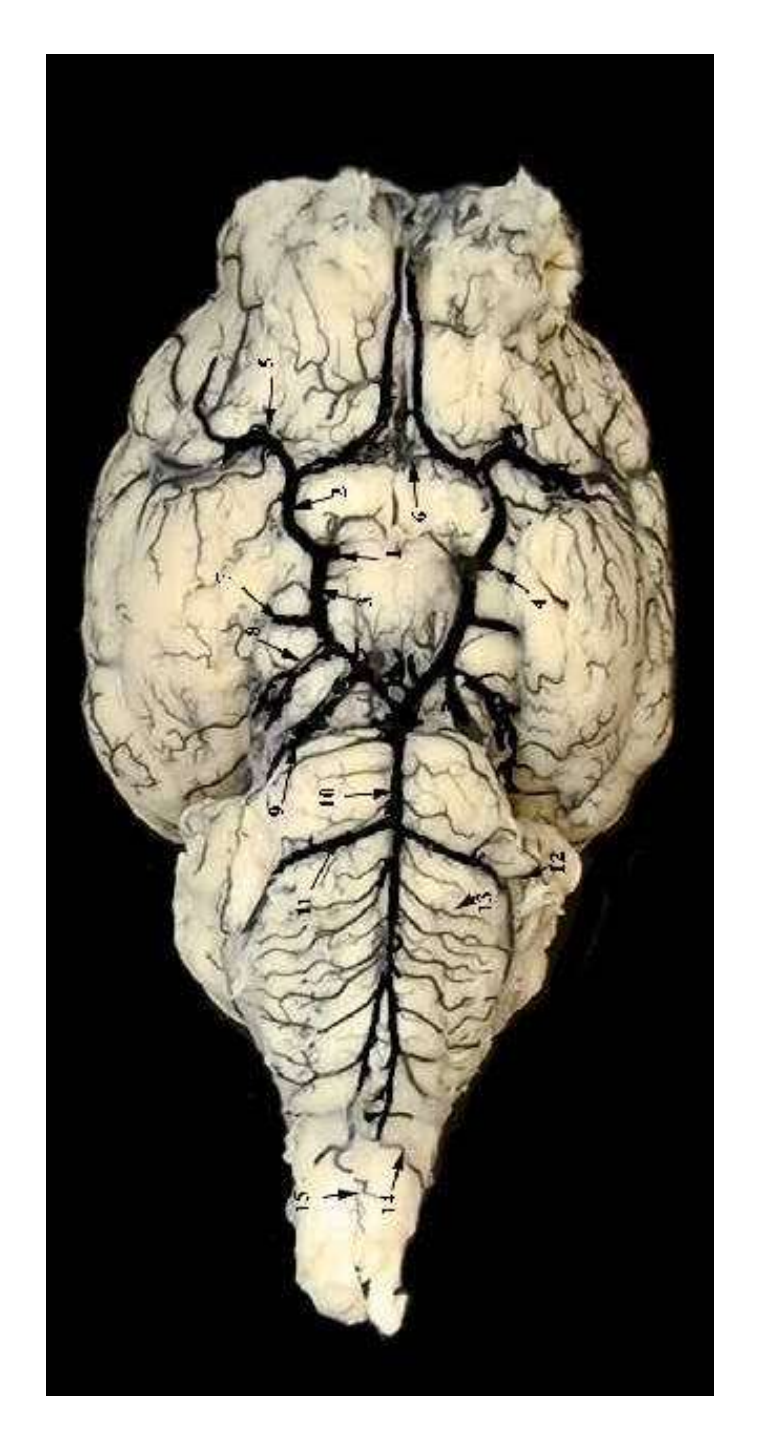
1°) DISSECTION

2°) INJECTION

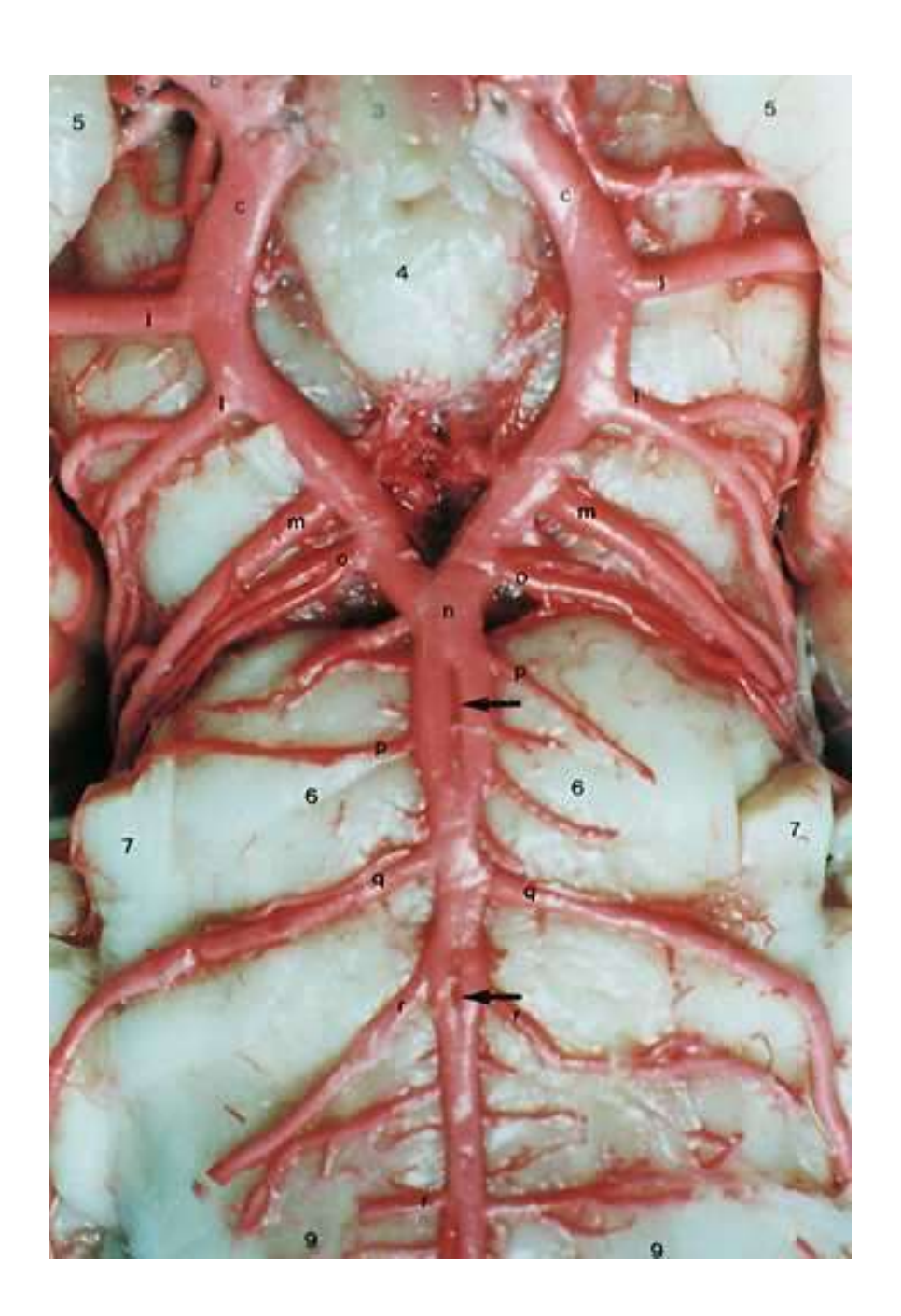
- 4°) ANGIOGRAPHIE (in vivo) / angioscan / angio-IRM
 - a) Artériographie
 - b) Phlébographie
 - c) Lymphographie







INJECTION encre de Chine



INJECTION

latex coloré



INJECTION

transparification (Spalteholtz)

1°) DISSECTION

2°) INJECTION

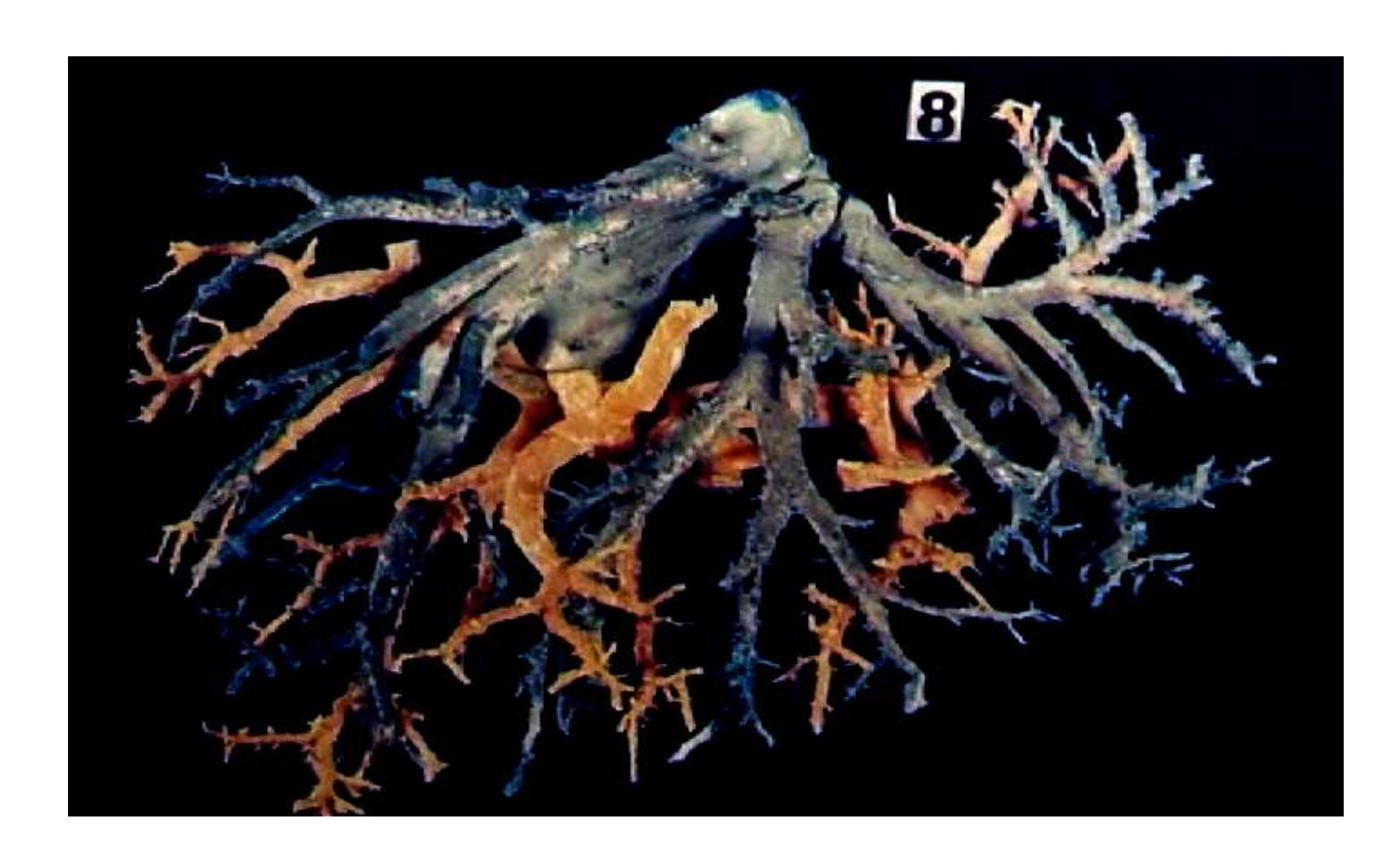
- 4°) ANGIOGRAPHIE (in vivo) / angioscan / angio-IRM
 - a) Artériographie
 - b) Phlébographie
 - c) Lymphographie

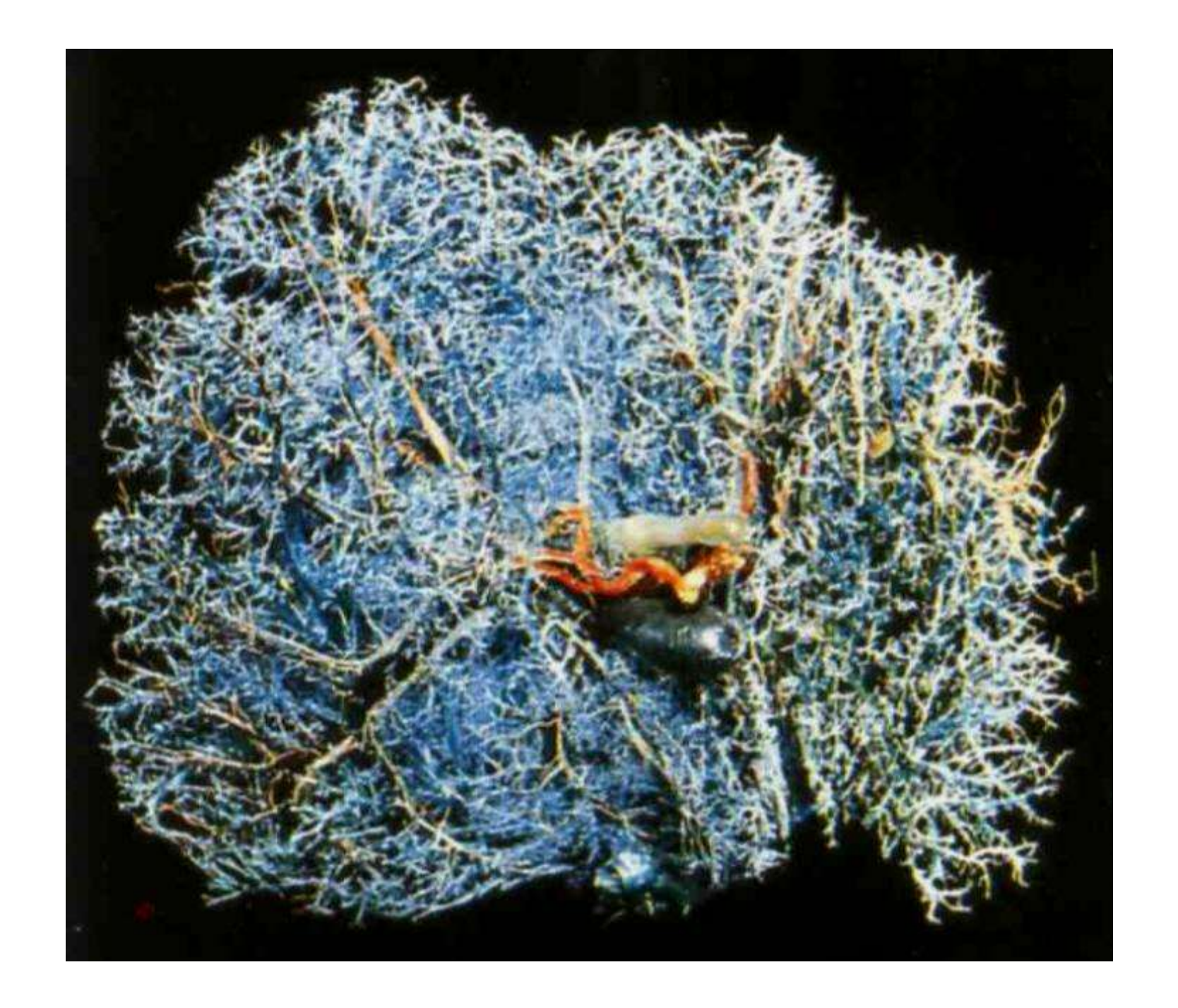














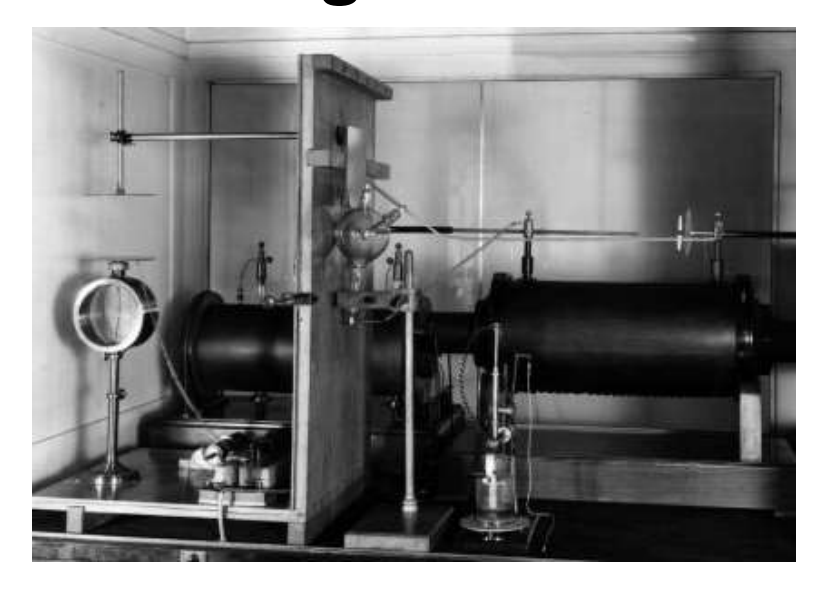
1°) DISSECTION

2°) INJECTION

- 4°) ANGIOGRAPHIE (in vivo) / angioscan / angio-IRM
 - a) Artériographie
 - b) Phlébographie
 - c) Lymphographie

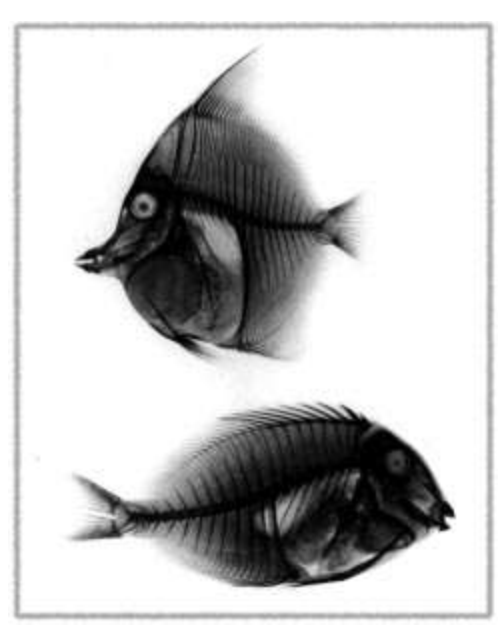
Rayons X

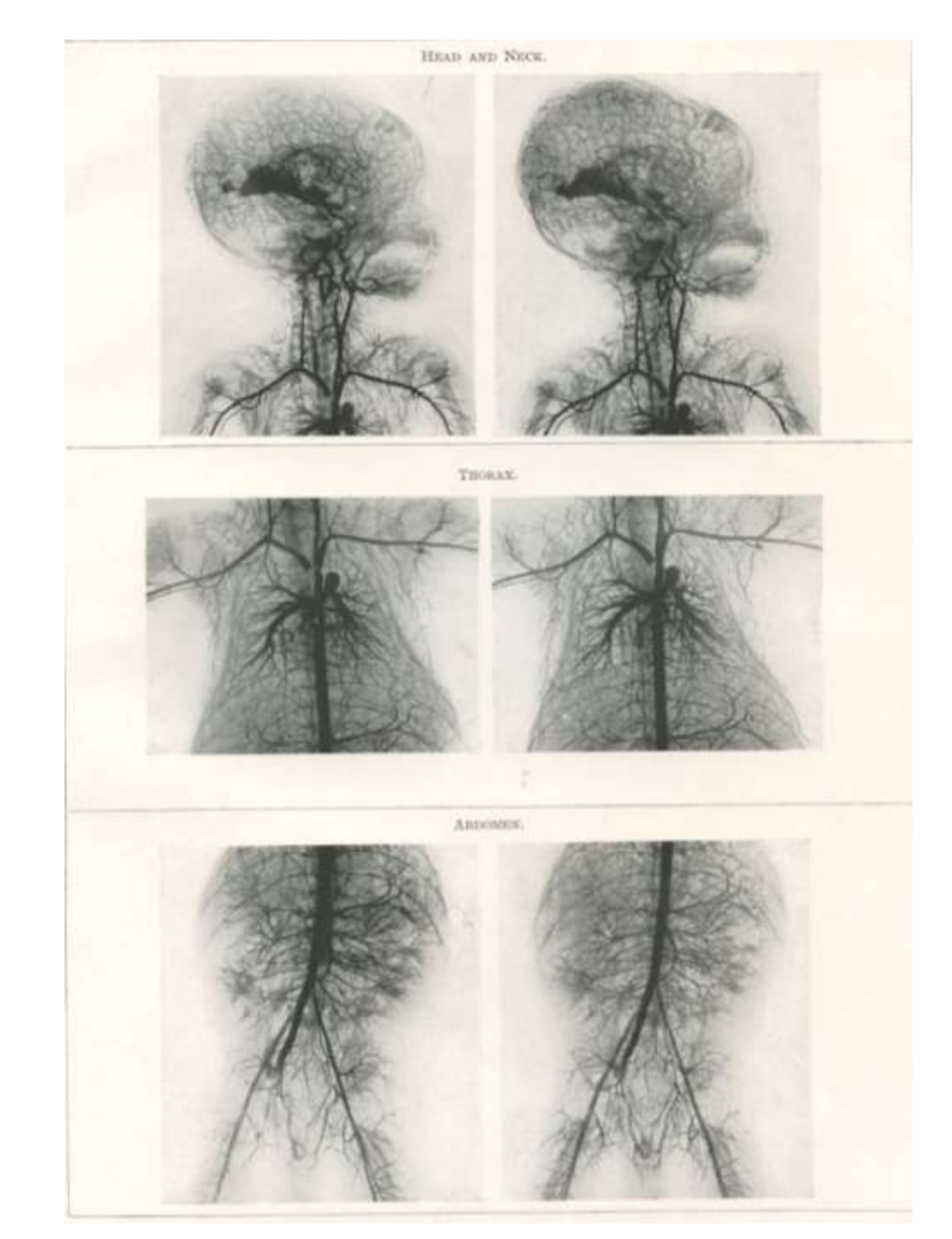
Roentgen 1895













Antonio
Egas Moniz
(1874-1955)
Lisbonne

Prix Nobel 1949

1927

- première "encéphalographie artérielle"
- dénudation chirurgicale de l'artère carotide artériotomie
- injection solution de 25% de iodure de sodium

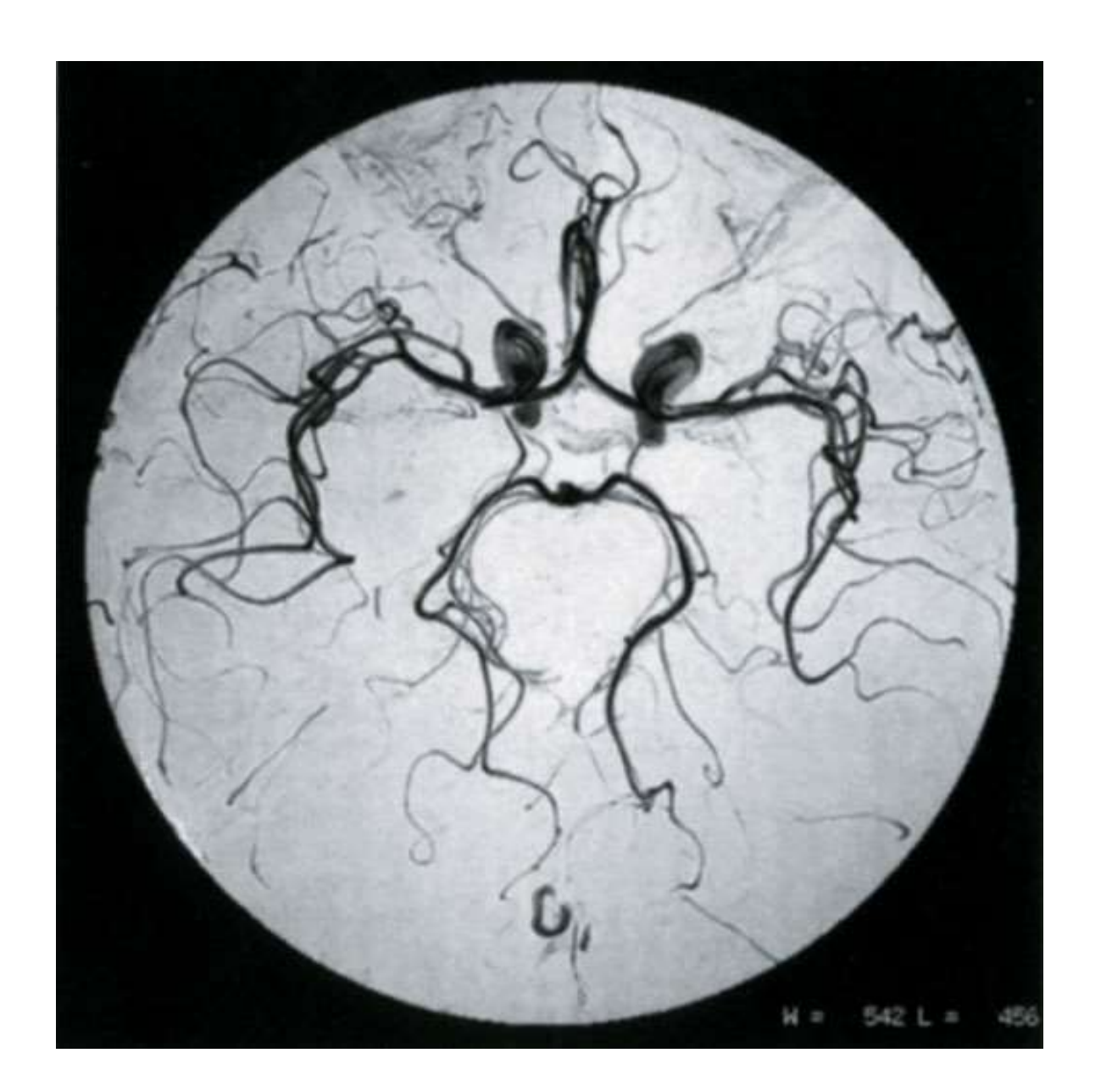
1931

dioxide de thorium (Thorotrast)

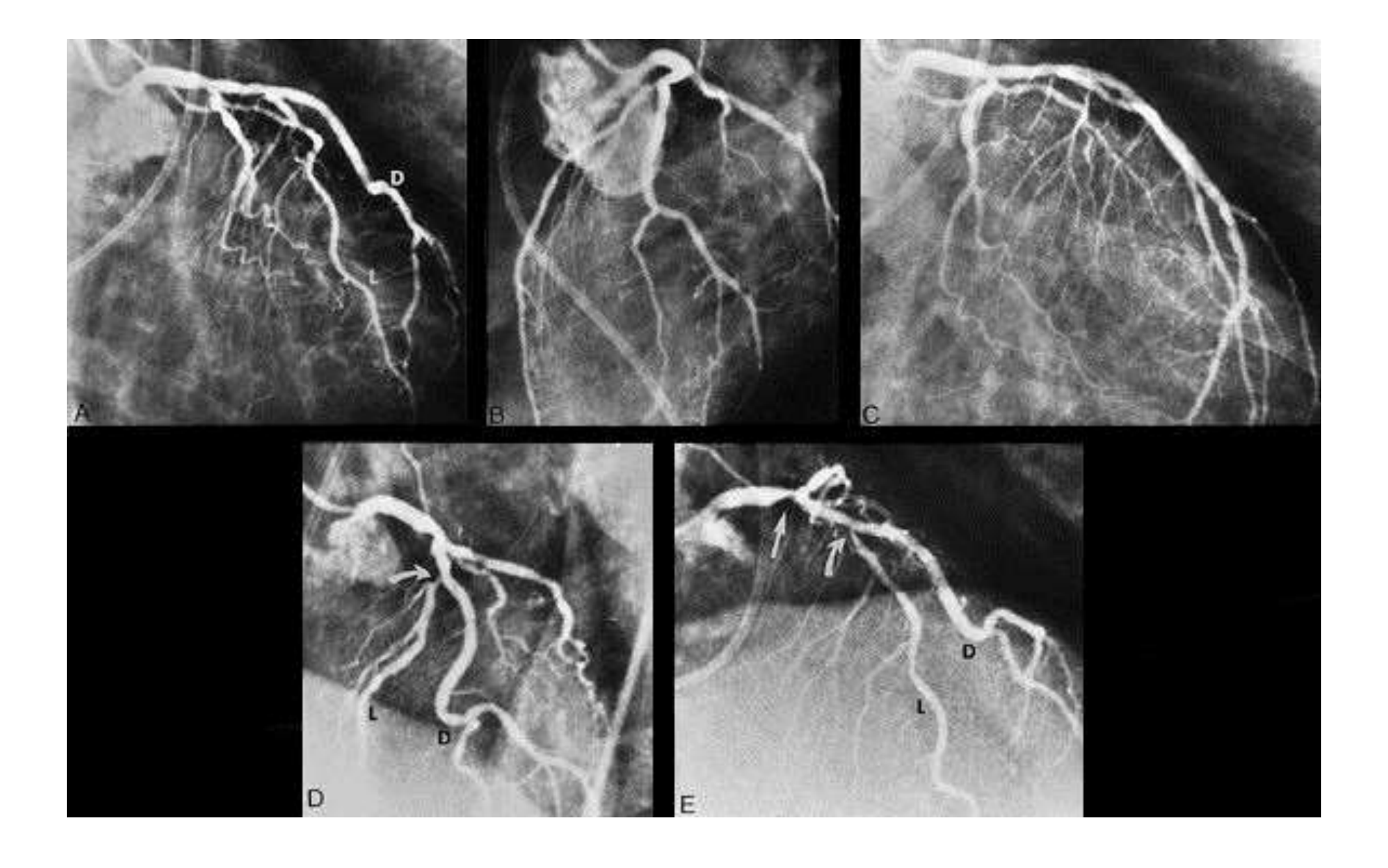
...radioactif

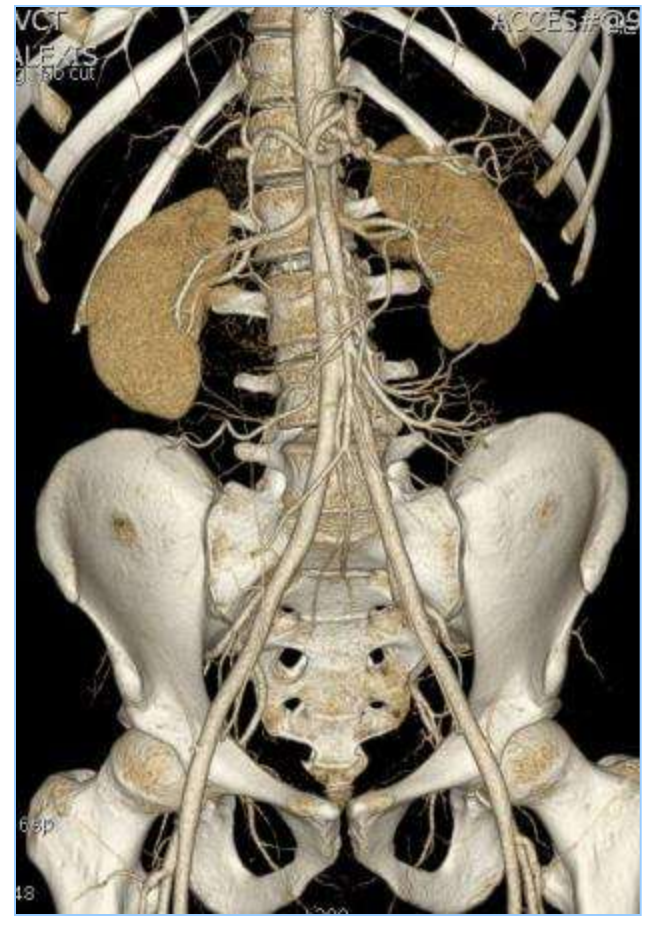
1953

Sven Ivar **Seldinger**guide métallique flexible = cathétérisme percutané







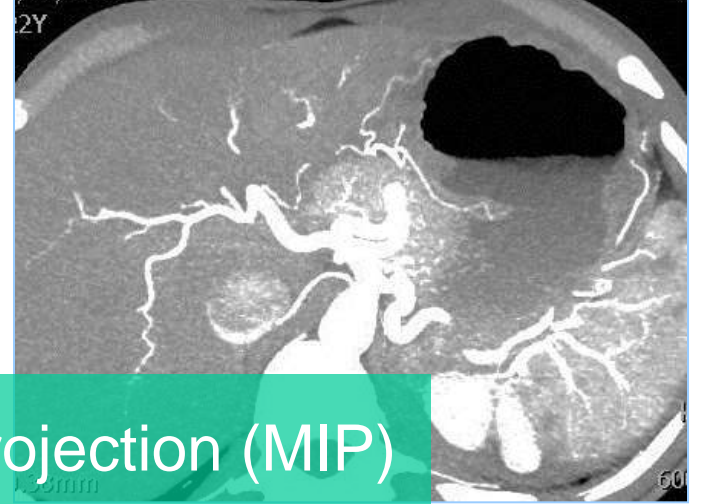


Angiographie



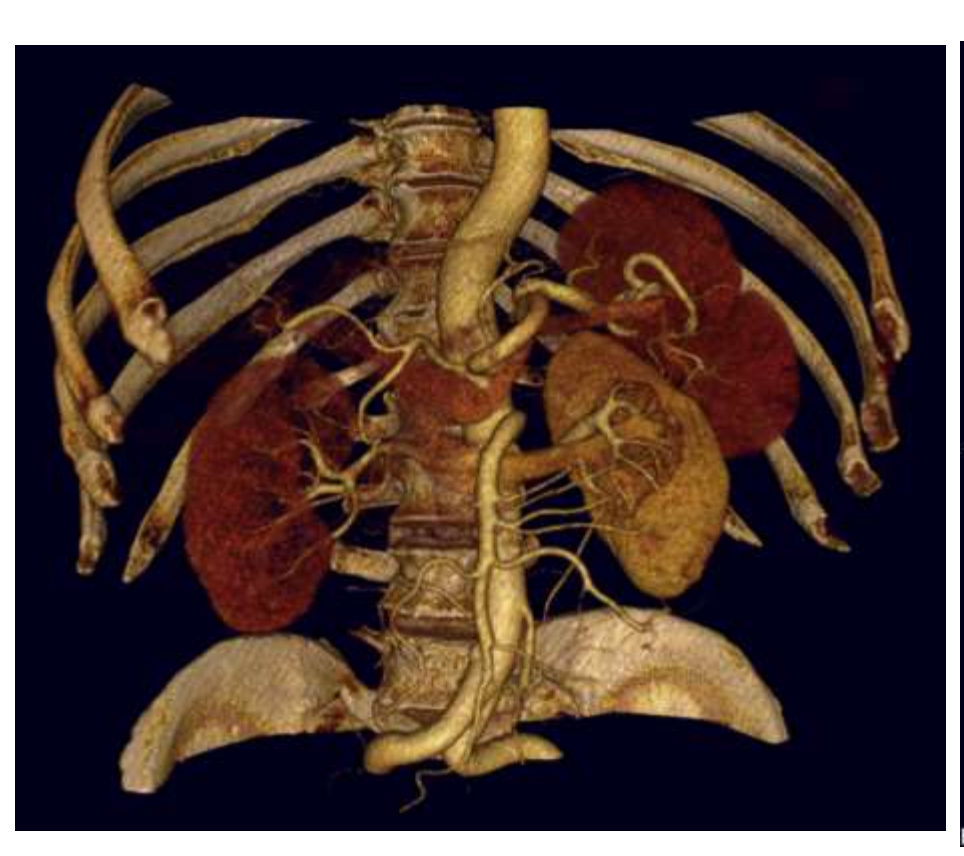


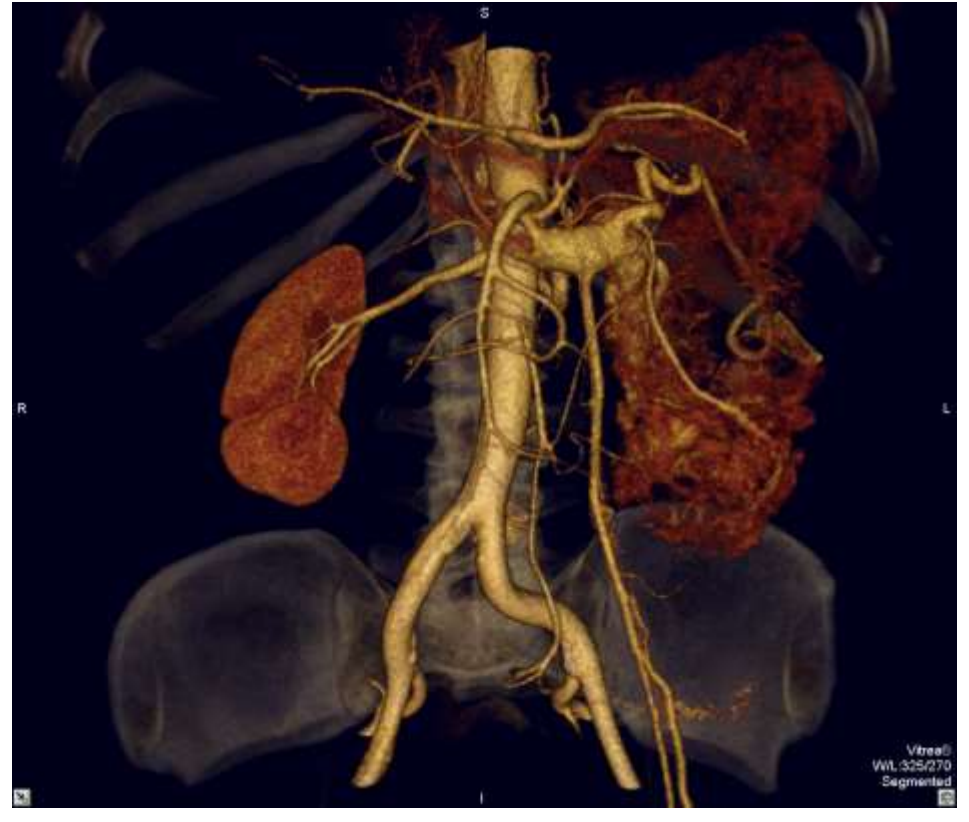
Volume Rendering (VR)



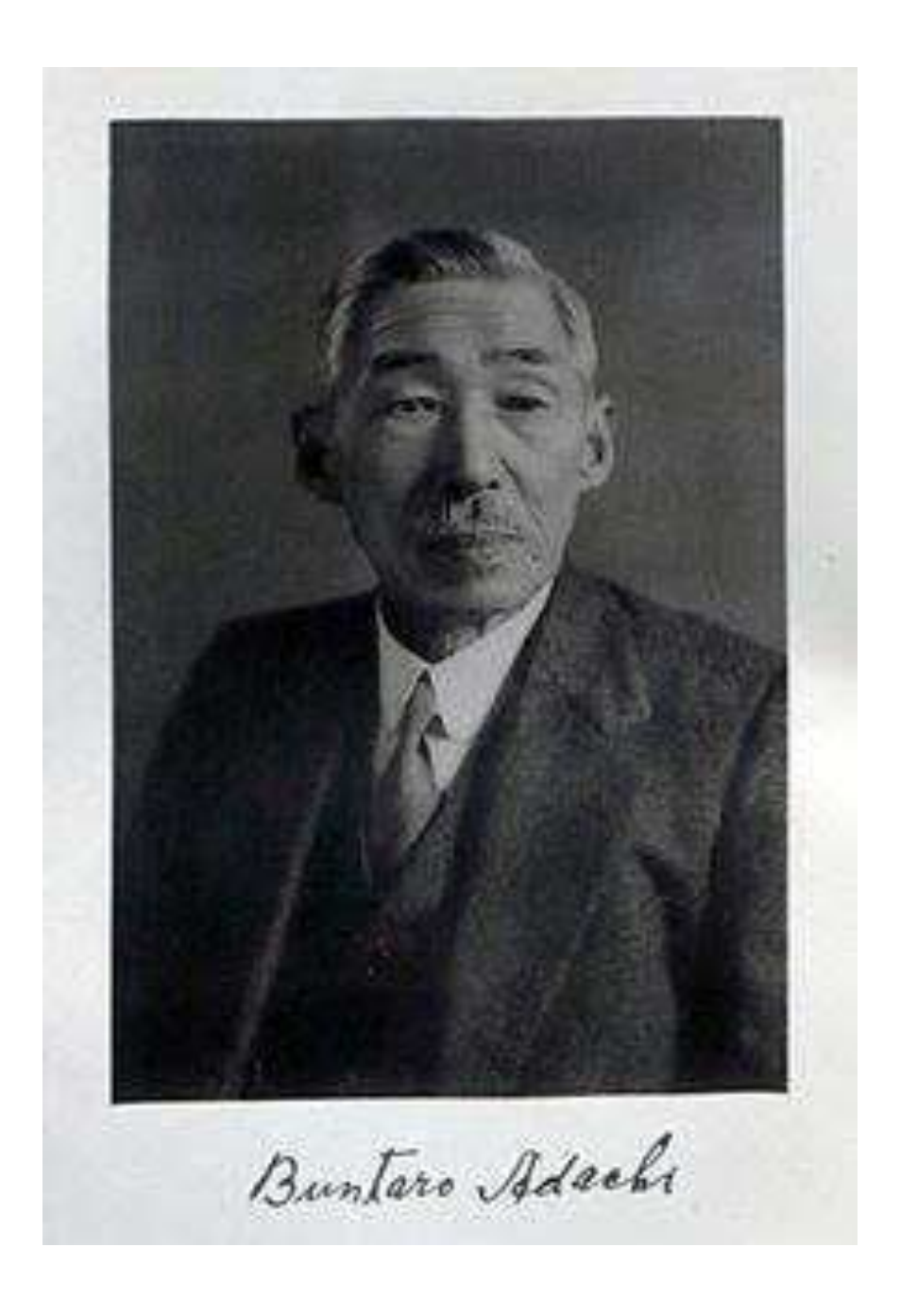
Maximal Intensity Projection (MIP)

VOLUME RENDERING TECHNIQUE ANGIOGRAPHIE





3. Ouvrages de référence



Buntaro ADACHI (1865-1945) Kyoto

Anatomie der Japaner

woin

PROF. DR. BUNTARO ADACHI

1

Arteriensystem Japaner

your

DR. BUNTARO ADACHI

Professor der Anatomie an der Kaiserlichen Universität en Kyoto

unter Mitwirkung von

DR. KOTONDO HASEBE

follows: Extendinates für Australia in der Kantellichen Unbemitte zu Kystesereit Probinse der Australia in der Kalendichen Unbemitte zu Sonlei

In zwei Bänden

Mit 539 Abbildungen im Text und auf vier farbigen Tafeln sowie mit etwa 700 Tabellen

Band I: A. polmonalis, Aorta-Arcas volaris profundus

Band II: Acrta thorocalis-Arcus plantaris profundan

Kyoto 1928

Verlag der Keiserlich-Jaganischen Unbereitzt im Myste. In Kroweiniem ist "Markeren Co.", Kriste und Todye Gelouke von "Keinbyriche" in Todye Anatomie der Japaner

II

Das

Venensystem

der

Japaner

Von

DR. BUNTARO ADACHI

Professor (emer.) der Anatomie an der Kaiserlichen Universität Kyoto Mitglied der Kaiserlichen Akademie

Zweite Lieferung

Mit 27 Abbildungen im Text und 74 Abbildungen auf 23 teilweise farbigen Tafeln sowie mit etwa 120 Taeblien

Vv. thoracicae longitudinales und Vv. intercostales

V. cava caudalis

PROP. DR. BUNTARO ADACHI

Anatomie der Japaner

III

Das



Lymphgefäßsystem

der

Japaner

von

DR. TAKUSABURO KIHARA

Professor der Anaromic an der Universität Kerau-

Erste Lieferung

Der Ductus thoracicus der Japaner

ven

DR. BUNTARO ADACHI

Professor einer des Aussirale in der Heiverstell Kyoes, Mitglied, der Katserheiner, Abademie der Wissenschaften

Kyoto 1953

Danishammali KENKYUSHA Tokno

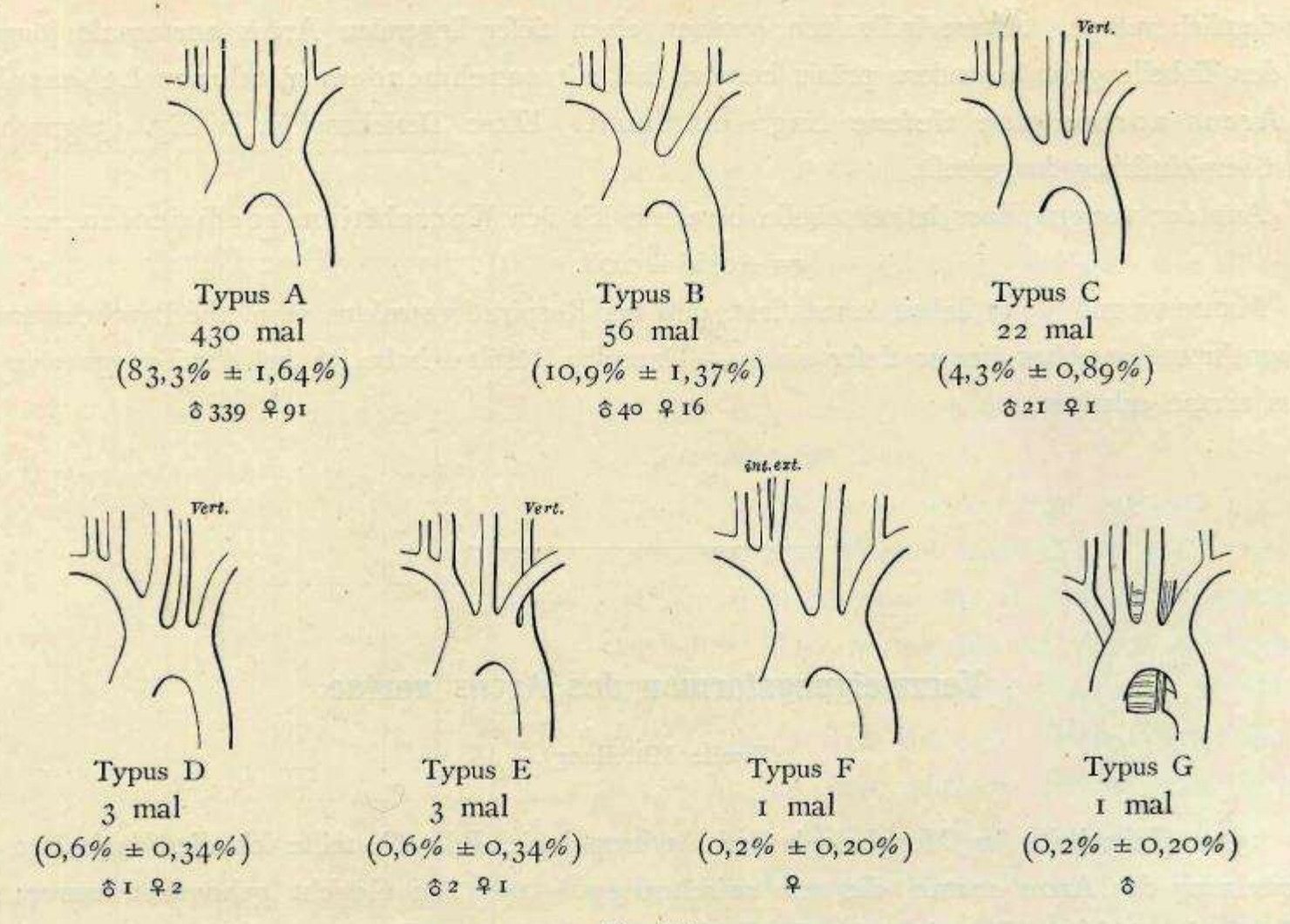
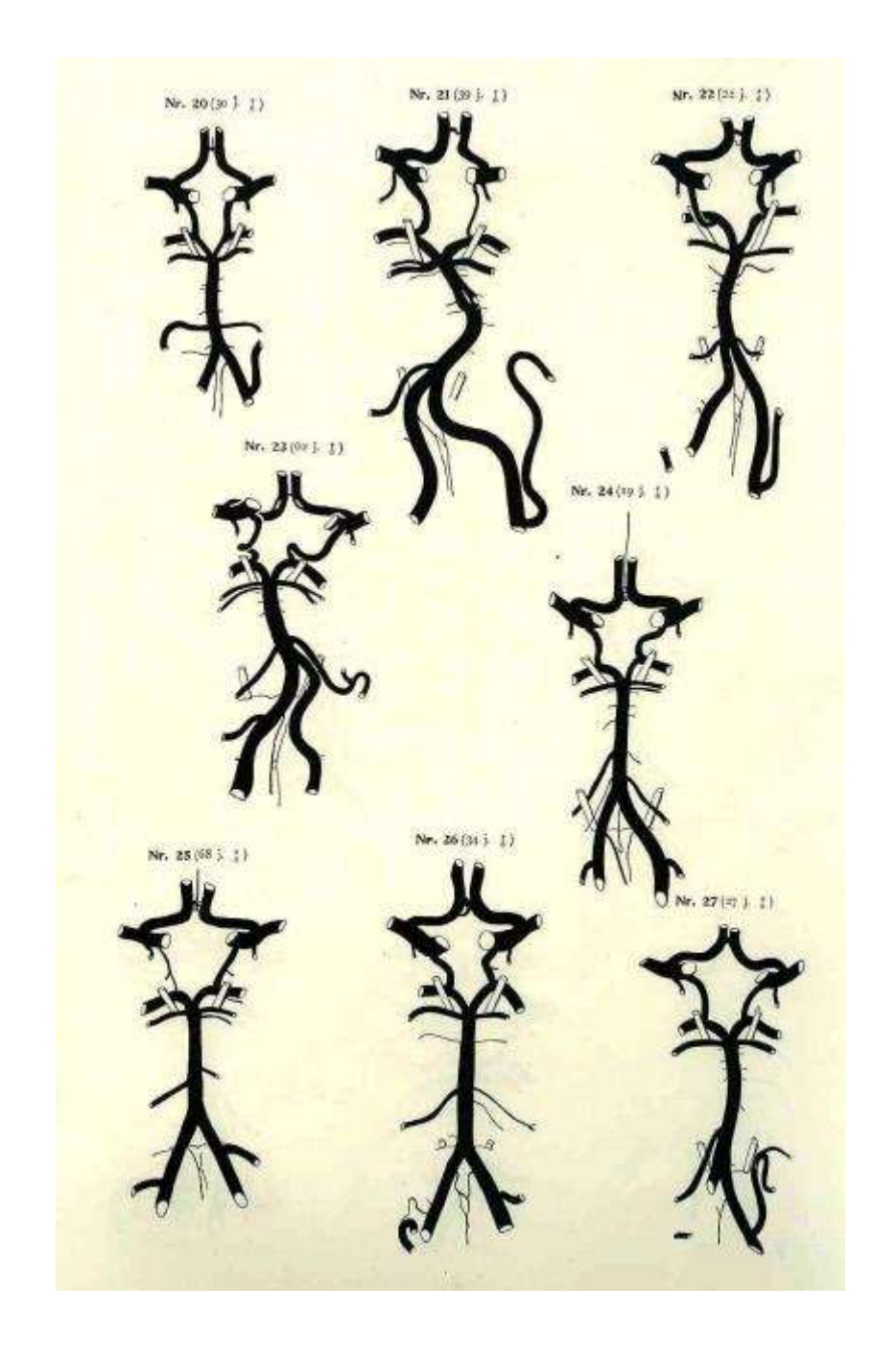


Fig. 14.

Verzweigungsformen des Arcus aortae mit Häufigkeit ihres Vorkommens an 516 Japanern (\$ 404, ♀112).



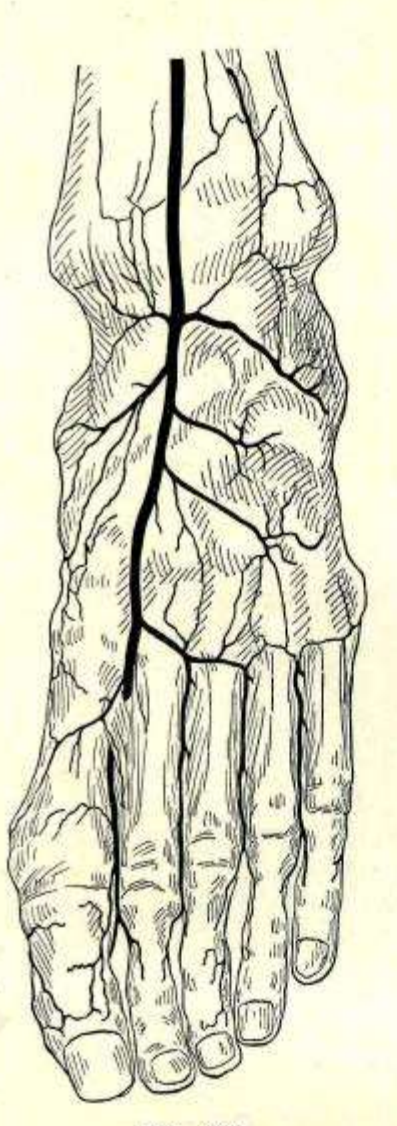


Fig. 175.
Gruppe 10.

3. (36 jähr. Mann).

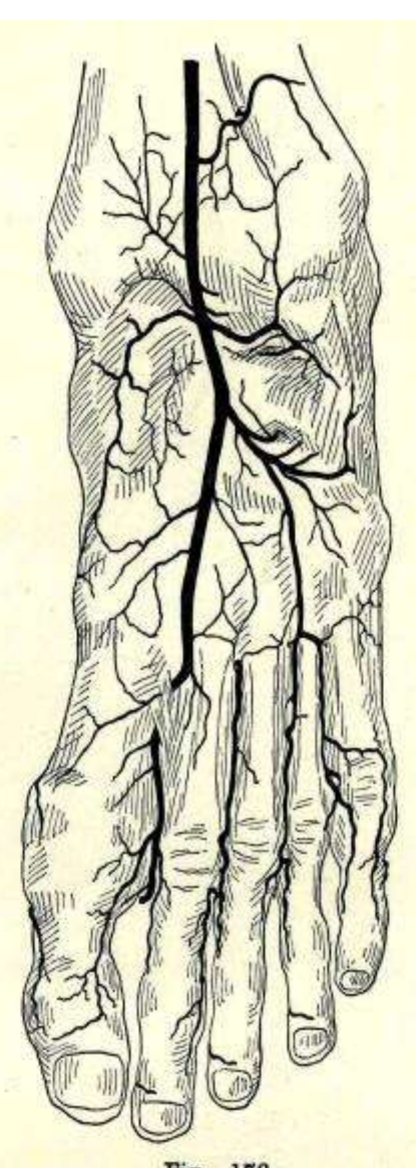


Fig. 176.
Gruppe 17.

3. (Erwachsener Mann).

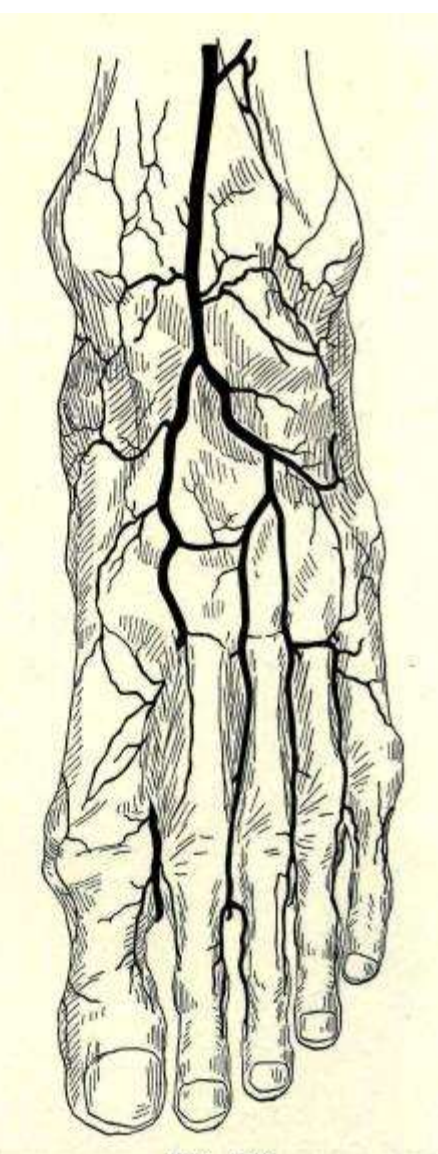


Fig. 177.
Gruppe 20.
3. (30 jähr. Mann).



Dr A.-F. LEDOUBLE
Professeur à l'Ecole de Médecine de Tours.
Membre correspondant
de l'Académie de Médecine.
Lauréat de l'Institut (Académie des Sciences).
Président de la Société Médicale en 1882.



Louis Dubreuil-Chambardel (1879-1927)

TRAITÉ DES VARIATIONS DU SYSTÈME ARTÉRIEL



PAR LE DOCTEUR

LOUIS DUBREUH, CHAMBARDEL, CECER PRÉSIDER DE LA SOCIÉTÉ D'AVERDOUGHE DE PARIS

PRÉFACE DU PROFESSEUR B. ANTHONY



MASSON ET GE, ÉDITEURS containes de l'académic de méorgise 120, de st-germais — paris ave-

TRAITÉ DES VARIATIONS DU SYSTÈME ARTÉRIEL

VARIATIONS

DES ARTÈRES

DU PELVIS

ET DU

MEMBRE INFÉRIEUR

PAR IN D'

Louis DUBREUIL-CHAMBARDEL
Président de la Société d'Authropologie de Paris

PRÉFACE DU PROLESSEUR NICOLAS

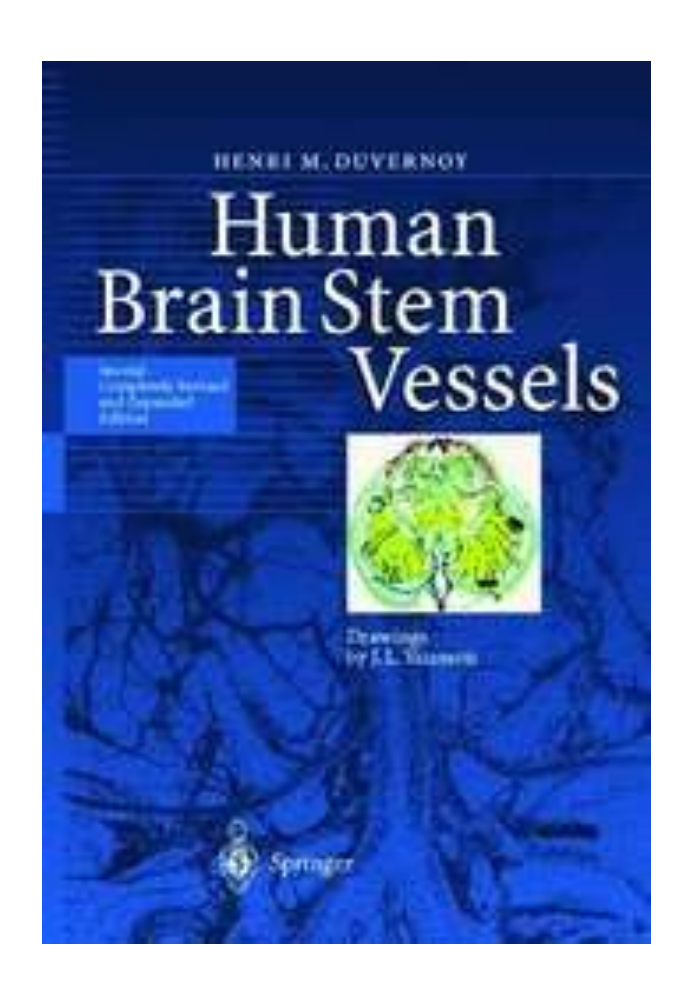


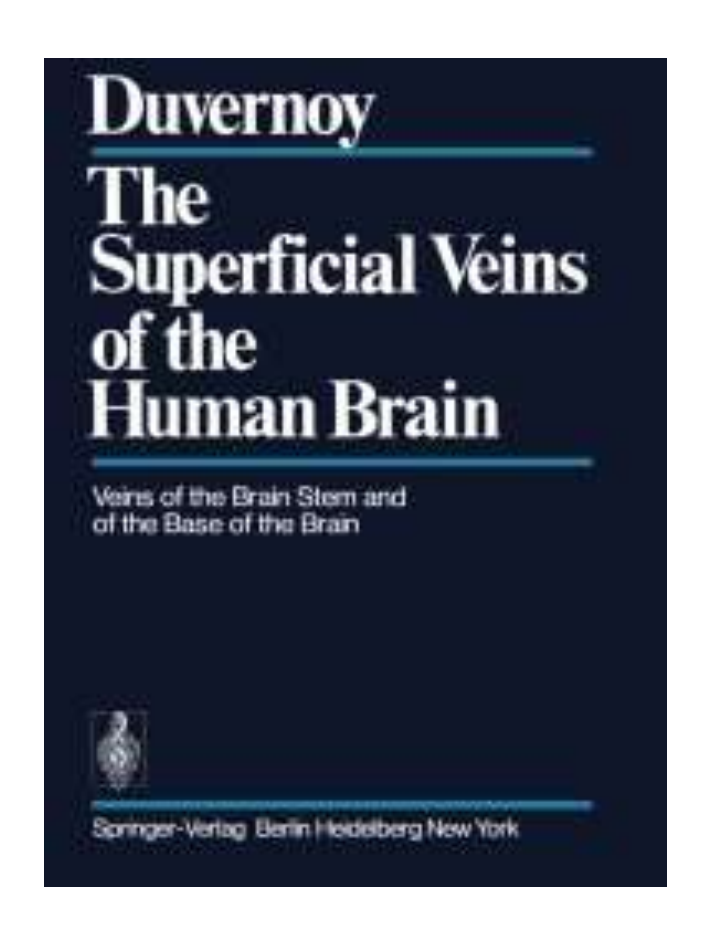
MASSON ET C**, ÉDITEURS
LIBRAIRES DE L'ACADÉMIE DE MÉDECINE
120, B° S*-GERMAIN - PARIS (VI*)

1925

Henri Duvernoy

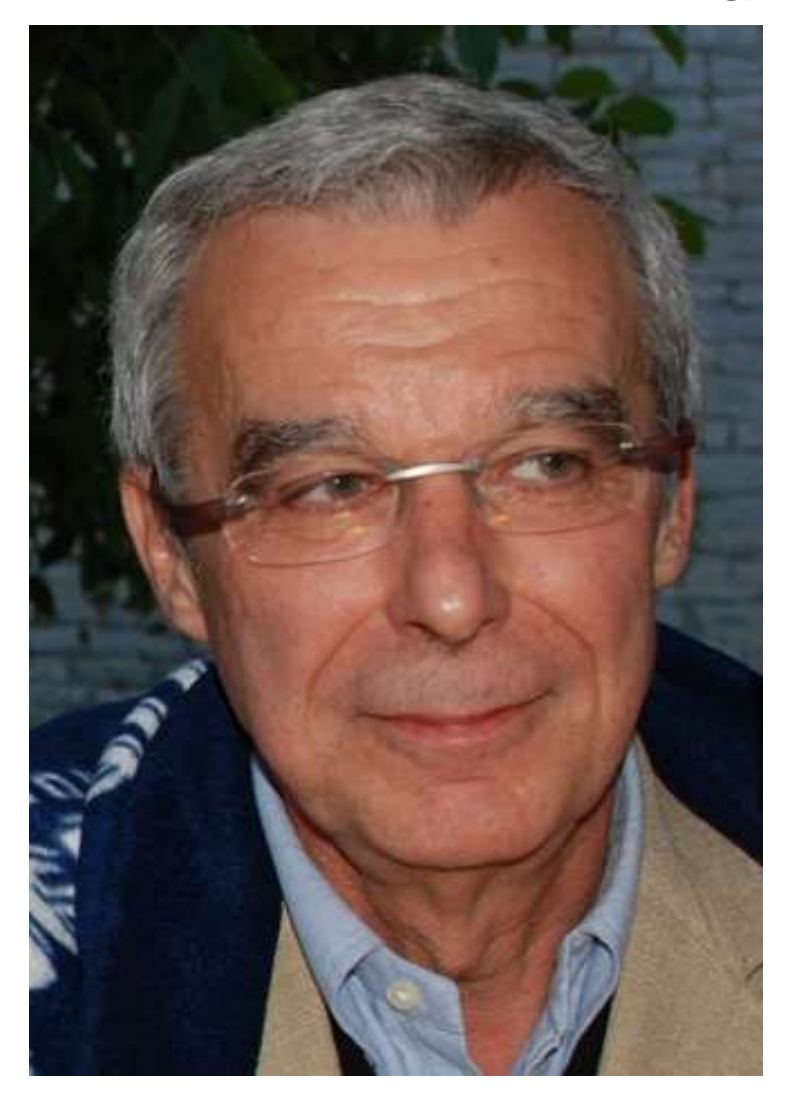
Besançon

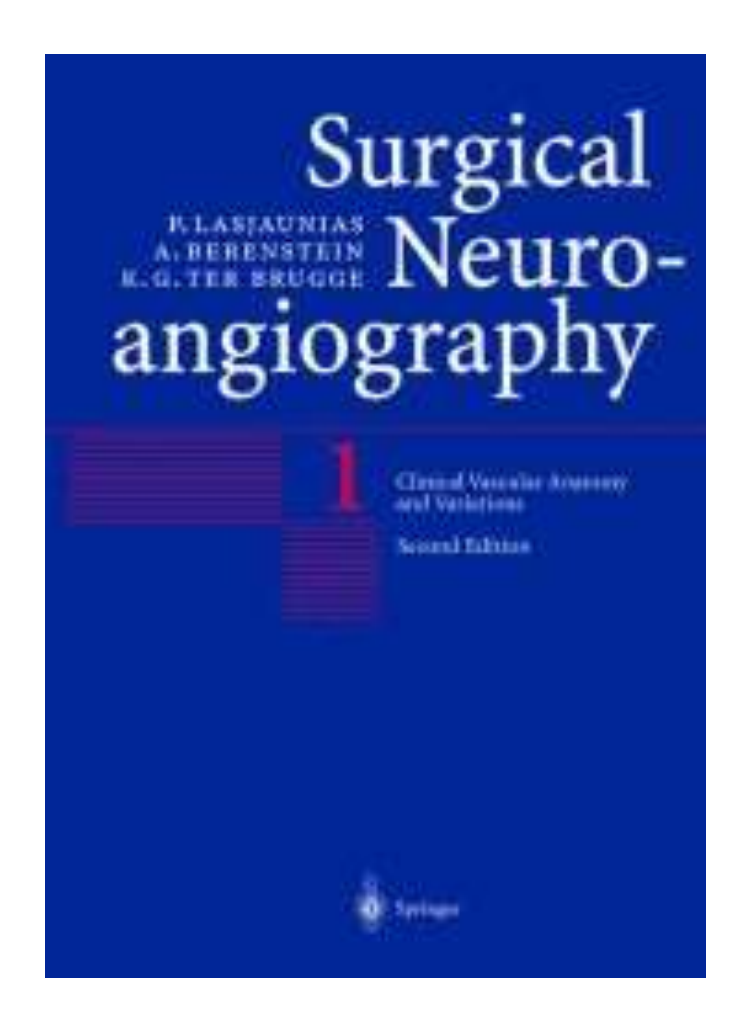




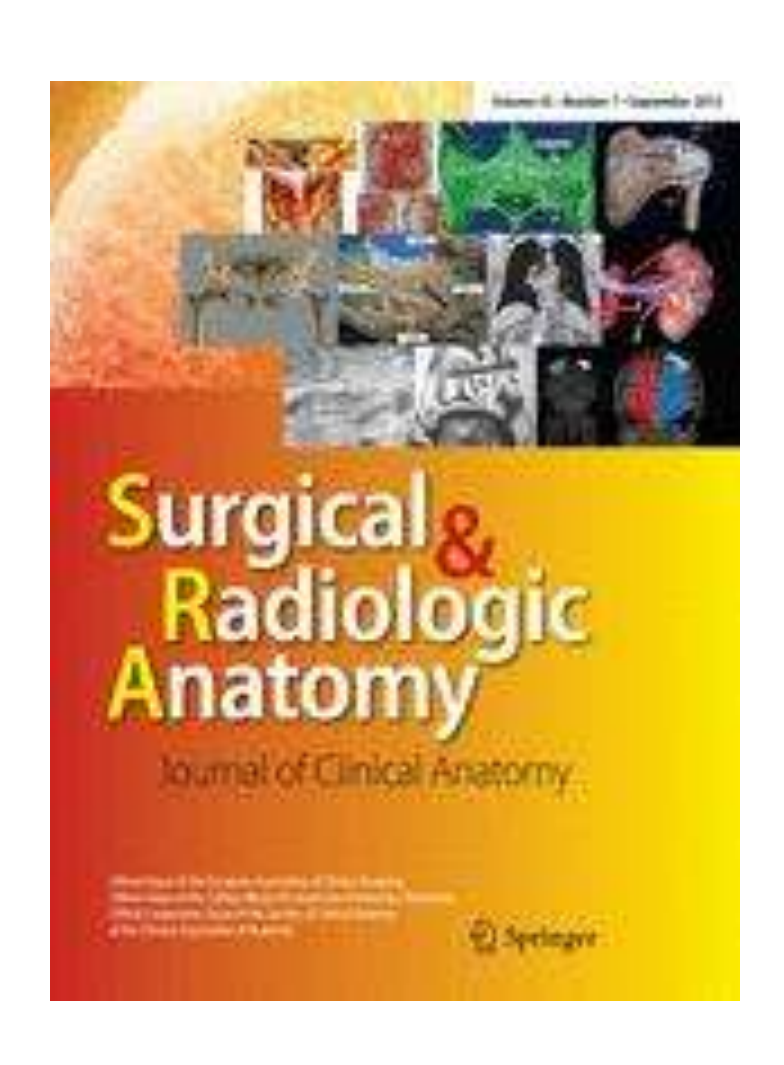
Pierre Lasjaunias (1948-2008)

Paris - Bicêtre





Surgical and Radiologic Anatomy (SRA)





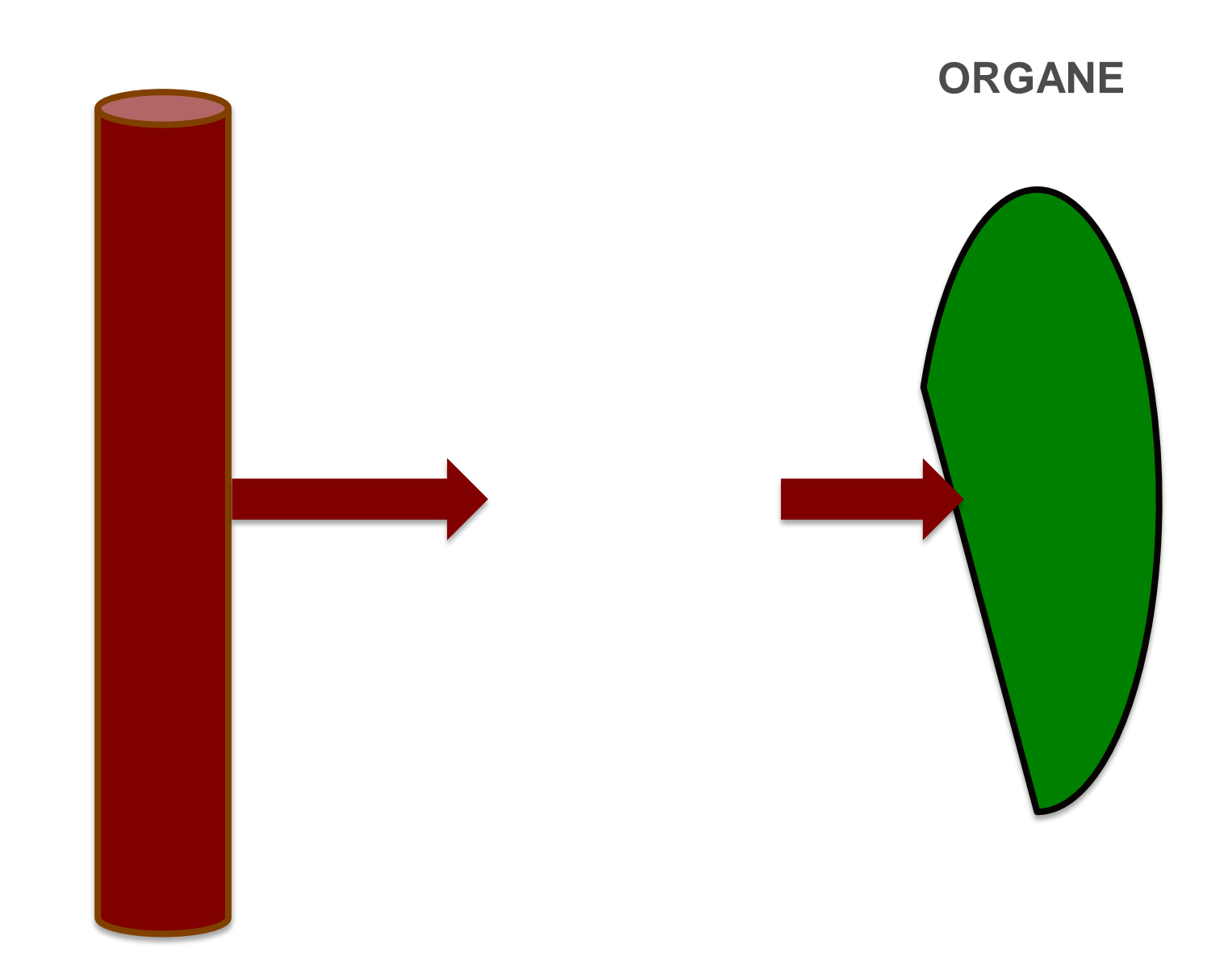
Master

"BIOMORPHOLOGIE et BIOMATÉRIAUX"

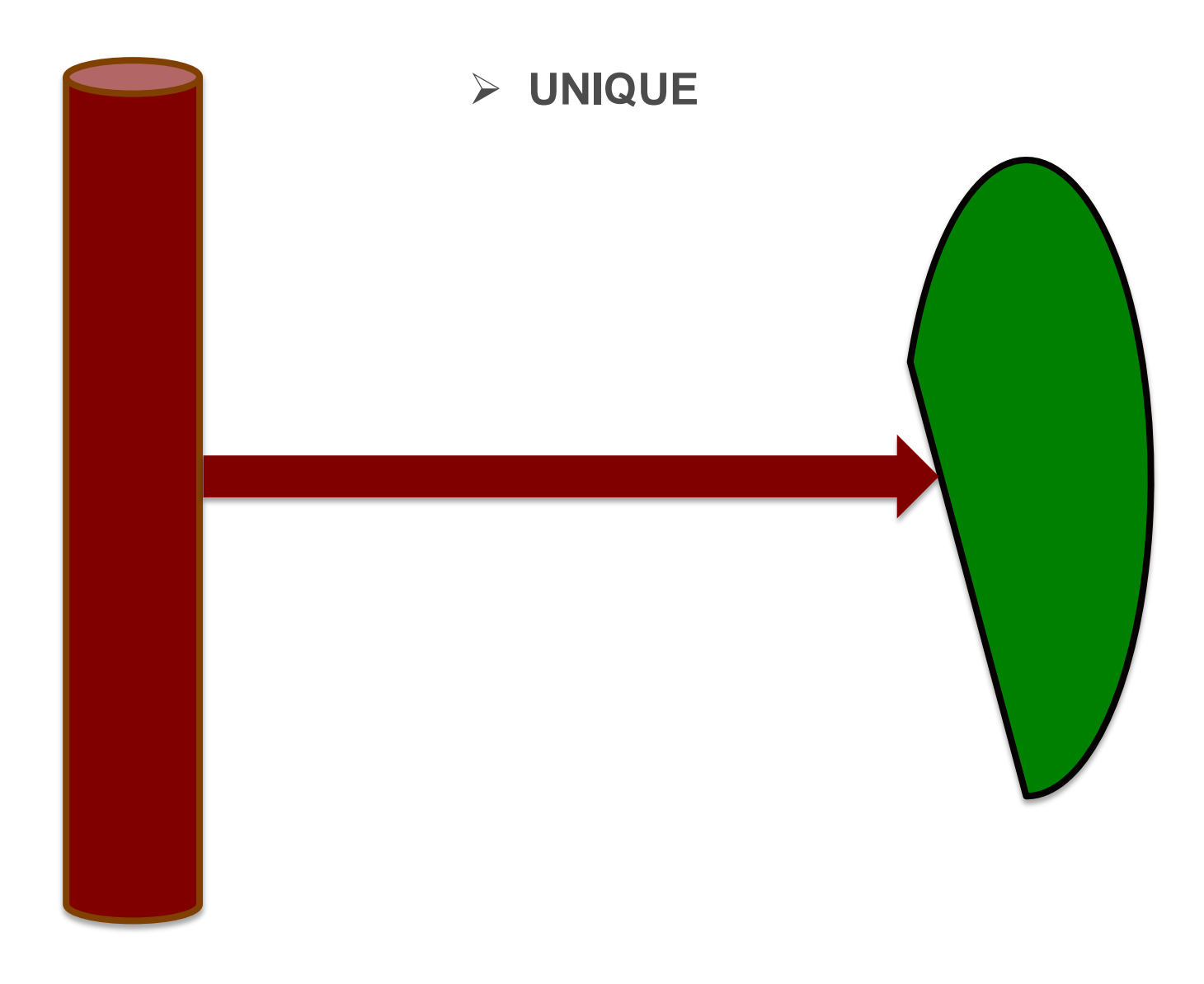
M1 + M2

Université de Strasbourg

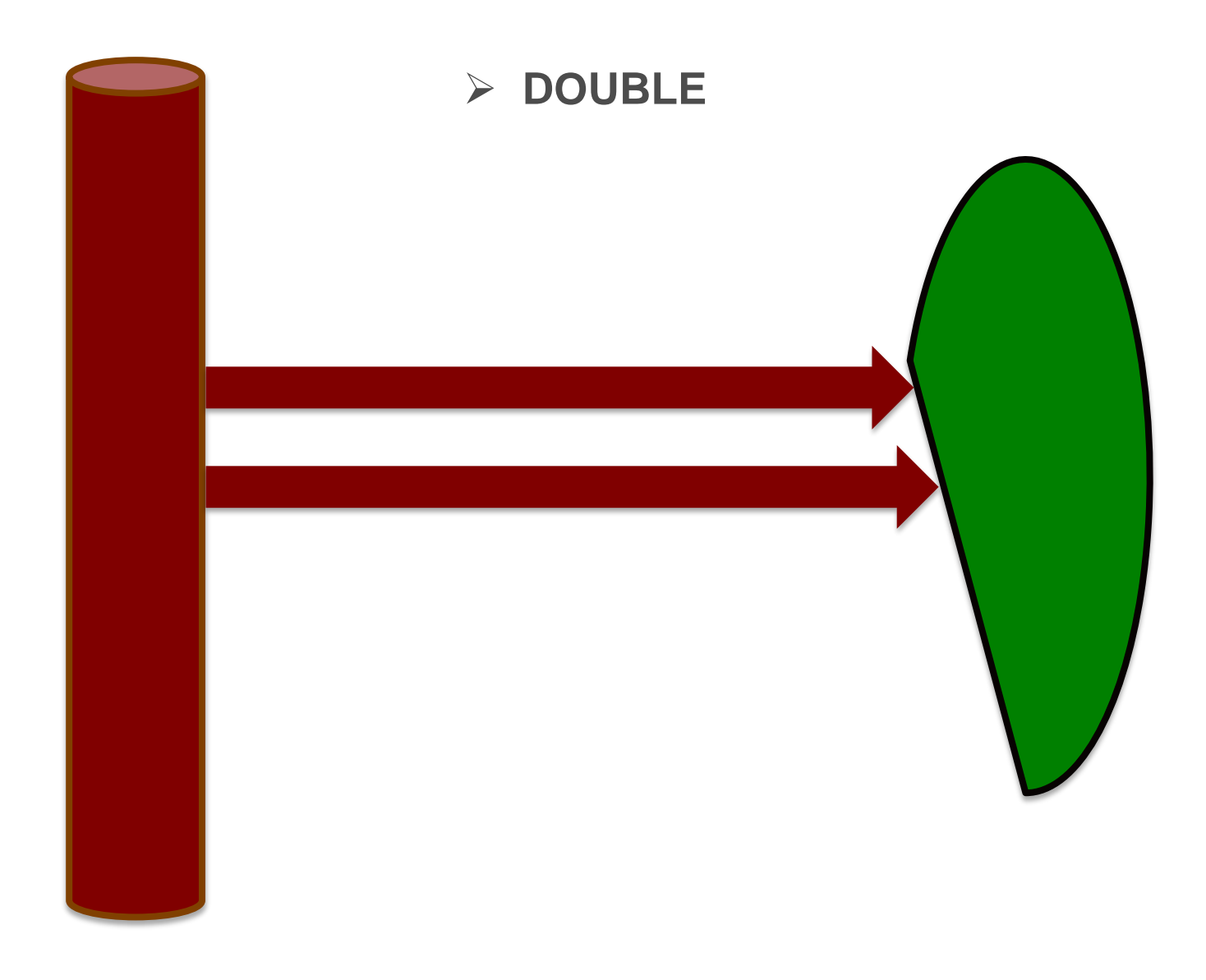
4. Modalités de la variabilité vasculaire



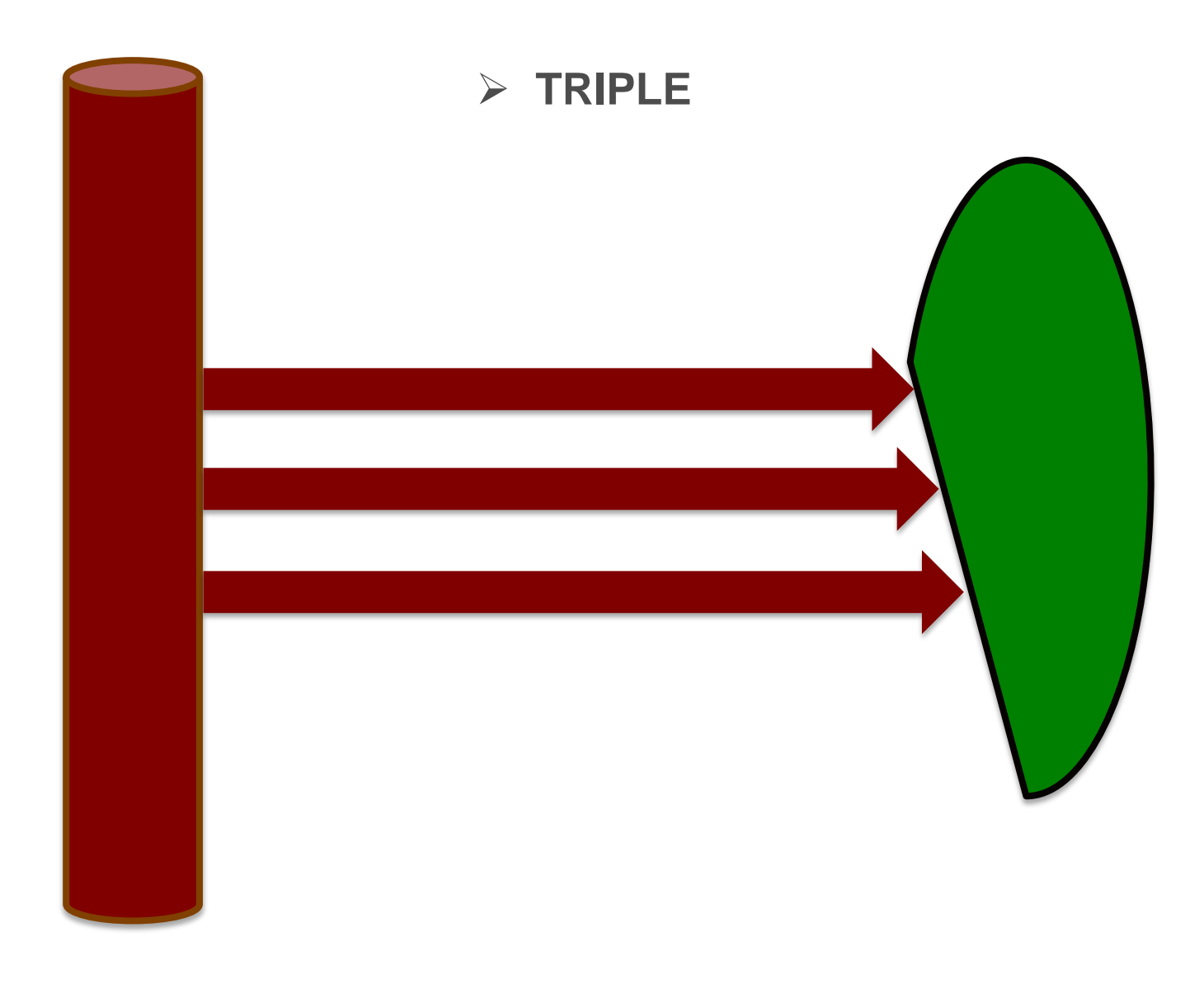
NOMBRE D'ARTÈRES POUR UN ORGANE DONNÉ



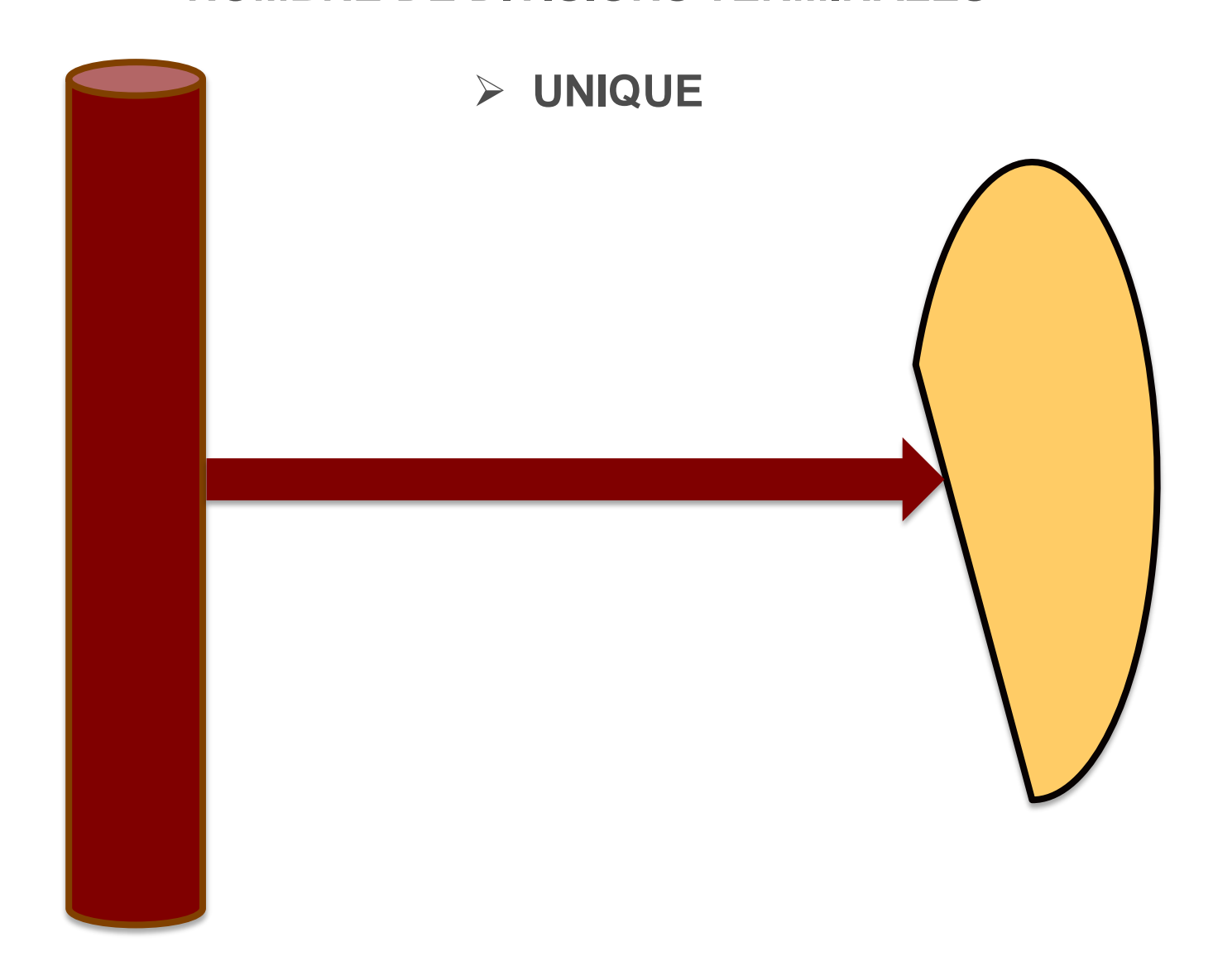
NOMBRE D'ARTÈRES POUR UN ORGANE DONNÉ



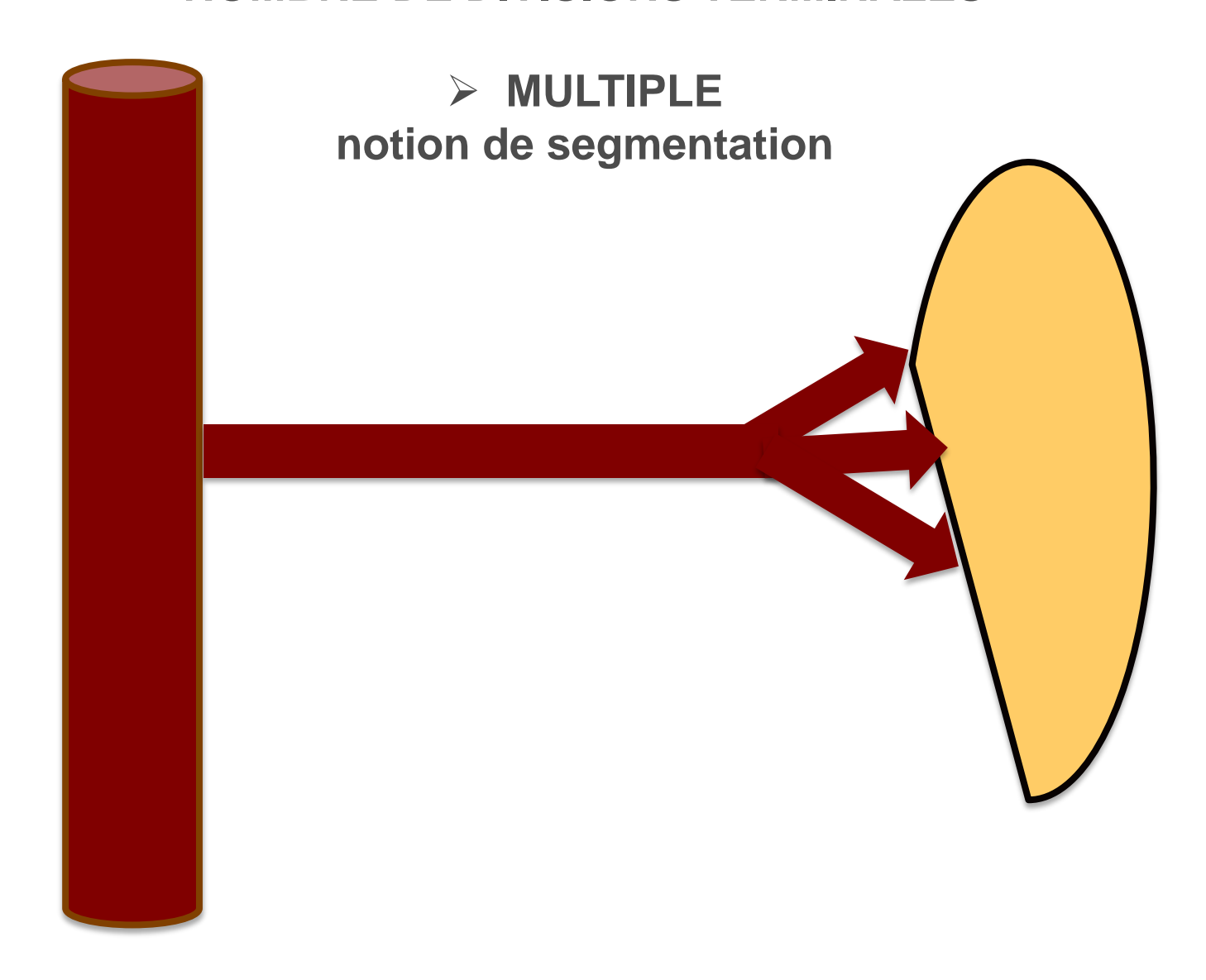
NOMBRE D'ARTÈRES POUR UN ORGANE DONNÉ



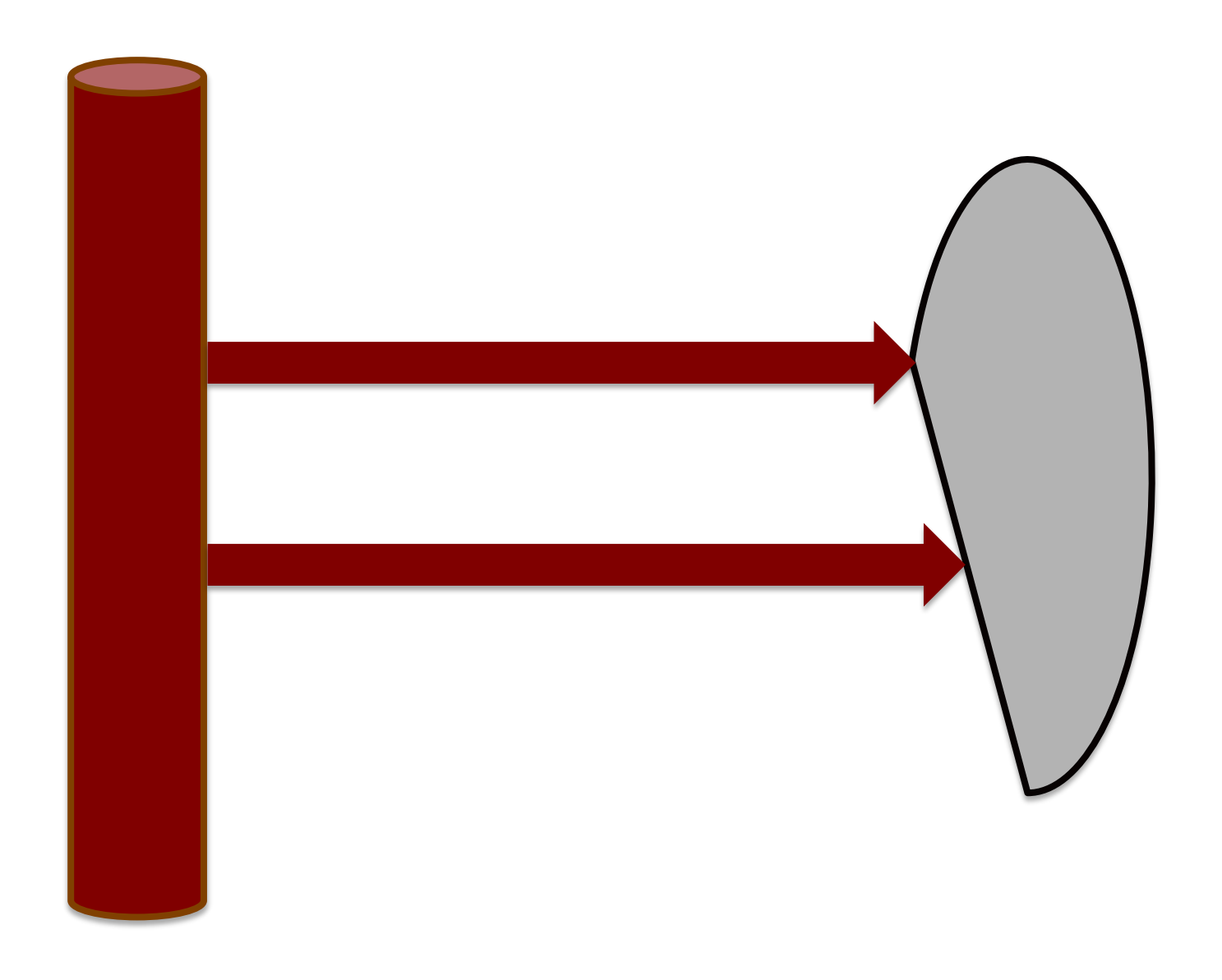
NOMBRE DE DIVISIONS TERMINALES



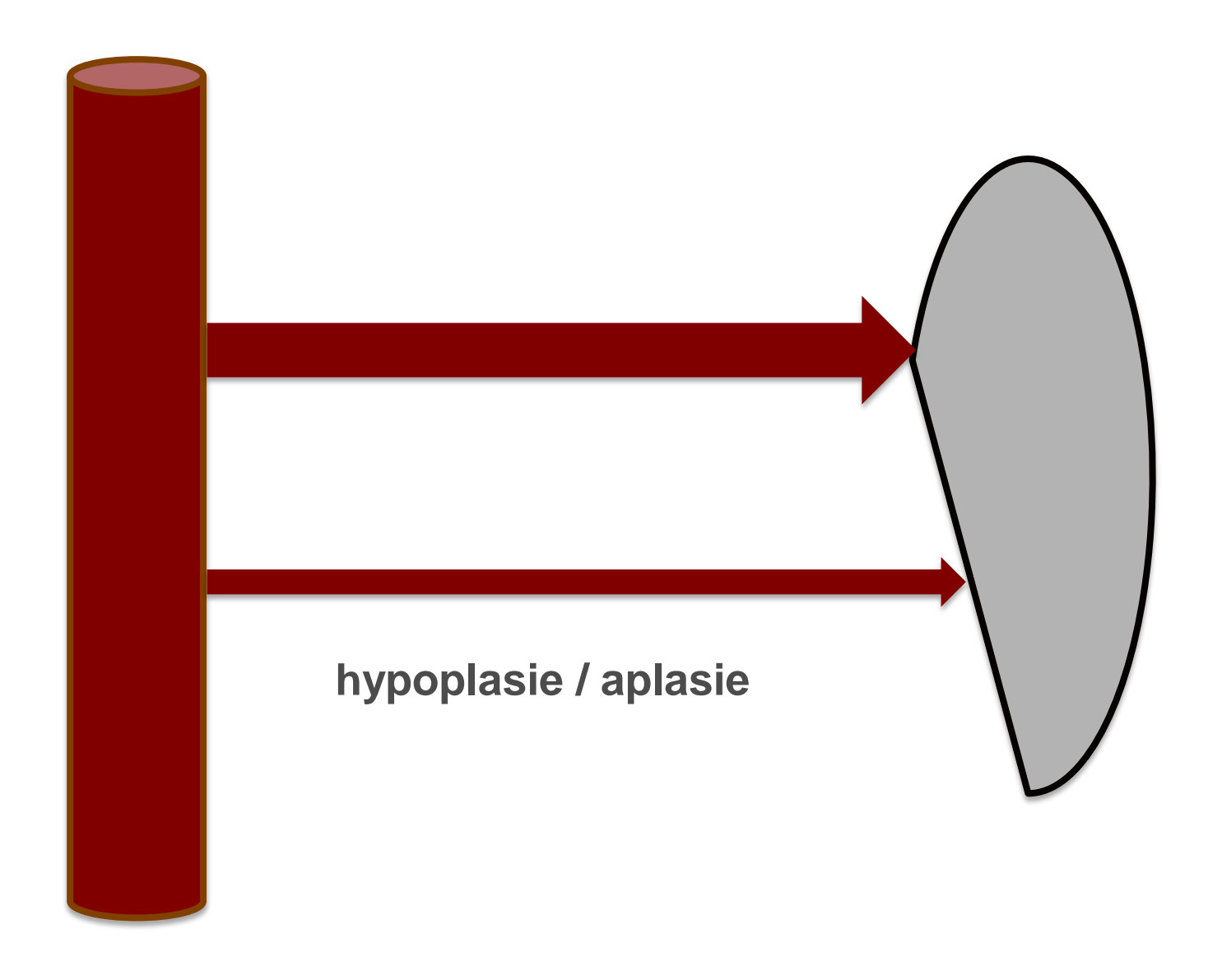
NOMBRE DE DIVISIONS TERMINALES



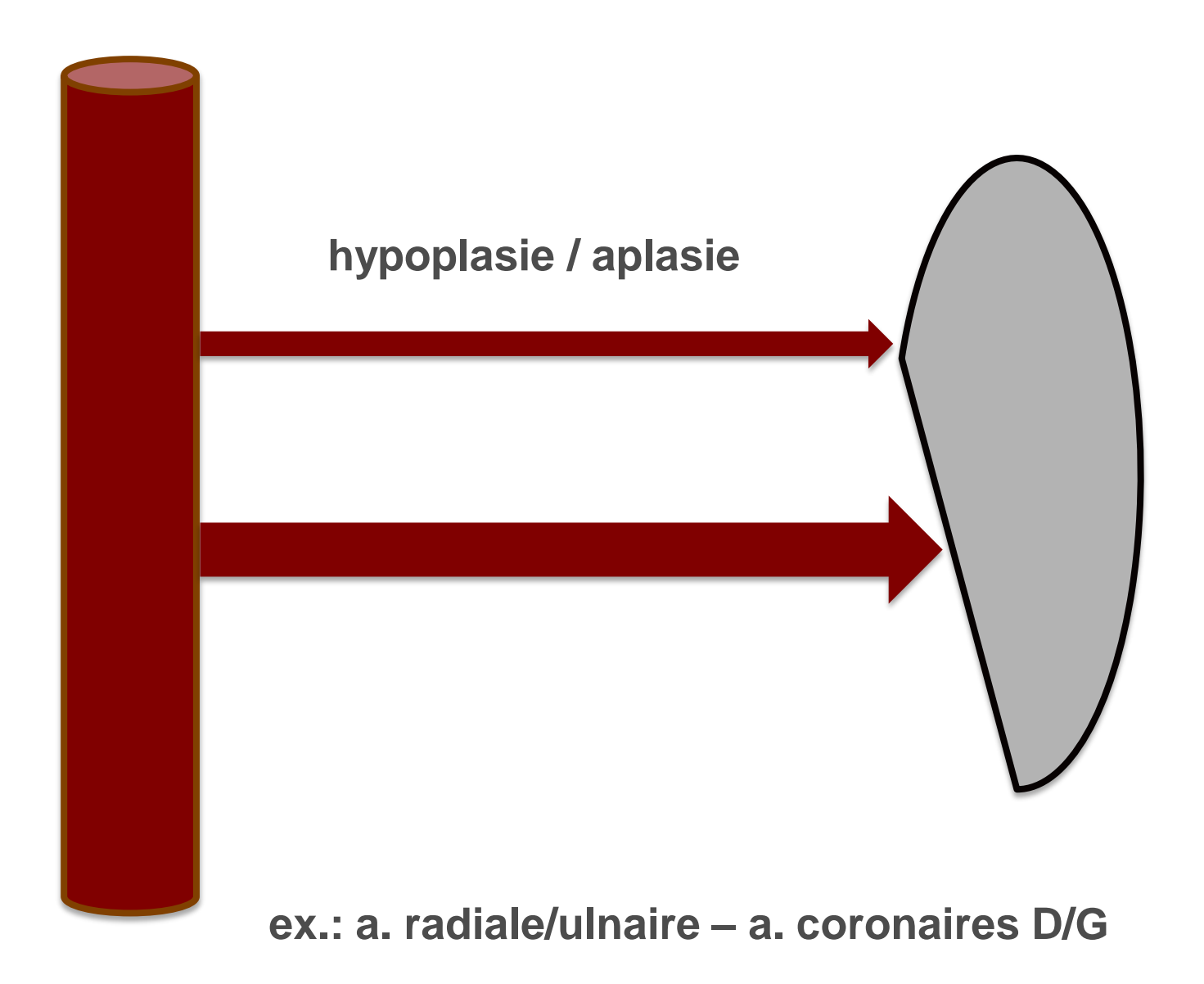
ÉQUILIBRE ENTRE 2 ARTÈRES POUR UN ORGANE DONNÉ

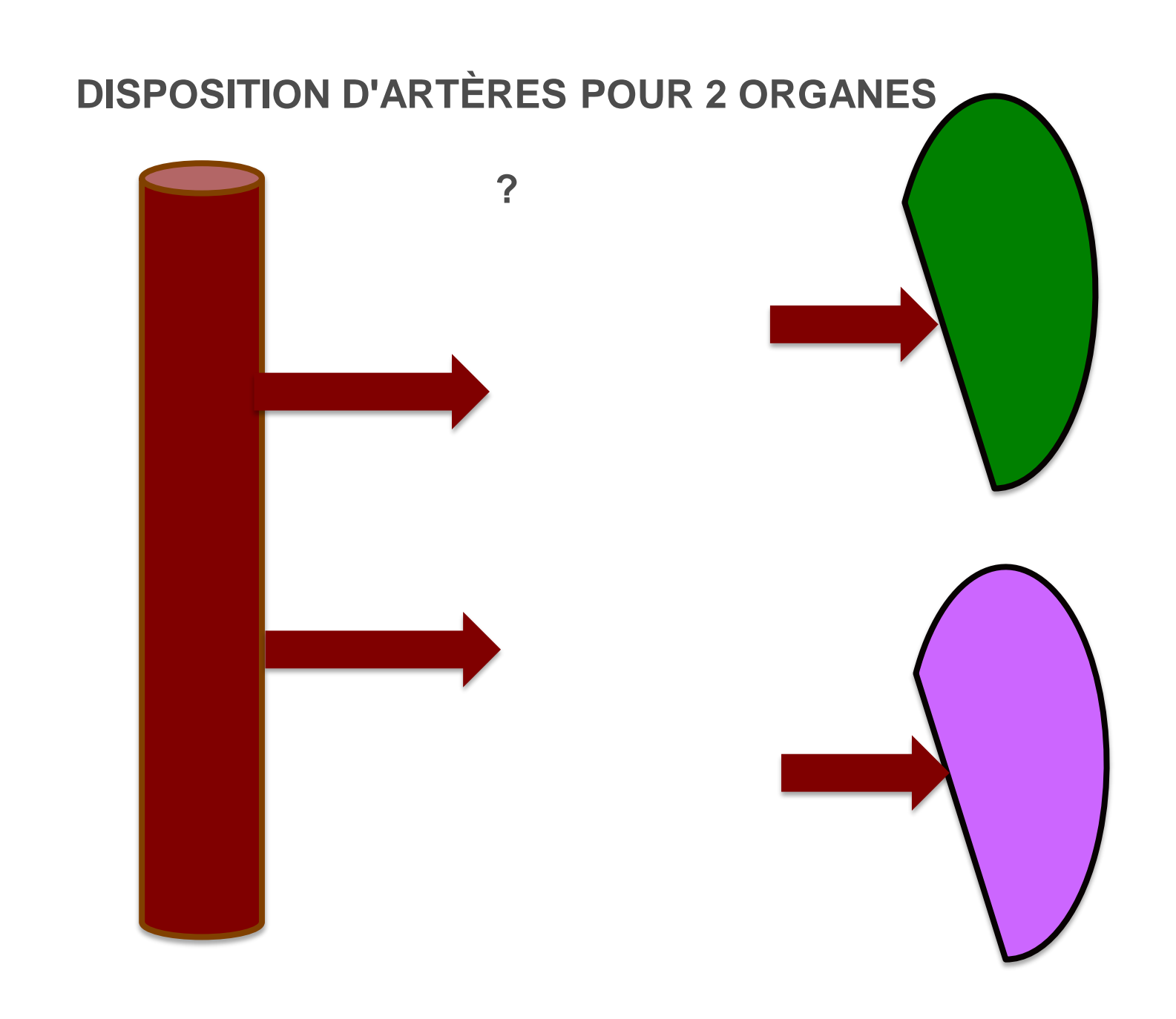


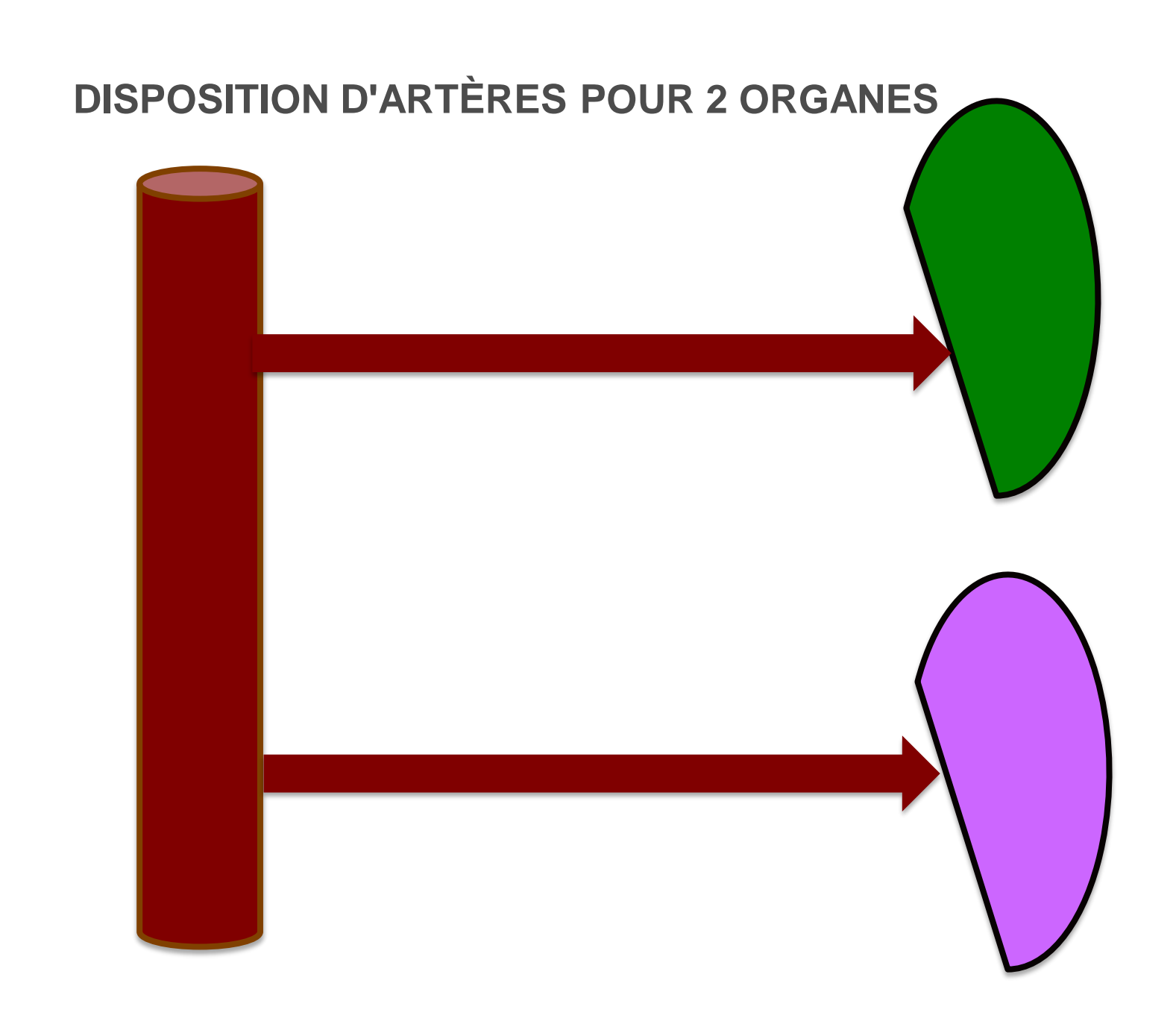
ÉQUILIBRE ENTRE 2 ARTÈRES POUR UN ORGANE DONNÉ

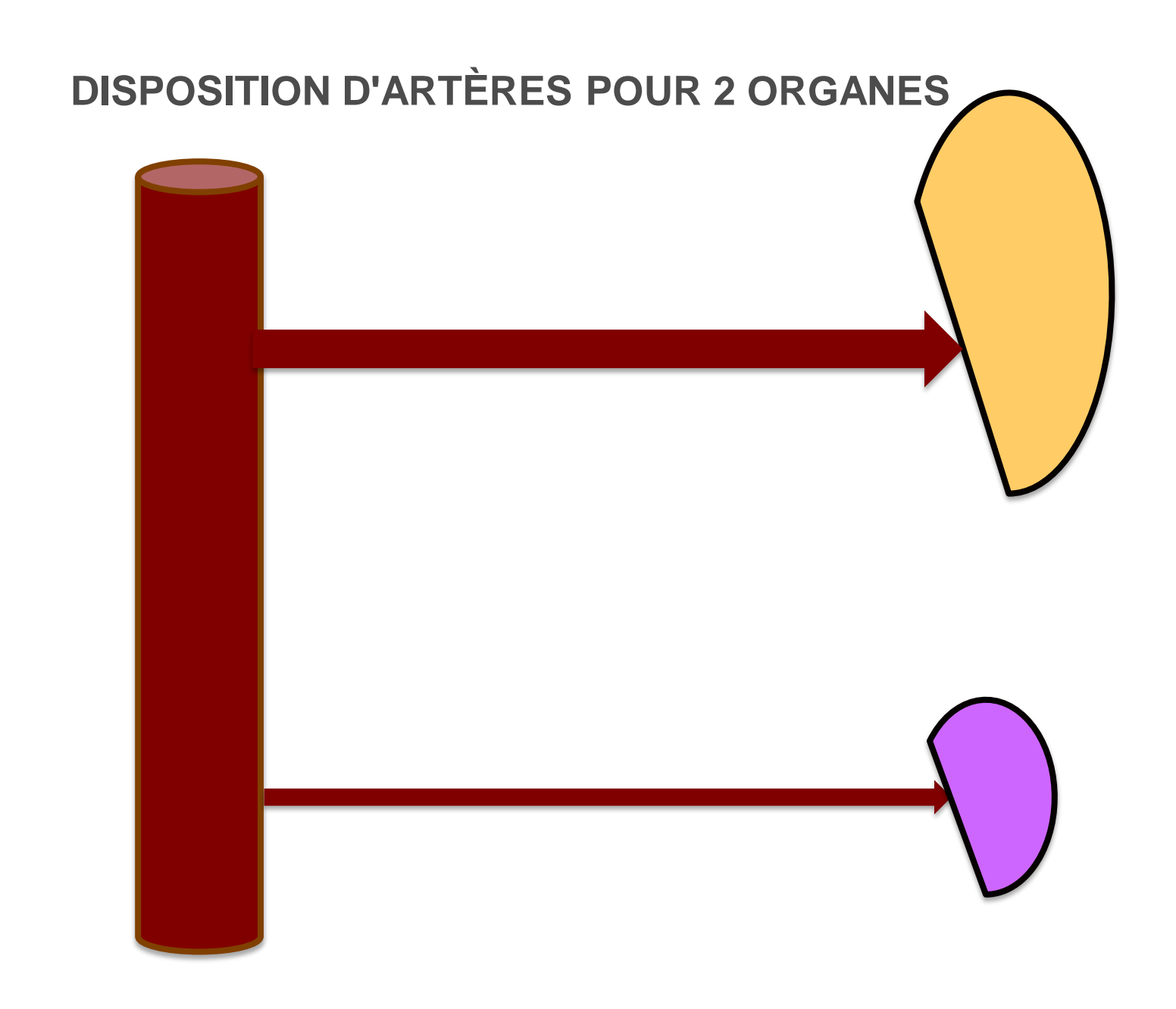


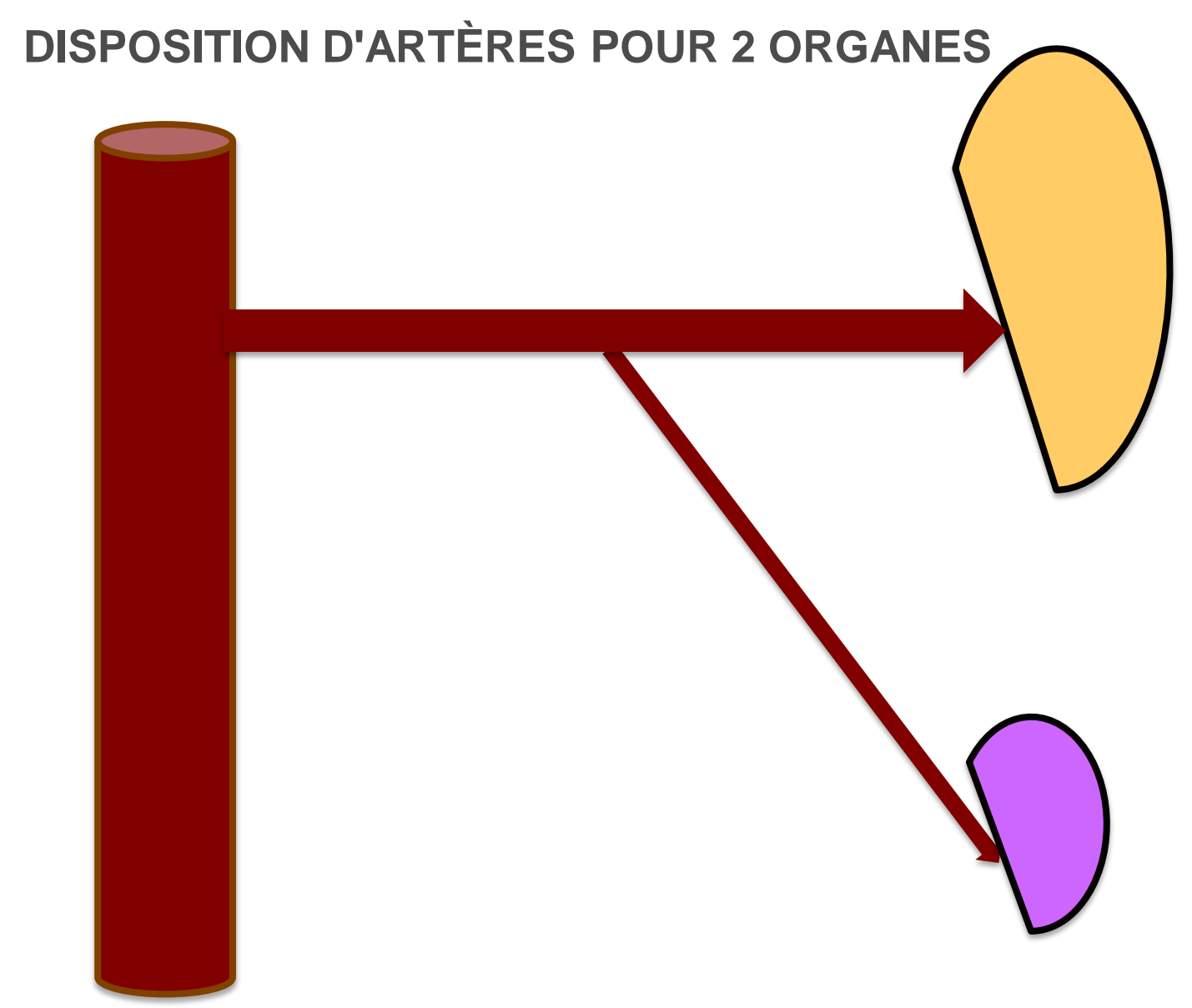
ÉQUILIBRE ENTRE 2 ARTÈRES POUR UN ORGANE DONNÉ



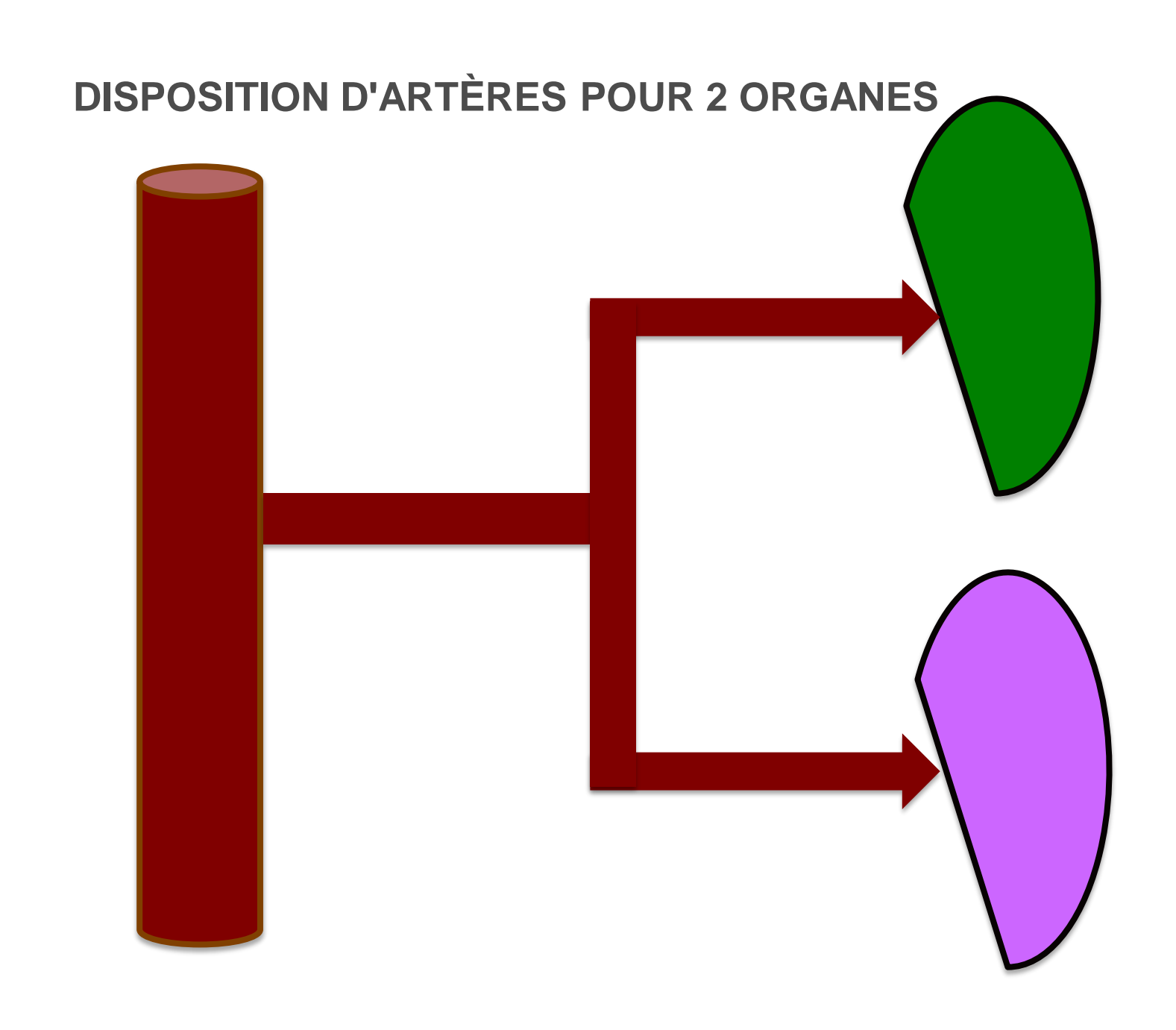


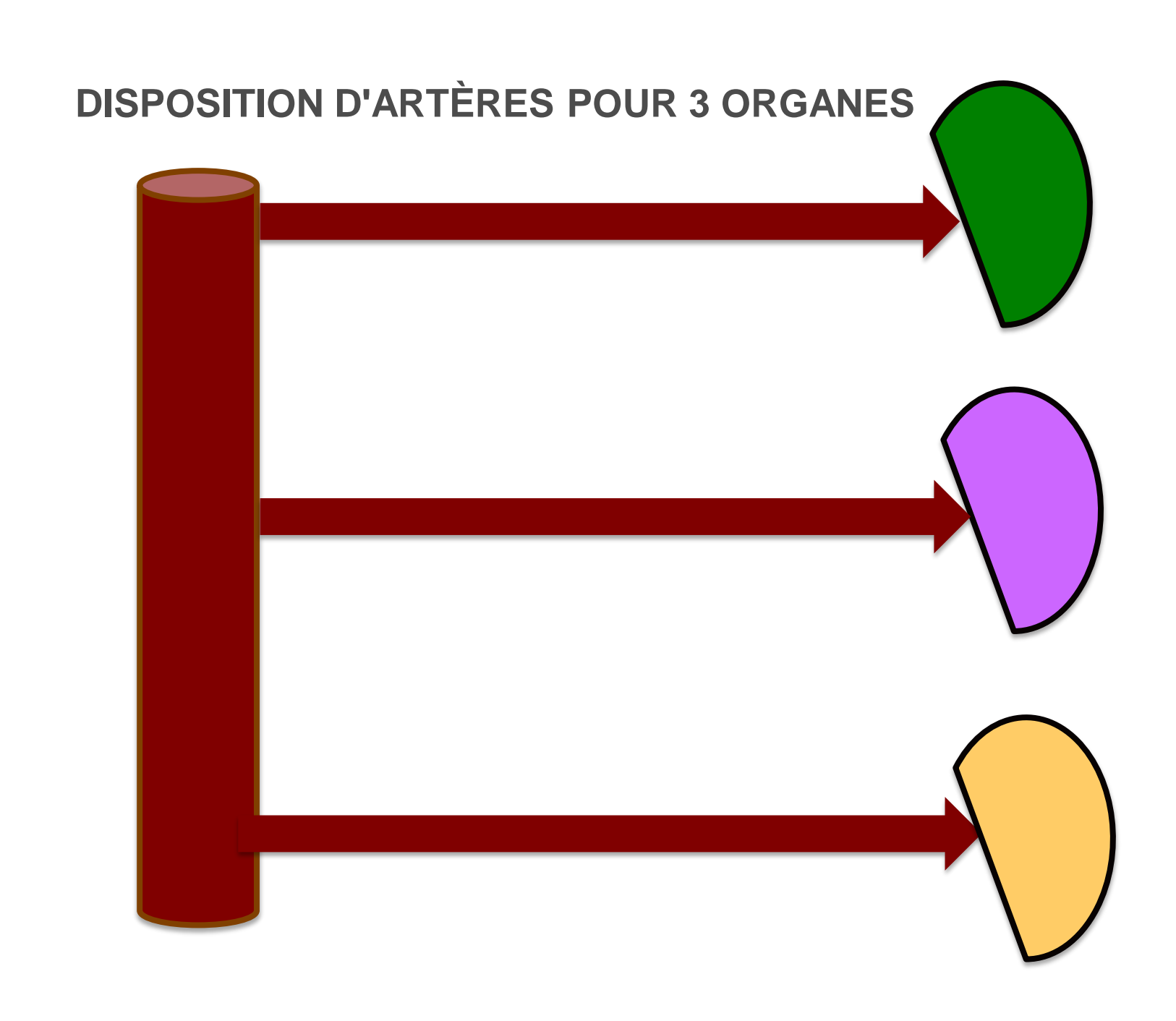


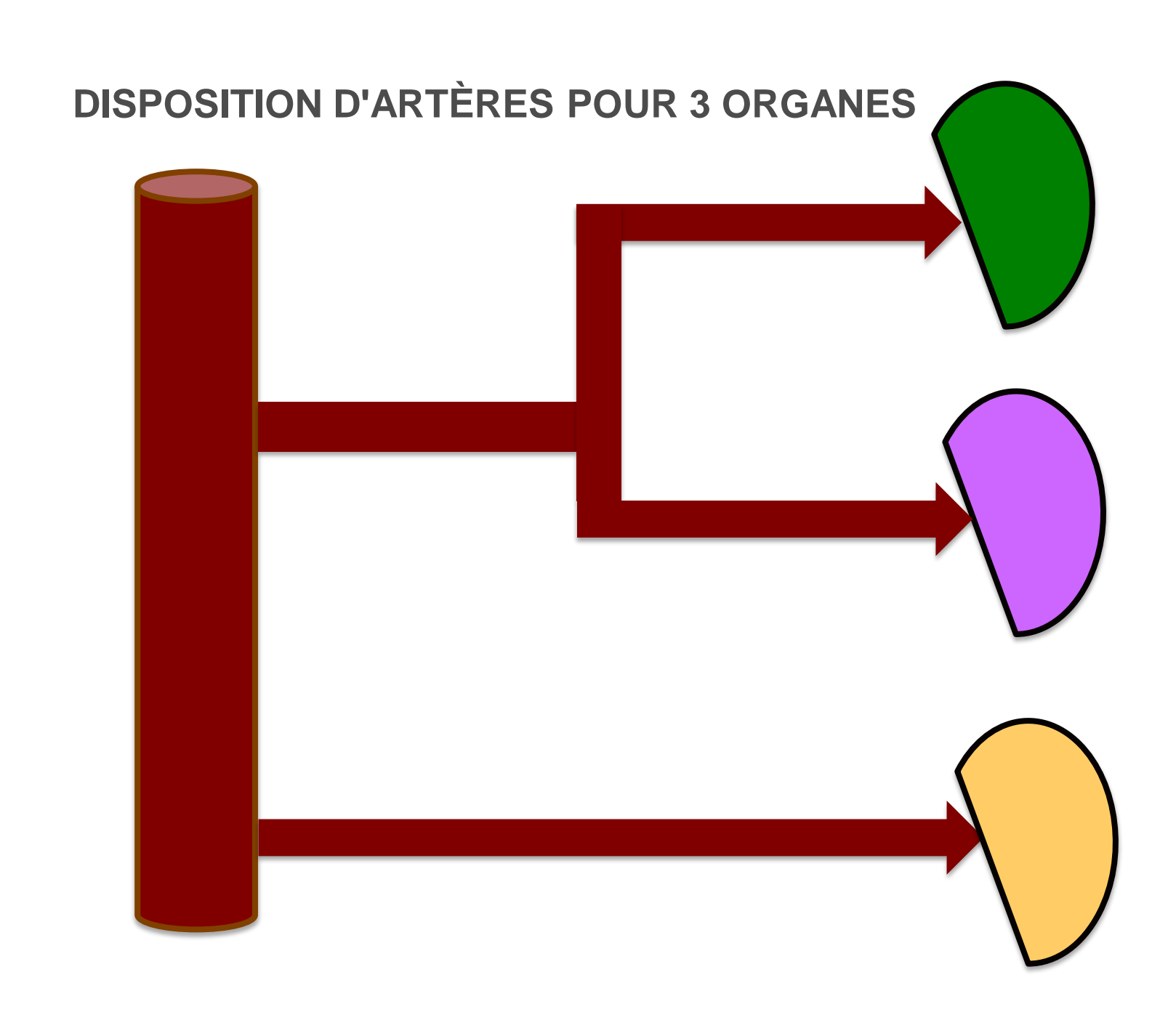


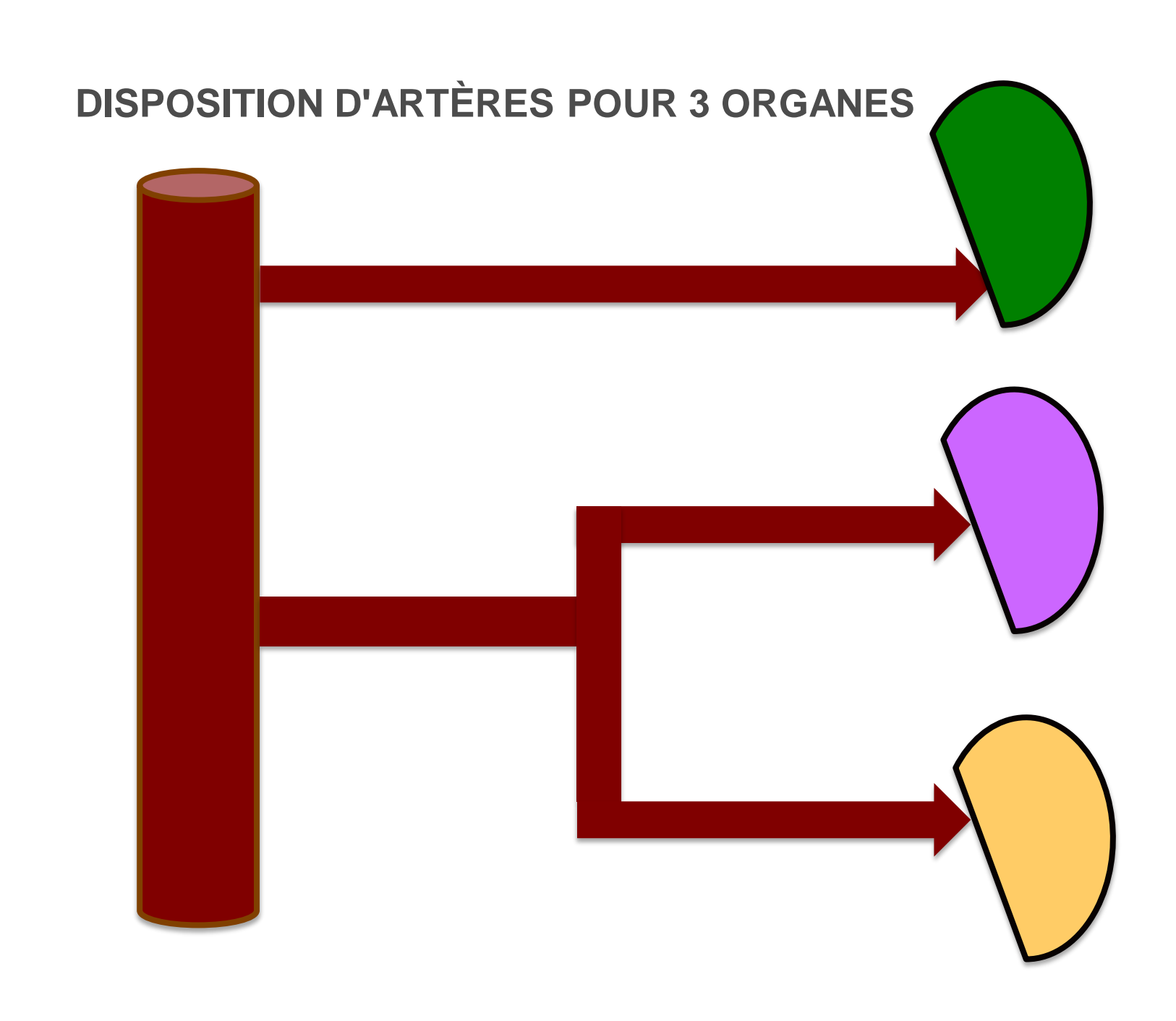


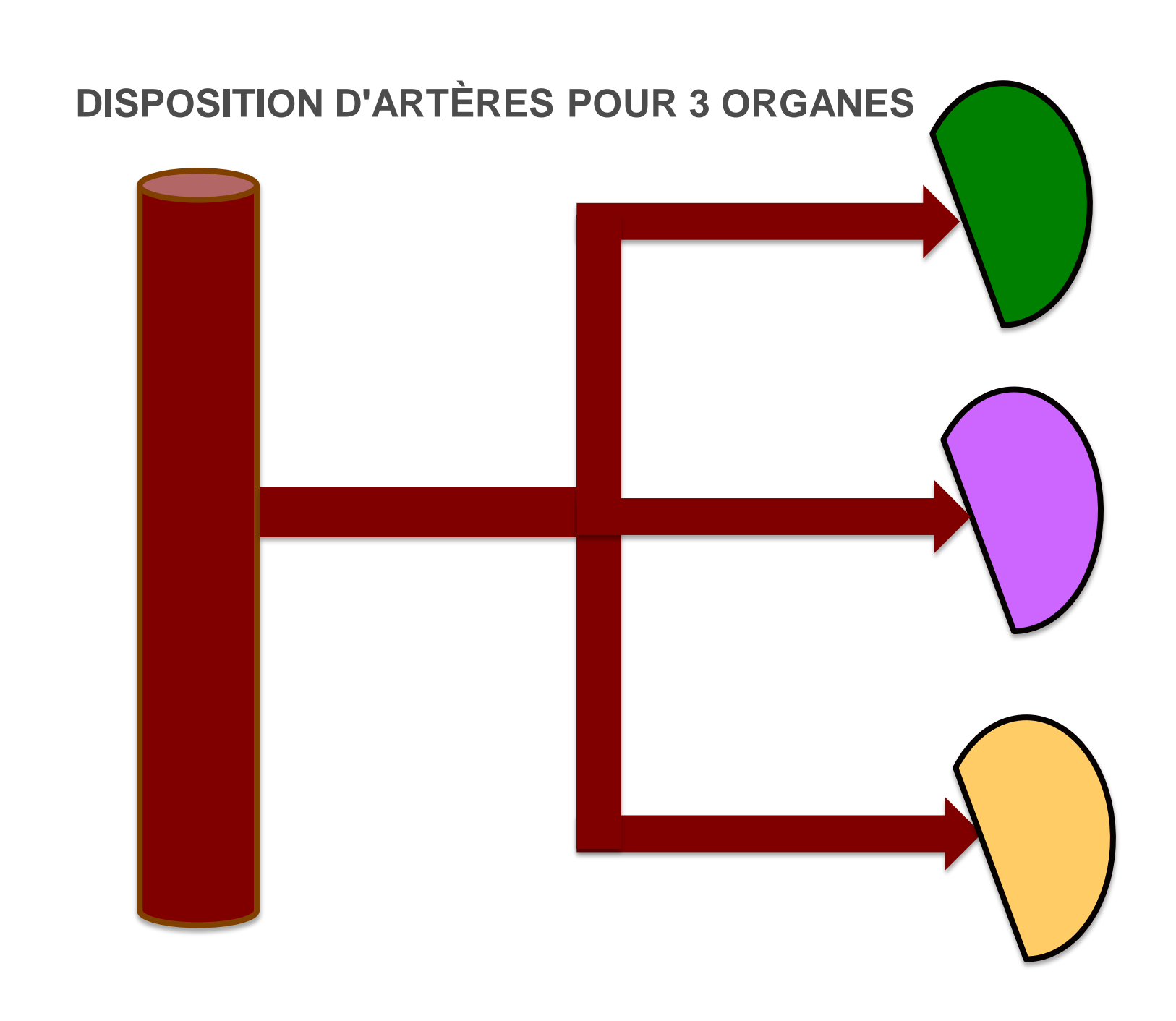
ex.: a. gonadiques – a. suprarénales

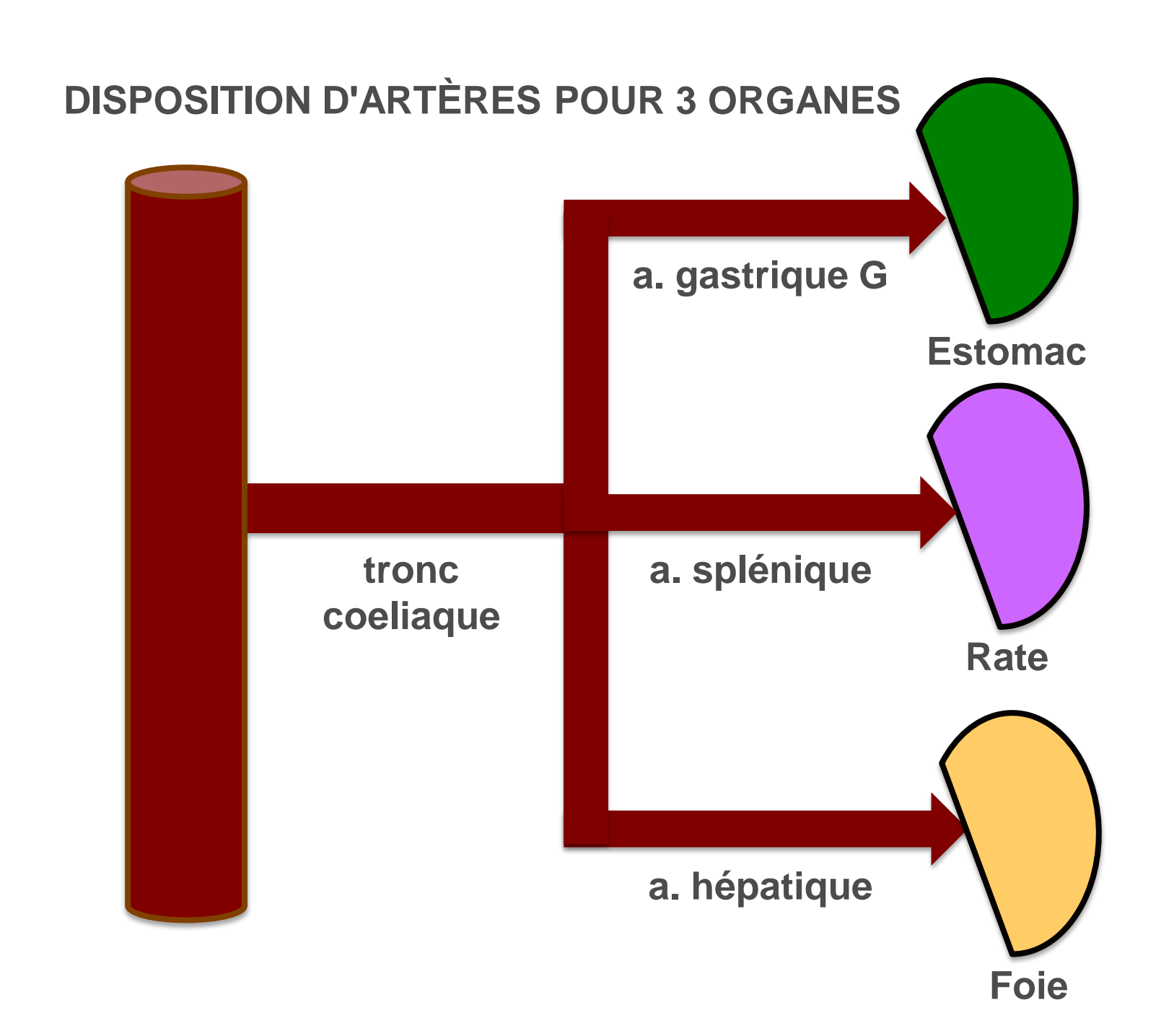


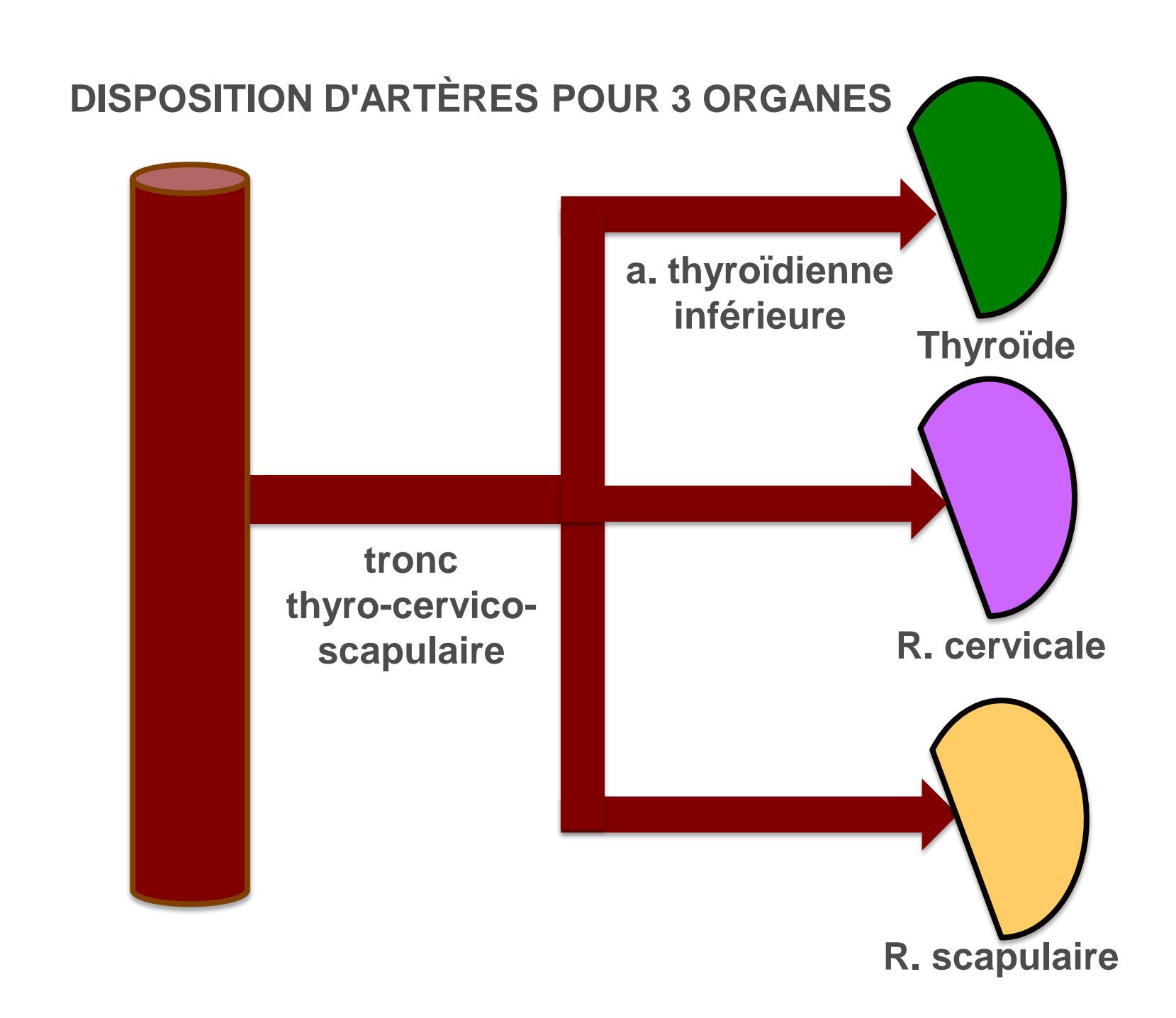


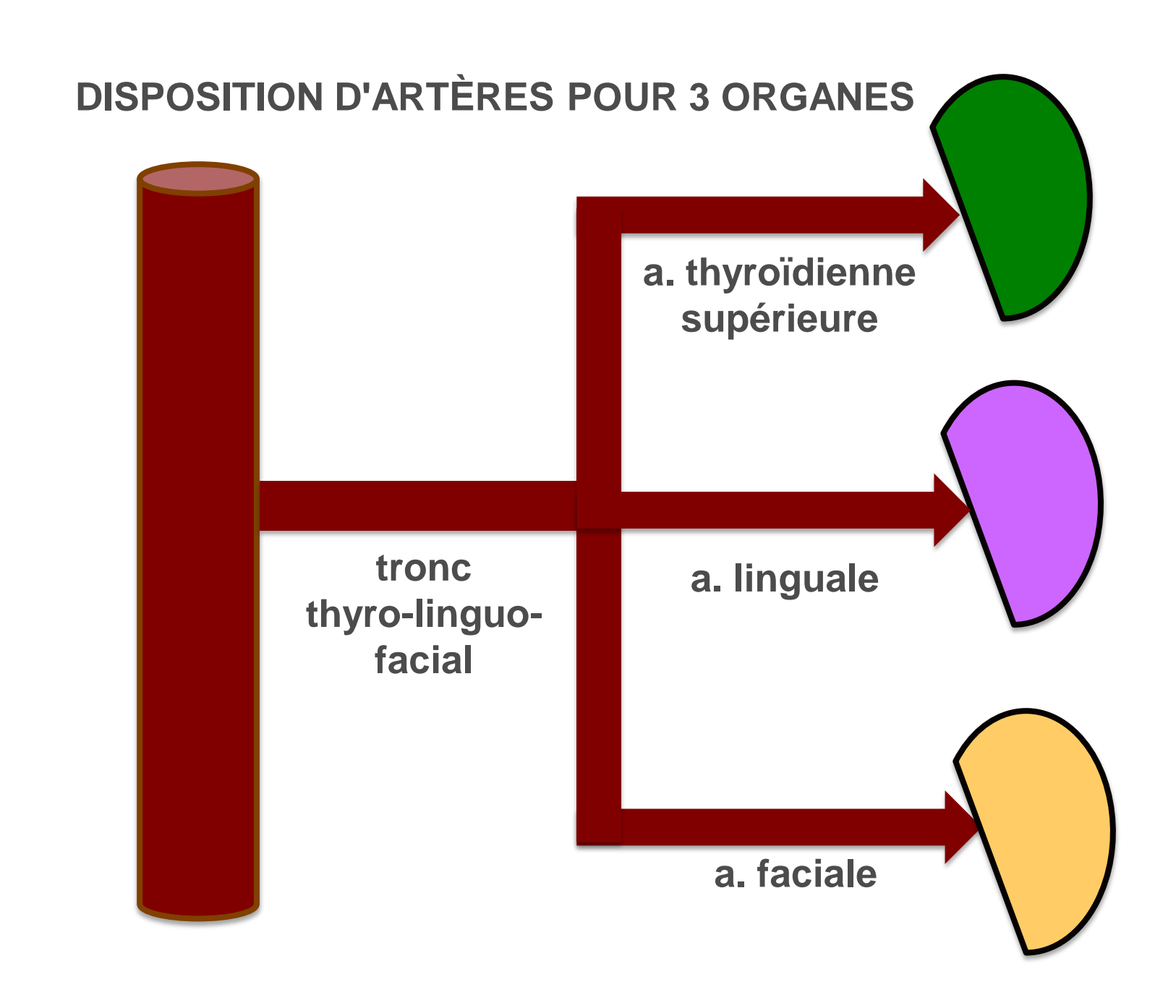


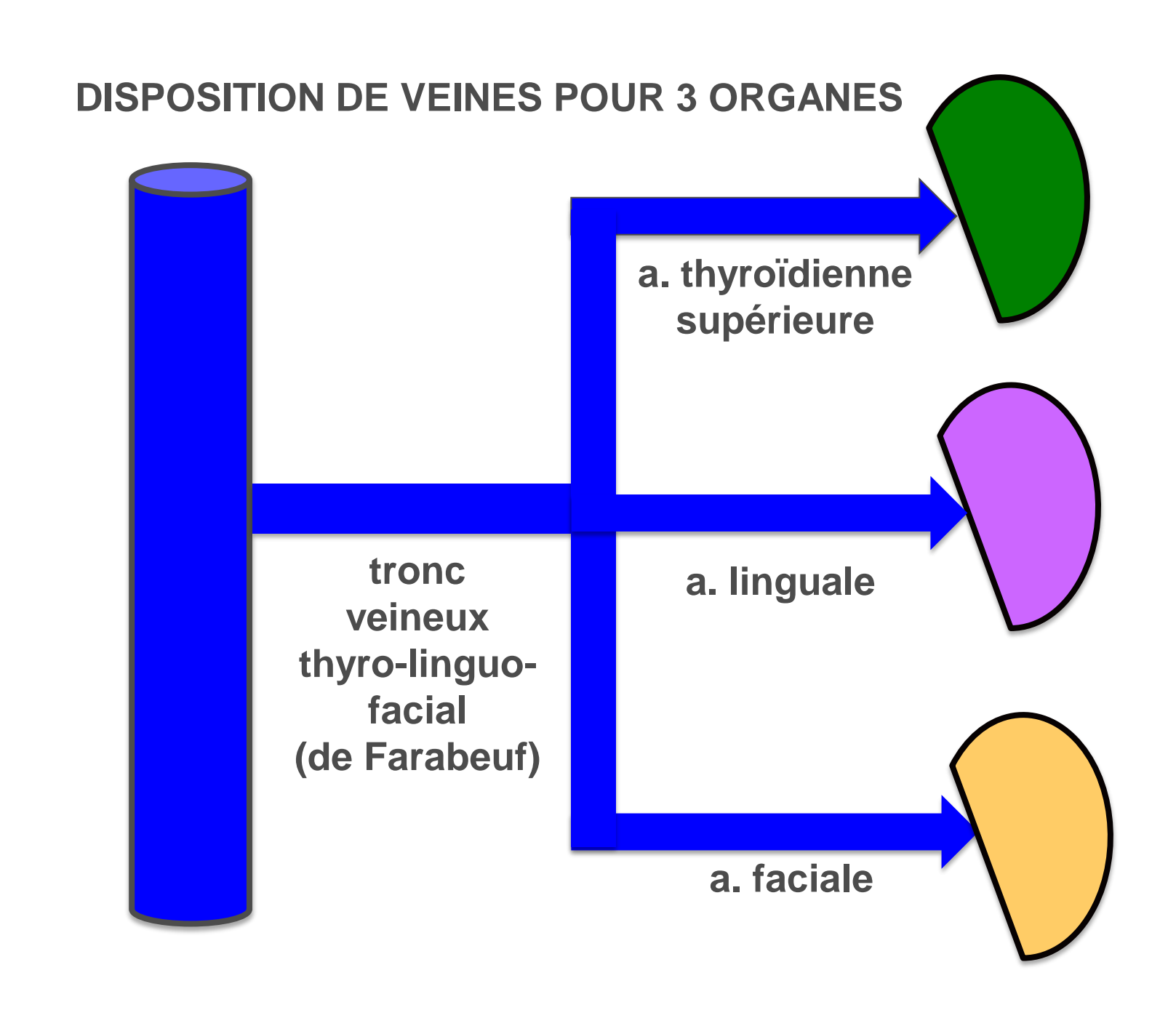


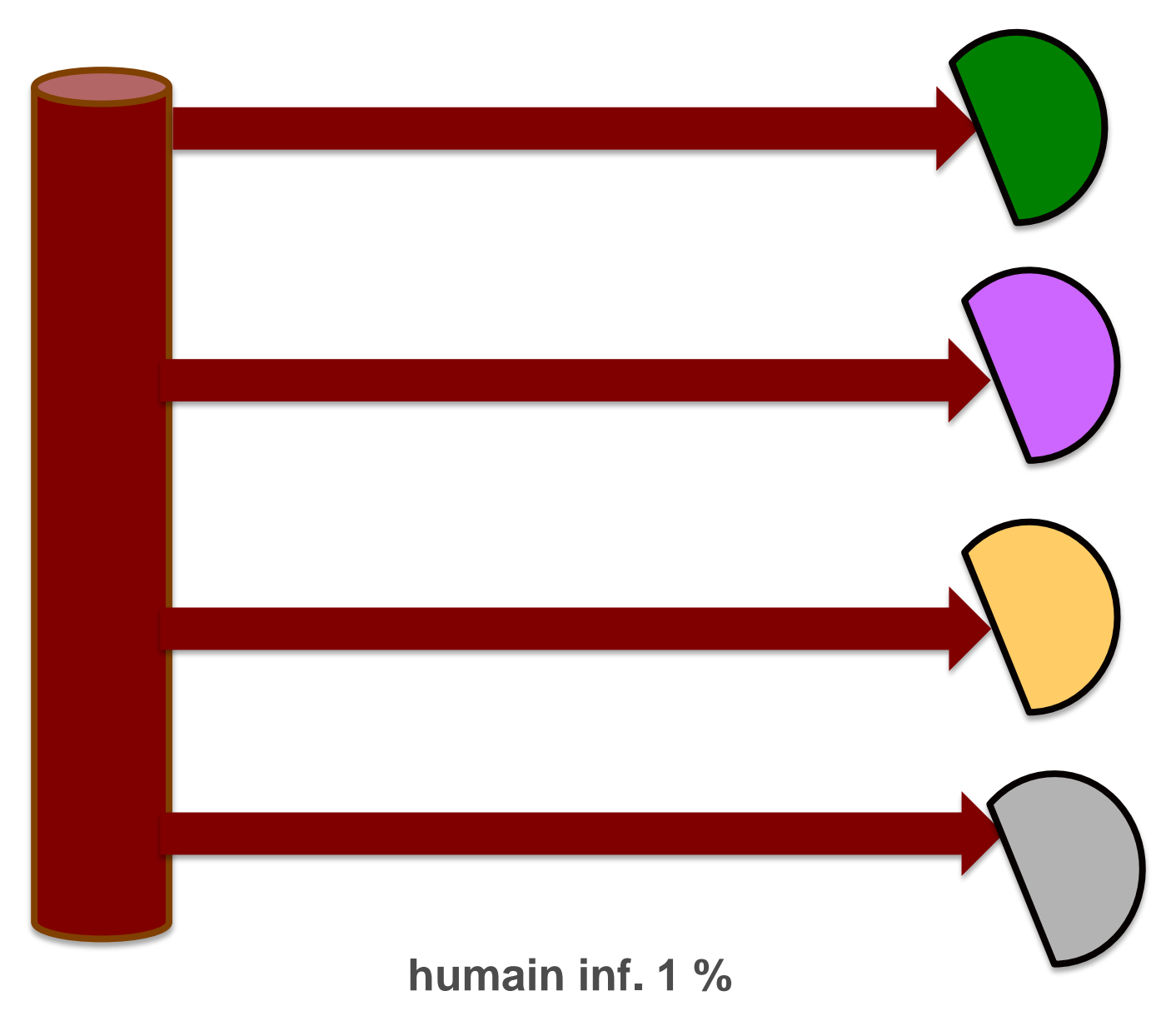


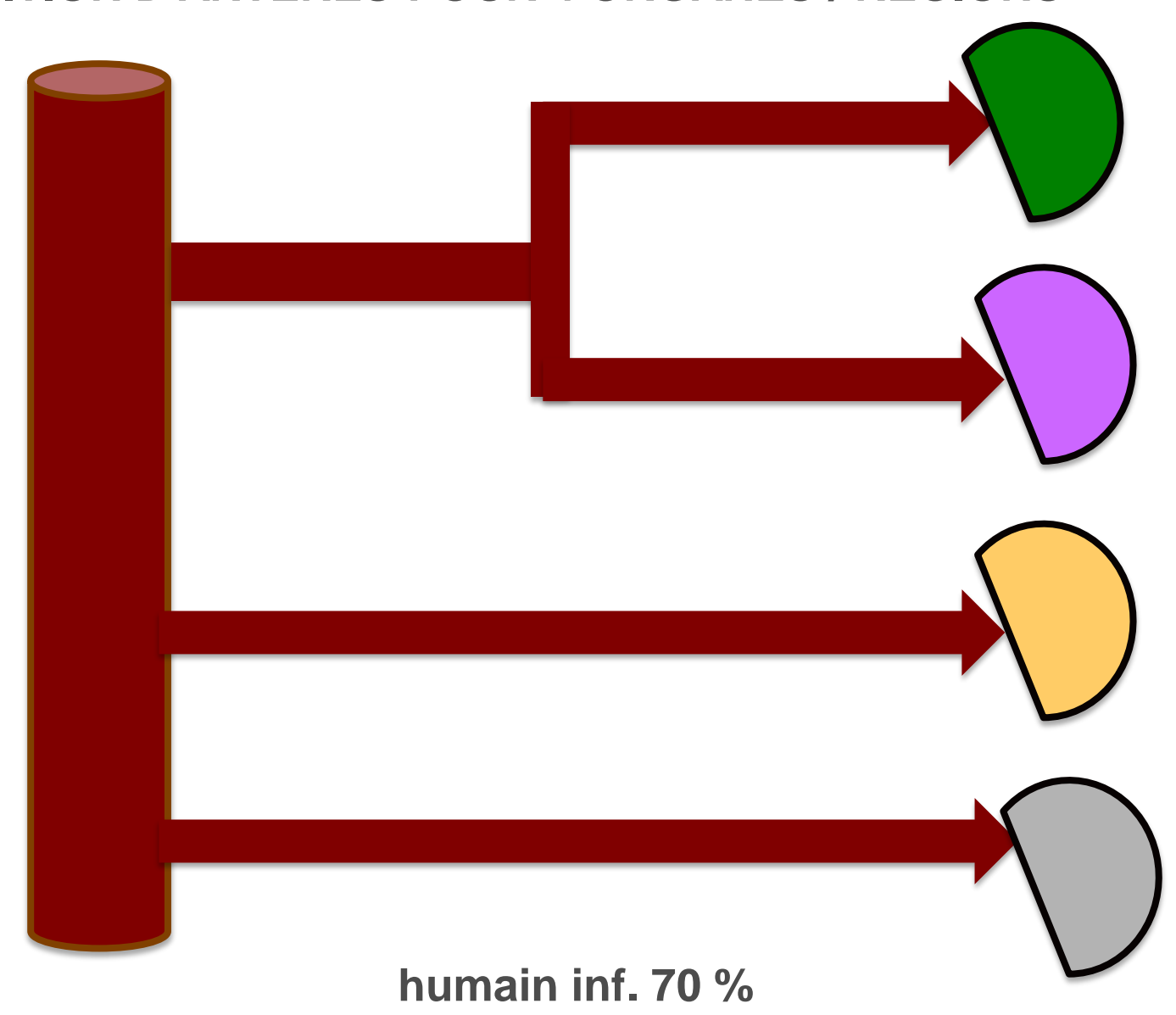


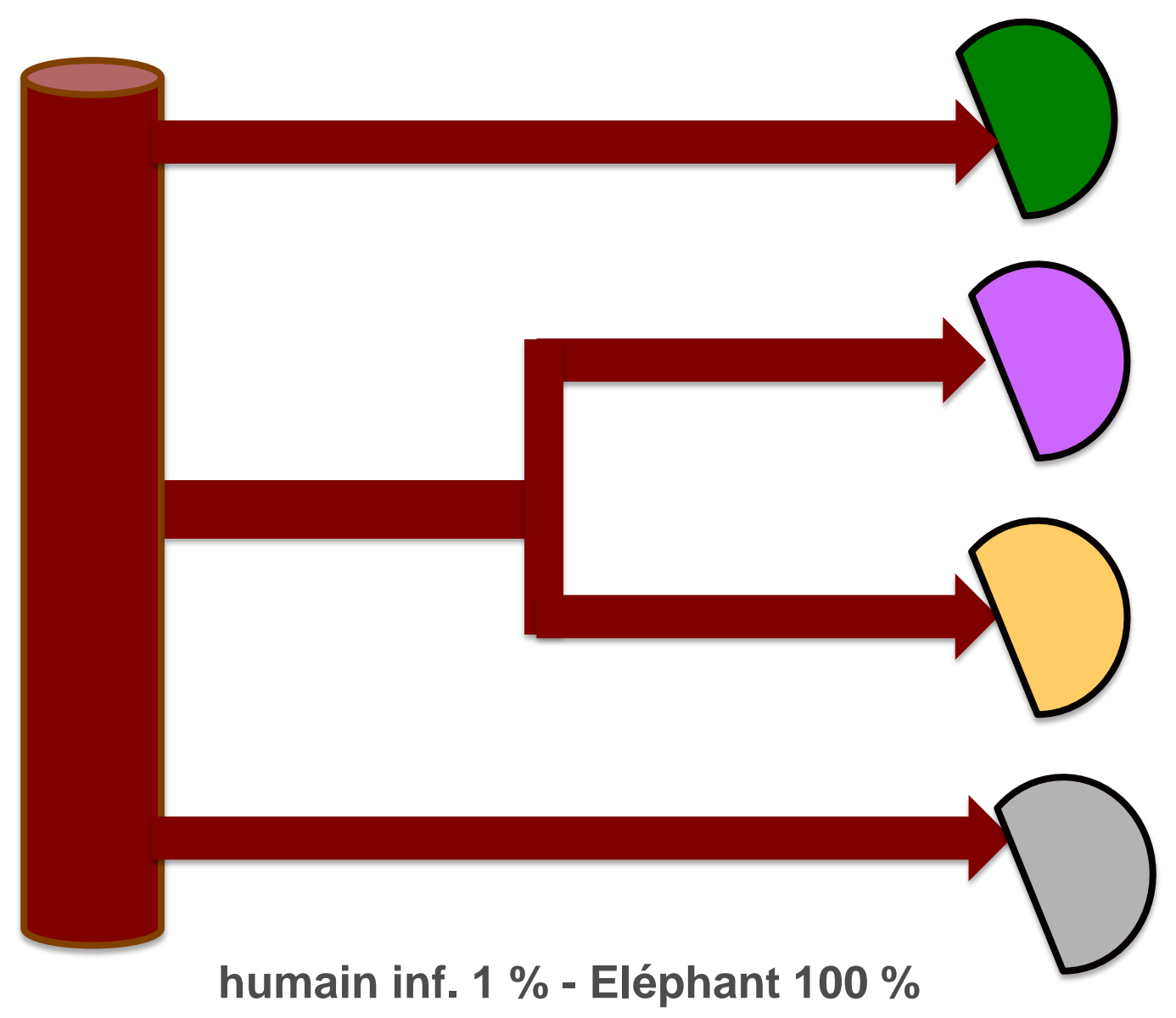


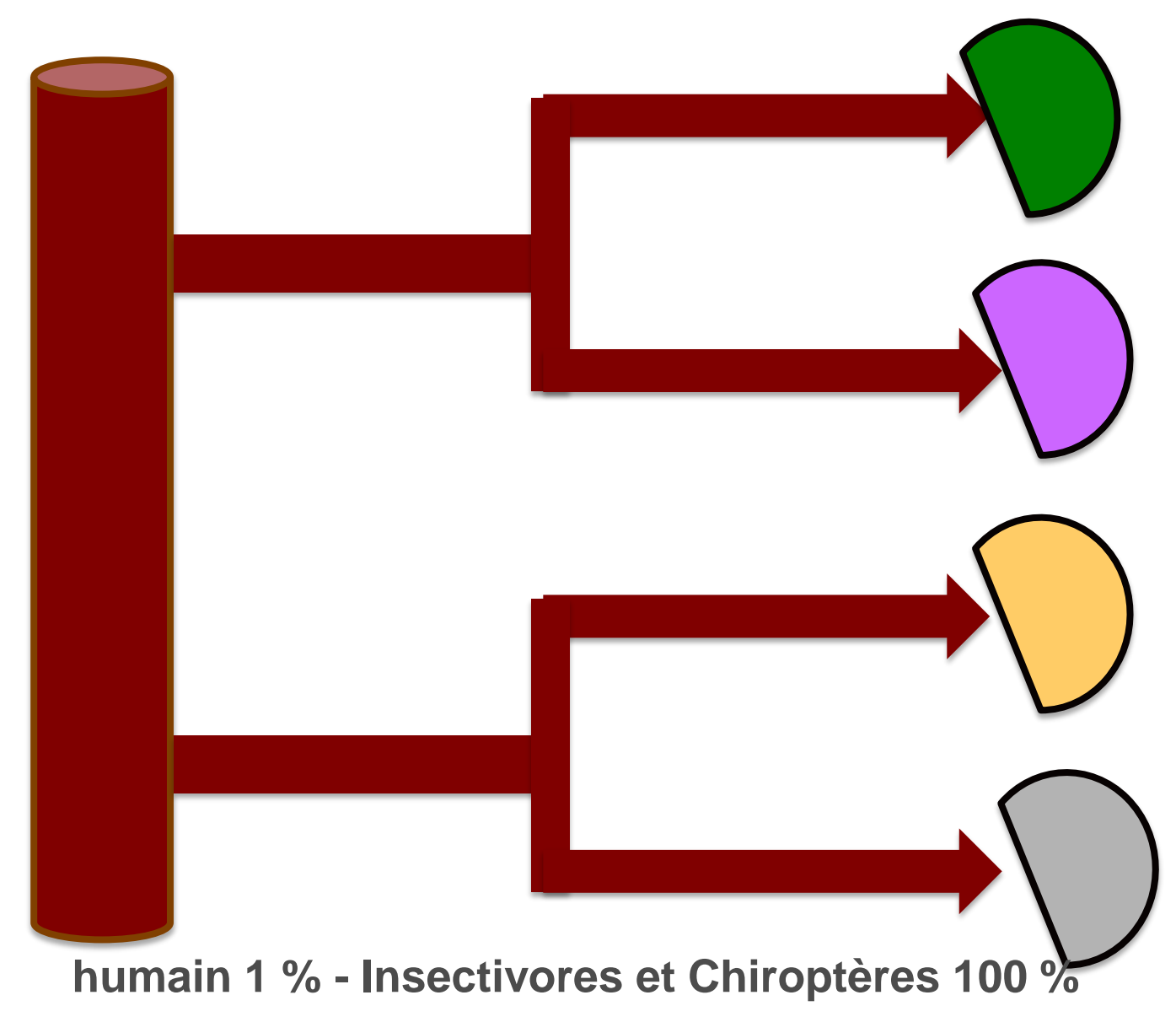


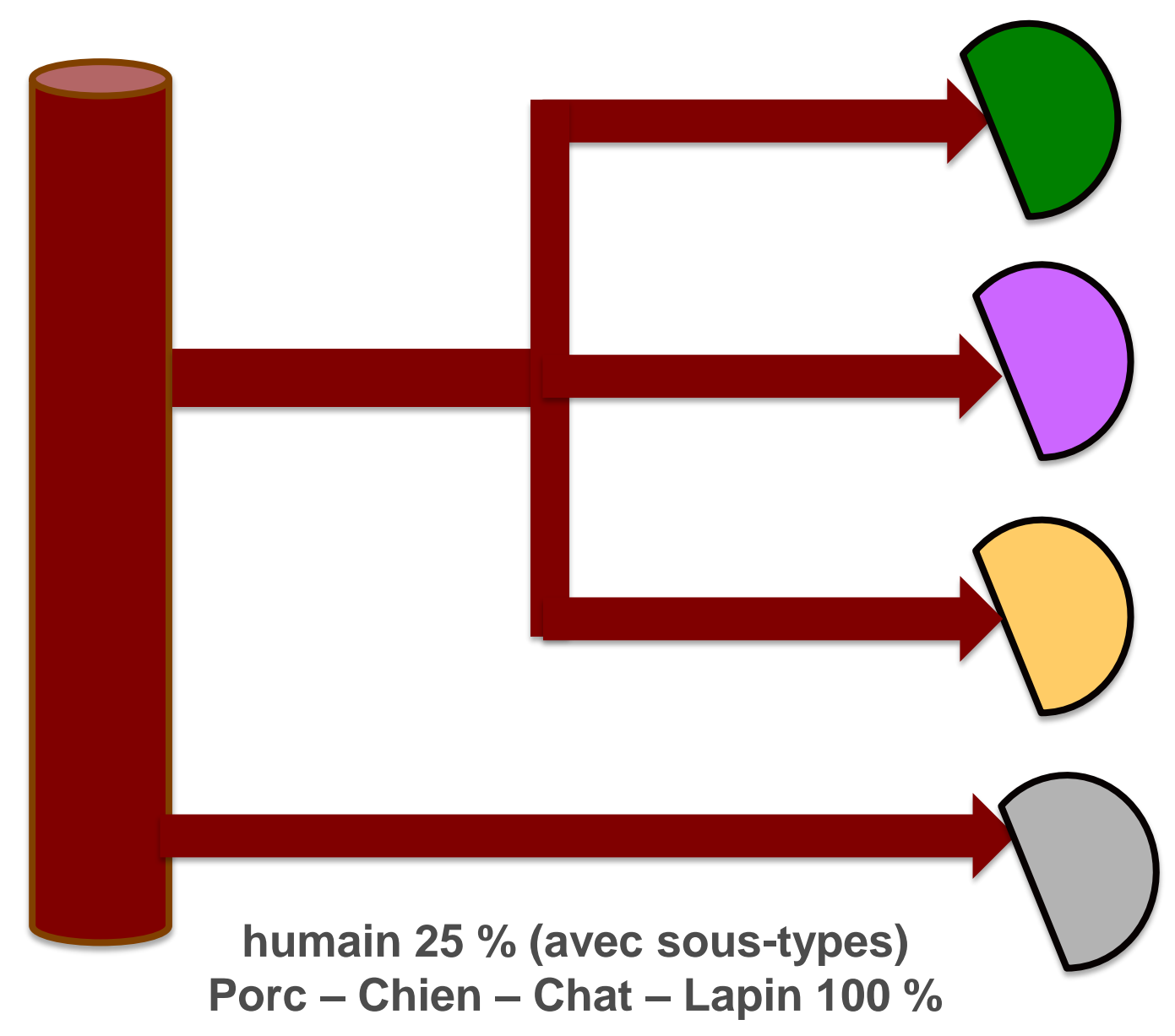


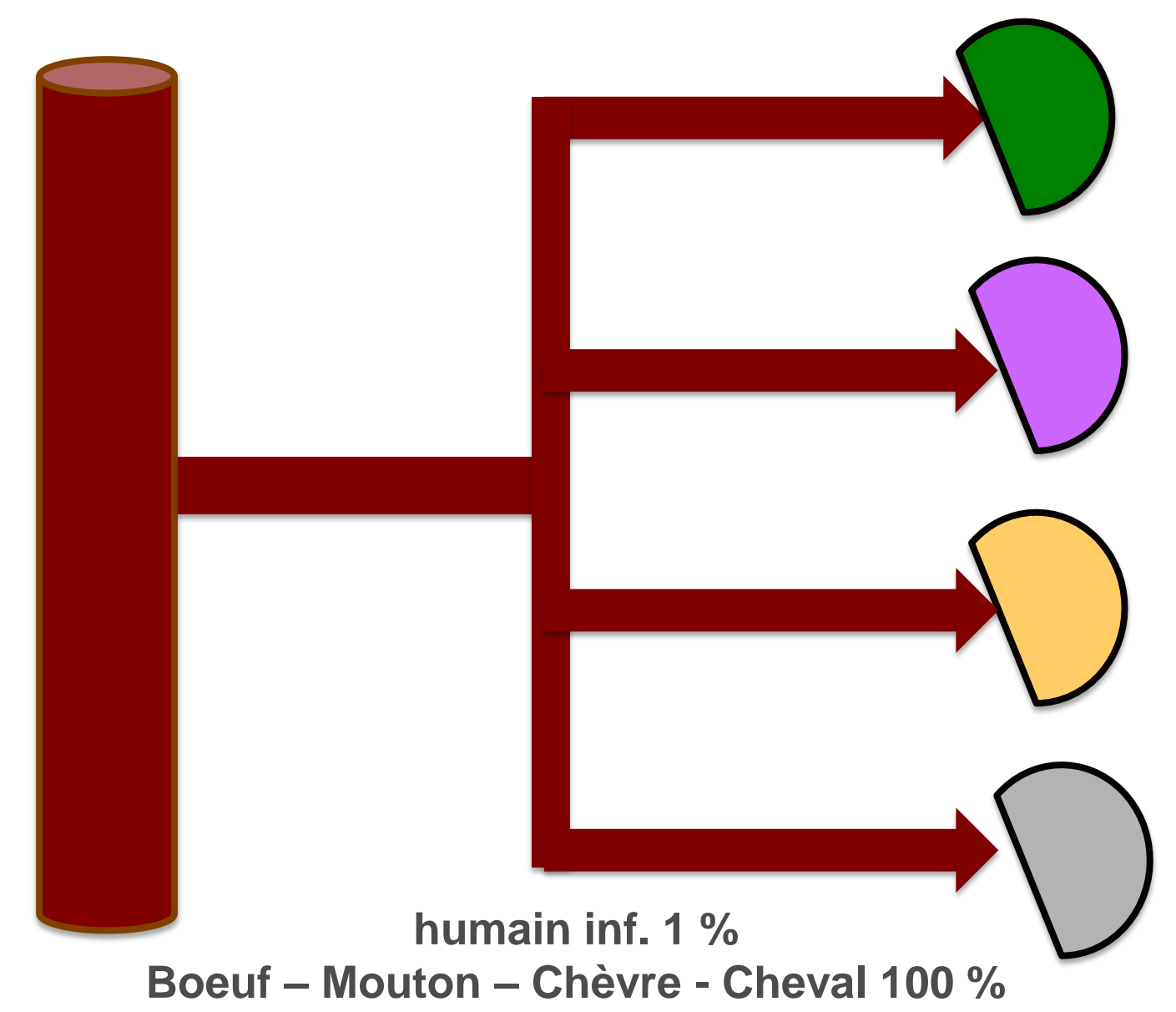






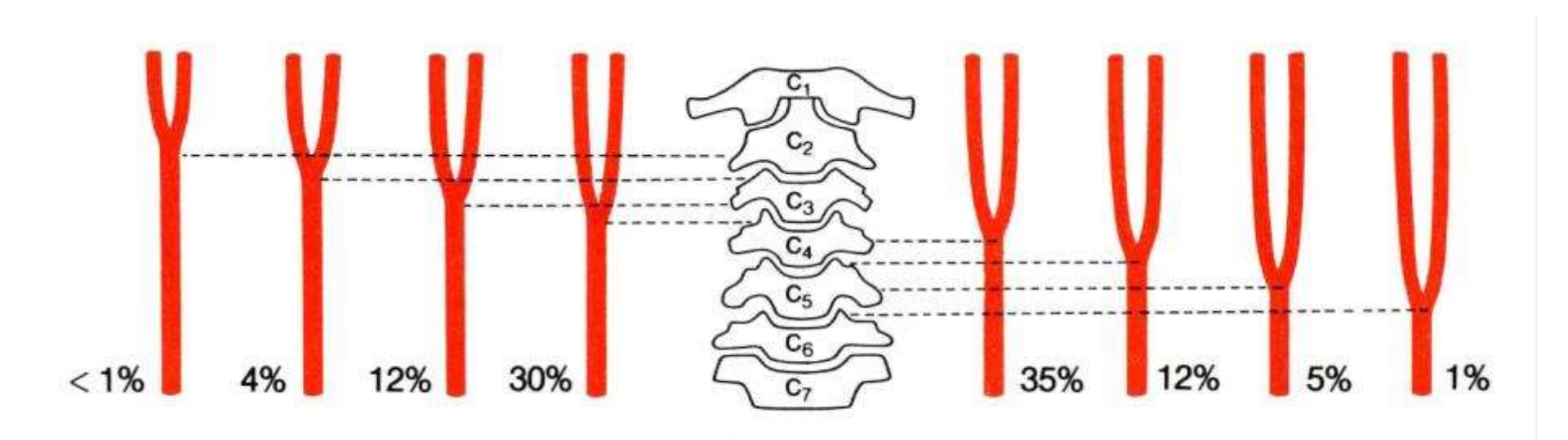






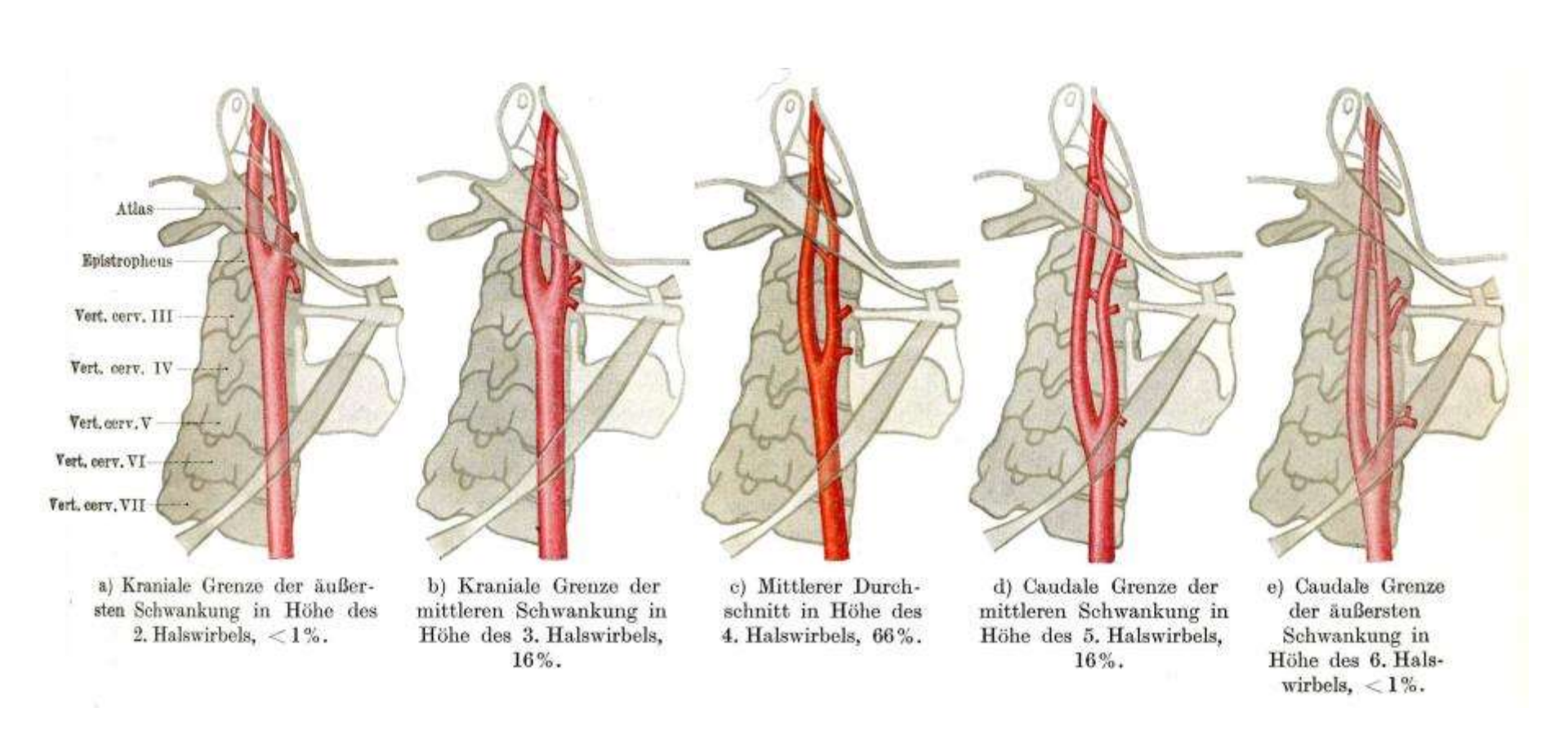
VARIABILITÉ TOPOGRAPHIQUE

ex.: niveau de bifurcation de l'artère carotide commune



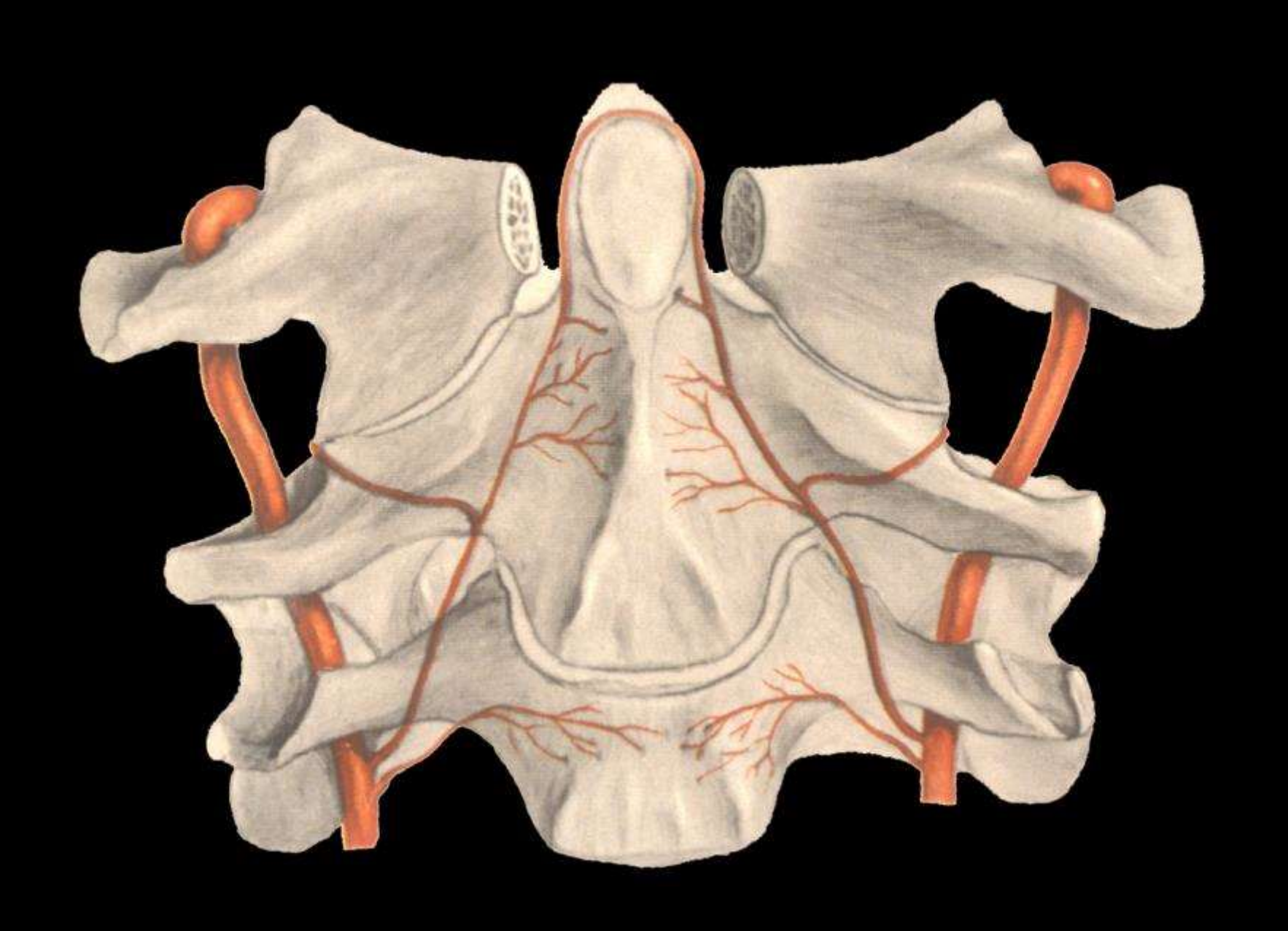
VARIABILITÉ TOPOGRAPHIQUE

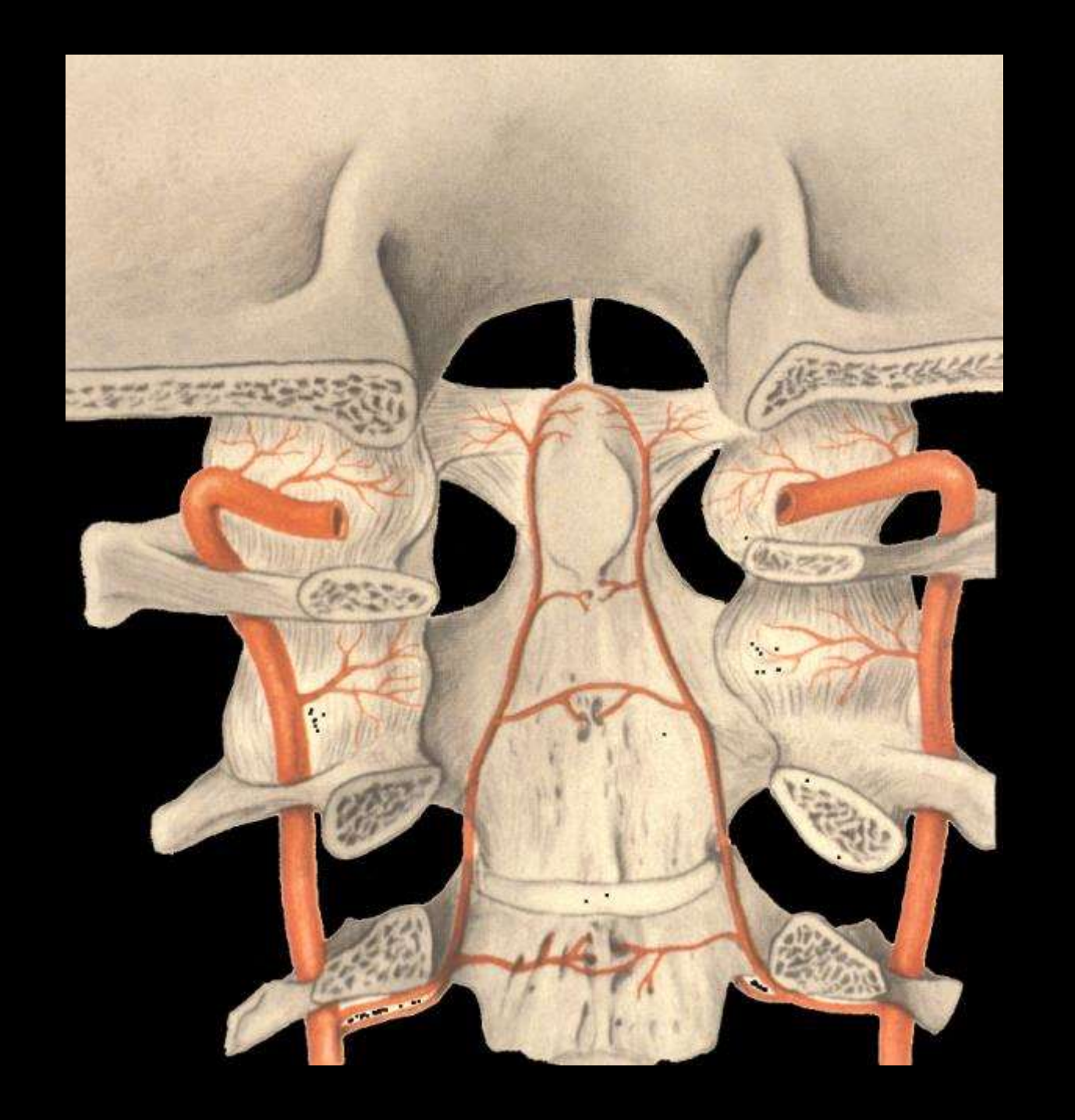
ex.: niveau de bifurcation de l'artère carotide commune





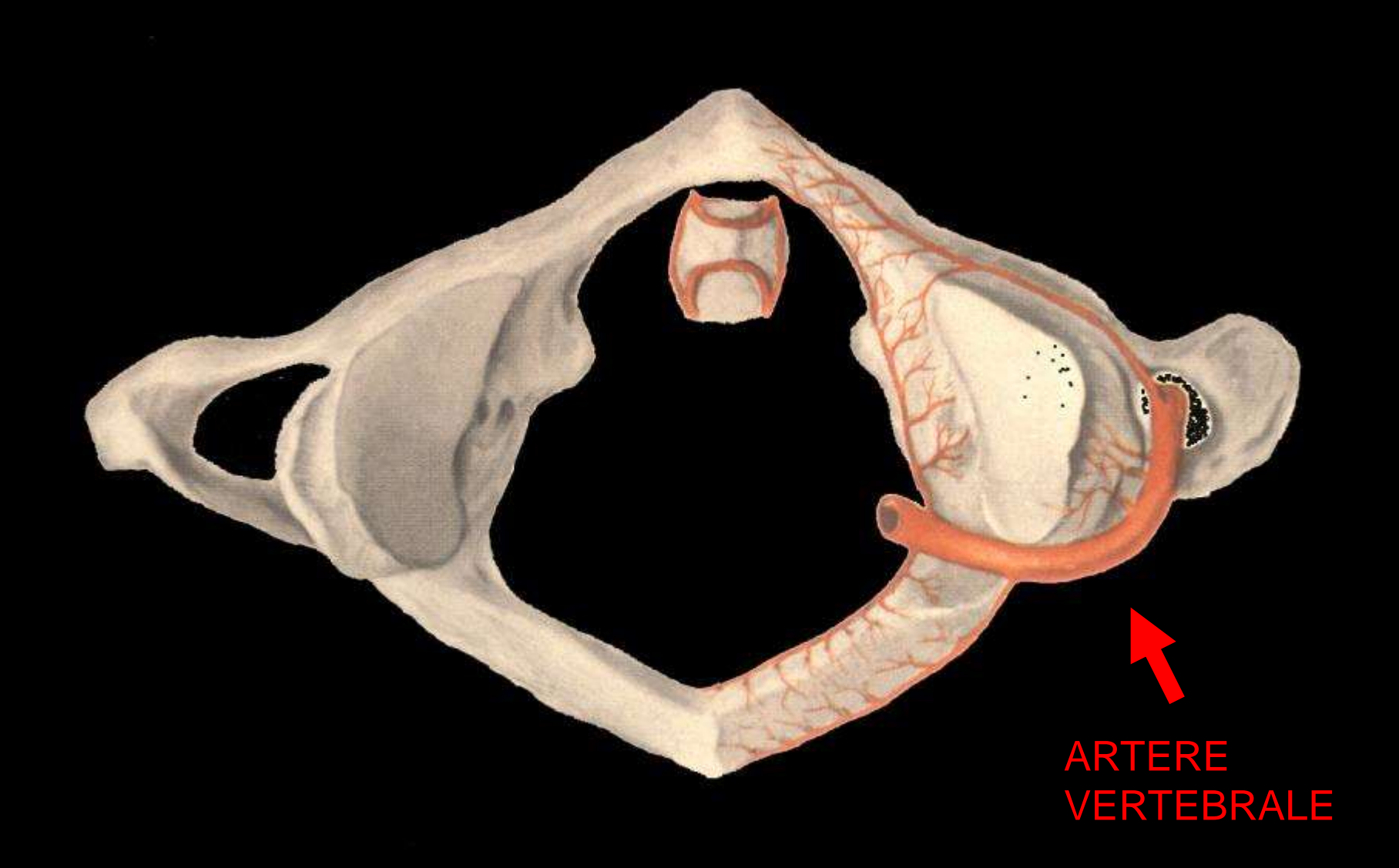
1ère VERTÈBRE CERVICALE = ATLAS = C1







FORAMEN TRANSVERSAIRE - ATLAS HUMAIN (C1)





ATLAS (C1): PONTICULE POSTÉRIEUR = FORAMEN ARCUALE



ATLAS (C1): PONTICULE POSTÉRIEUR = FORAMEN ARCUALE



ATLAS (C1): PONTICULE POSTÉRIEUR = FORAMEN ARCUALE



ATLAS (C1): PONTICULE POSTÉRIEUR = FORAMEN ARCUALE



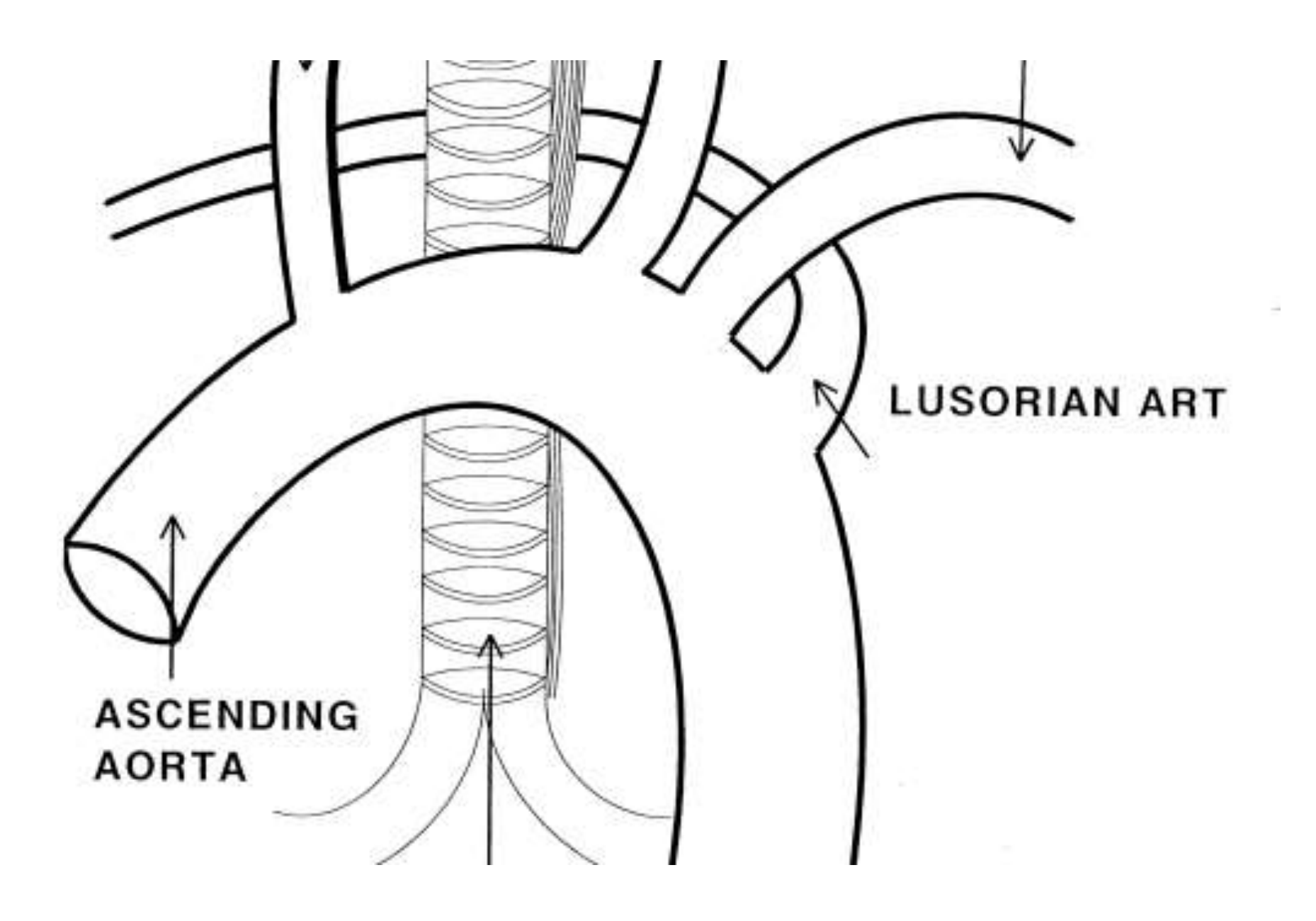
ATLAS (C1): PONTICULE POSTÉRIEUR = FORAMEN ARCUALE



DÉHISCENCE ANTÉRIEURE DU FORAMEN TRANSVERSAIRE (C1)

5. Exemples de variabilité artérielle



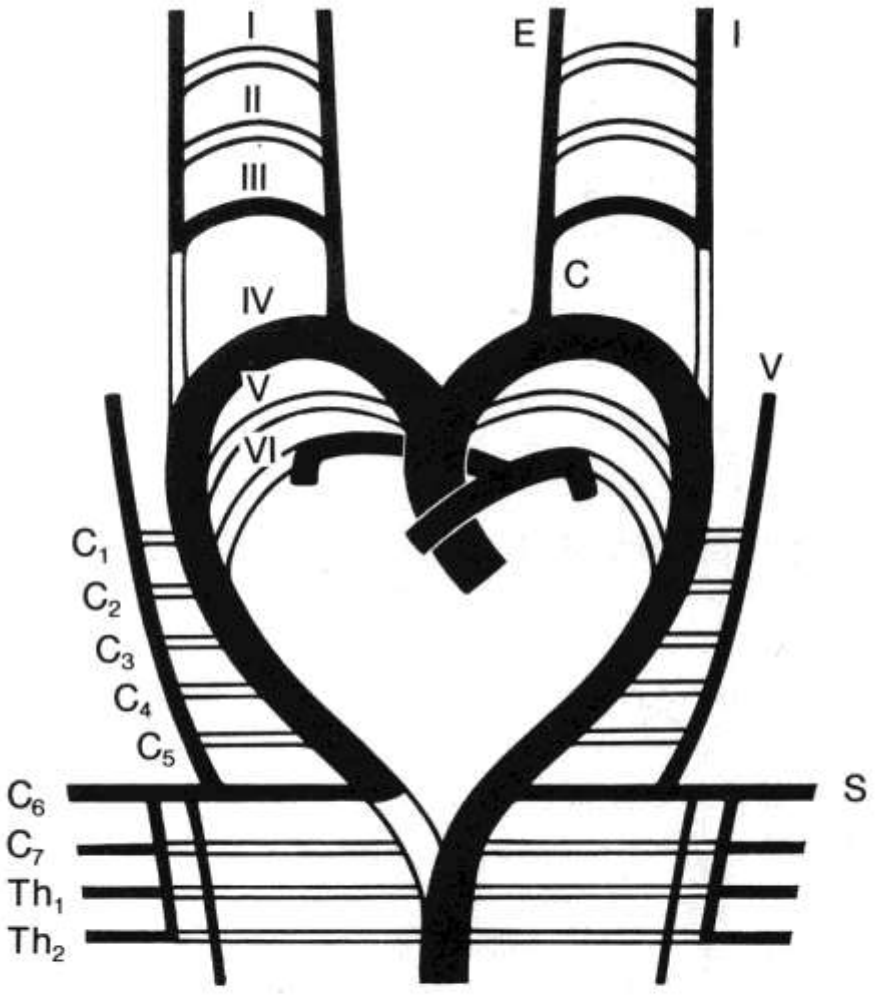






EXEMPLES DE VARIABILITE ARTERIELLE

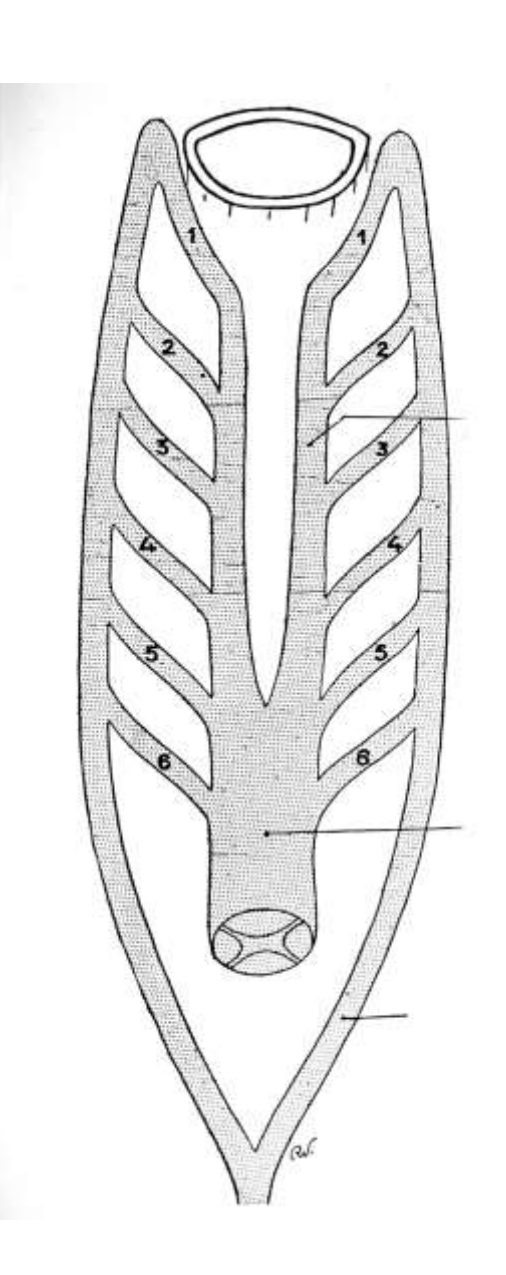
- 1°) AORTE
- 2°) COU et TÊTE
- 3°) SYSTEME NERVEUX CENTRAL
 - 4°) VISCERES
 - 5°) MEMBRES

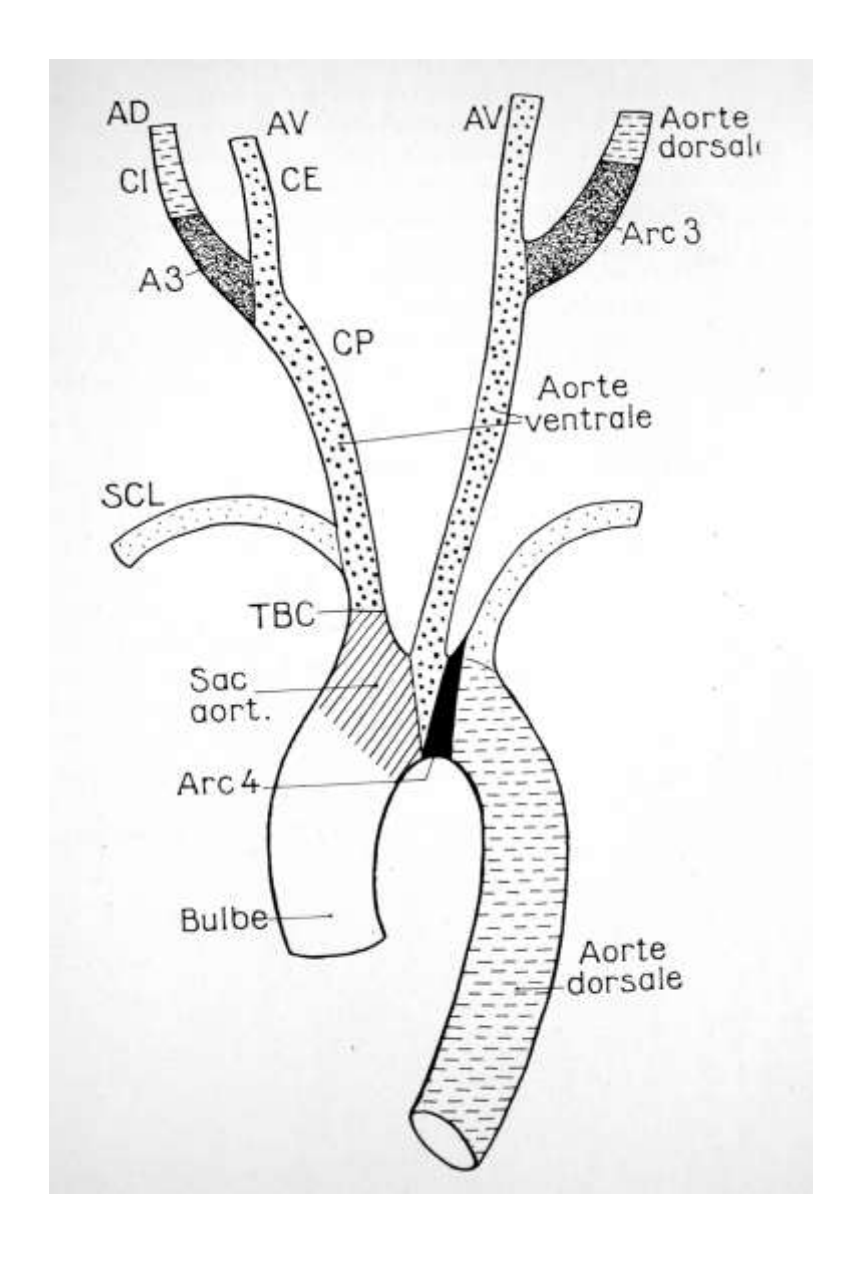


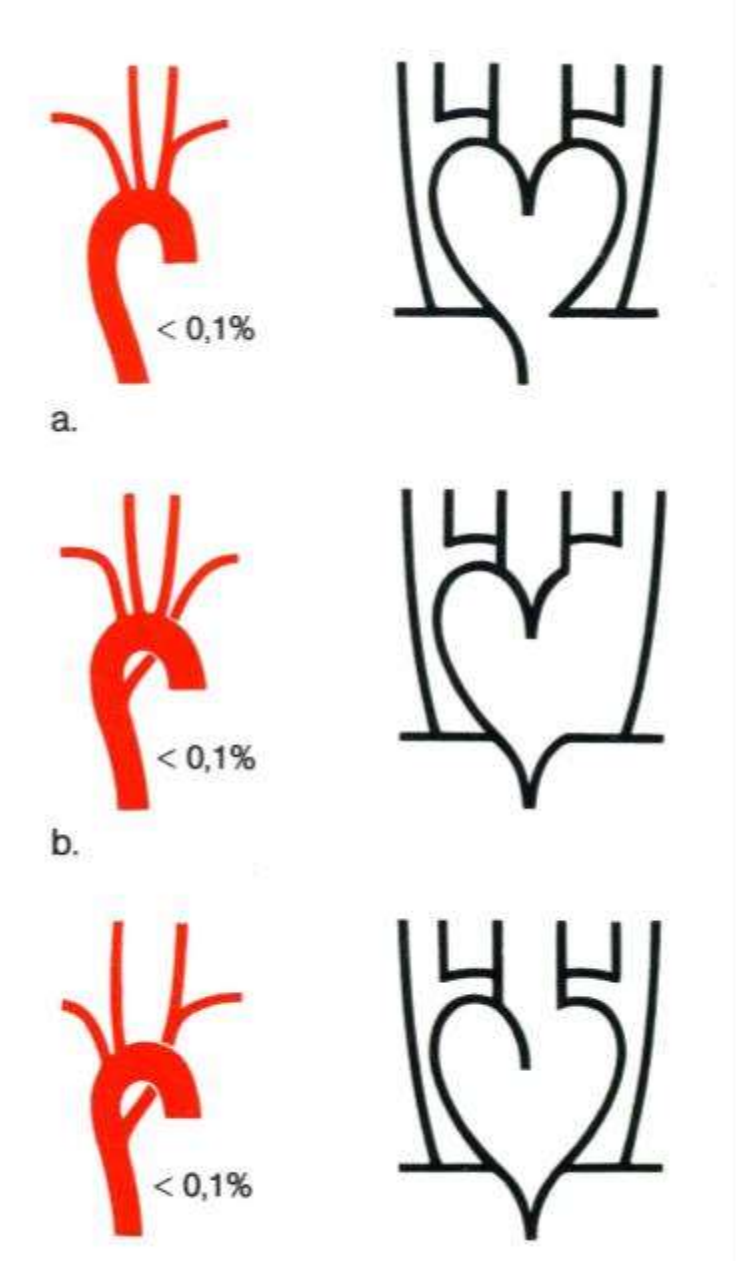
C = common carotid artery
E = external carotid artery
I = internal carotid artery
S = subclavian artery
V = vertebral artery

ARCS AORTIQUES

(Embryologie)



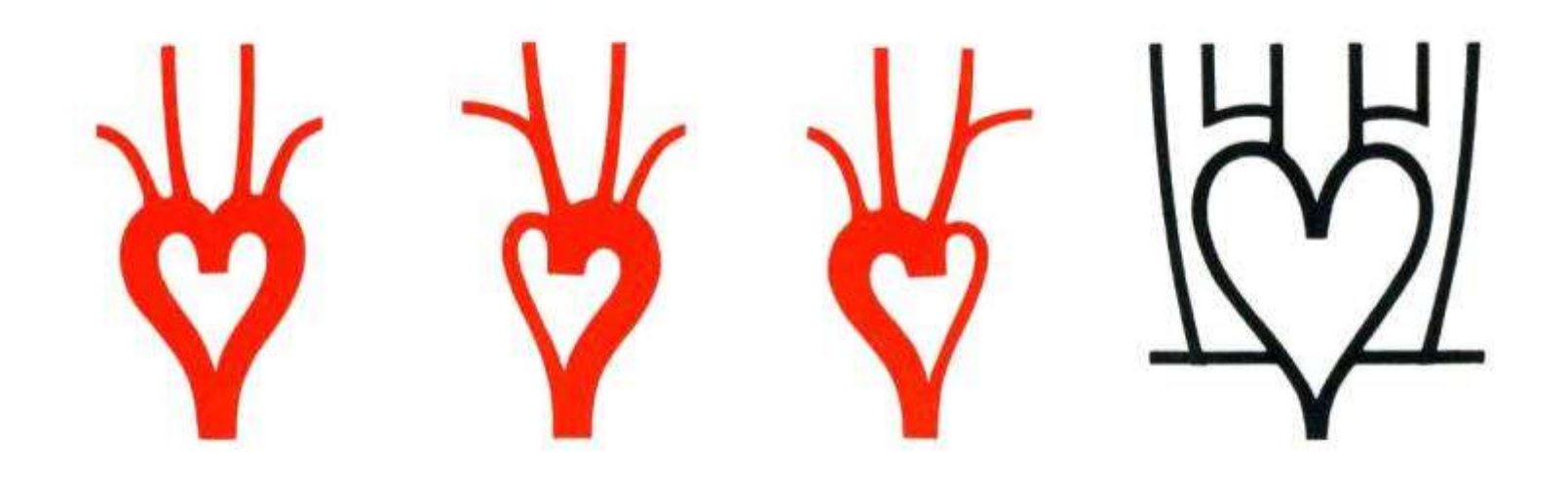




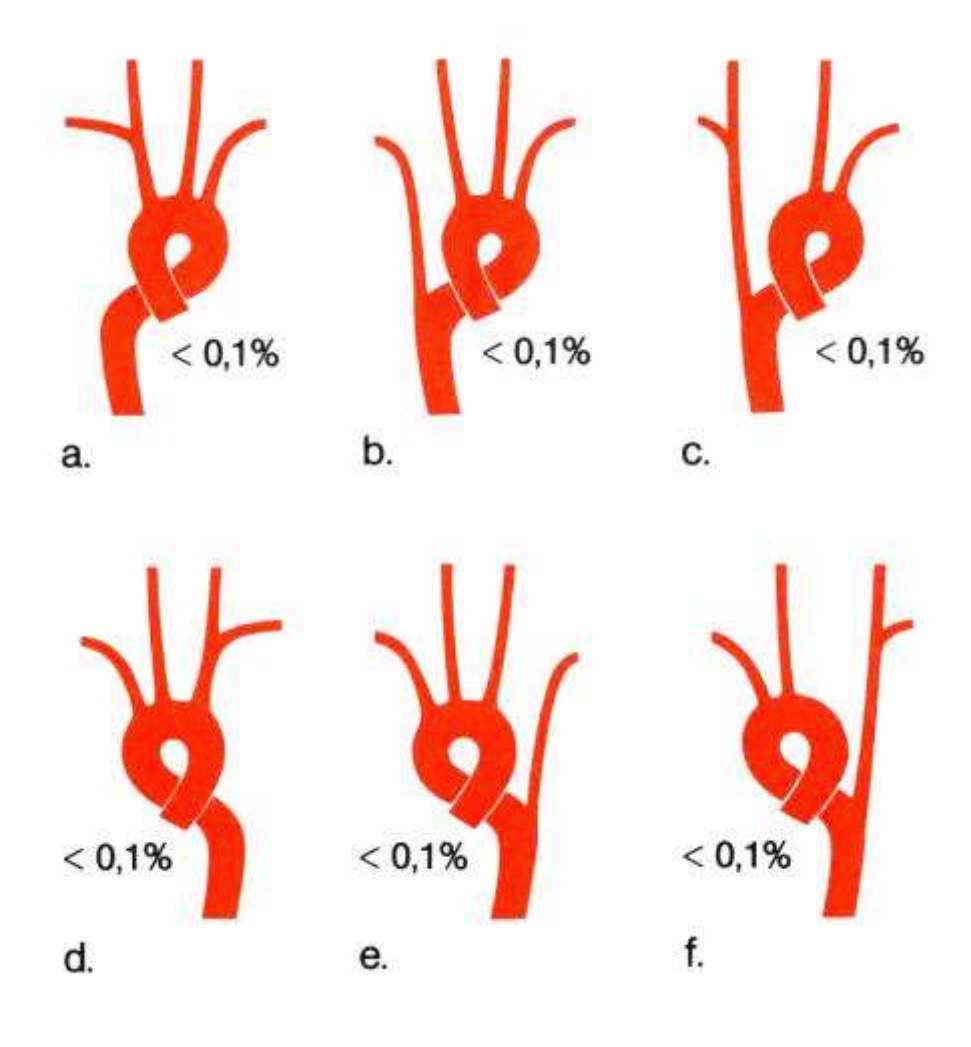
ARC AORTIQUE DROIT

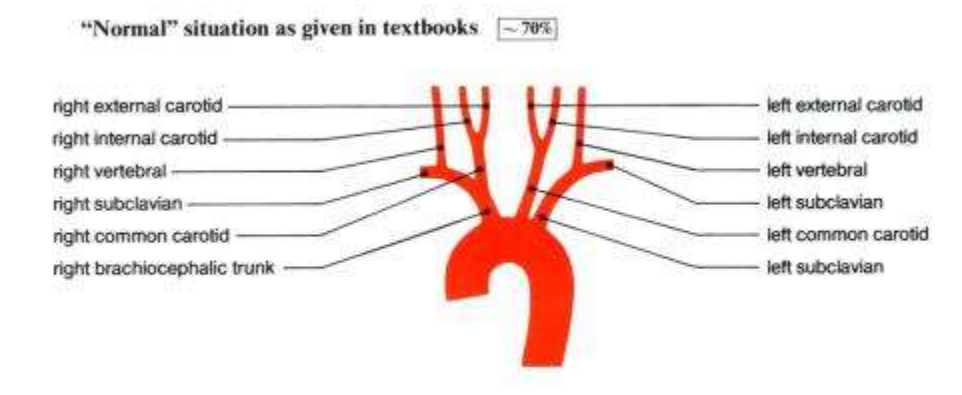
C.

ARC AORTIQUE DOUBLE



ARC AORTIQUE CIRCONFLEXE





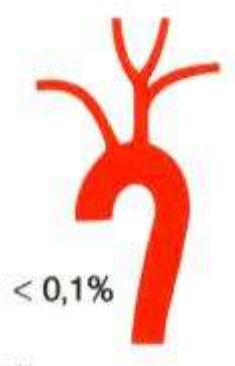
VARIATIONS DES TRONCS SUPRA-AORTIQUES



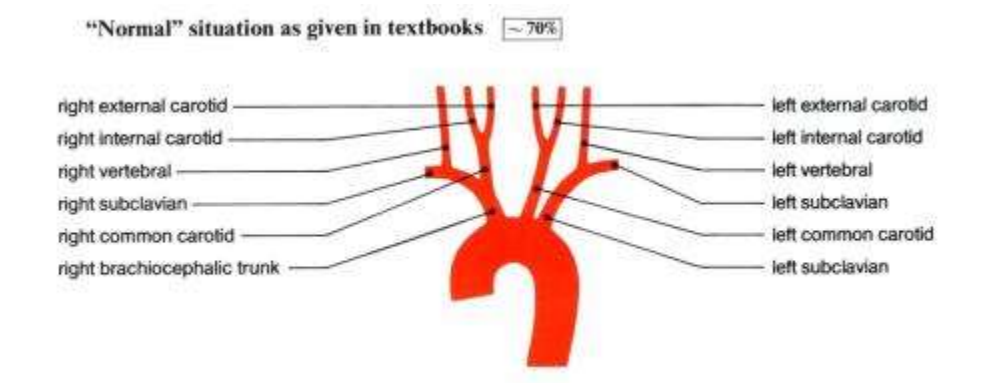
a.



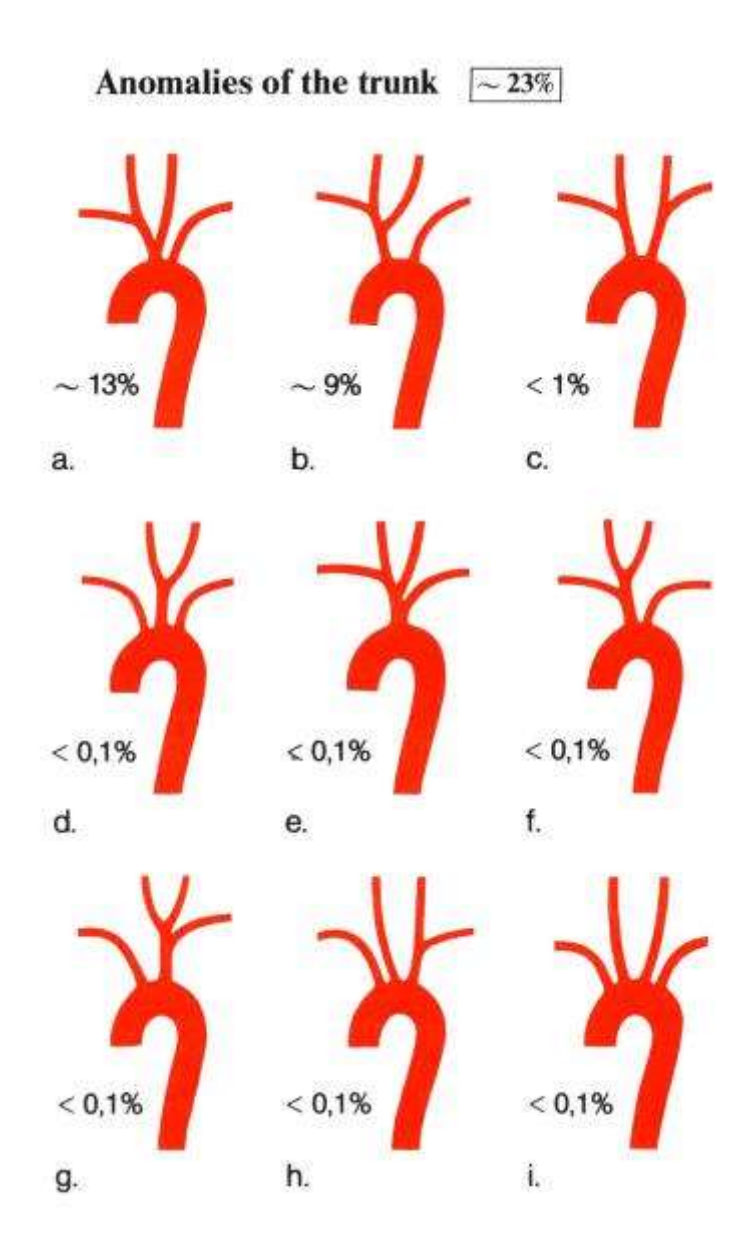
d.



g.

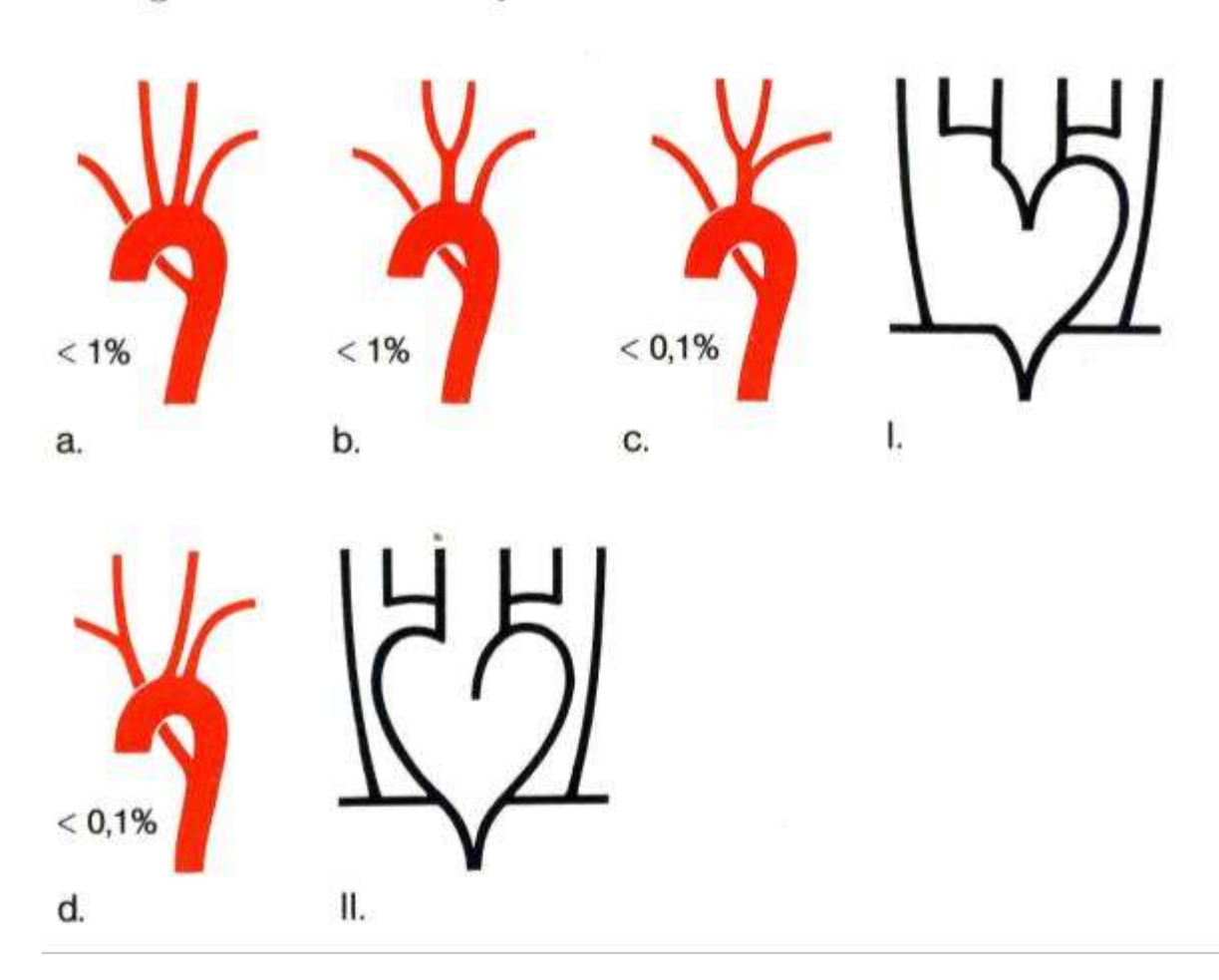


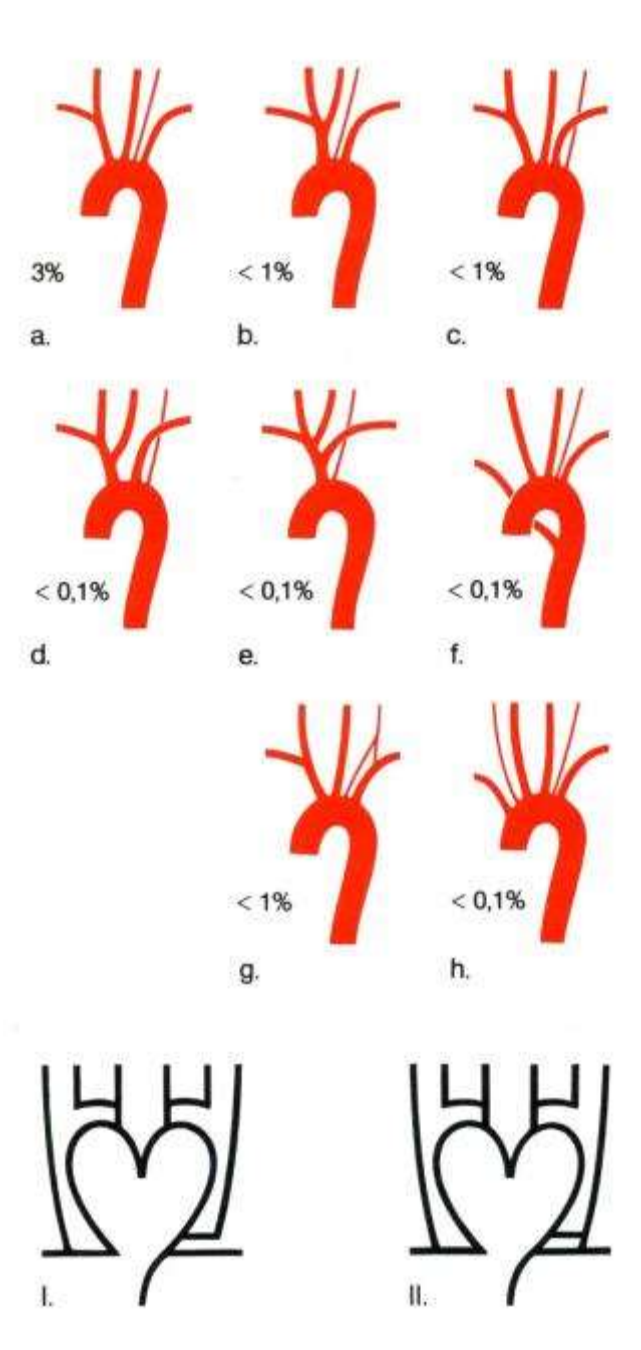
VARIATIONS DES TRONCS SUPRA-AORTIQUES



ORIGINE AORTIQUE GAUCHE DE L'ARTERE SUBCLAVIERE DROITE = « ARTERIA LUSORIA »

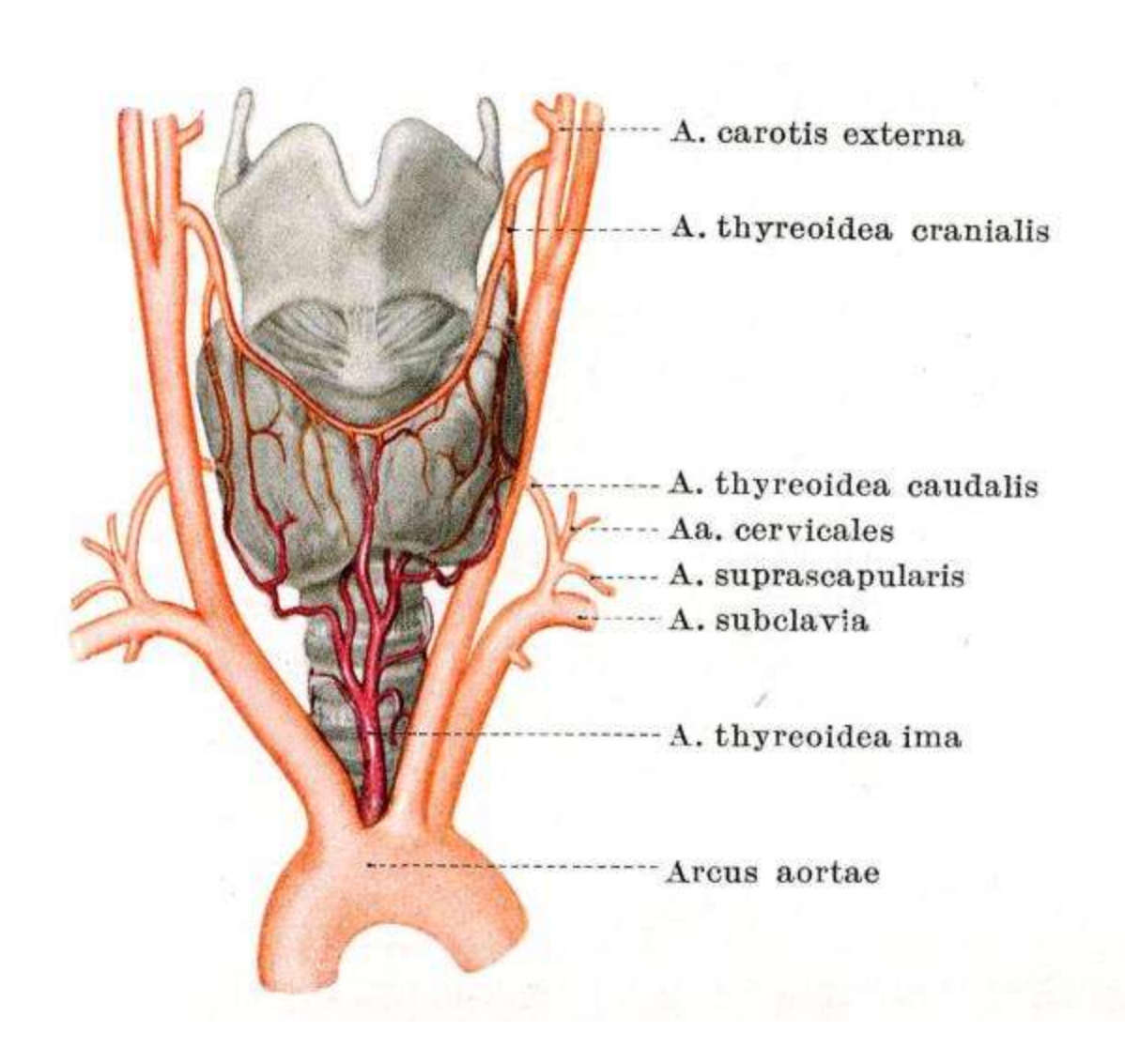
Right subclavian artery as the last branch of the aortic arch



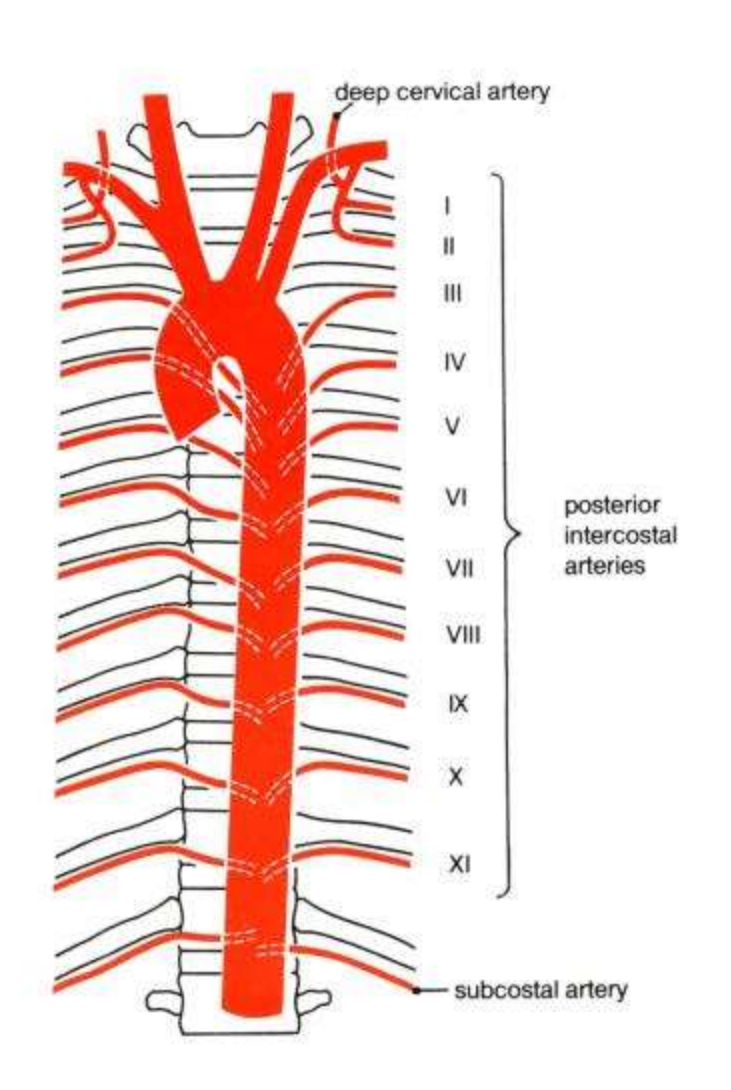


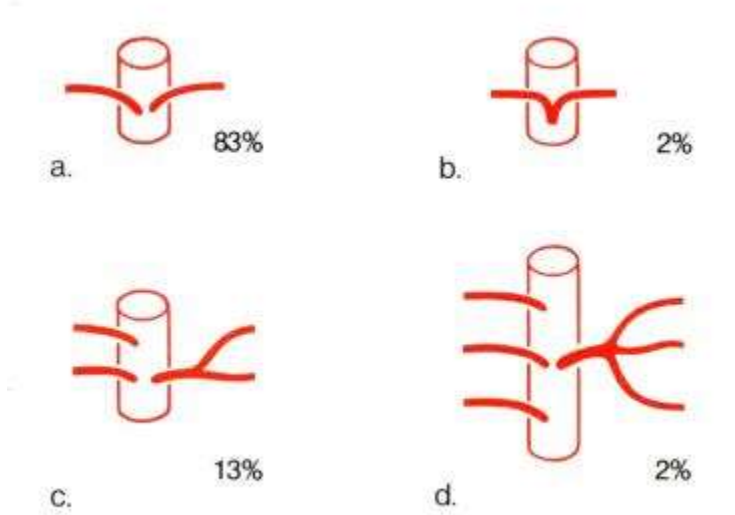
ORIGINE AORTIQUE DE L'ARTERE VERTEBRALE

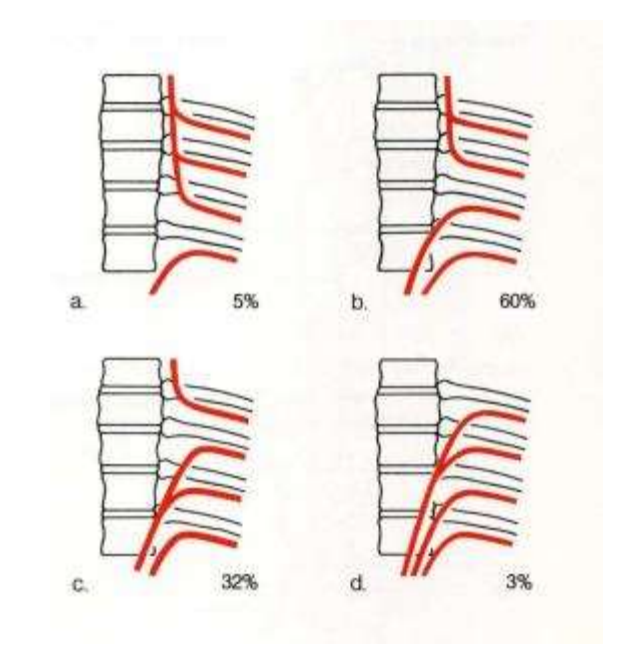
ARTERE THYROIDIENNE IMA



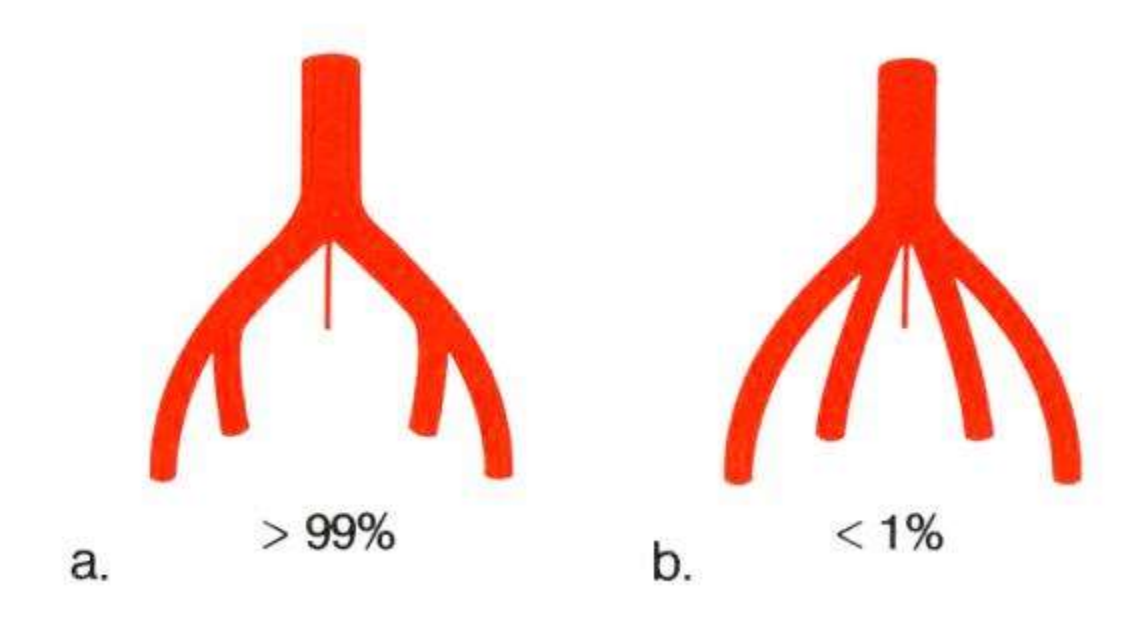
VARIATIONS DES ARTERES INTERCOSTALES POSTERIEURES







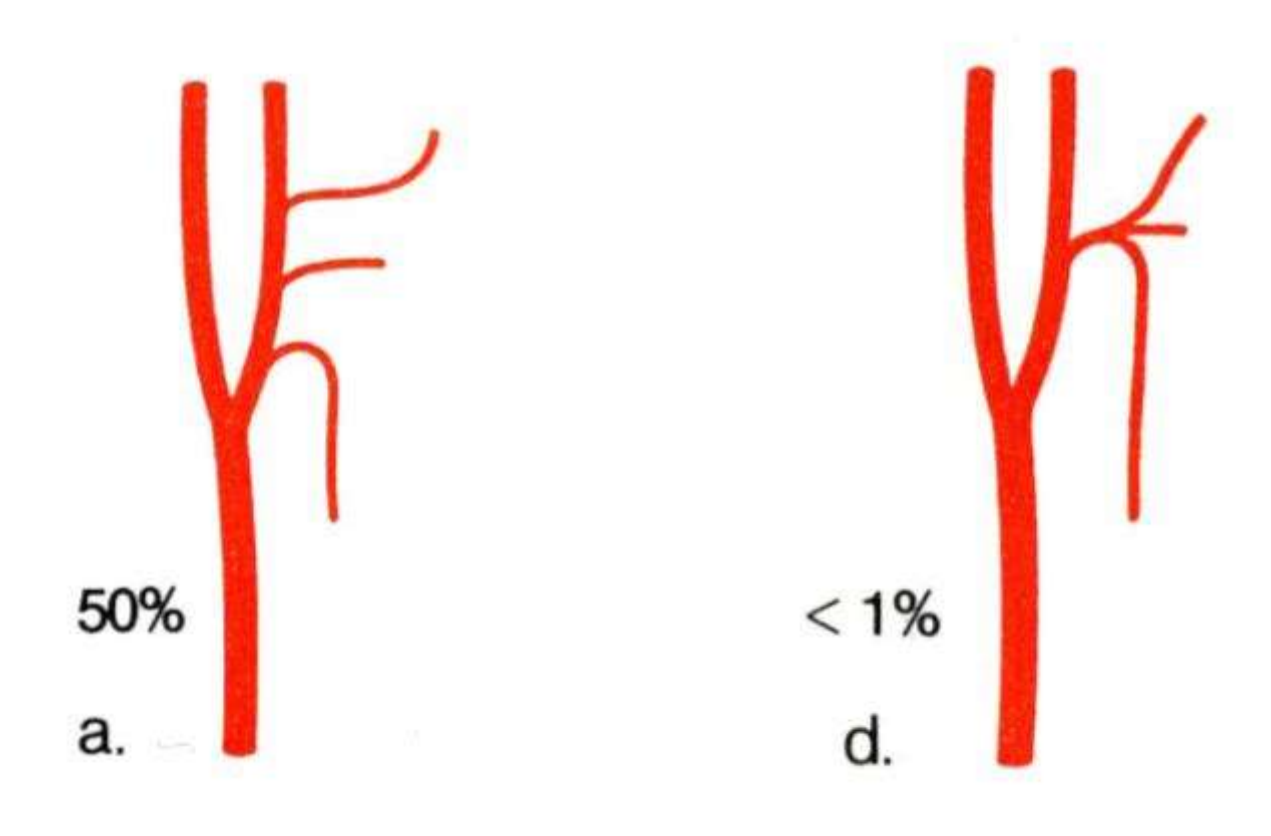
VARIATIONS DE LA TERMINAISON DE L'AORTE ABDOMINALE



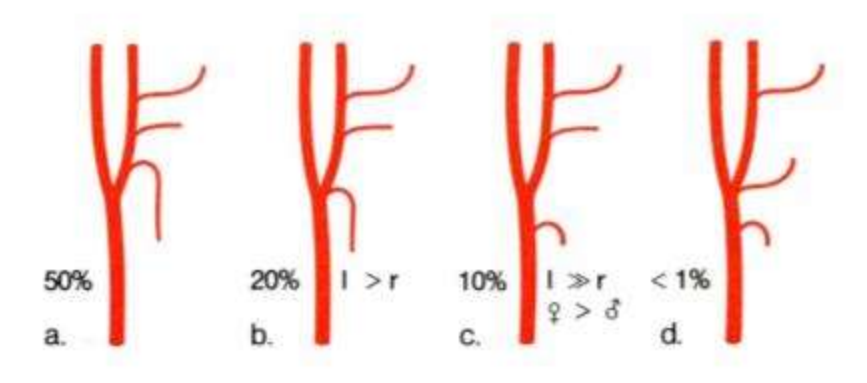
EXEMPLES DE VARIABILITE ARTERIELLE

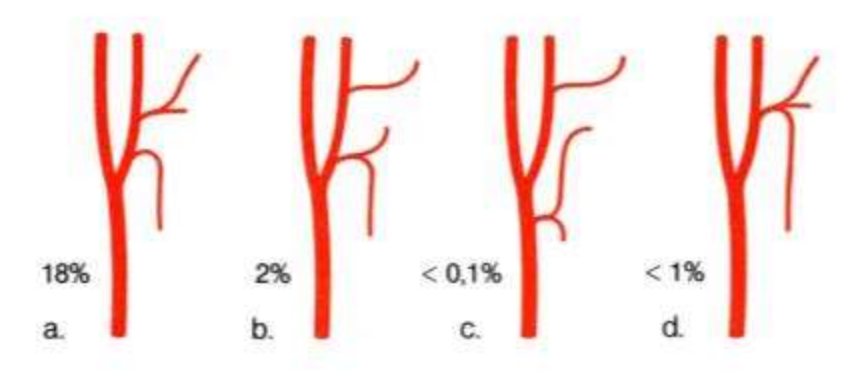
- 1°) AORTE
- 2°) COU et TÊTE
- 3°) SYSTEME NERVEUX CENTRAL
 - 4°) VISCERES
 - 5°) MEMBRES

VARIATIONS DES ARTERES THYROIDIENNE, LINGUALE ET FACIALE

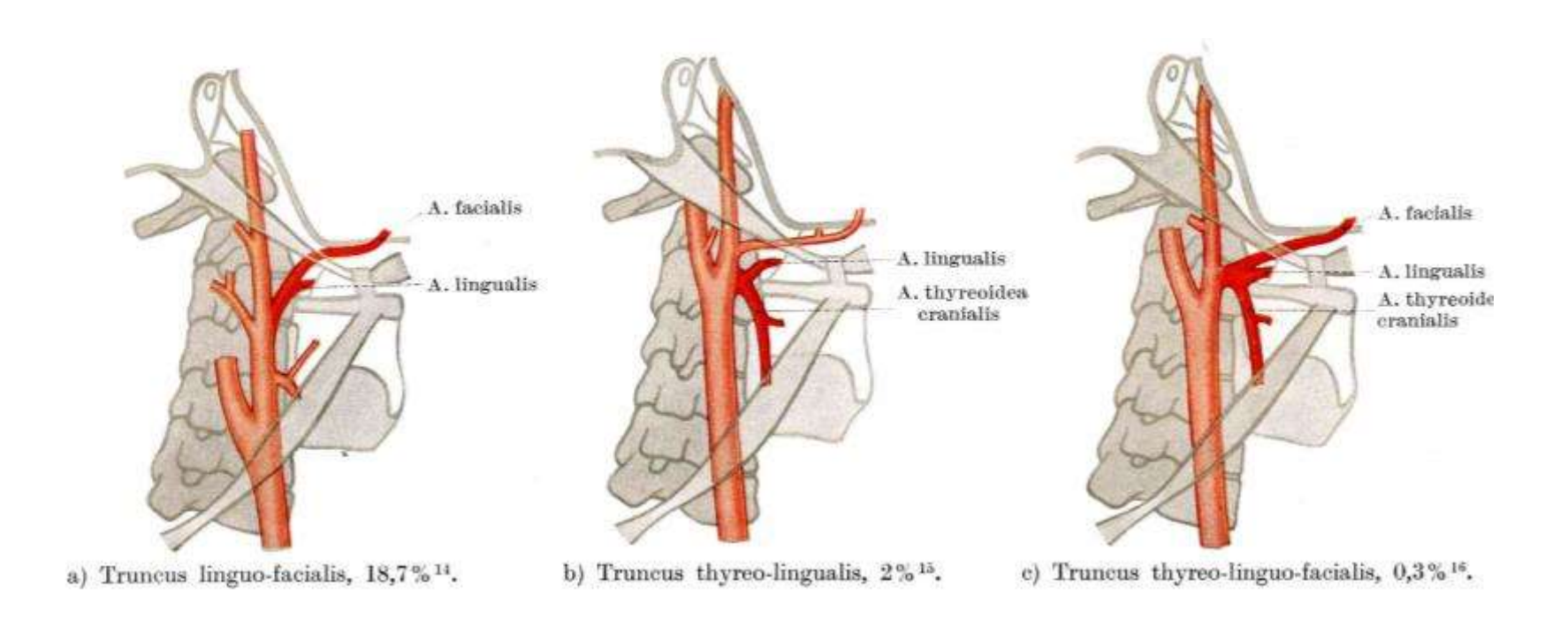


VARIATIONS DES ARTERES THYROIDIENNE, LINGUALE ET FACIALE

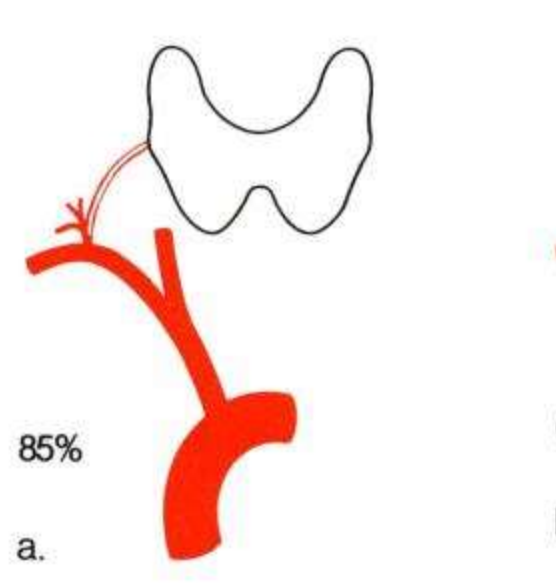


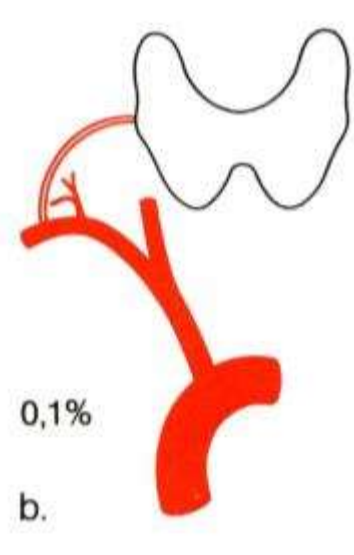


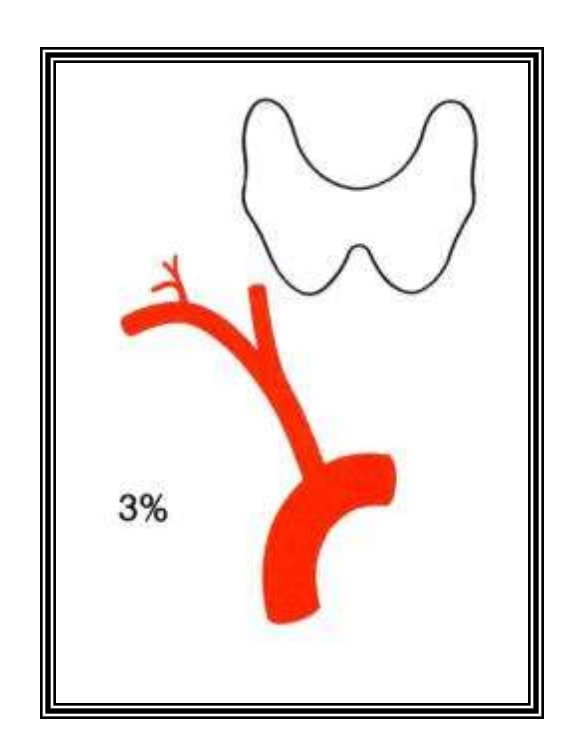
VARIATIONS DES ARTERES THYROIDIENNE, LINGUALE ET FACIALE



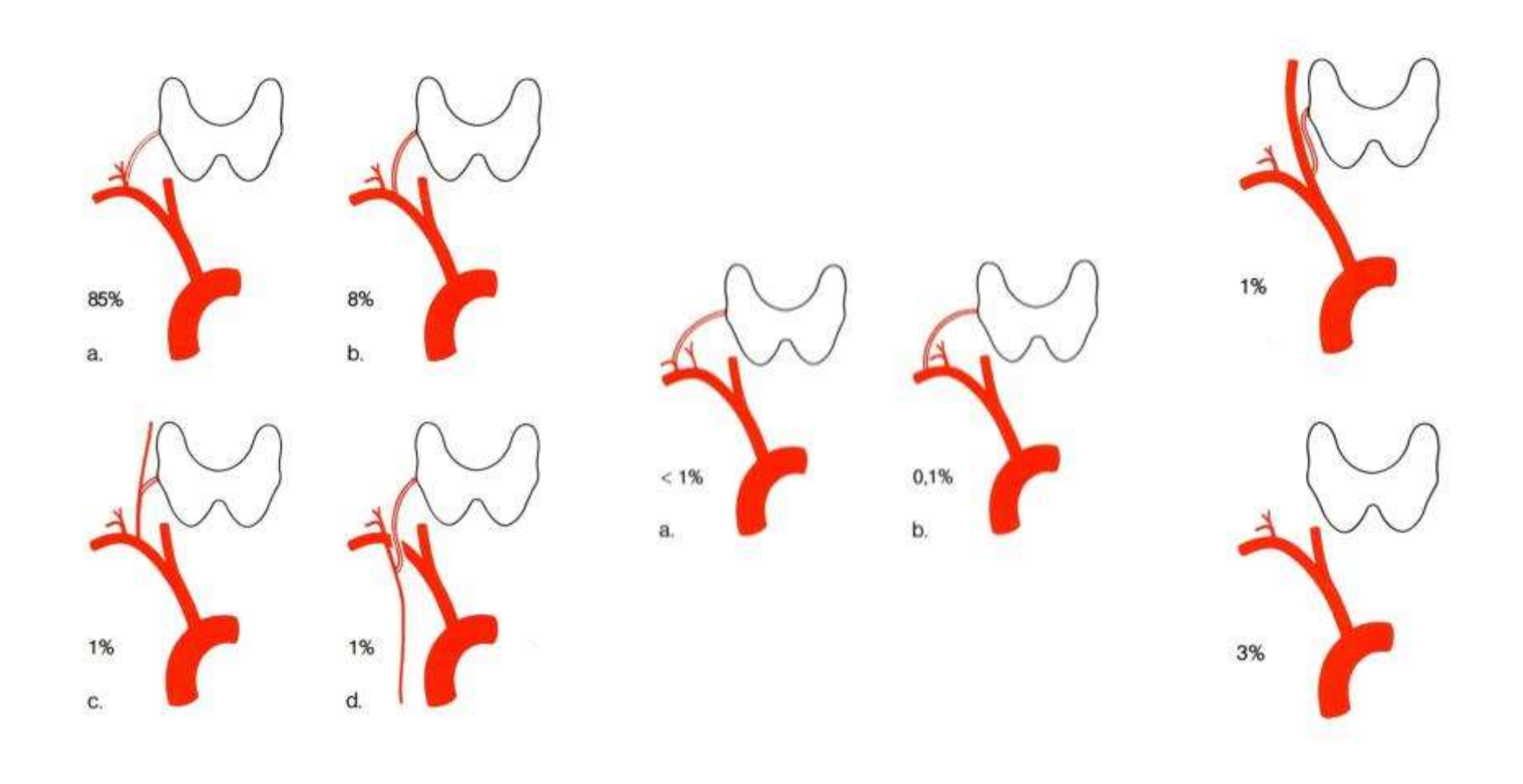
VARIATIONS D'ORIGINE DE L'ARTERE THYROIDIENNE INFERIEURE



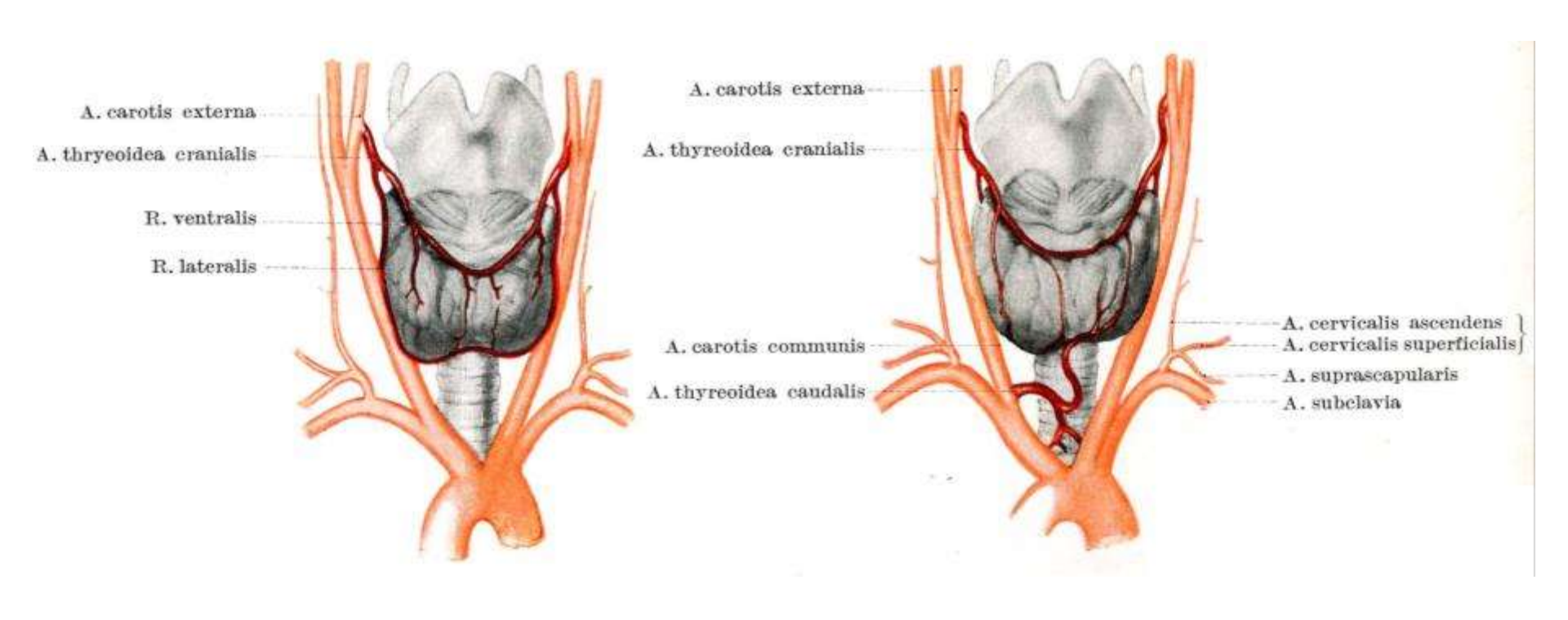




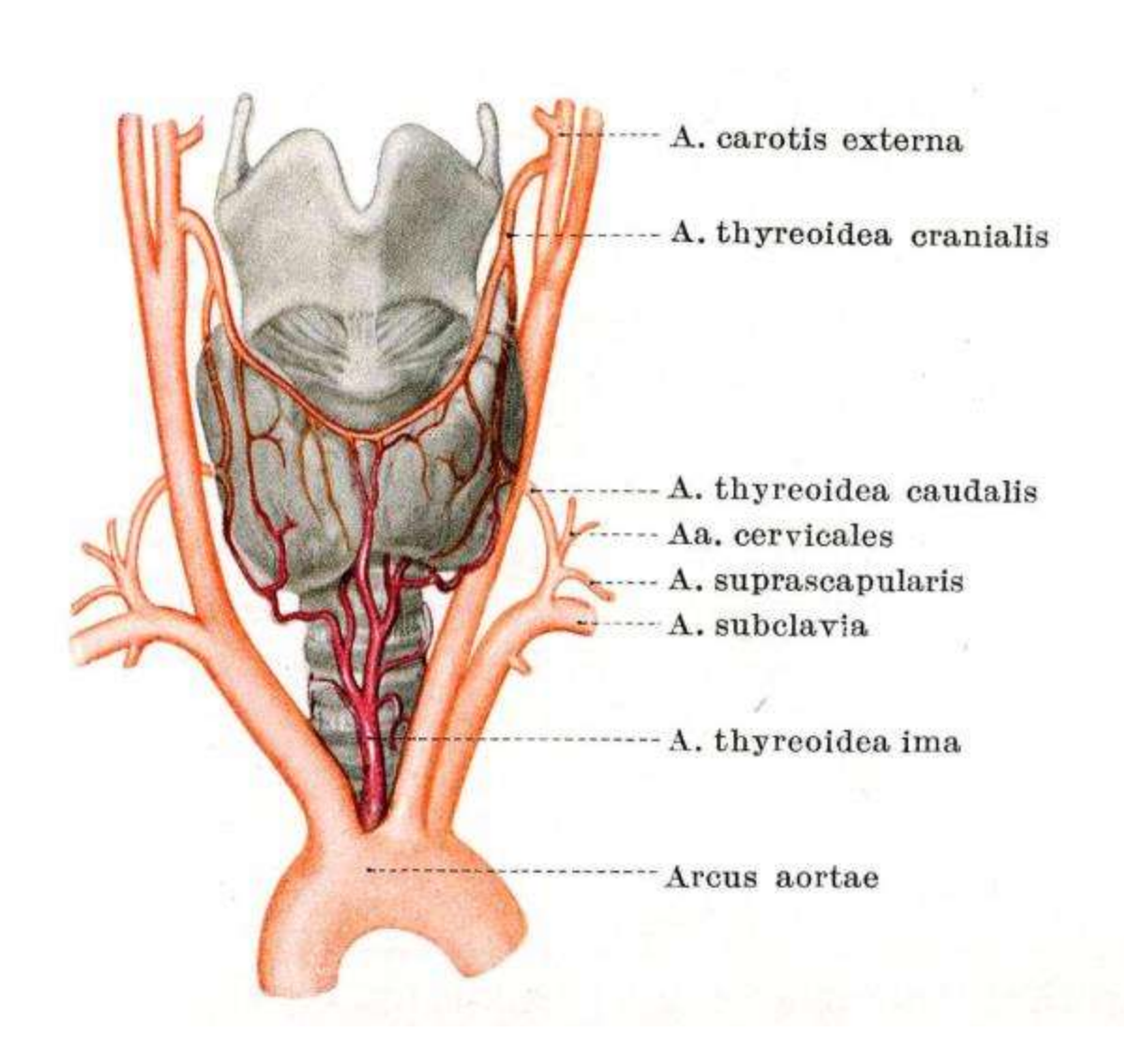
VARIATIONS D'ORIGINE DE L'ARTERE THYROIDIENNE INFERIEURE



ABSENCE DE L'ARTERE THYROIDIENNE INFERIEURE



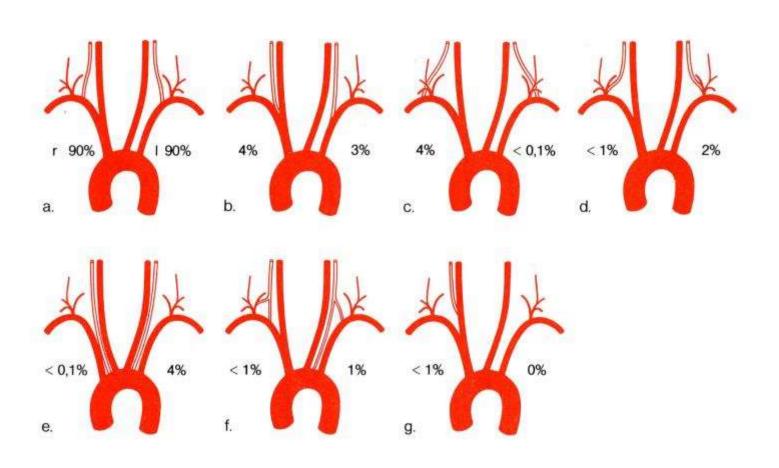
ARTERE THYROIDIENNE IMA



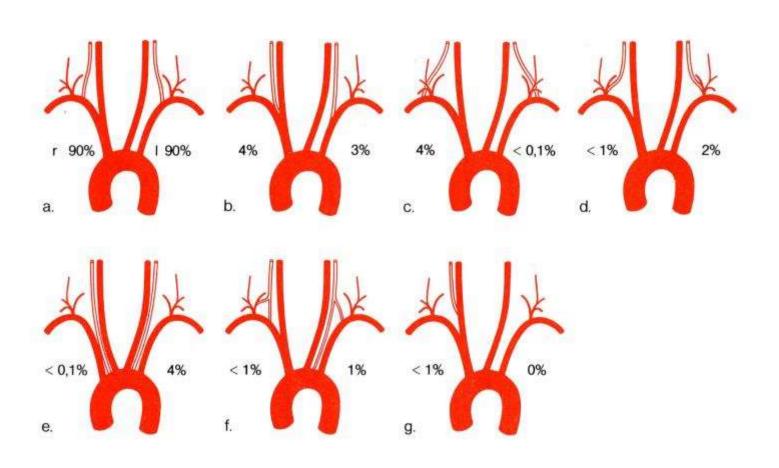
EXEMPLES DE VARIABILITE ARTERIELLE

- 1°) AORTE
- 2°) COU et TÊTE
- 3°) SYSTEME NERVEUX CENTRAL
 - 4°) VISCERES
 - 5°) MEMBRES

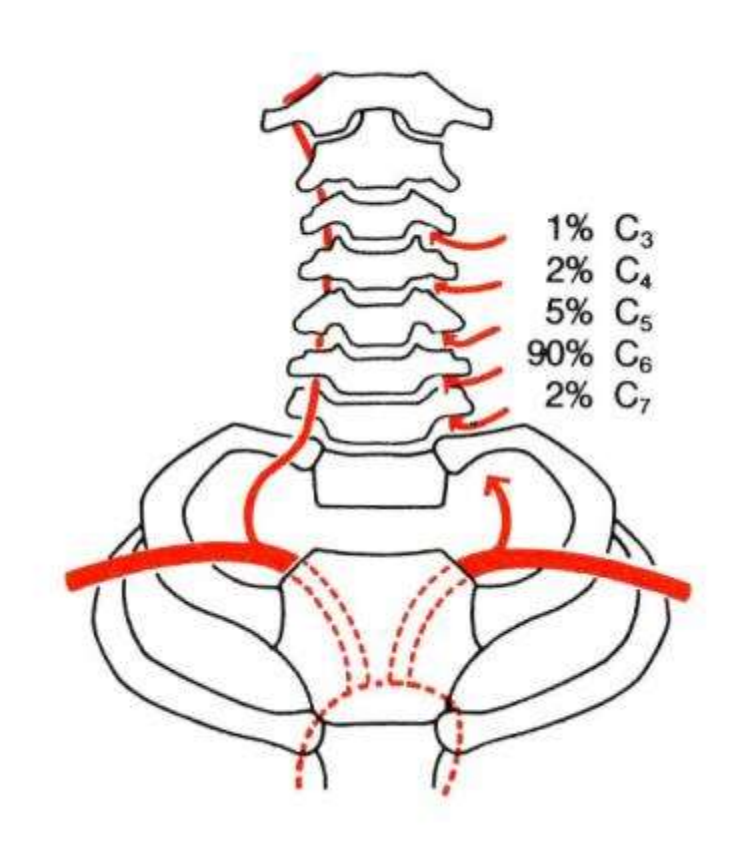
VARIATIONS D'ORIGINE DE L'ARTERE VERTEBRALE



VARIATIONS D'ORIGINE DE L'ARTERE VERTEBRALE

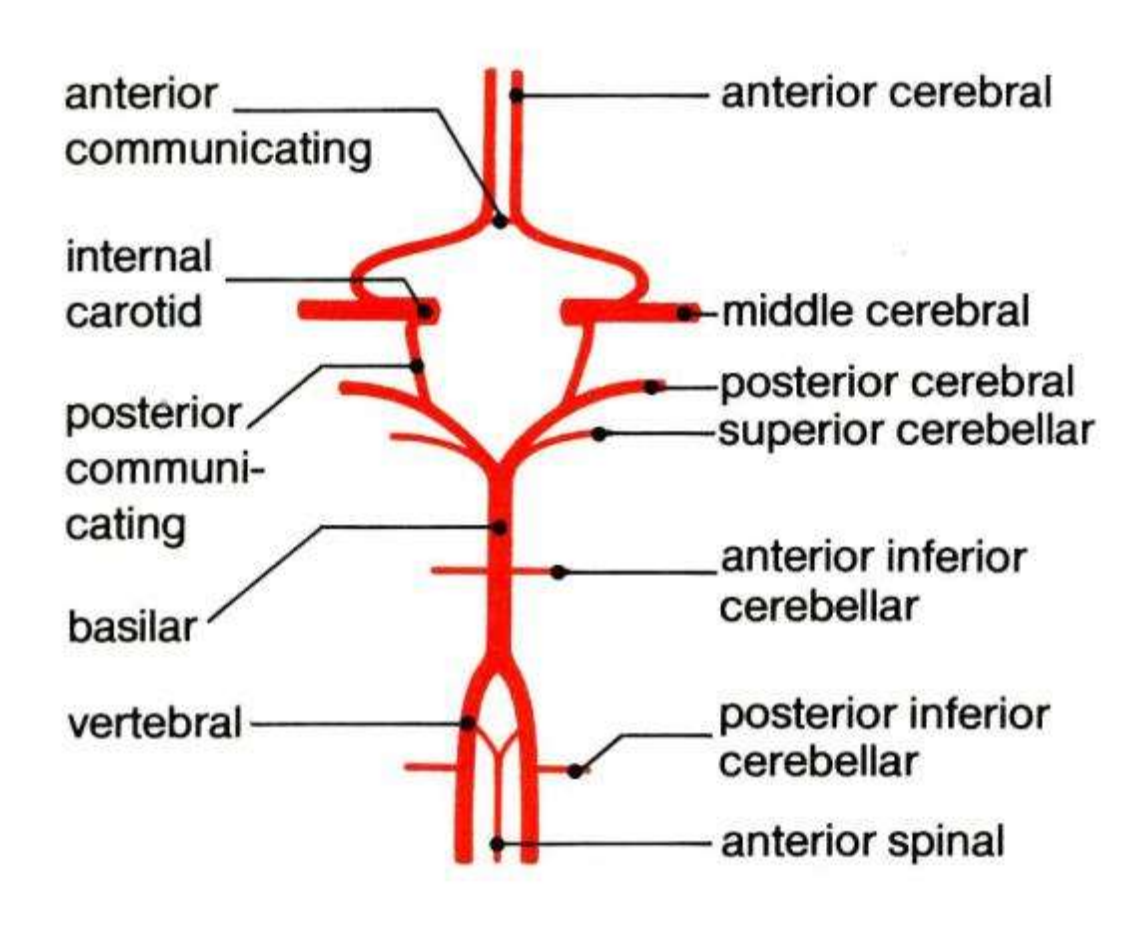


VARIATIONS D'ENTREE DE L'ARTERE VERTEBRALE DANS LA COLONNE VERTEBRALE

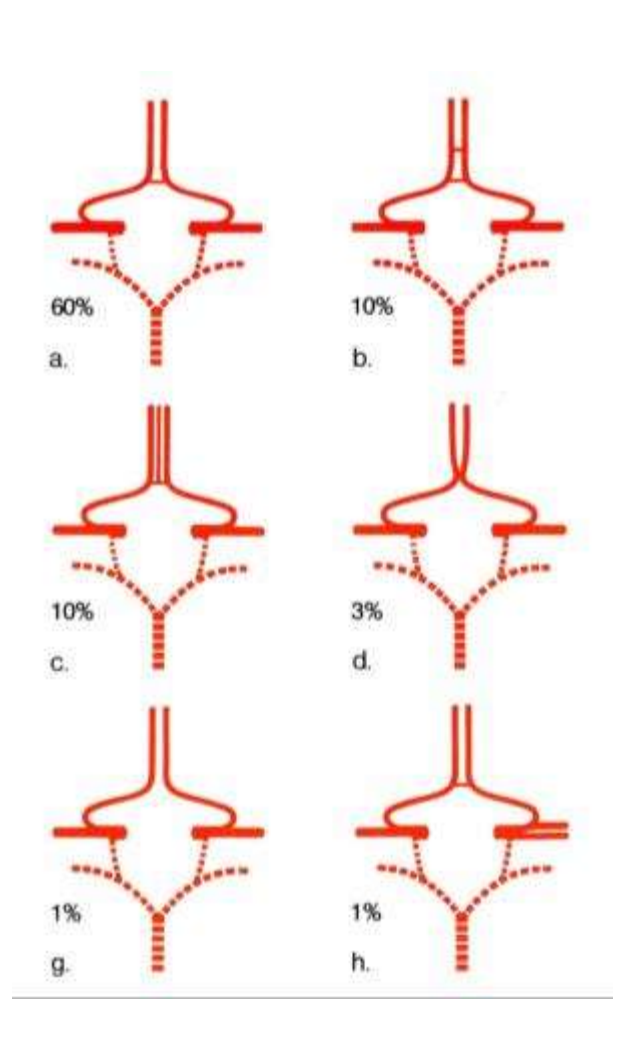


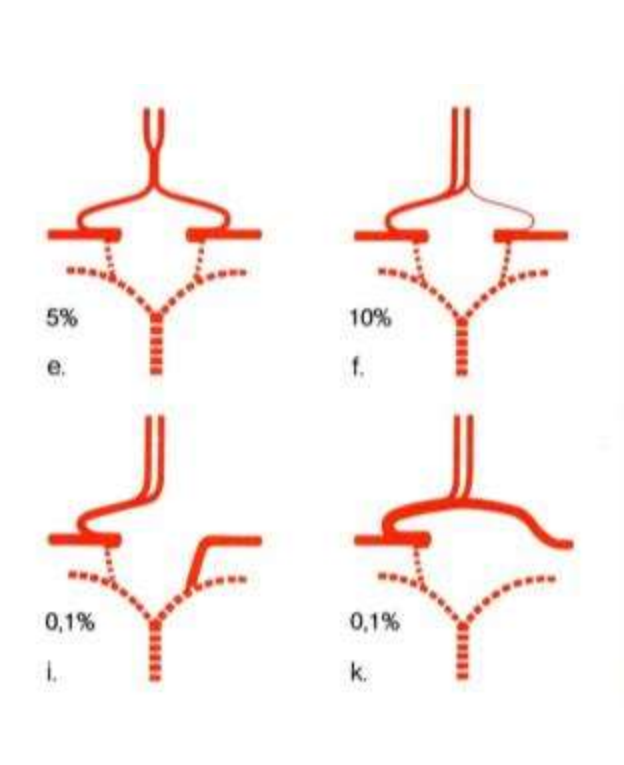
VARIATIONS DU CERCLE ARTERIEL DE LA BASE

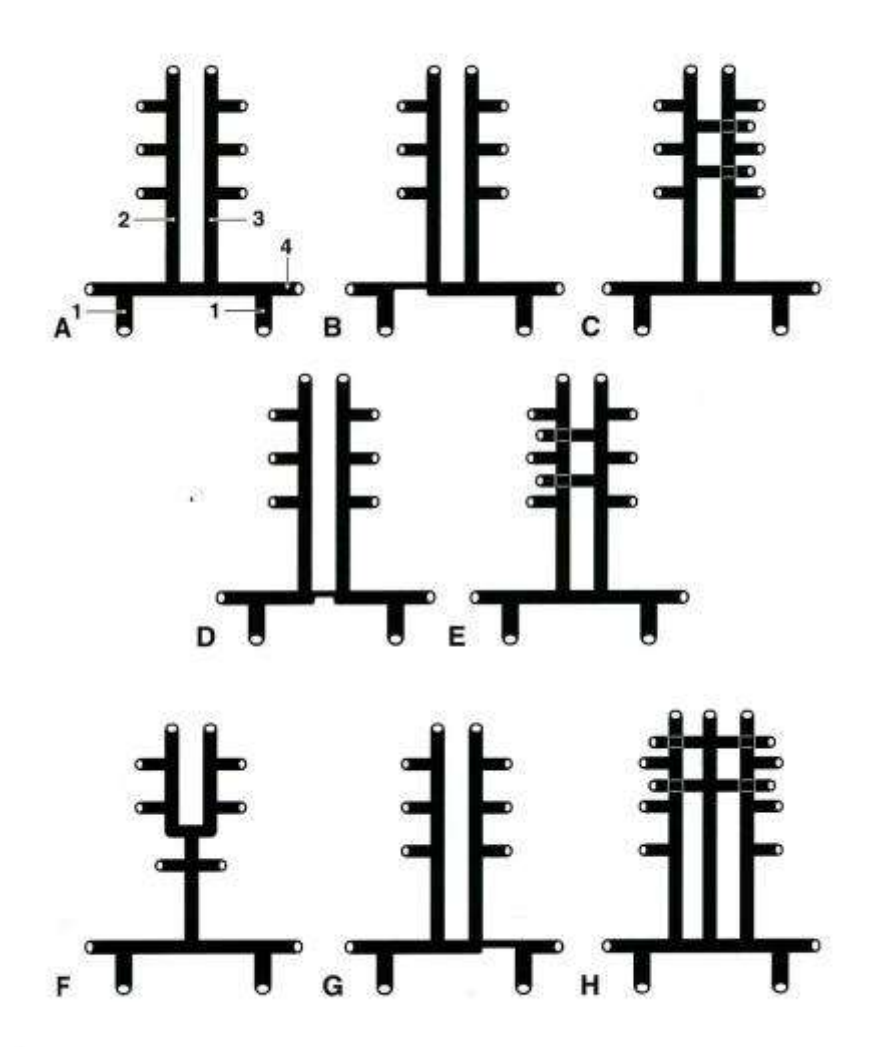
Description « classique »



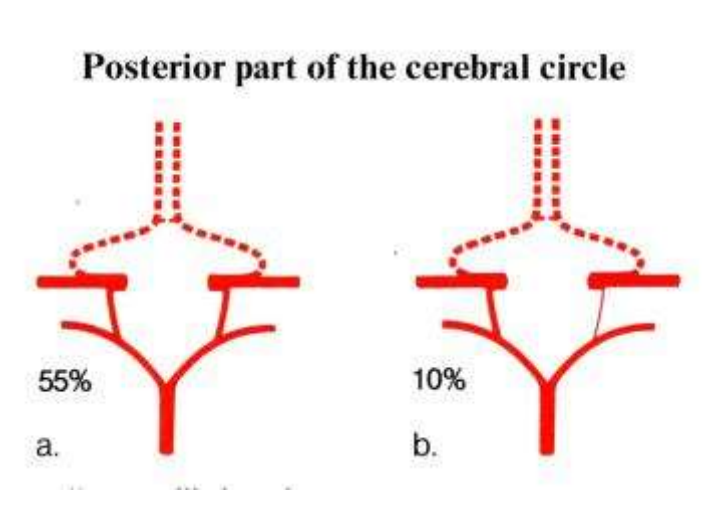
VARIATIONS DU CERCLE ARTERIEL DE LA BASE (Partie antérieure)

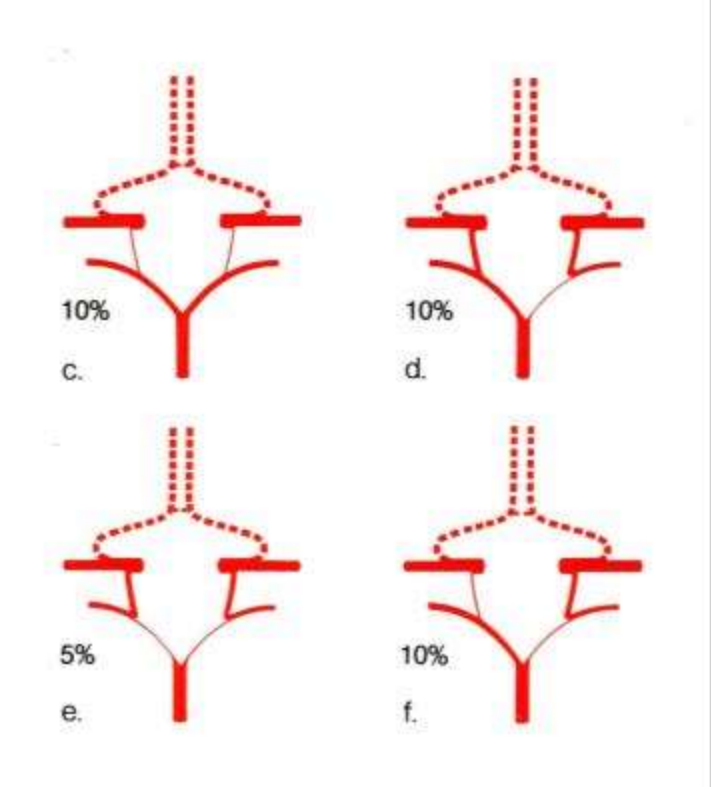




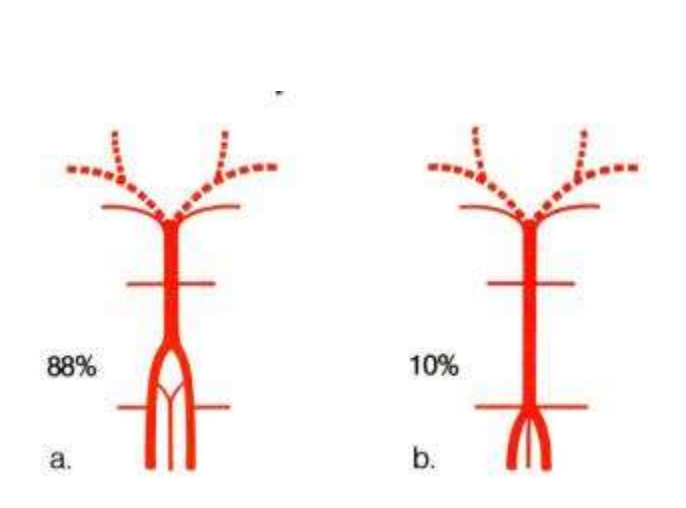


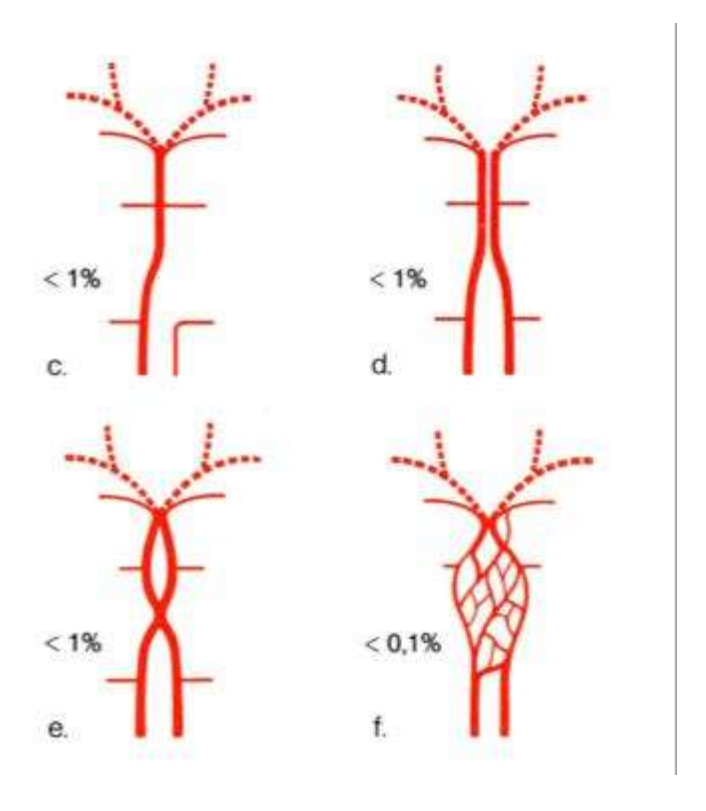
VARIATIONS DU CERCLE ARTERIEL DE LA BASE (Partie postérieure)

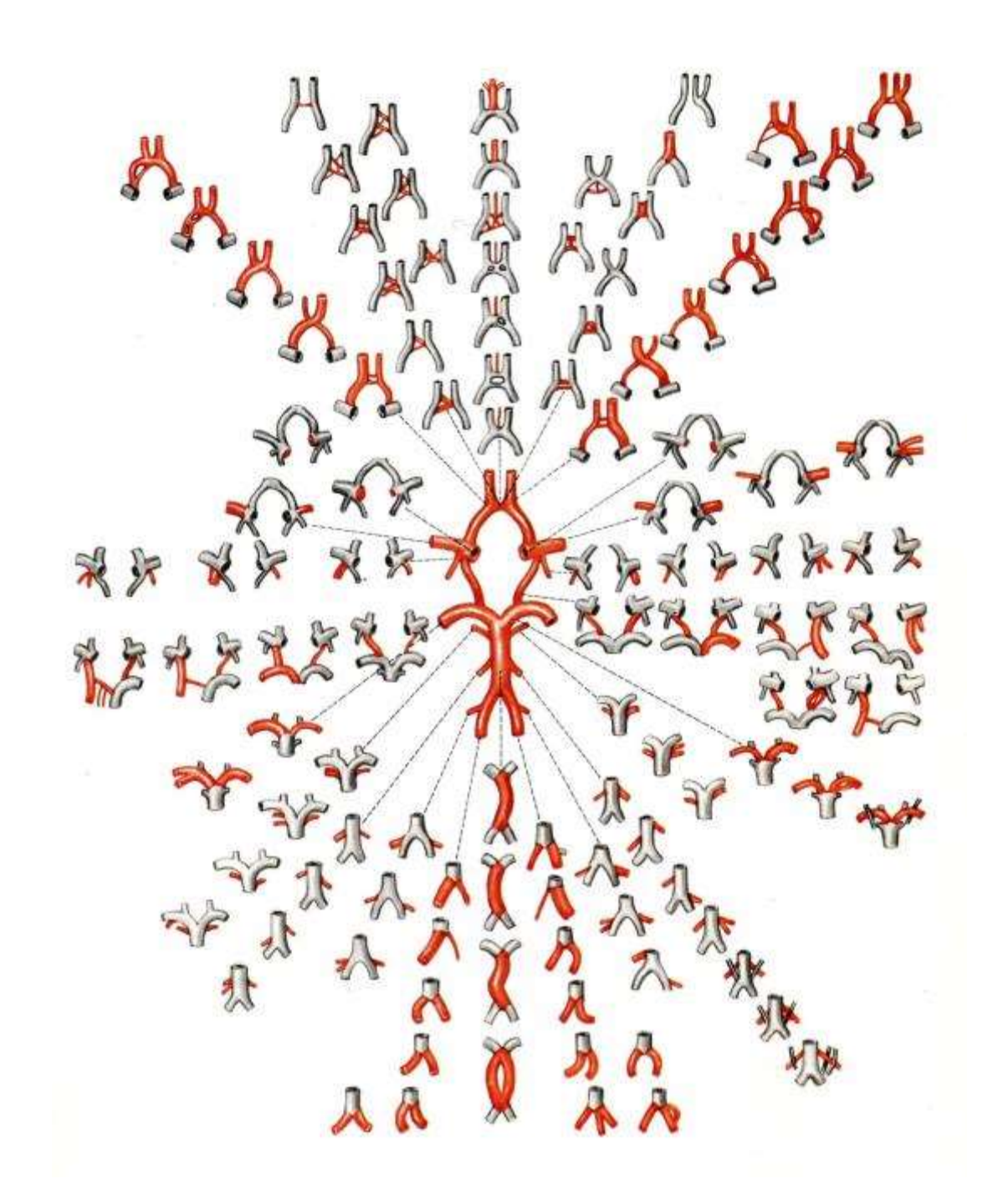




VARIATIONS DU CERCLE ARTERIEL DE LA BASE (Artère basilaire)



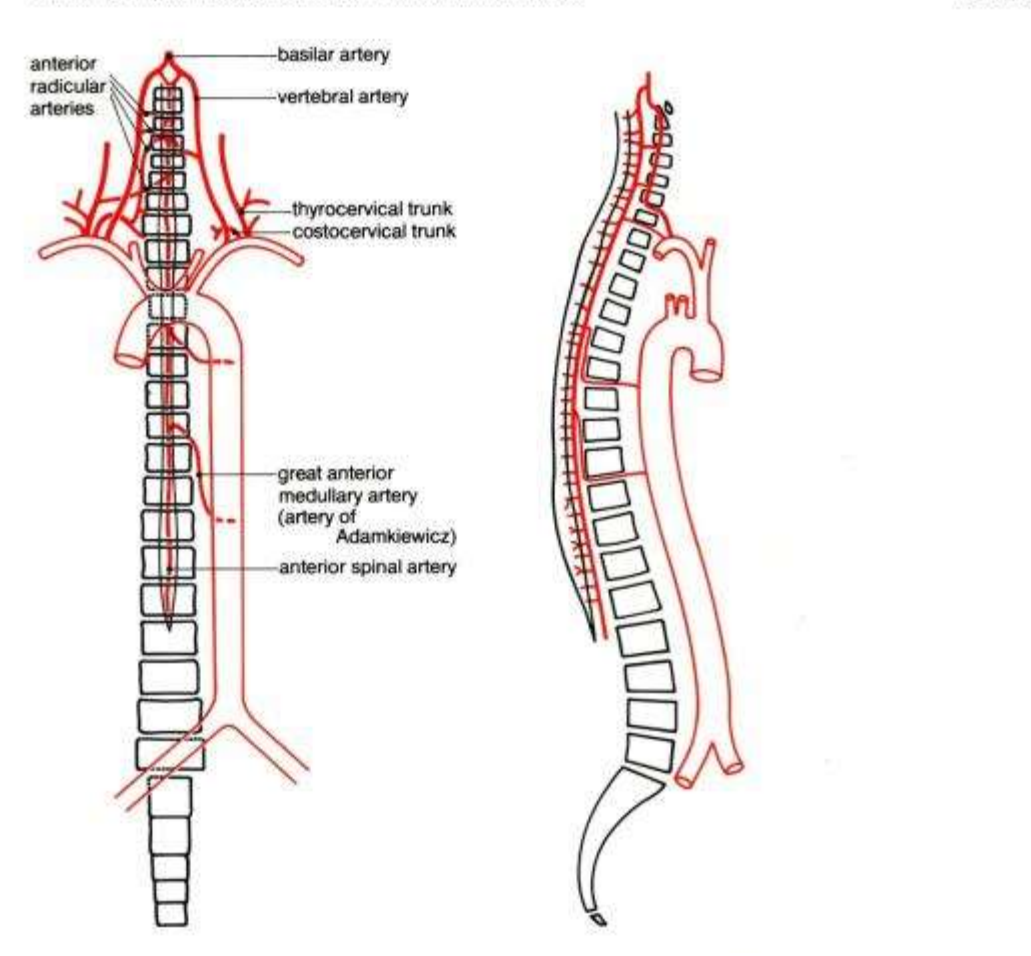


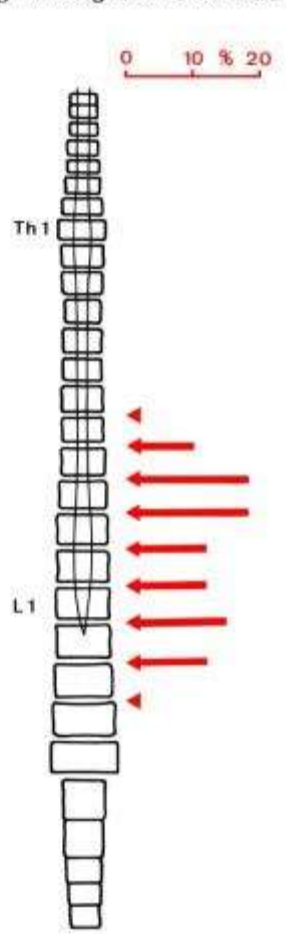


VARIATIONS D'ORIGINE DE L'ARTERE D'ADAMKIEWICZ

1a and 1b. Typical origin of the anterior radicular arteries

Variable origin of the great anterior medullary artery (artery of Adamkiewicz)

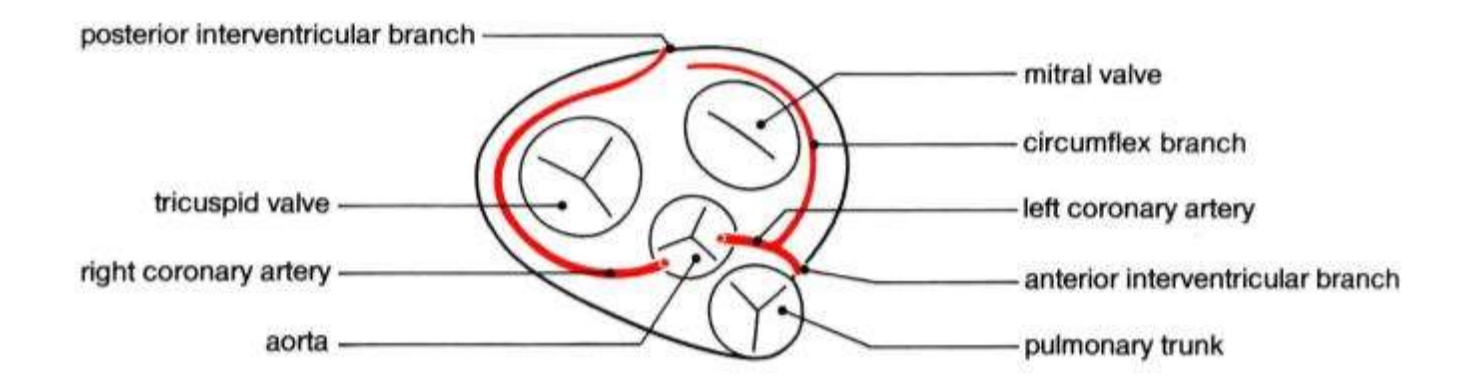




EXEMPLES DE VARIABILITE ARTERIELLE

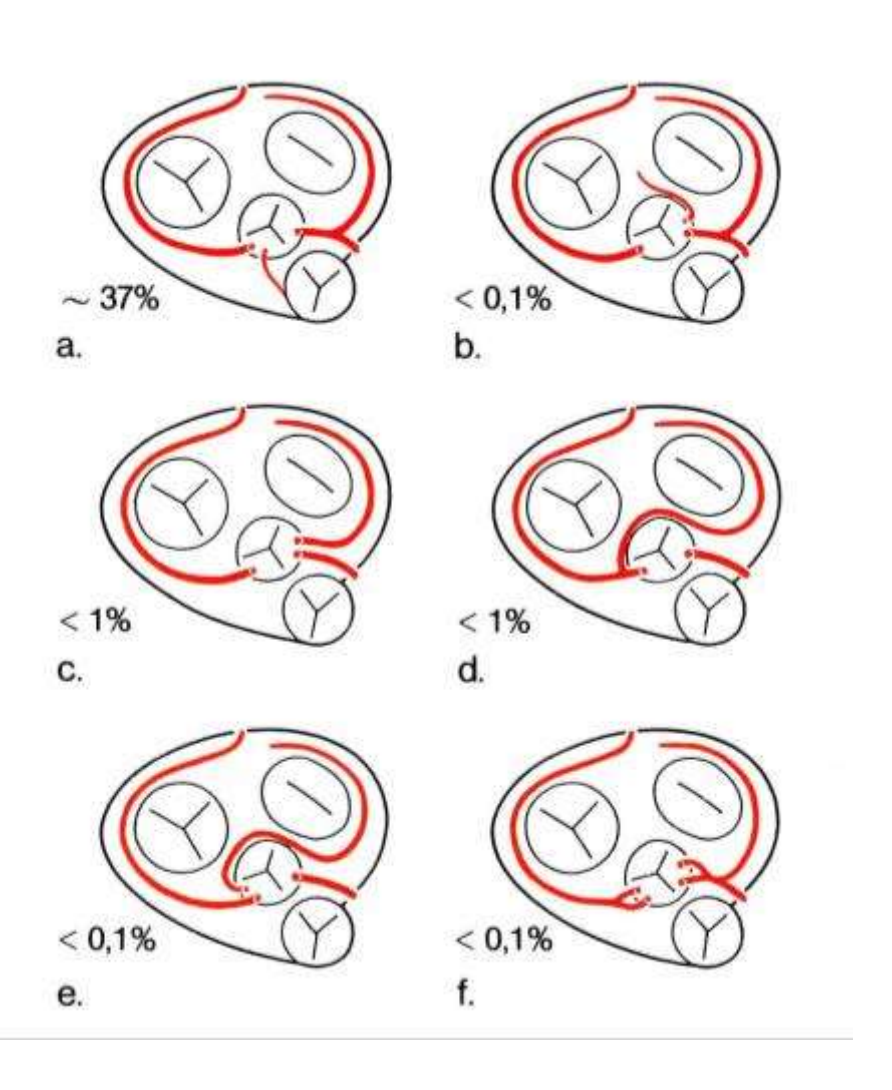
- 1°) AORTE
- 2°) COU et TÊTE
- 3°) SYSTEME NERVEUX CENTRAL
 - 4°) VISCERES
 - 5°) MEMBRES

VARIATIONS DES ARTERES CORONAIRES



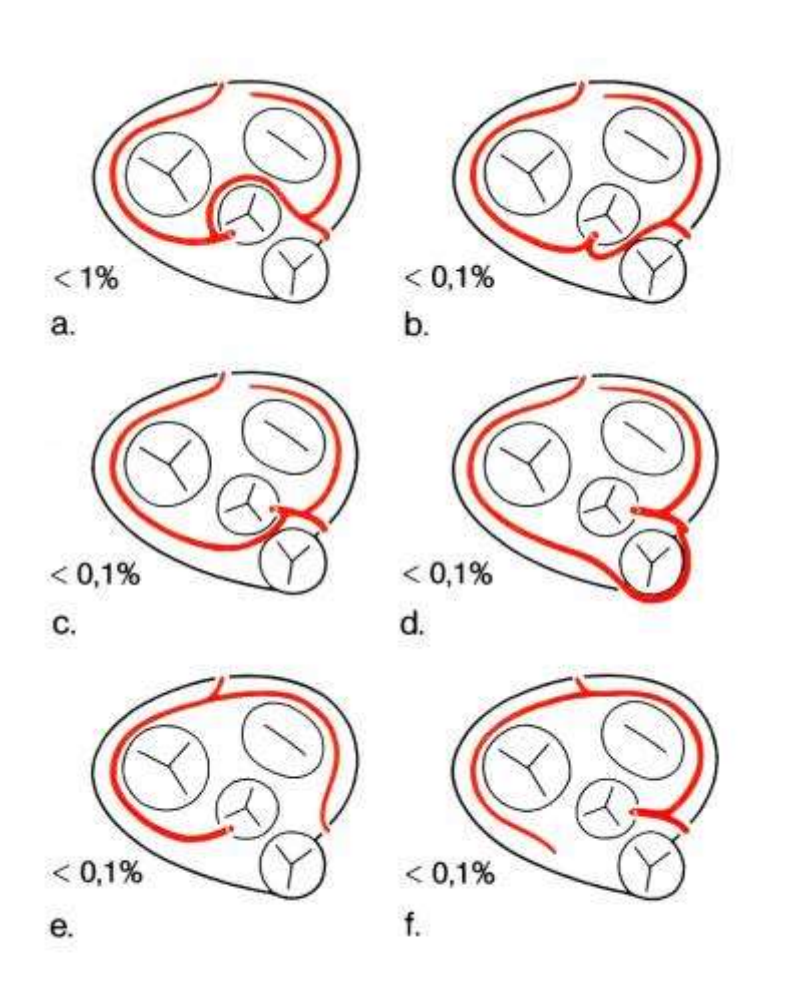
Description « classique » (60%)

VARIATIONS DES ARTERES CORONAIRES



artères accessoires et anomalies d'origine (38%)

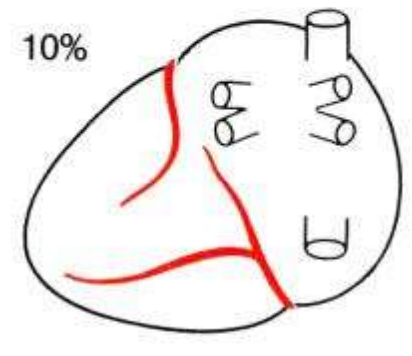
VARIATIONS DES ARTERES CORONAIRES



artère coronaire unique (< 1%)

70% E S

20% F 989 W

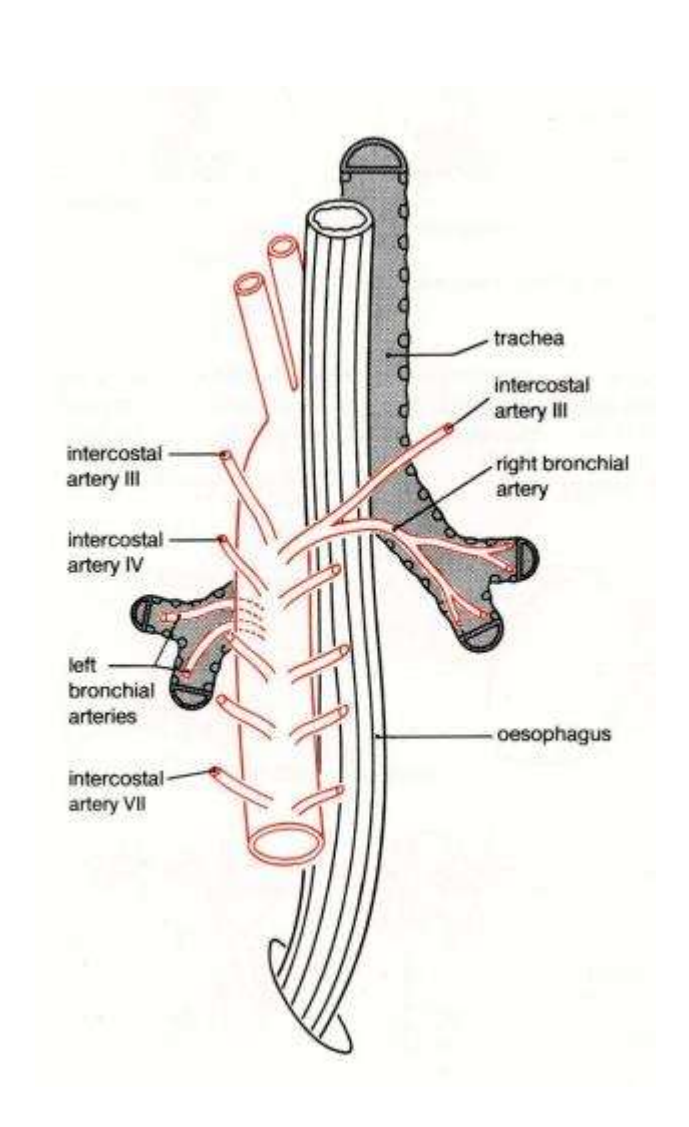


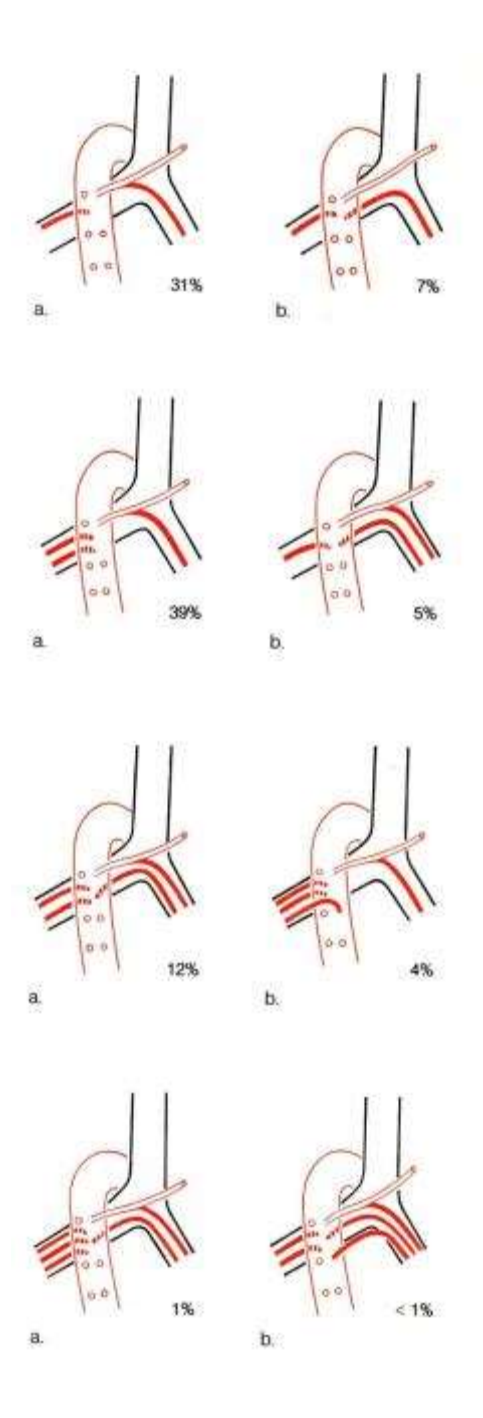
VARIATIONS DES ARTERES CORONAIRES

variations de la branche interventriculaire postérieure

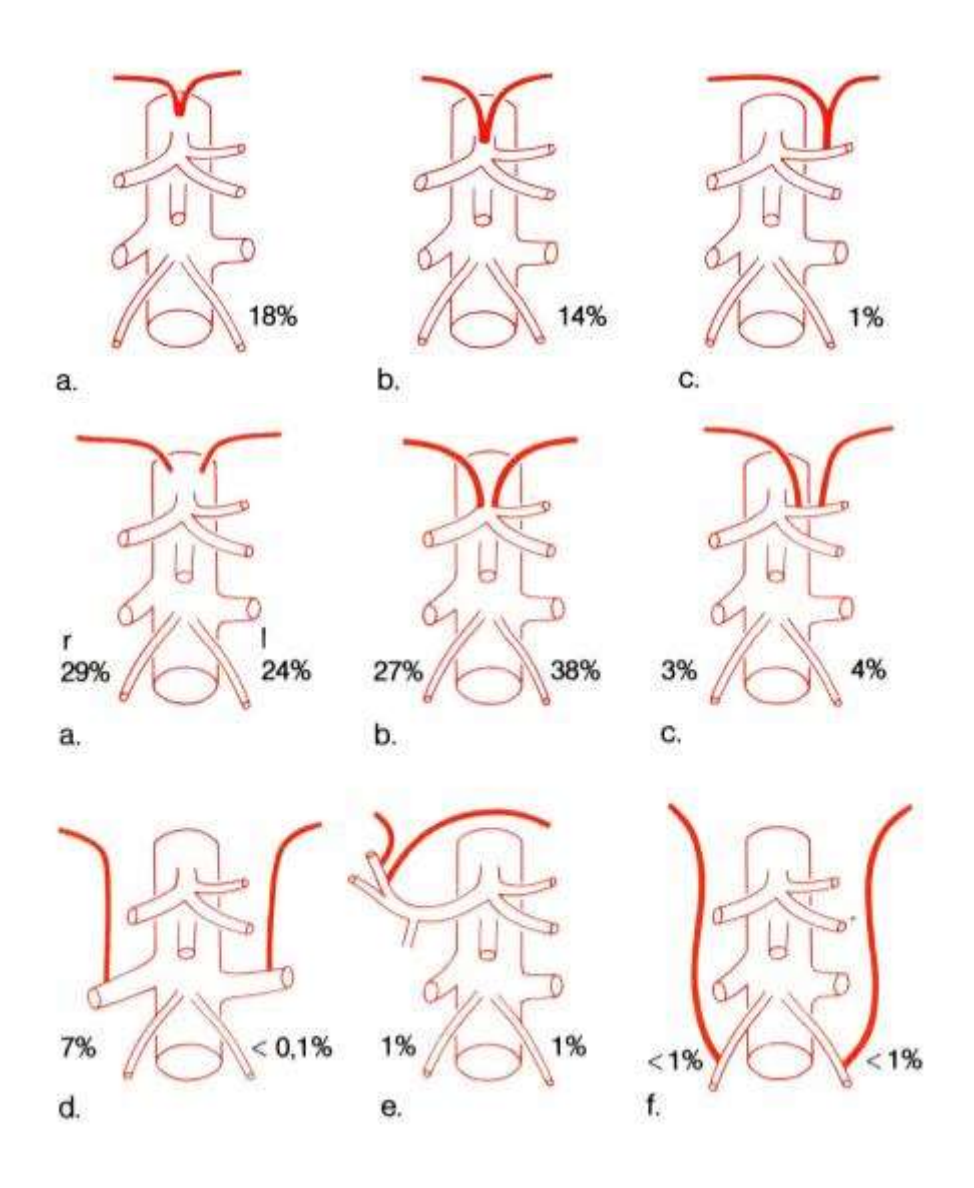
b.

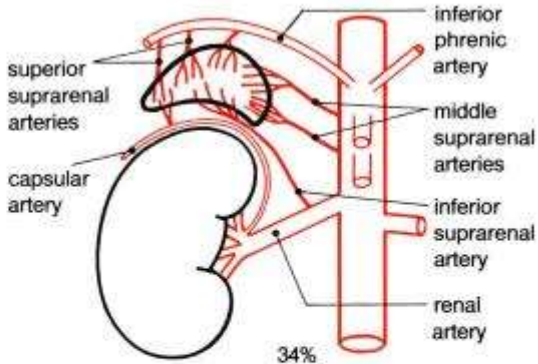
VARIATIONS DES ARTERES BRONCHIQUES



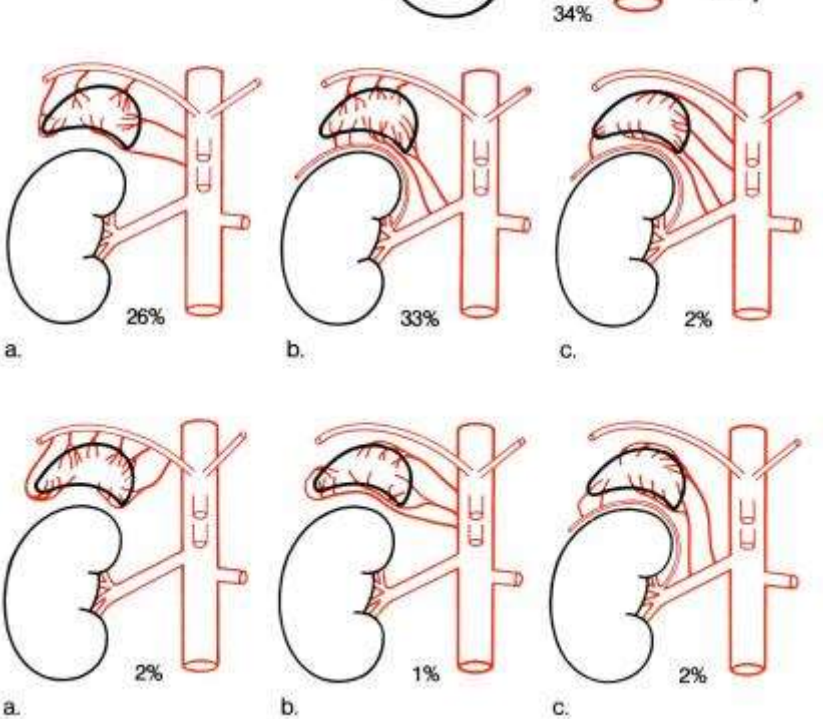


VARIATIONS DES ARTERES PHRENIQUES INFERIEURES

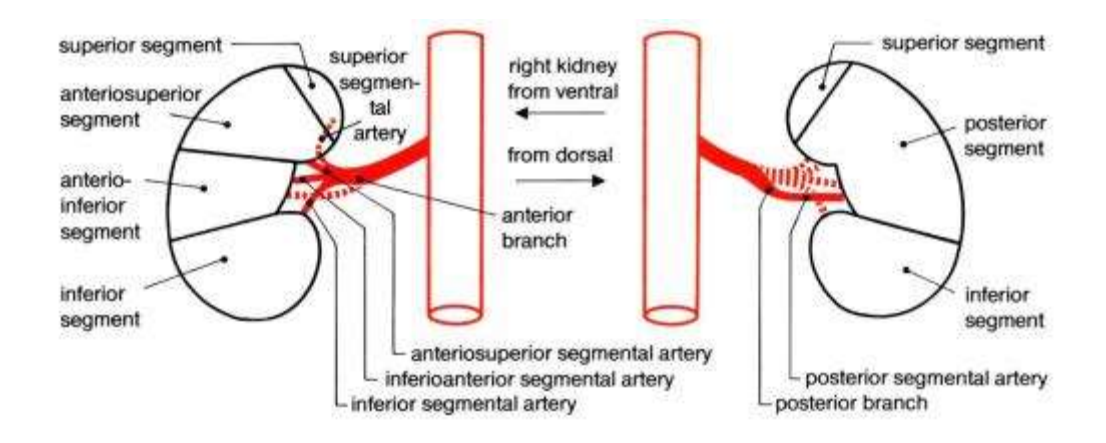


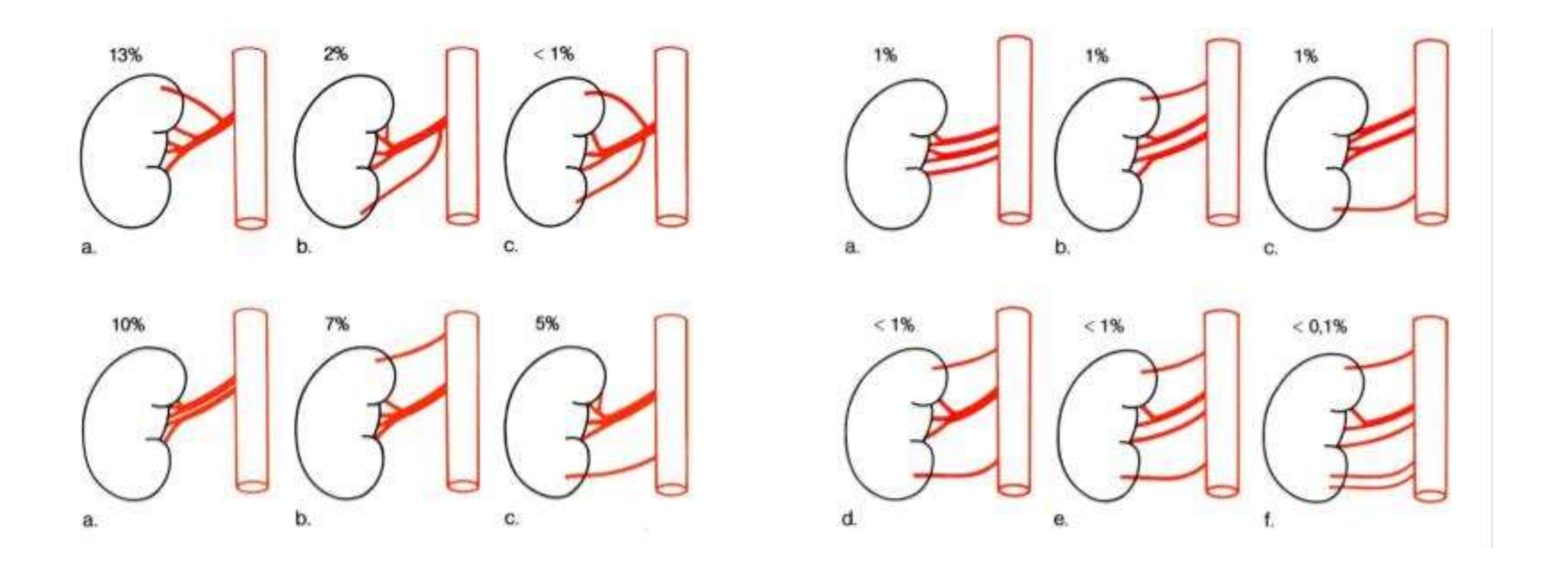


VARIATIONS DES ARTERES SUPRARENALES

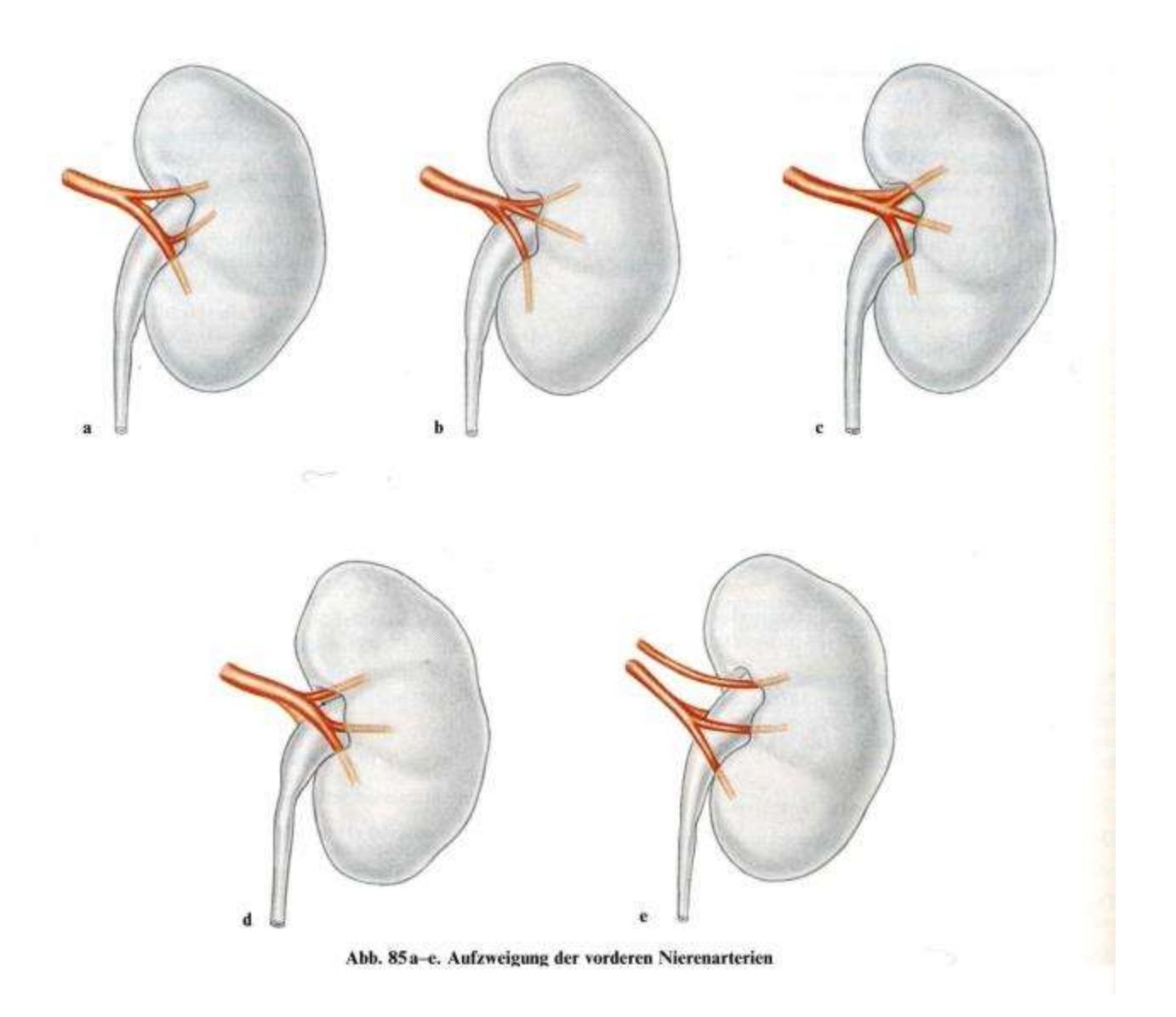


VARIATIONS DES ARTERES RENALES





VARIATIONS DES ARTERES RENALES



VARIATIONS DES ARTERES RENALES

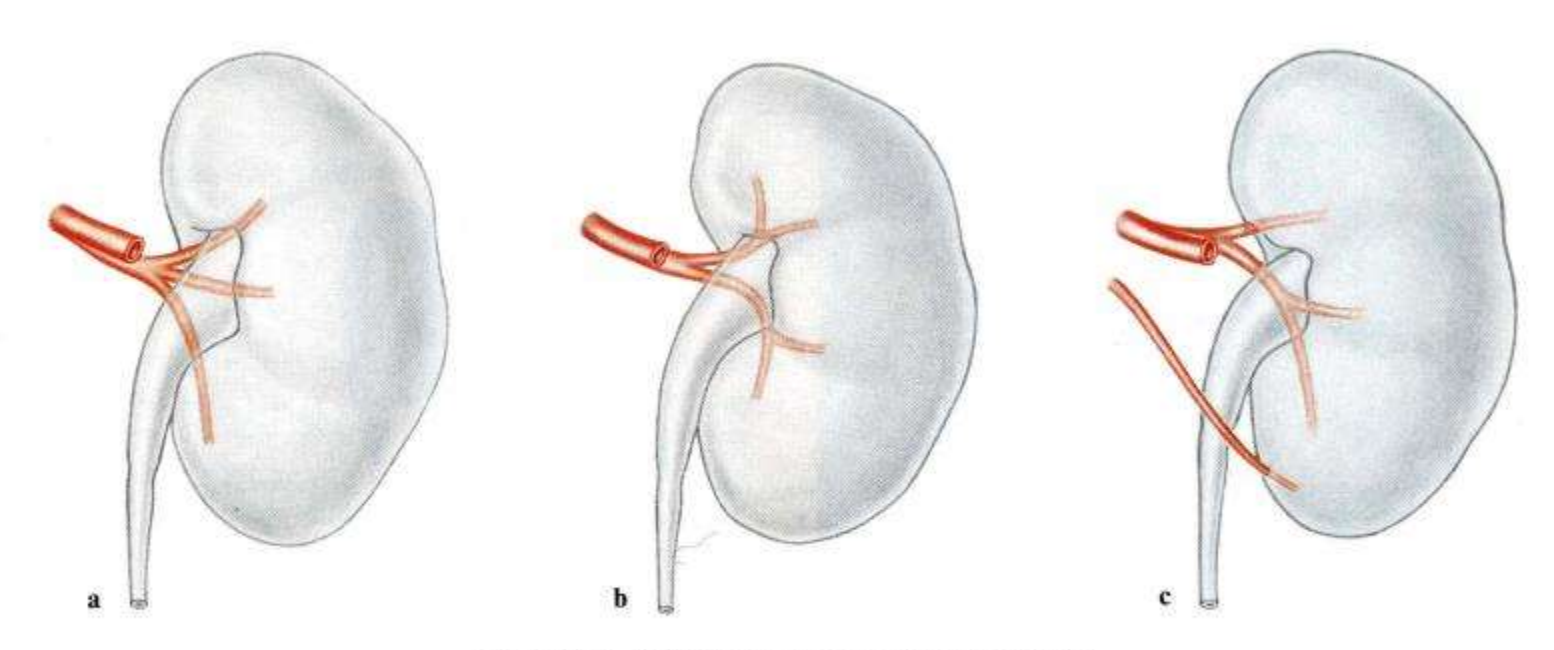
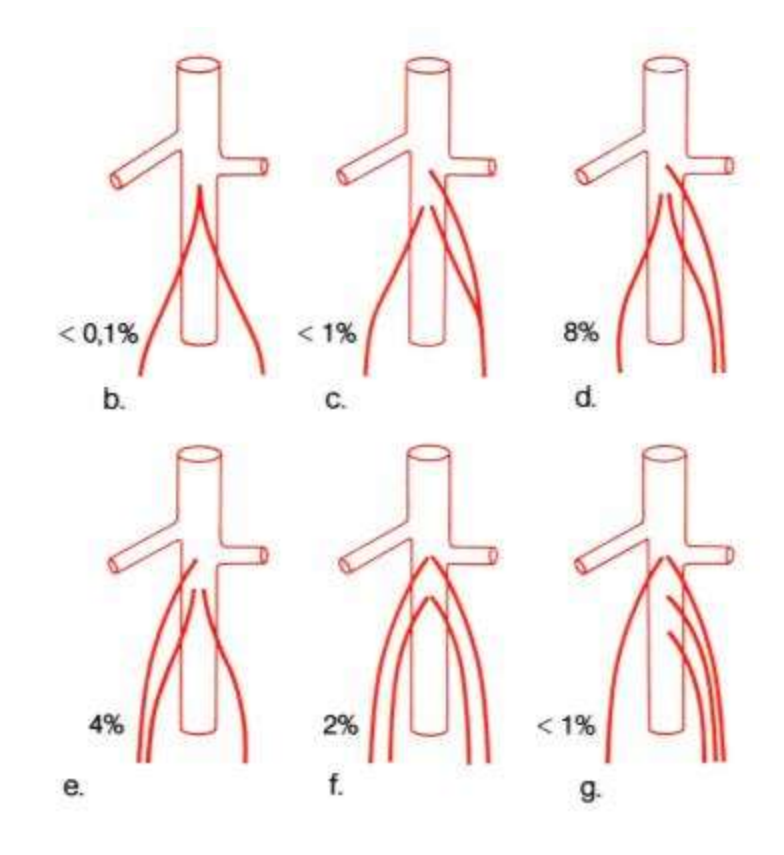


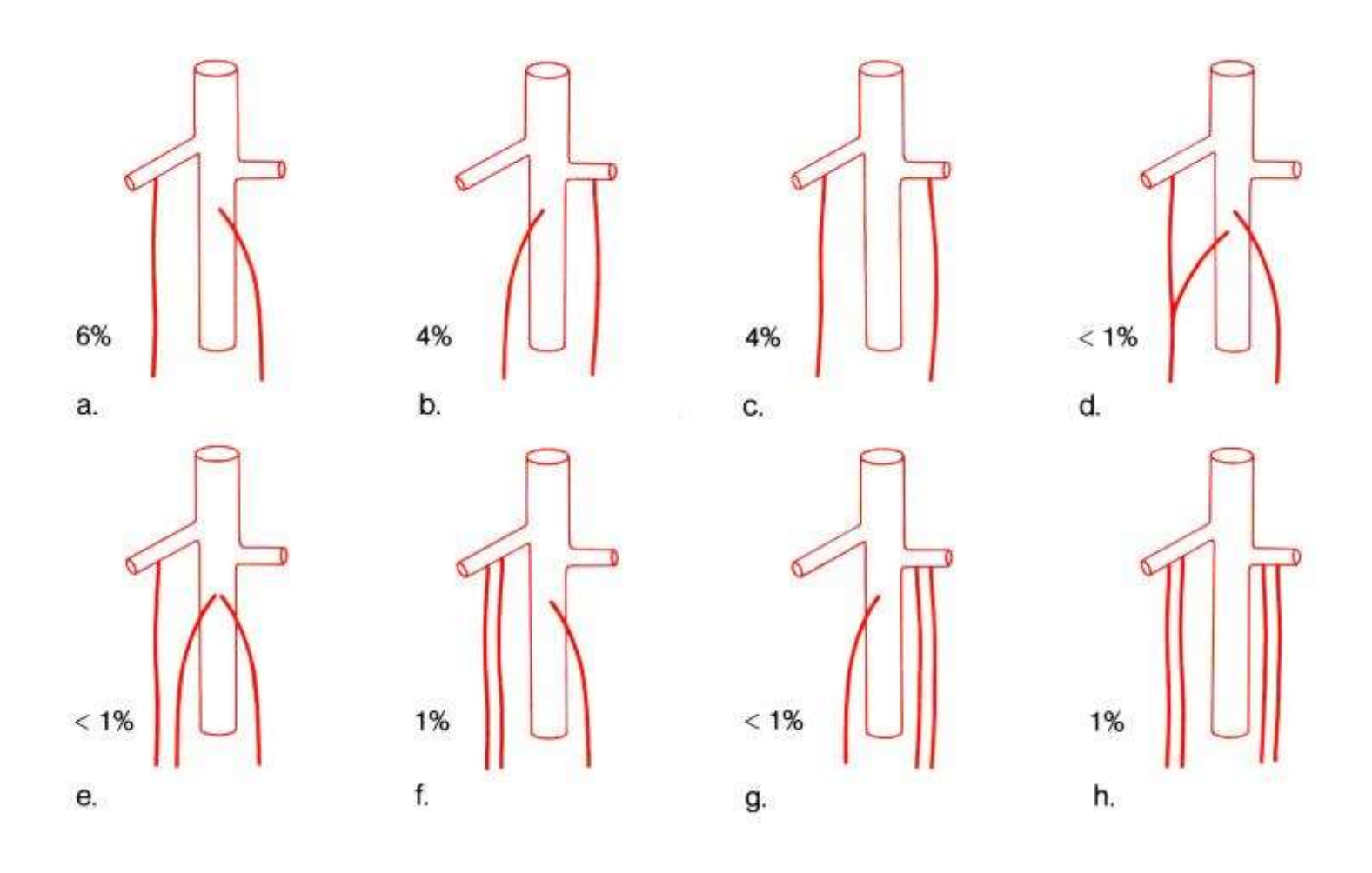
Abb. 86a-c. Aufzweigung der hinteren Nierenarterie a Kruziale Aufzweigung (10%); b bifurkale Aufzweigung (30%); c magistrale Aufzweigung (50%)

$\sim 68\%$

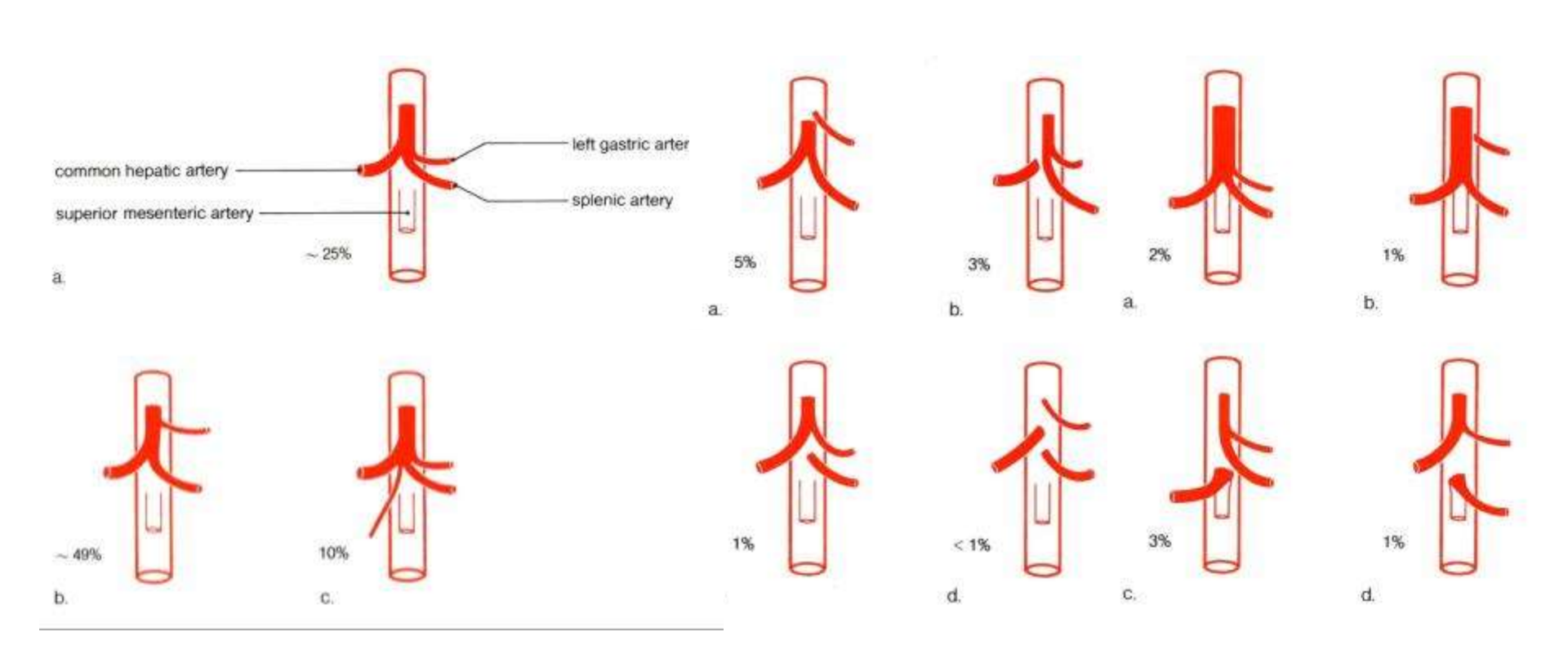
VARIATIONS DES ARTERES TESTICULAIRES



VARIATIONS DES ARTERES TESTICULAIRES

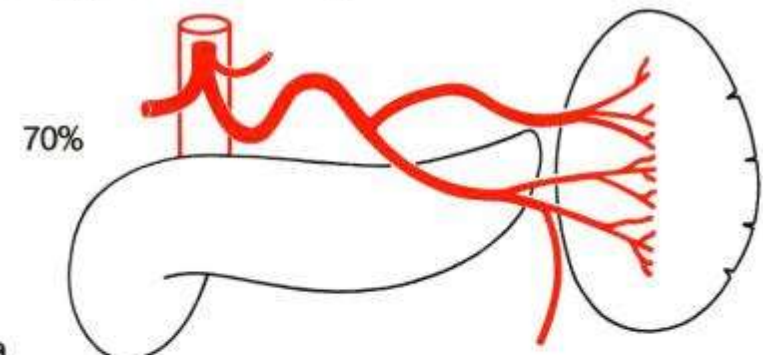


VARIATIONS DU TRONC COELIAQUE

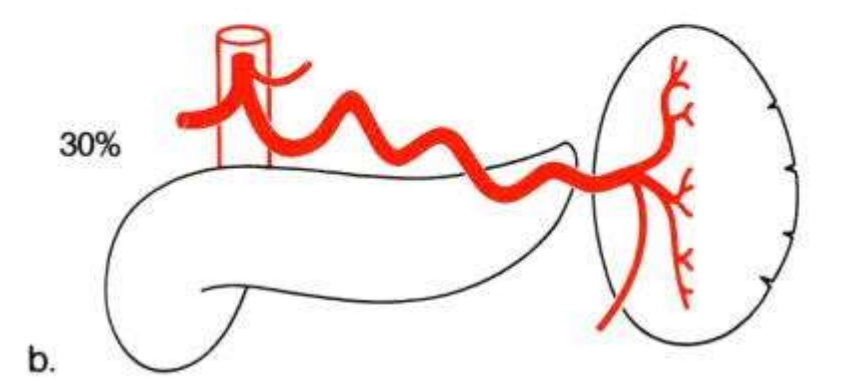


VARIATIONS DE L'ARTERE SPLENIQUE

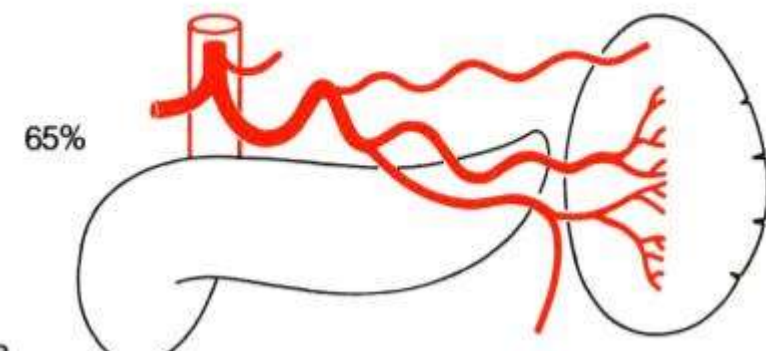
1. Type of branching



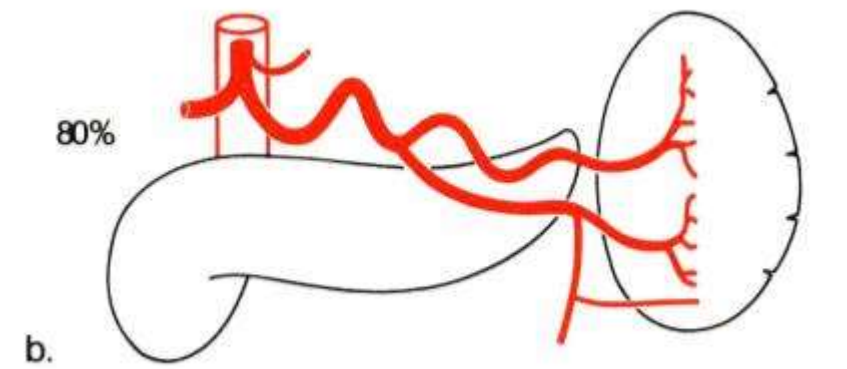
a.



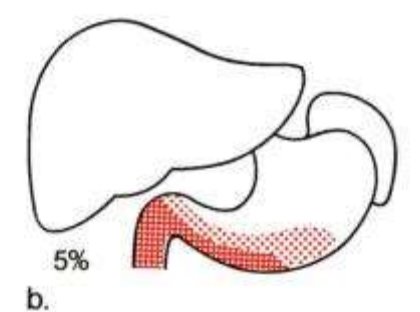
2. Polar arteries

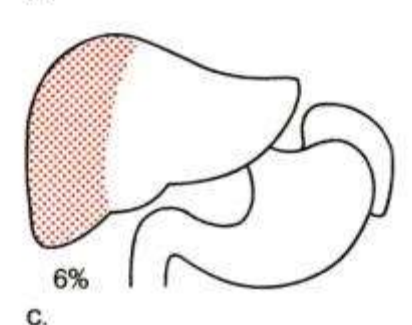


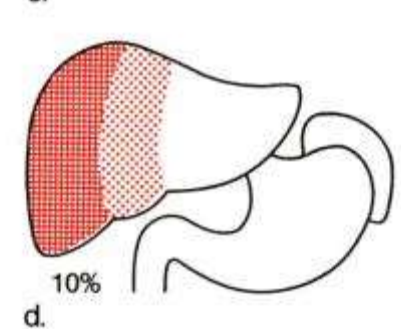
a.

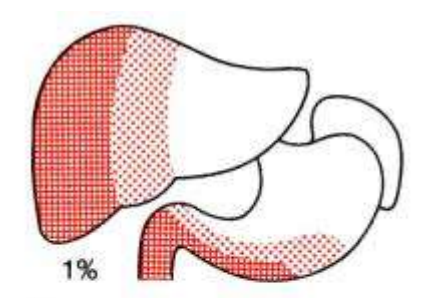


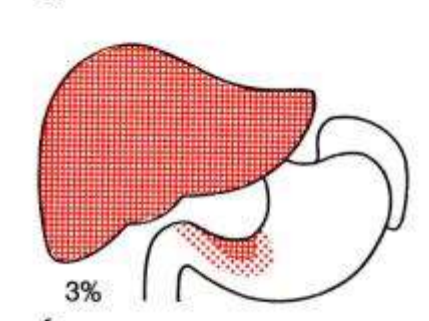
70%

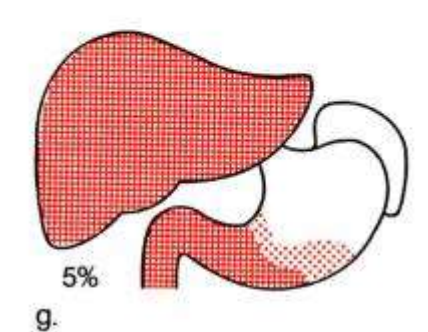


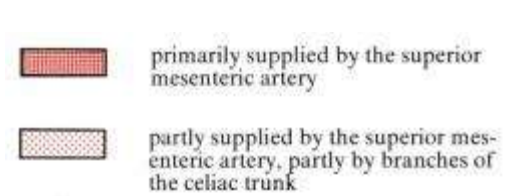






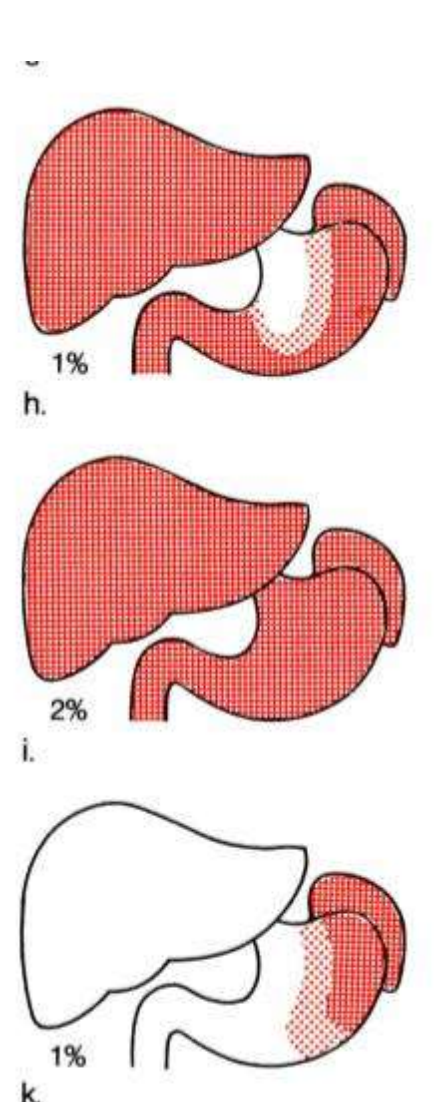


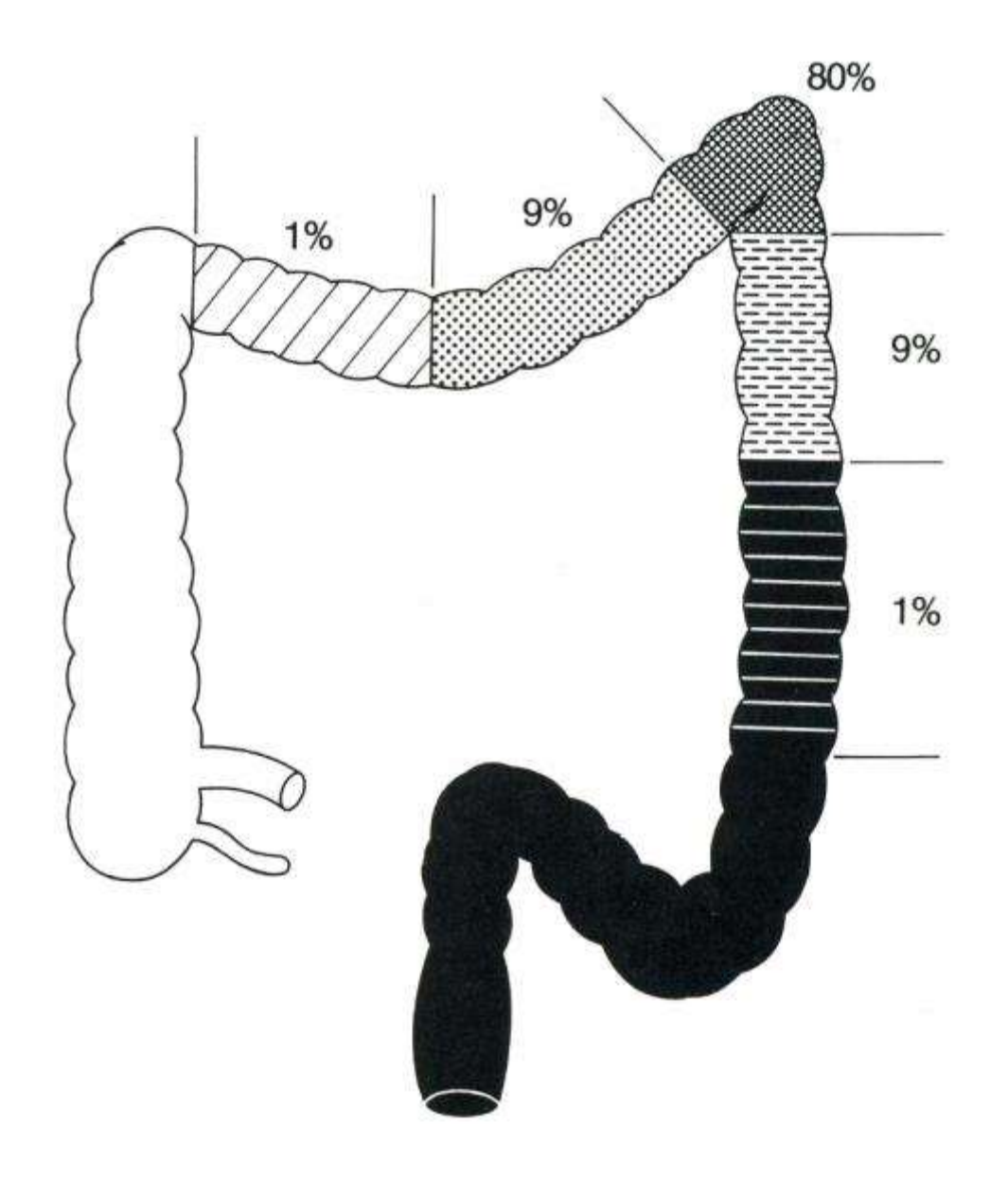




primarily supplied by branches of the celiac trunk

VARIATIONS DE TERRITOIRE





VARIATIONS DE TERRITOIRE

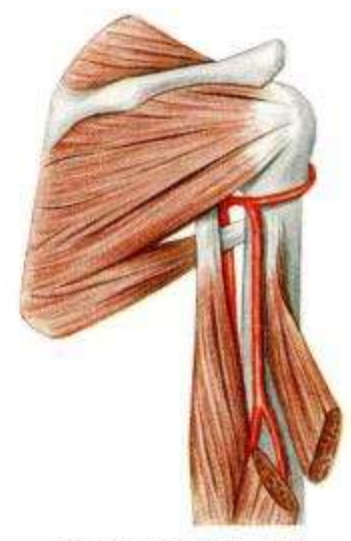
EXEMPLES DE VARIABILITE ARTERIELLE

- 1°) AORTE
- 2°) COU et TÊTE
- 3°) SYSTEME NERVEUX CENTRAL
 - 4°) VISCERES
 - 5°) MEMBRES

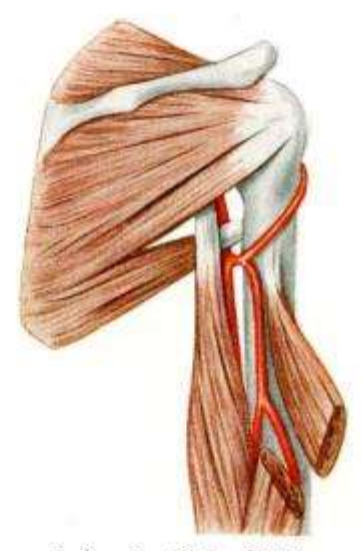
VARIATIONS DES ARTERES CIRCONFLEXE HUMERALE POSTERIEURE ET PROFONDE DU BRAS



a) Normal, 77% getrennter Ursprung.



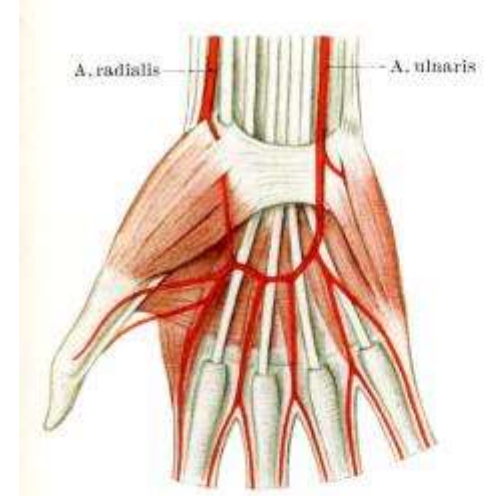
b) Sonderfall, 7%
A. profunda brachii ganz
oder teilweise aus A. circumflexa humeri dorsalis.



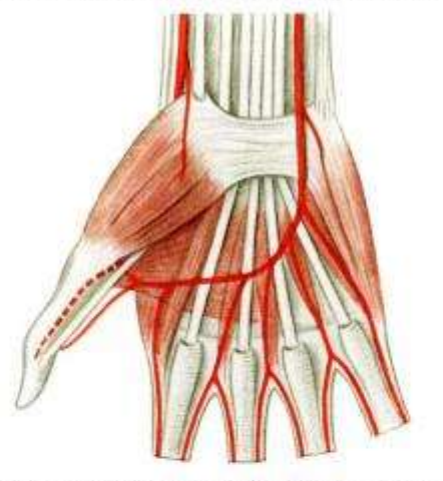
c) Sonderfall, 16%
A. circumflexa humeri dorsalis aus A. profunda brachii.

VARIATIONS DE L'ARCADE PALMAIRE SUPERFICIELLE

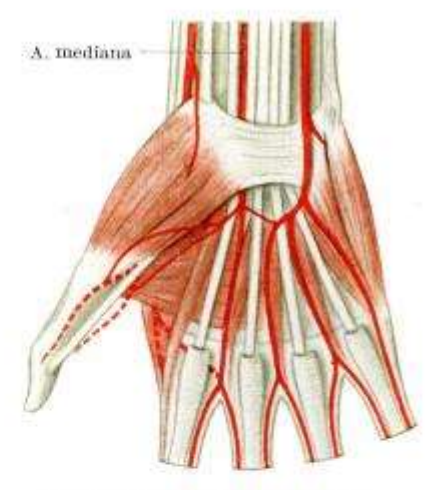
Mit vollständigem Arcus volaris superficialis.



a) Typus radio-ulnaris 27%1.

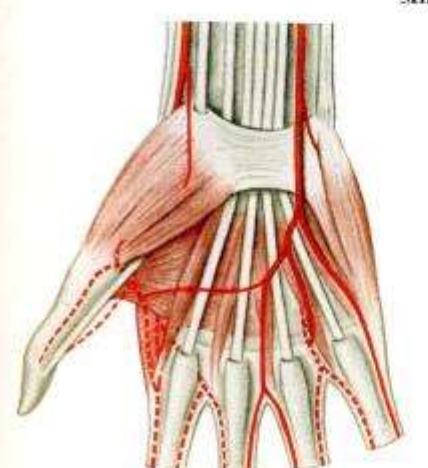


 Typus ulnaris mit vollständigem Arcus volaris superficialis 27%².

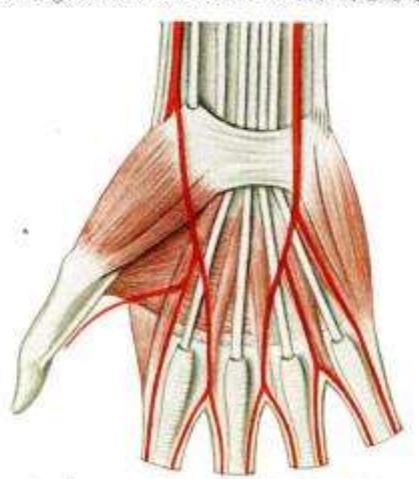


c) Typus mediano-ulnaris 3%3.

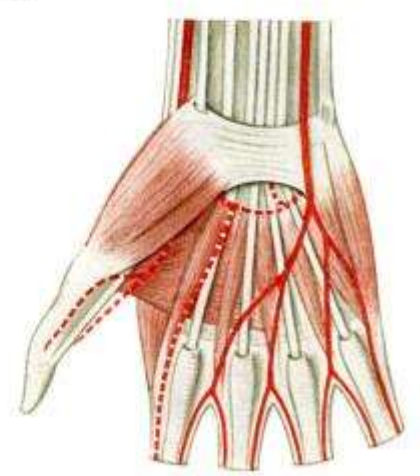
Mit unvollständigem oder fehlendem Arcus volaris superficialis.



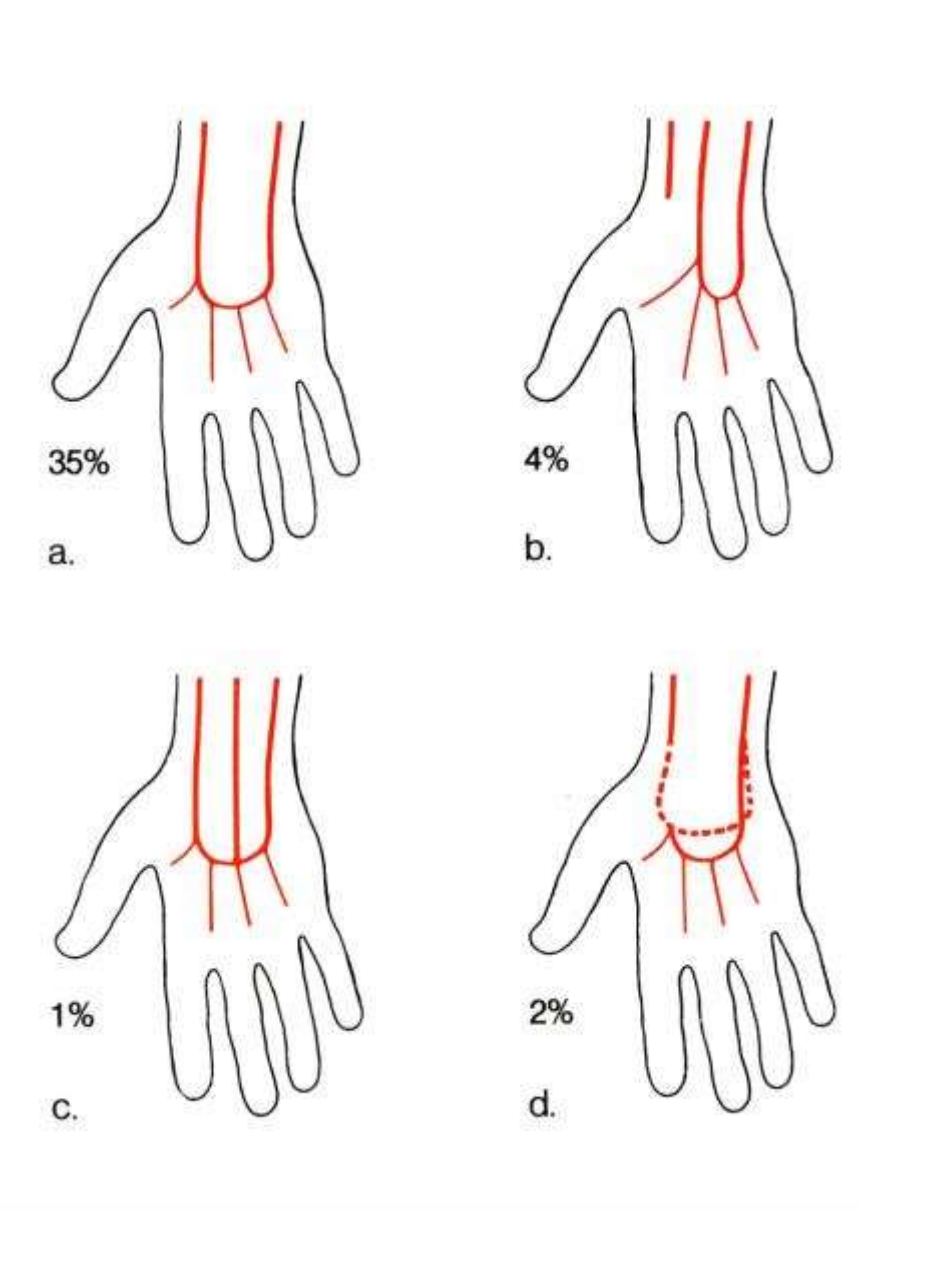
d) Typus ulnaris ohne typisehen Arcus volaris superficialis 6%⁴.

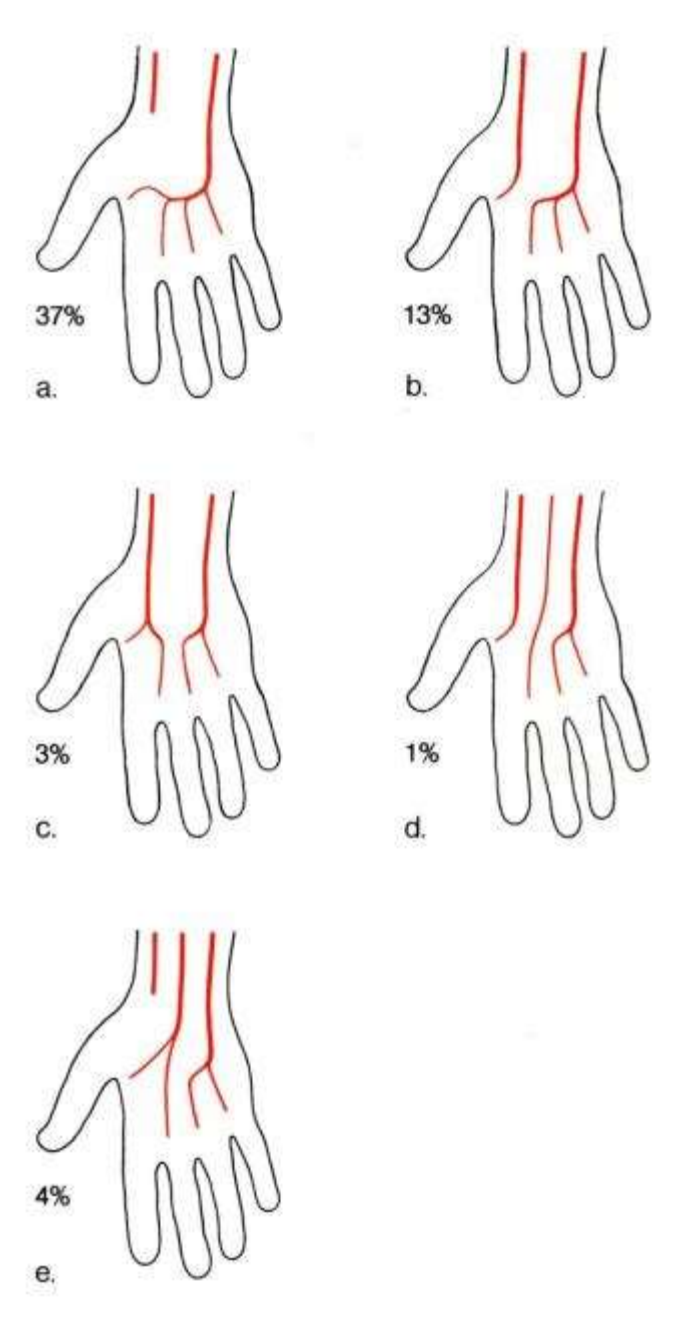


 e) Arcus volaris superficialis fehlt überhaupt, 4,5%⁵.



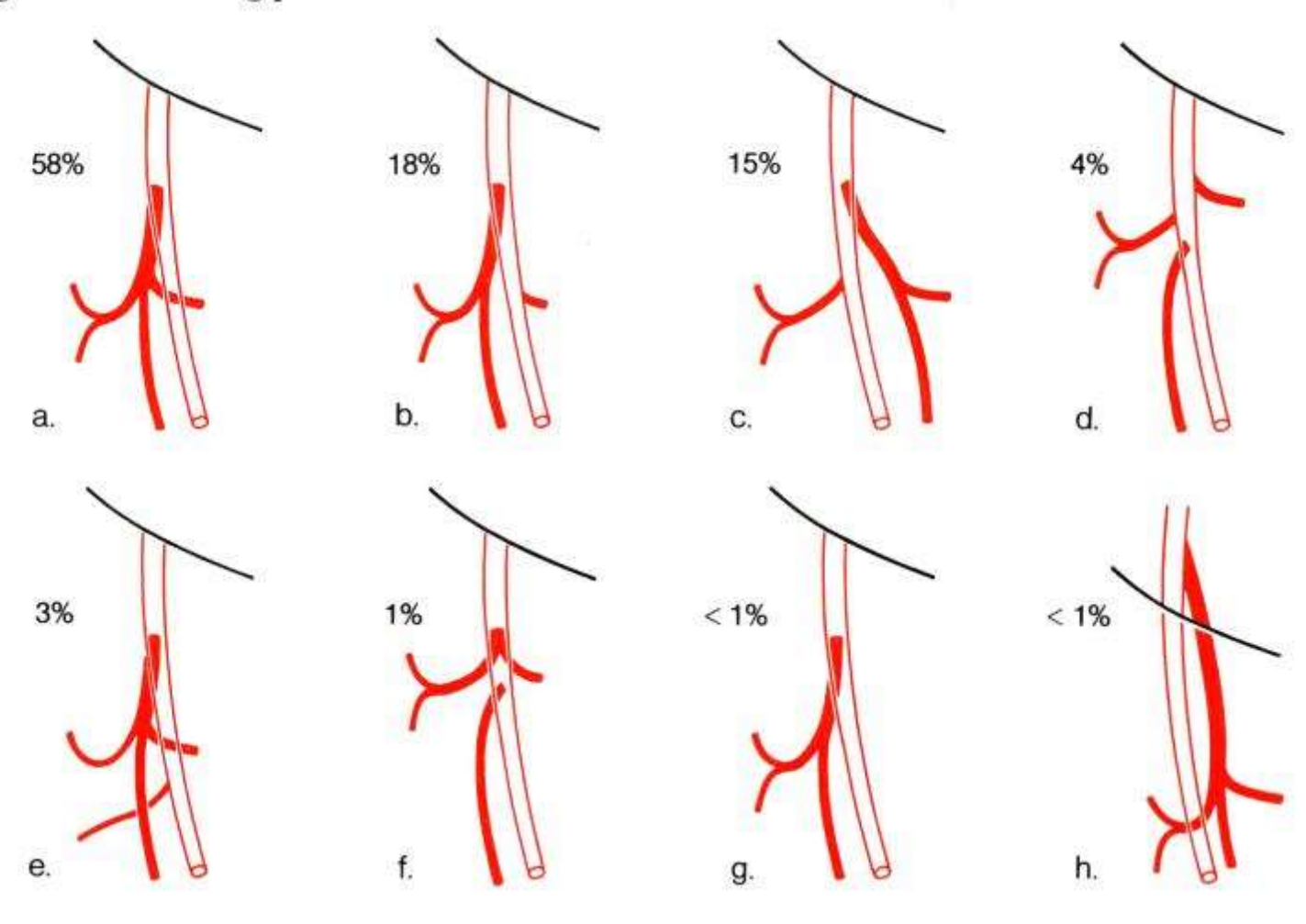
f) Arcus volaris superficialis fehlt. A. digitalis vol. I zweigt sich aus dem tiefen Hohlhandbogen ab. 12% 6.



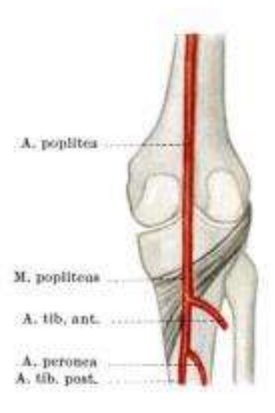


VARIATIONS DE L'ARTERE FEMORALE PROFONDE

Origin and branching pattern



VARIATIONS DE L'ARTERE POPLITEE



 a) 90% Regelfall, A. tibialis anterior zweigt am Distalrand des M. popliteus ab



b) 4% Trifurkation, A. poplitea teilt sich am Distalrand des M. popliteus in: A. tibialis poet., A. tibialis ant. und A. peronea



 c) 1% Truncus peroneotibialis anterior, zweigt am Distalrand des M. popliteus ab



d) < 1% Inselbildung der A. poplitea dorsal des M. popliteus



e) 3% Hohe Teilung der A. poplitea



f) 1% Hohe Teilung der A. poplitea mit Truncus peroneotibialis ant.

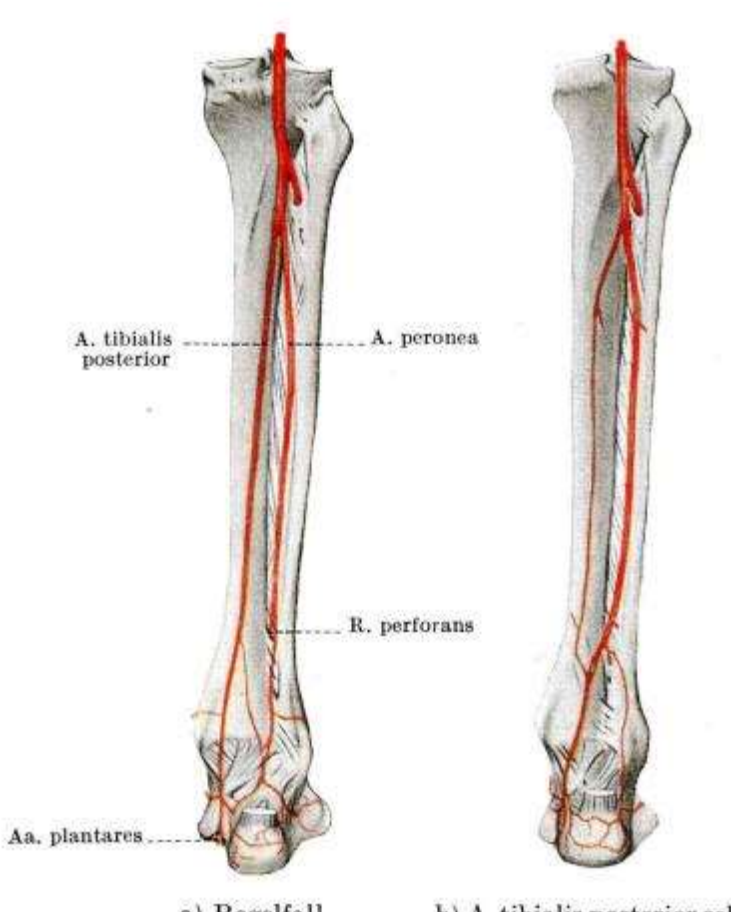


g) 1% Hohe Teilung der A, poplitea, A. tibialis anterior verläuft ventral des M. popliteus



 h) < 1% Hohe Teilung der
 A. poplitea, Truncus interosseotibialis anterior

VARIATIONS DE L'ARTERE TIBIALE POSTERIEURE

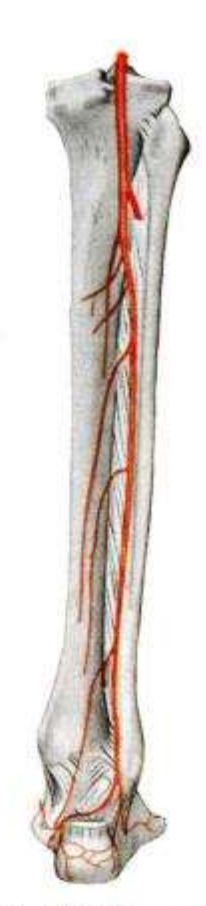


a) Regelfall

 b) A. tibialis posterior sehr schwach, A. peronea stark

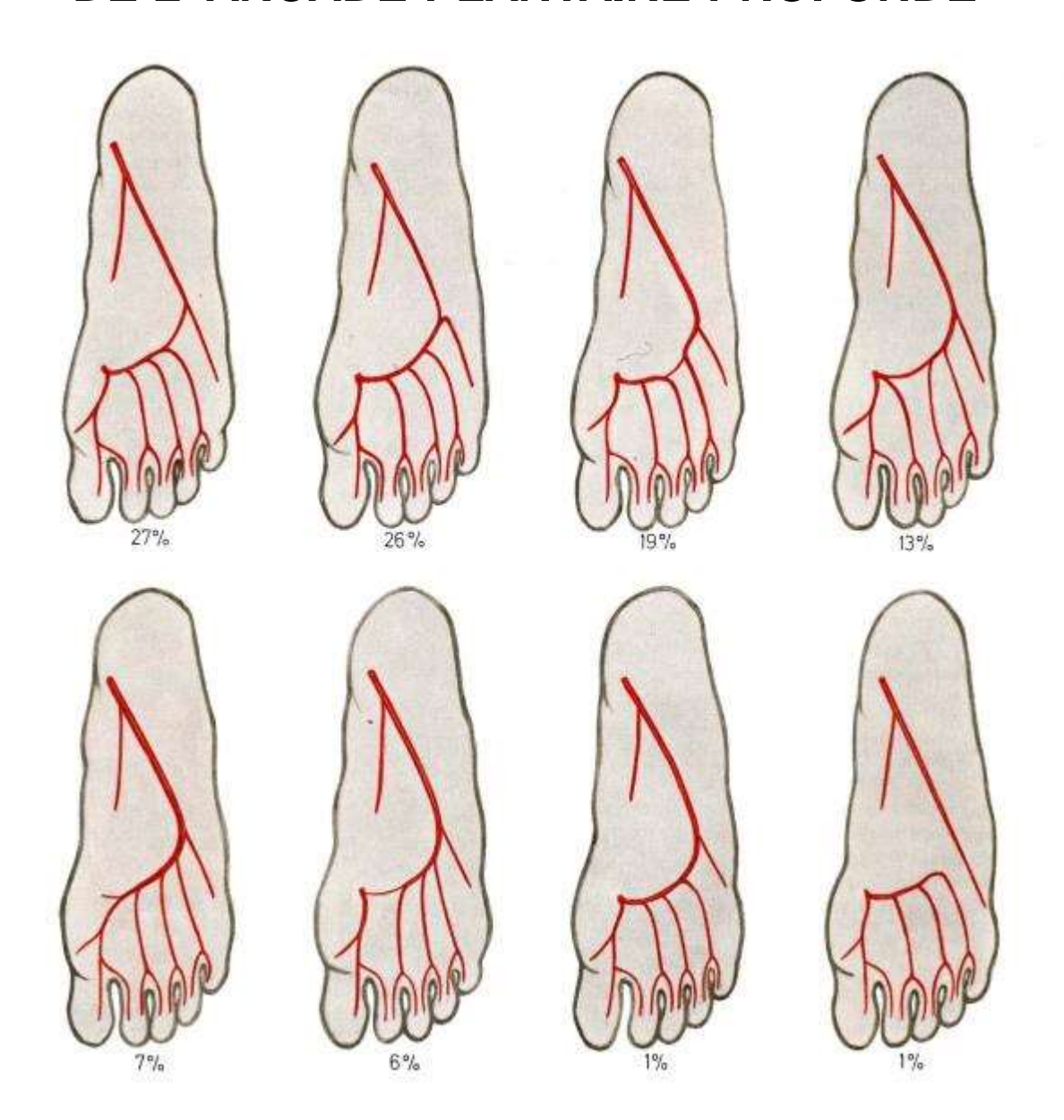


e) A. tibialis posterior fehlt, ist ersetzt am Unterschenkel durch die A. peronea

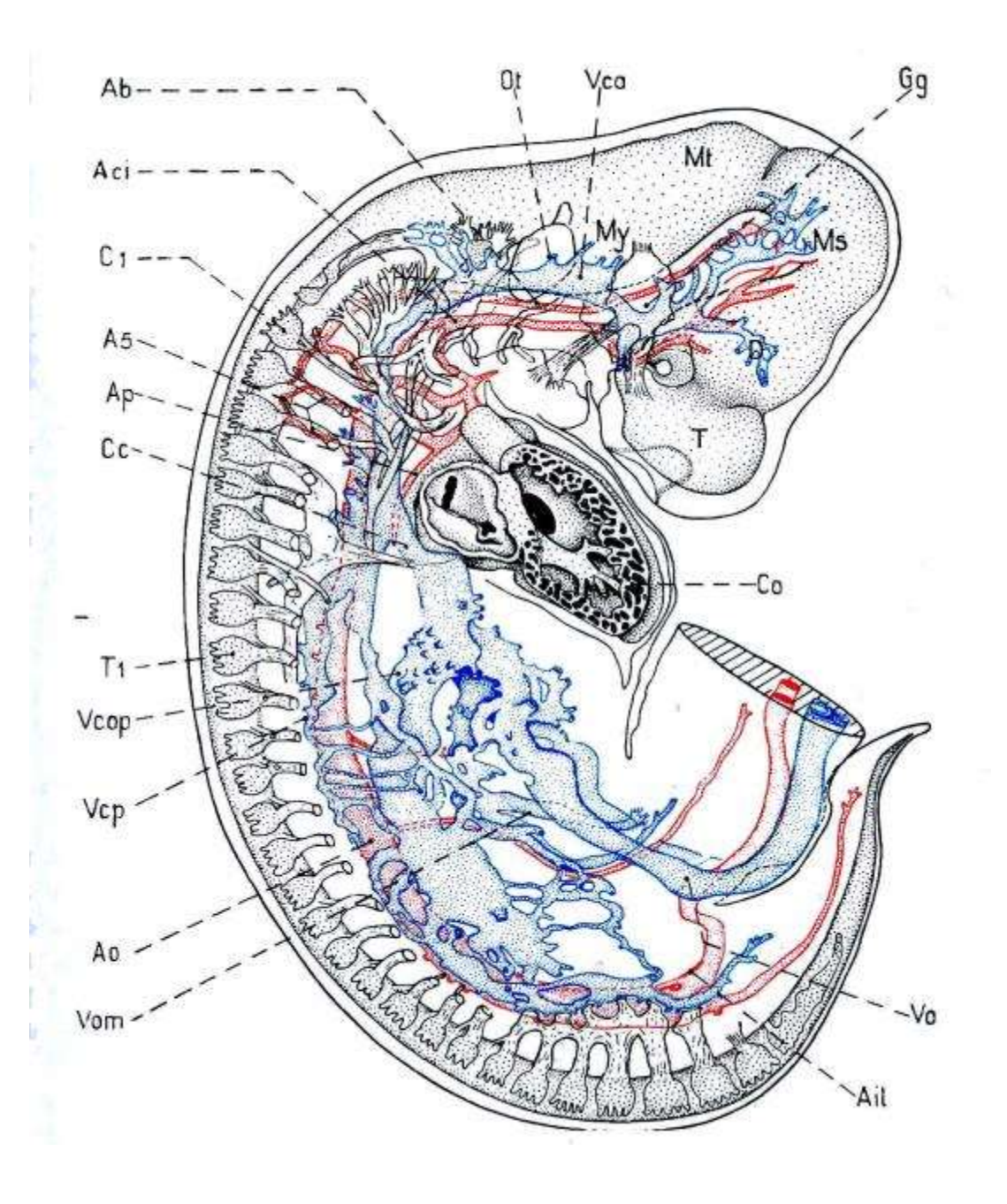


d) A. tibialis posterior fehlt, ist ersetzt am Unterschenkel und am Knöchel durch die A. peronea

VARIATIONS DE L'ARCADE PLANTAIRE PROFONDE

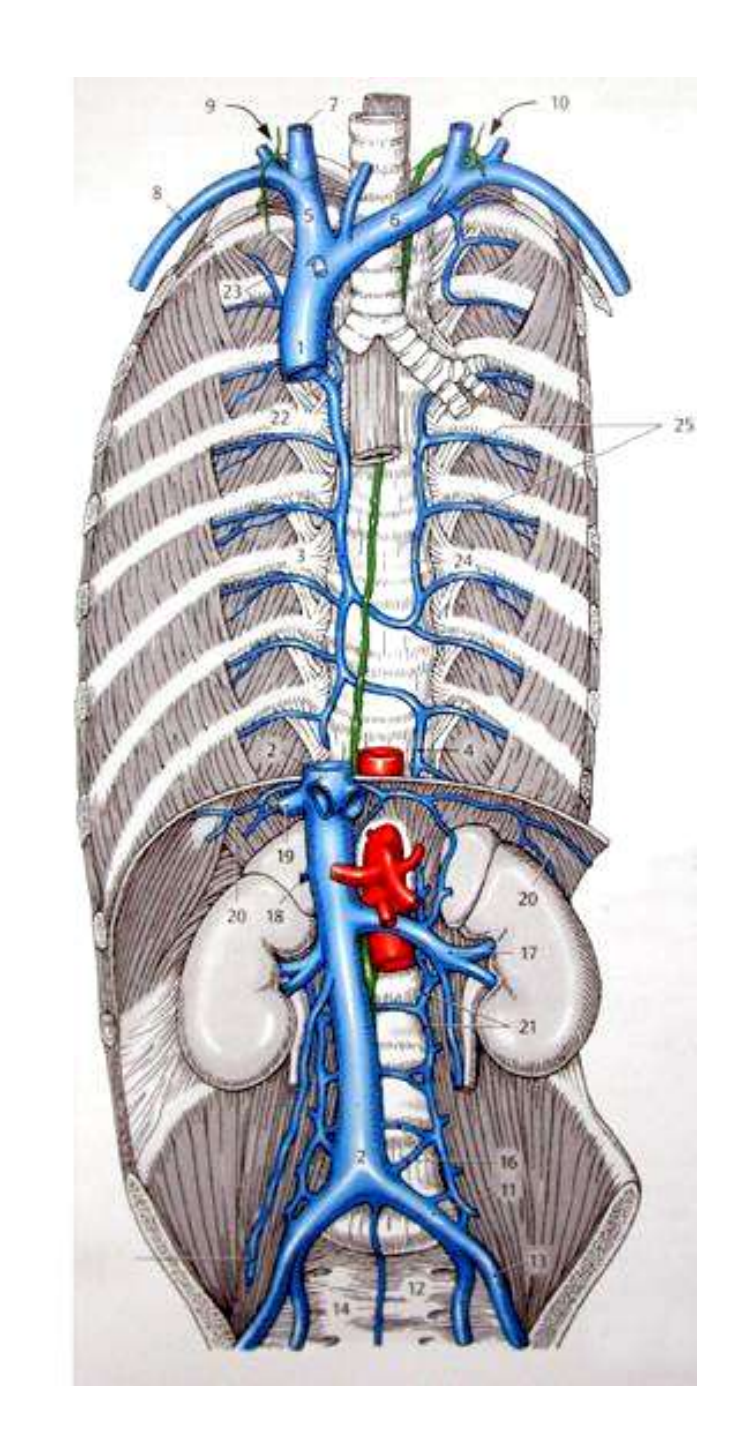


6. Exemples de variabilité veineuse



Exemples de variabilité

des VEINES CAVES



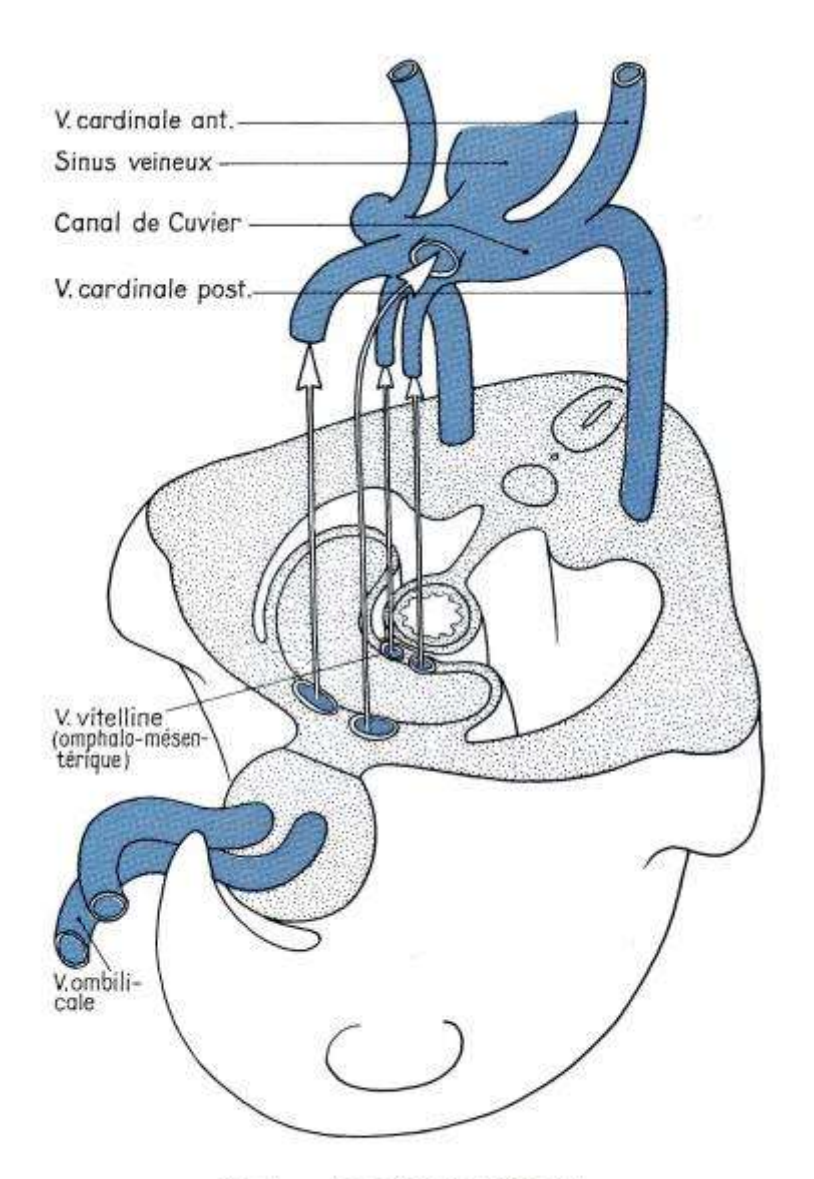


Fig. 1. — Les réseaux veineux à la 4° semaine.

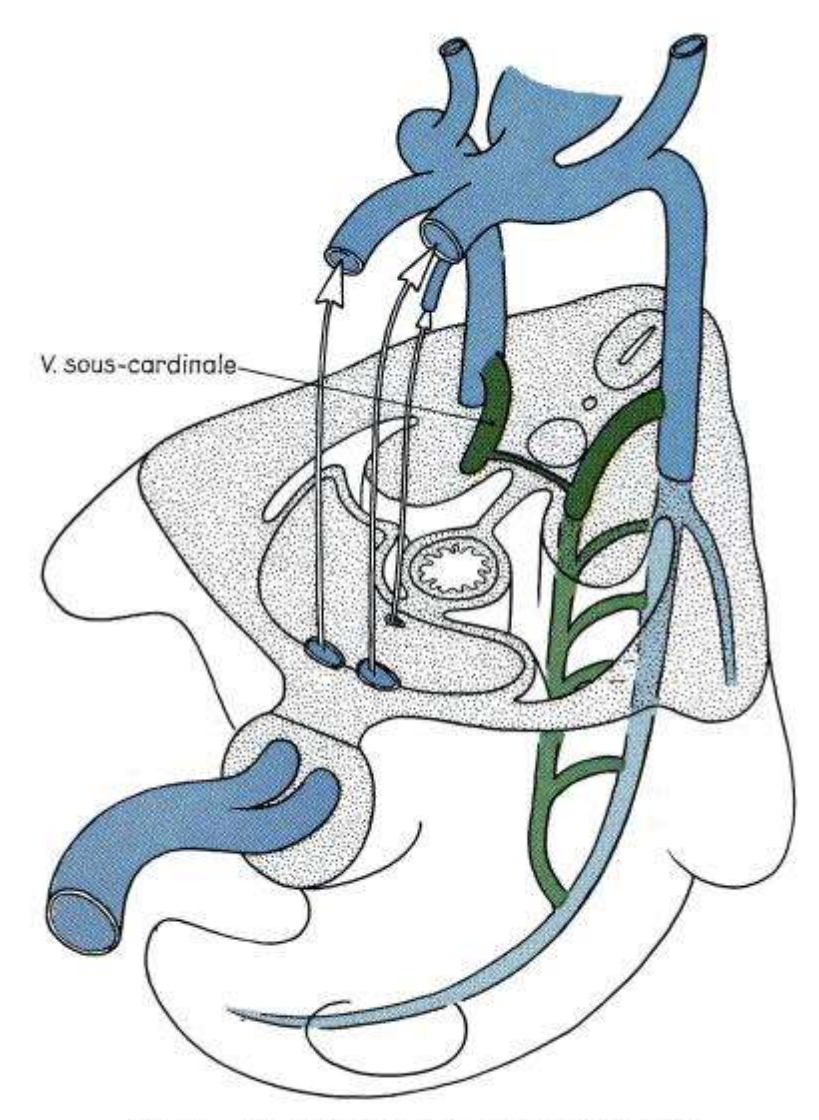


Fig. 2. — Les réseaux veineux à la 6° semaine.

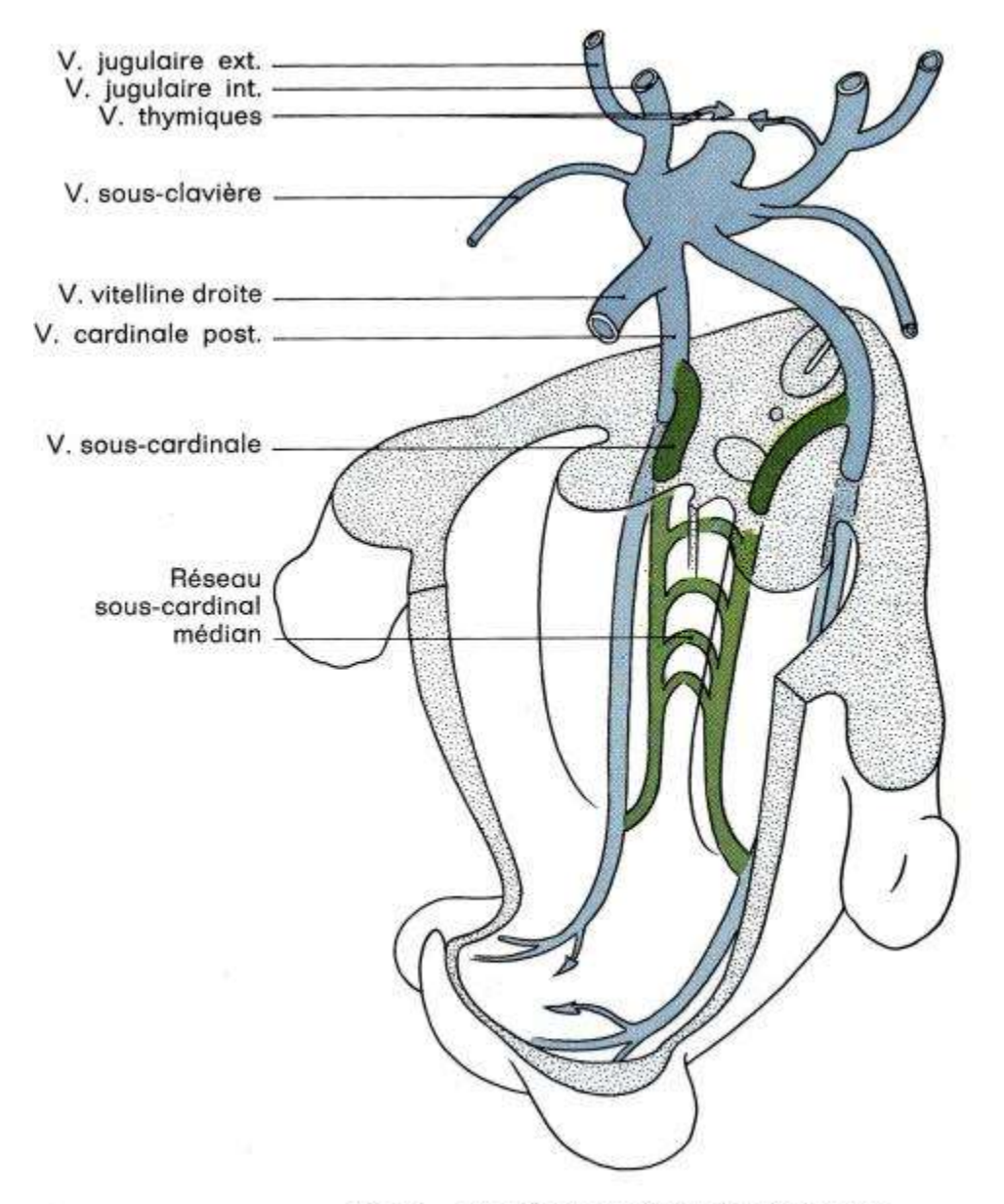
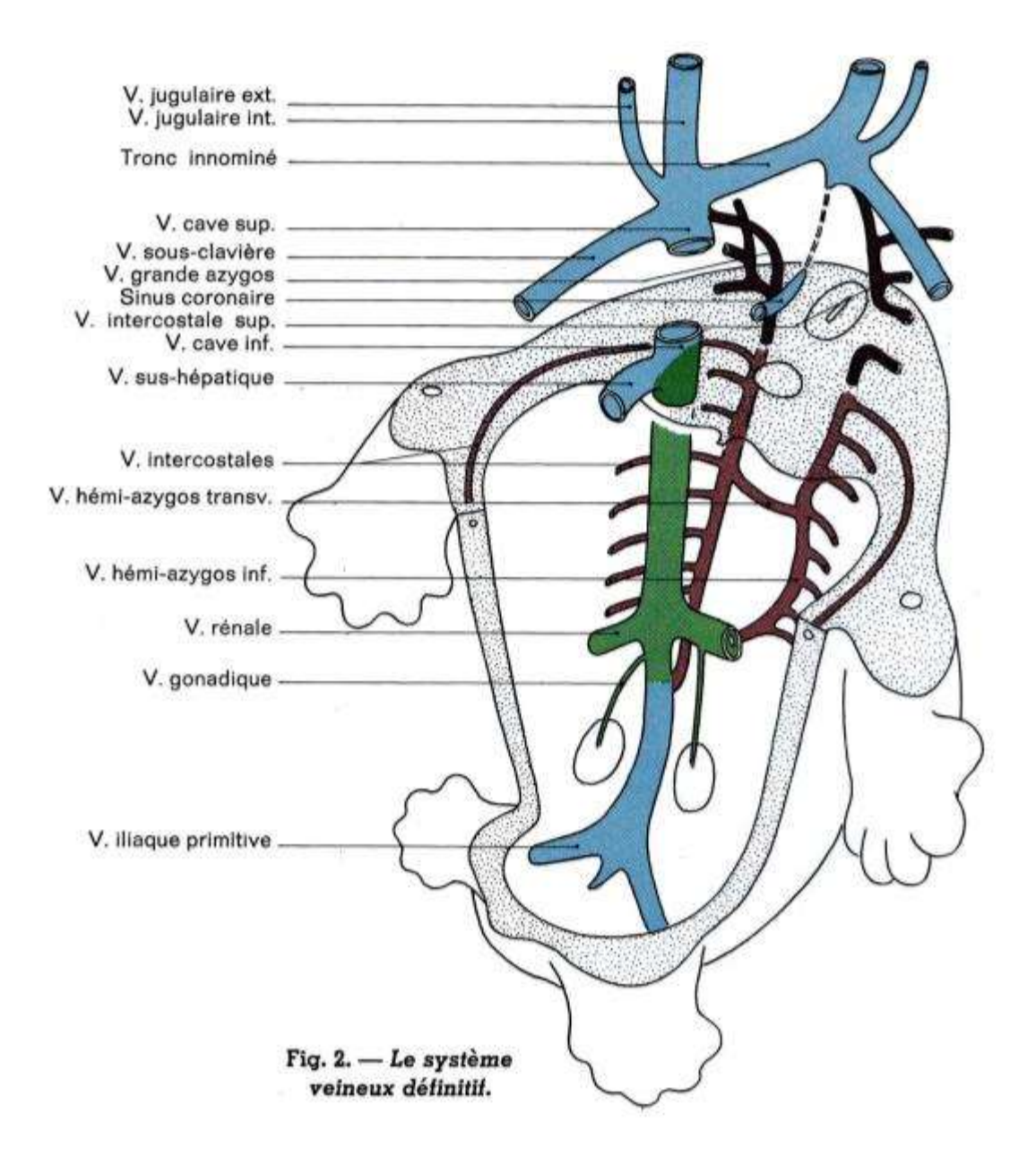
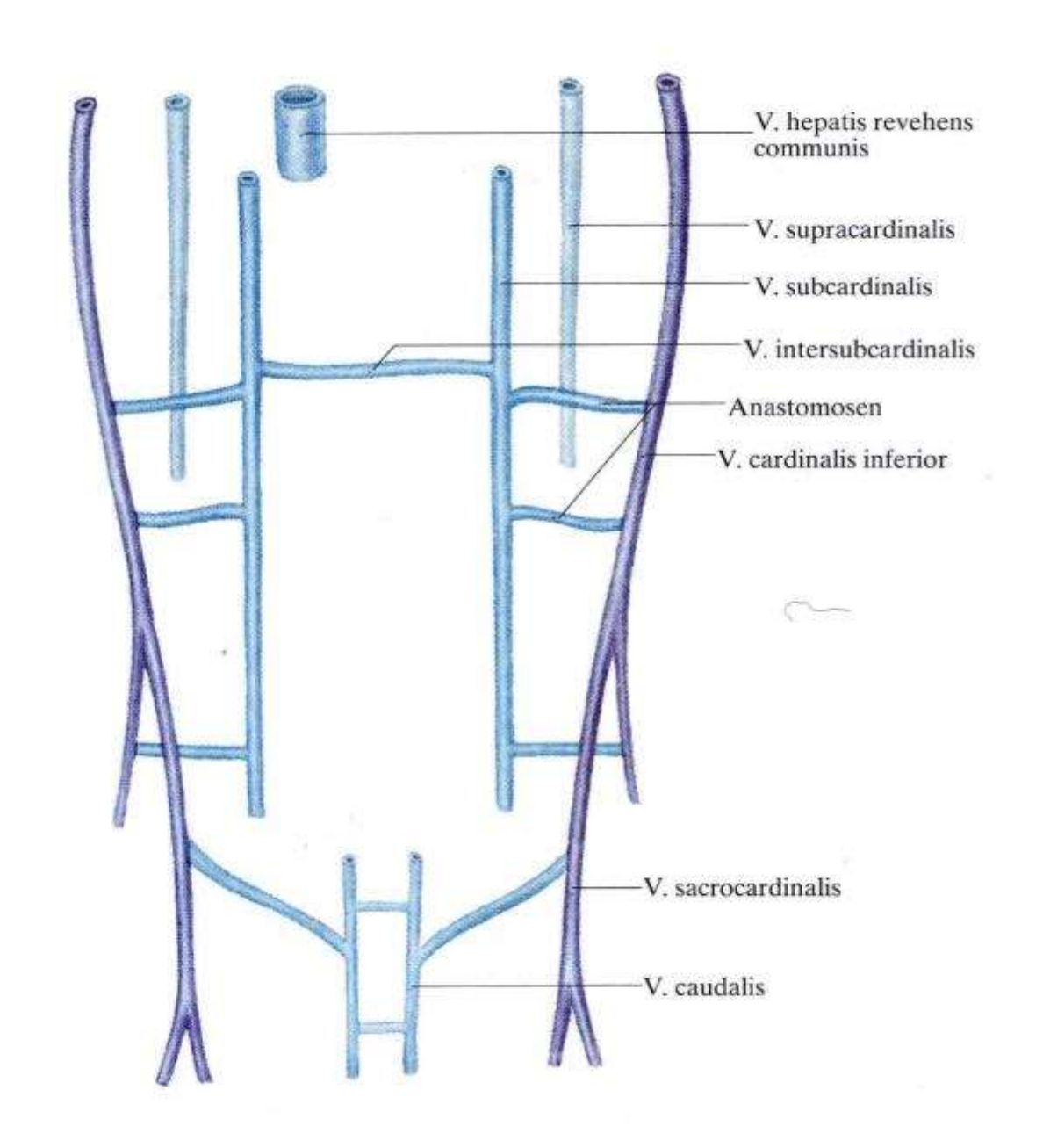
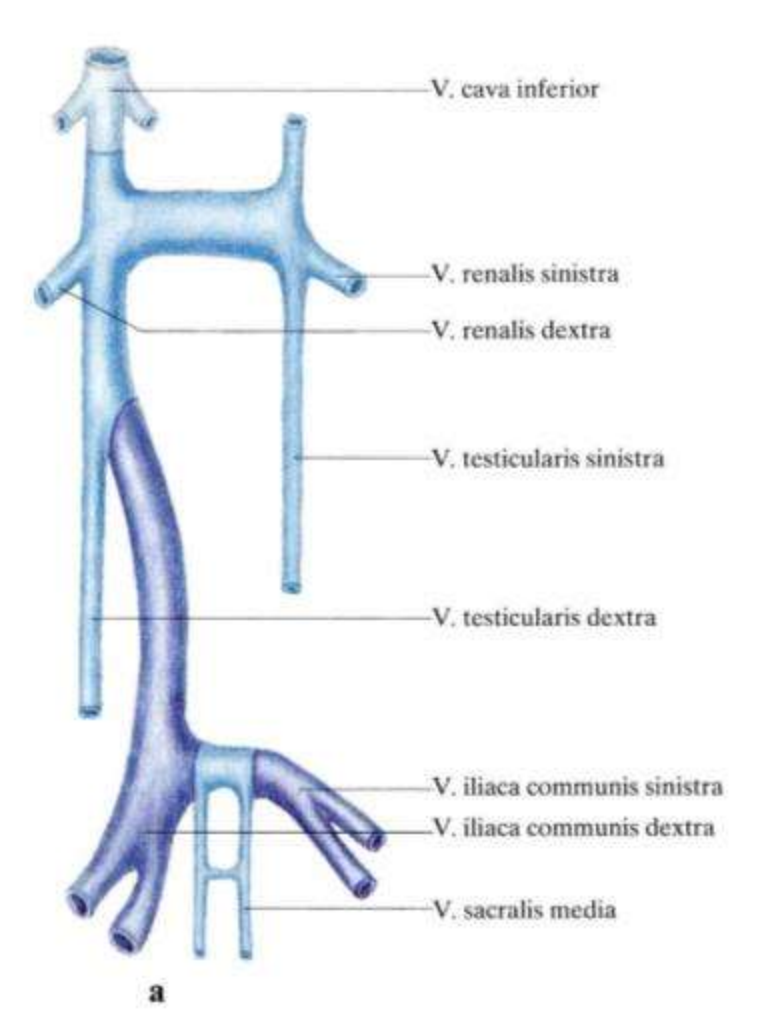
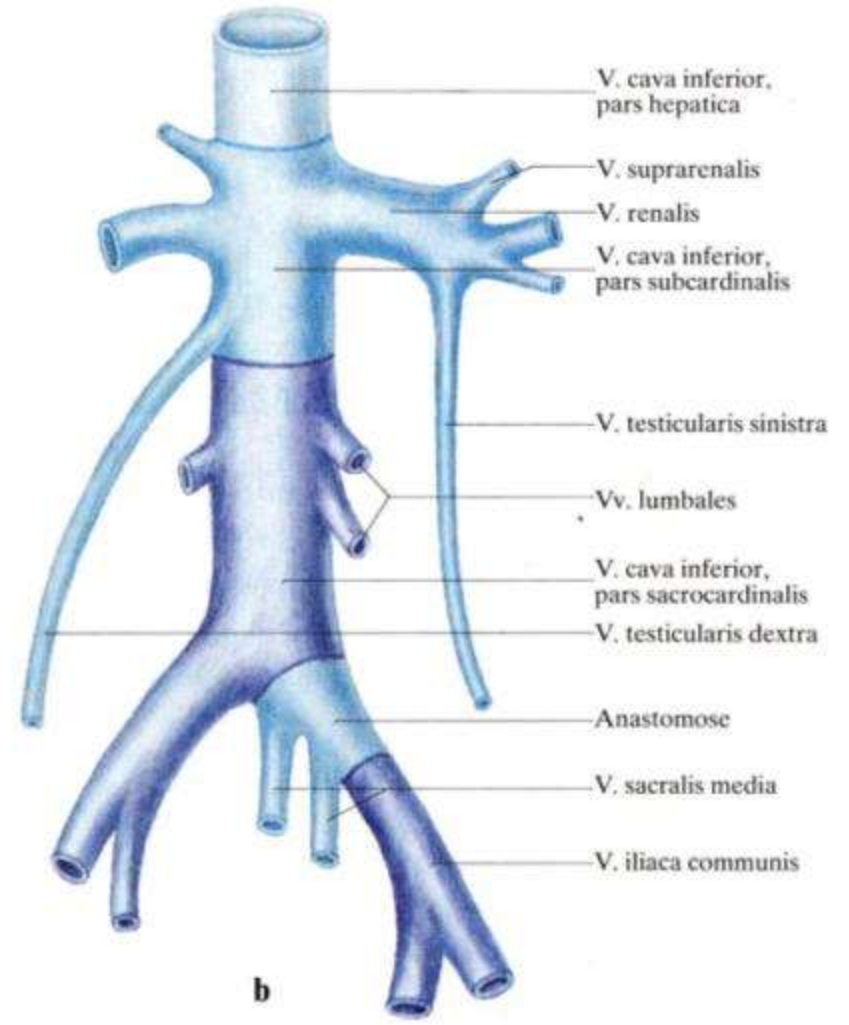


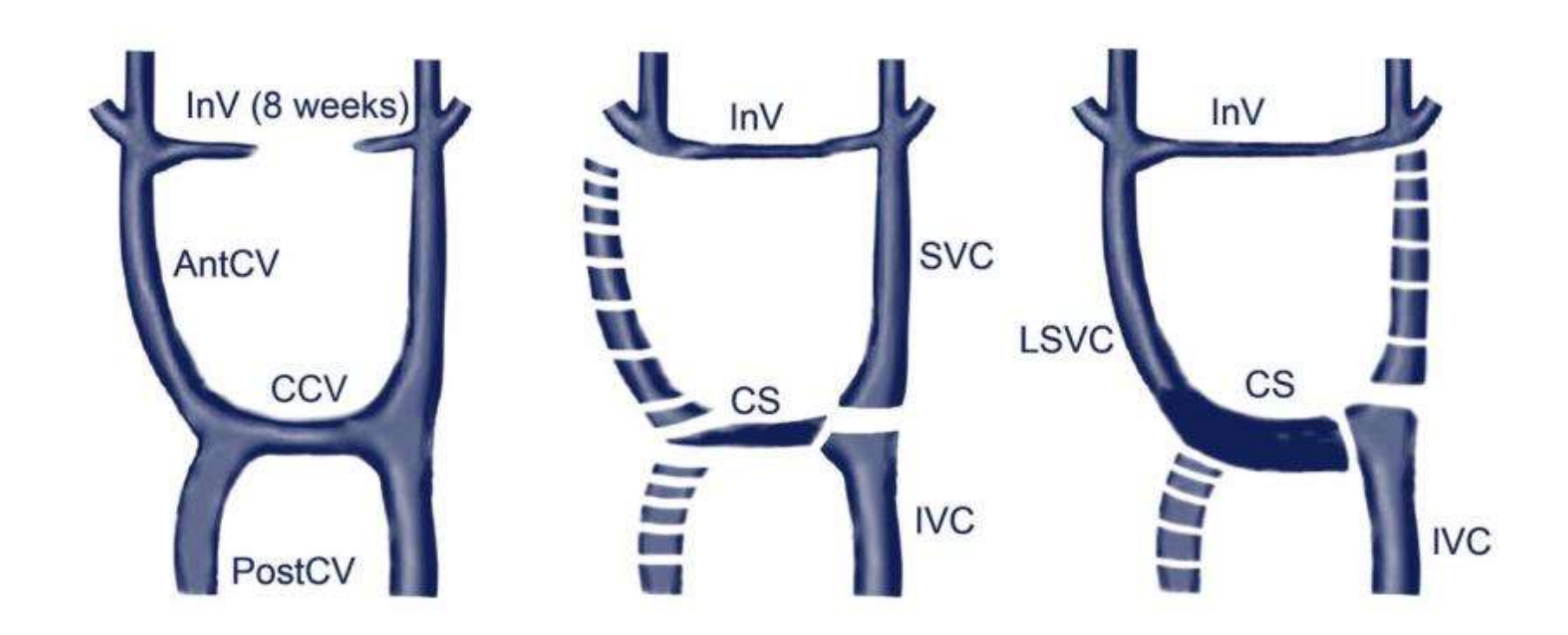
Fig. 3. — Les réseaux veineux à la 8° semaine.

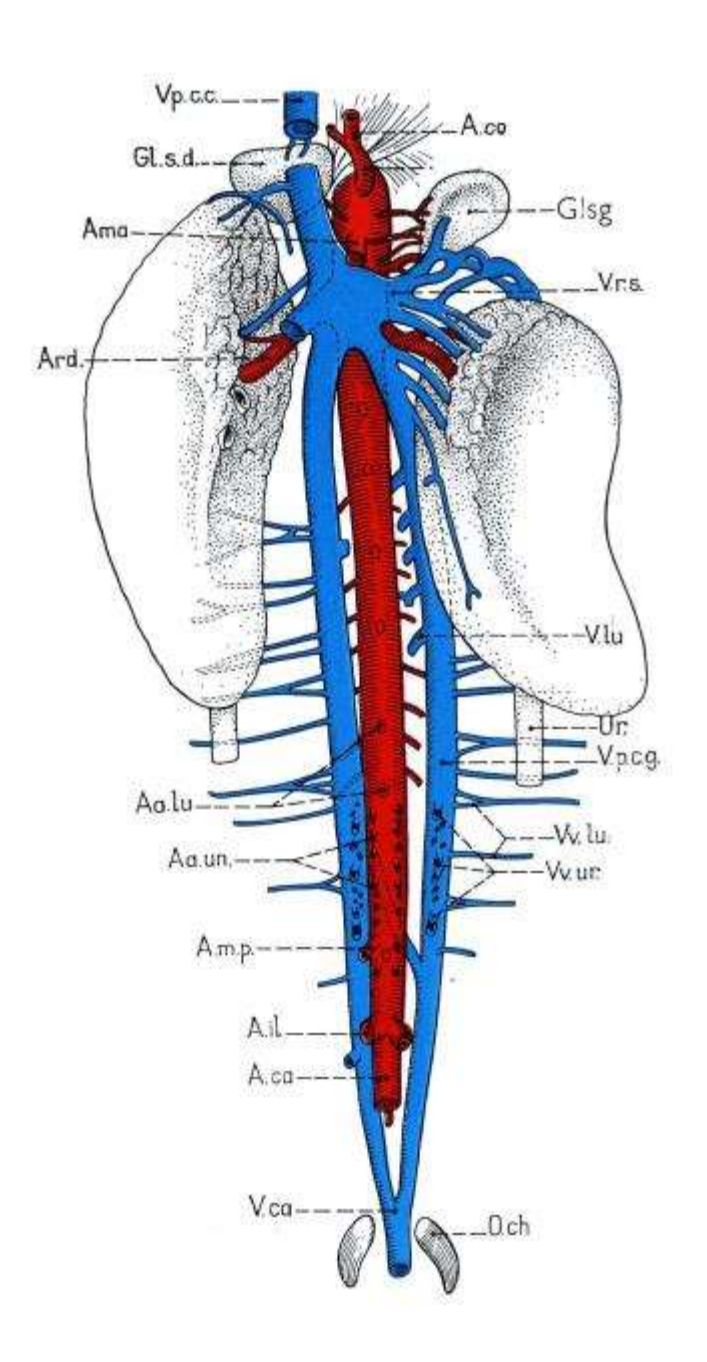




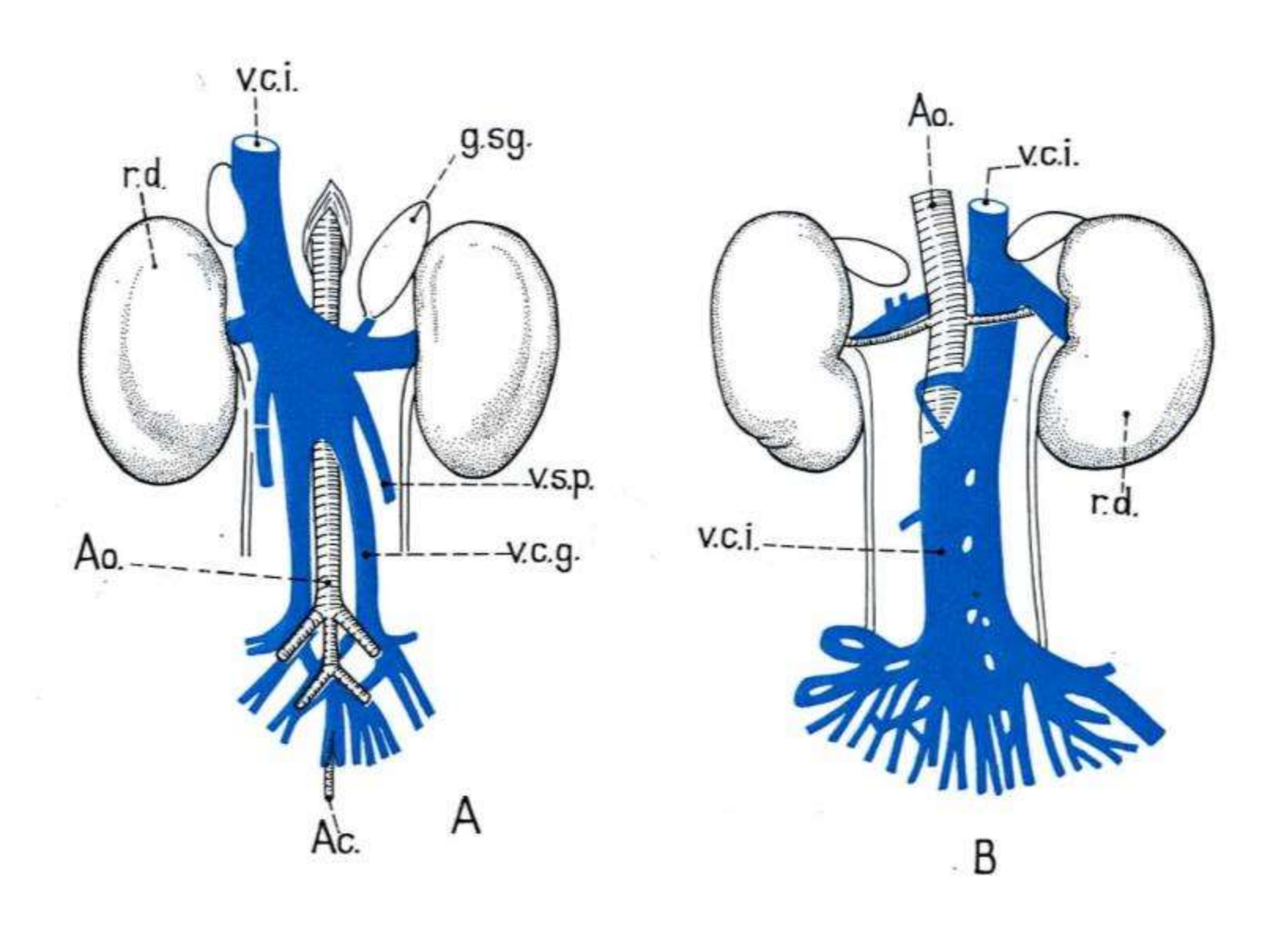




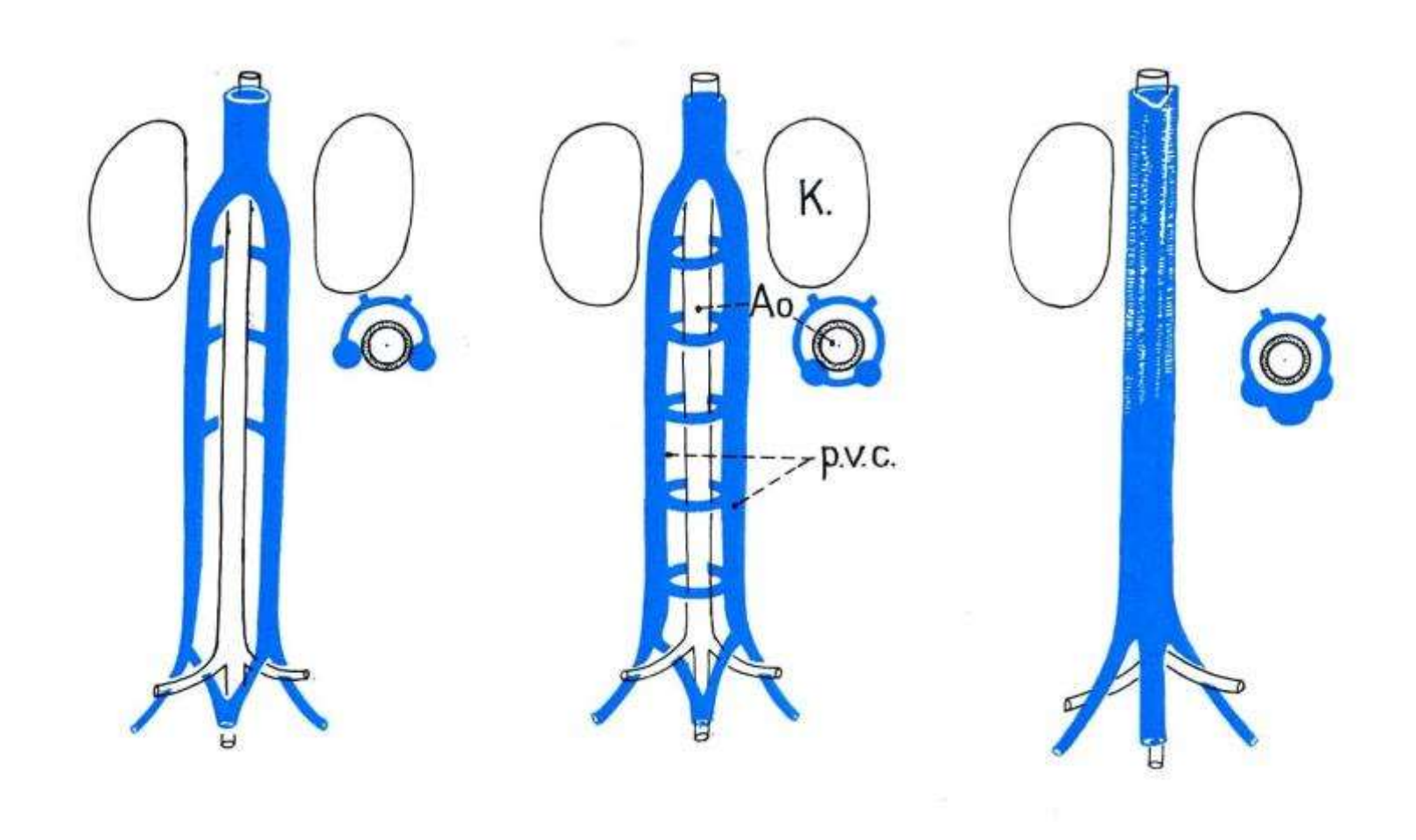




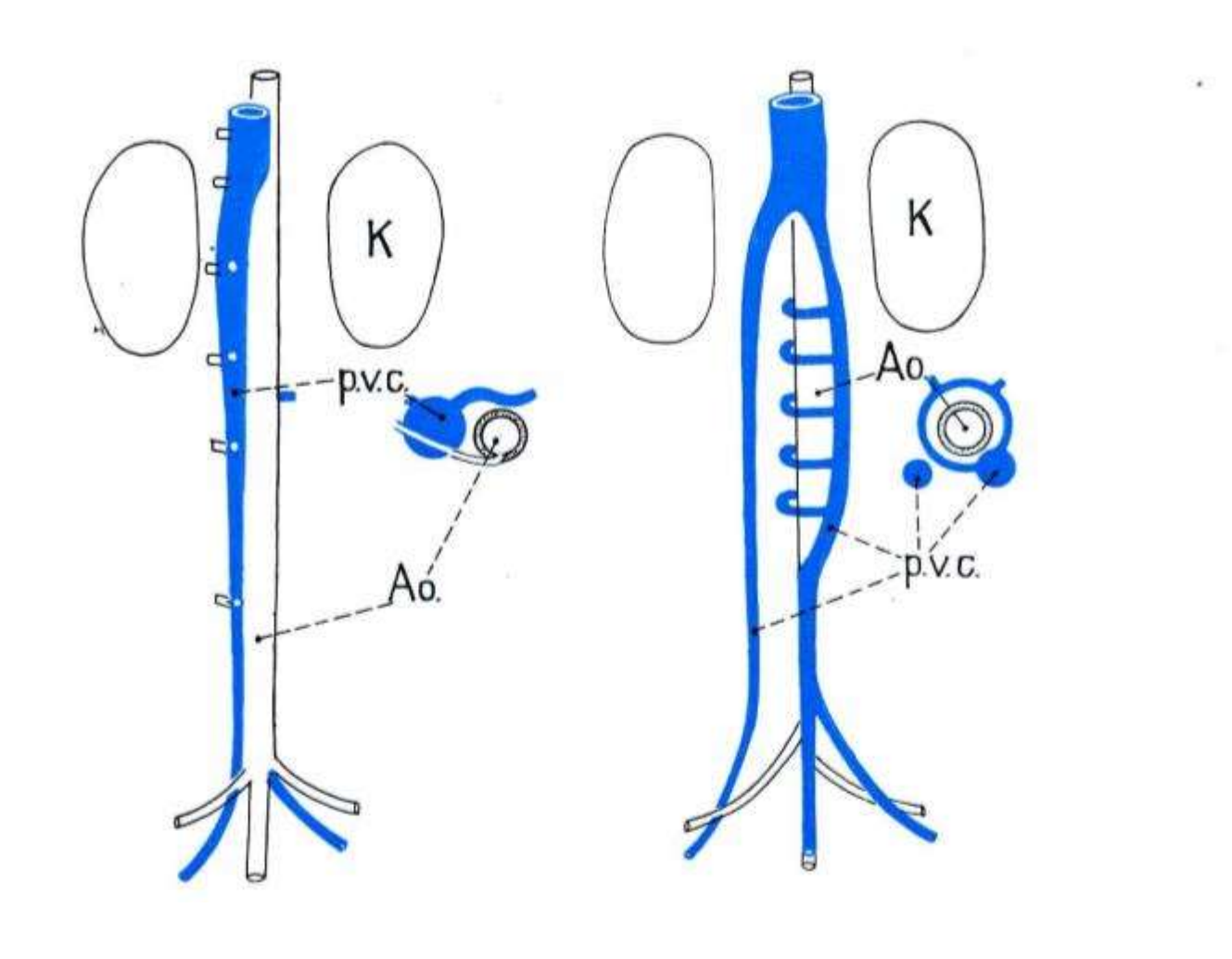
Balaenoptera (Cétacés)



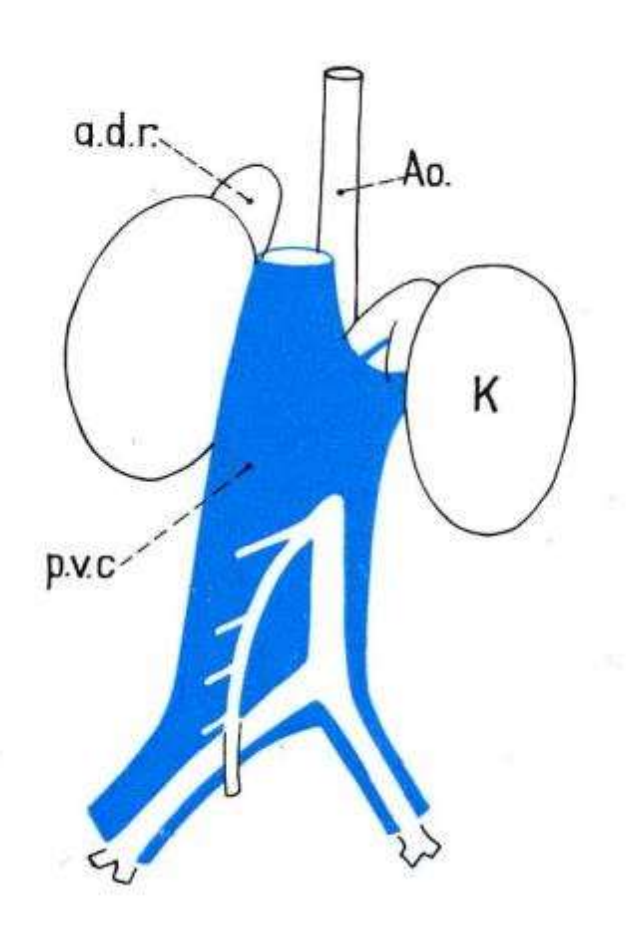
MONOTREMES : A. Echidné. B. Ornithorhynque

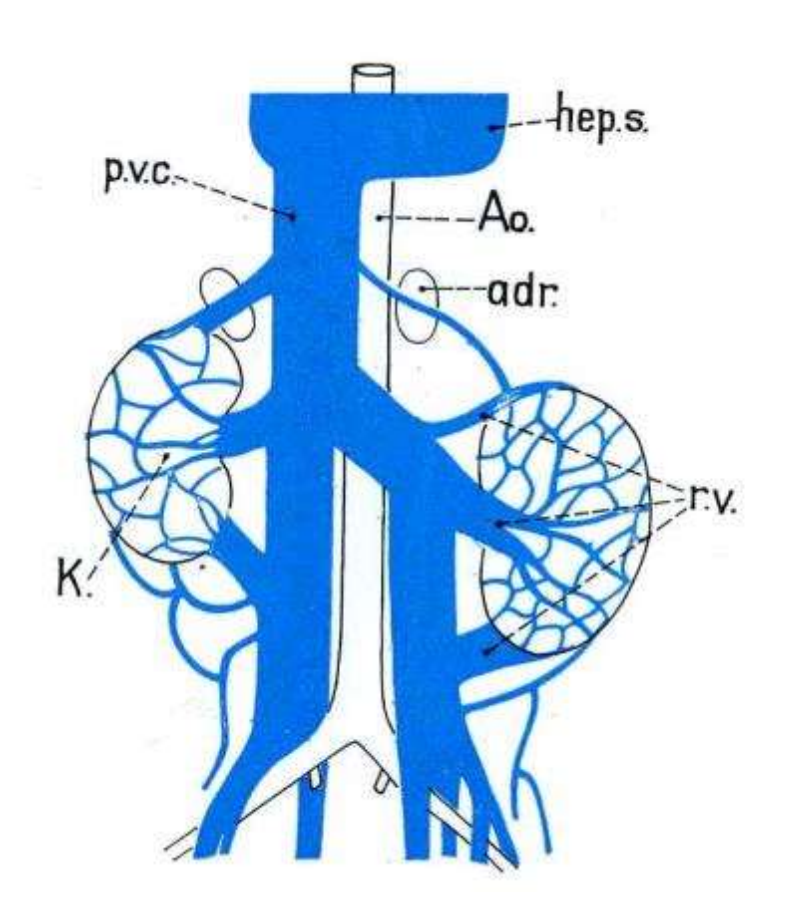


Variations chez les CETACES (1)



Variations chez les CETACES (2)





Tarsius (Primates)

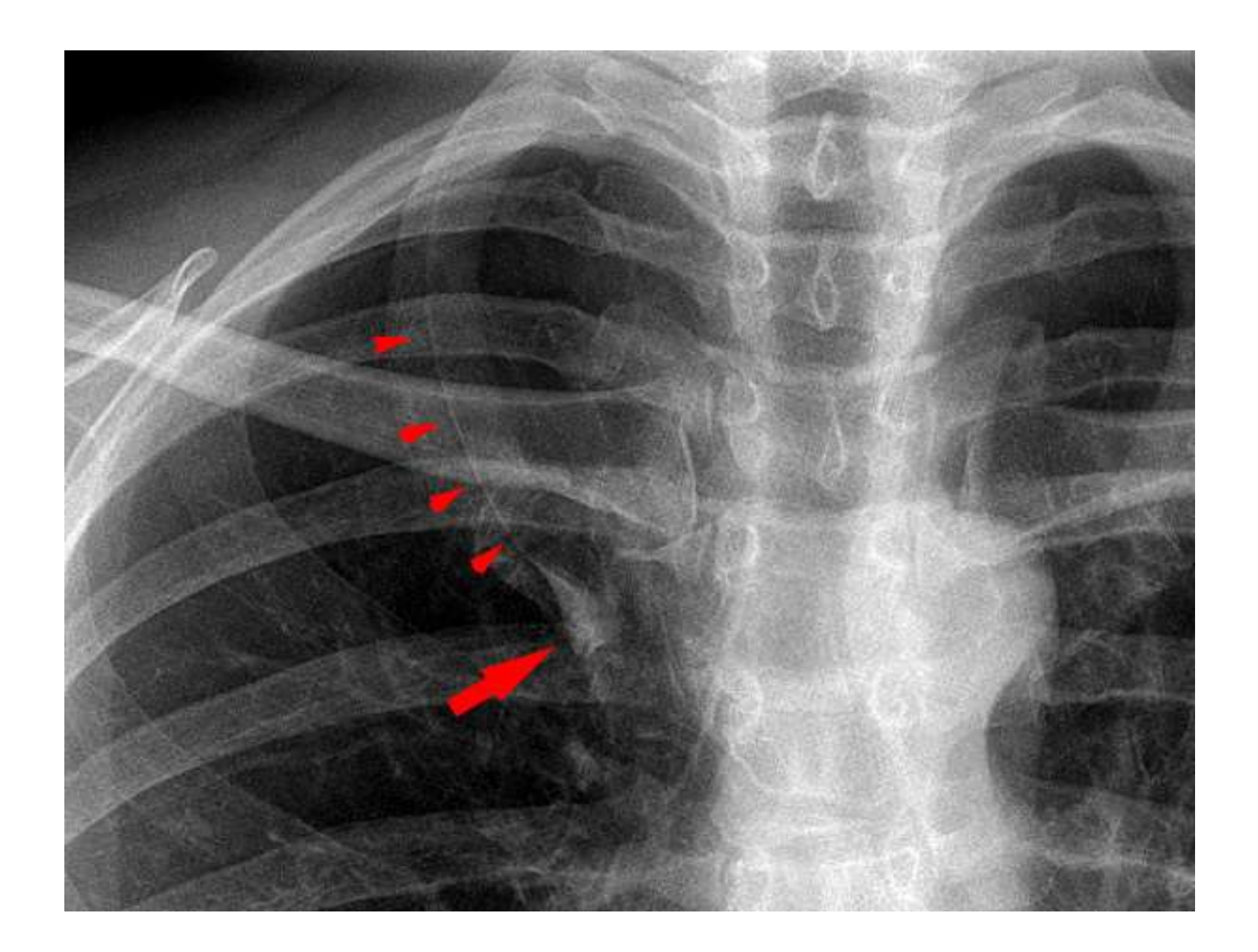
Phocaena (Pinnipèdes)

Exemples de variabilité

de la VEINE AZYGOS

= lobe azygos



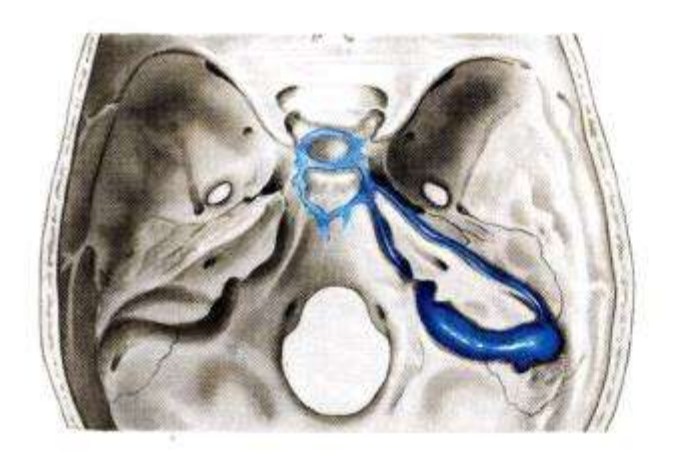




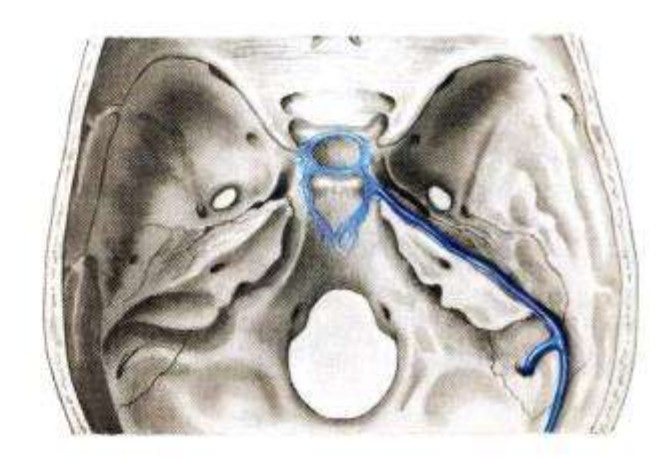
Exemples de variabilité

des SINUS (VEINEUX)

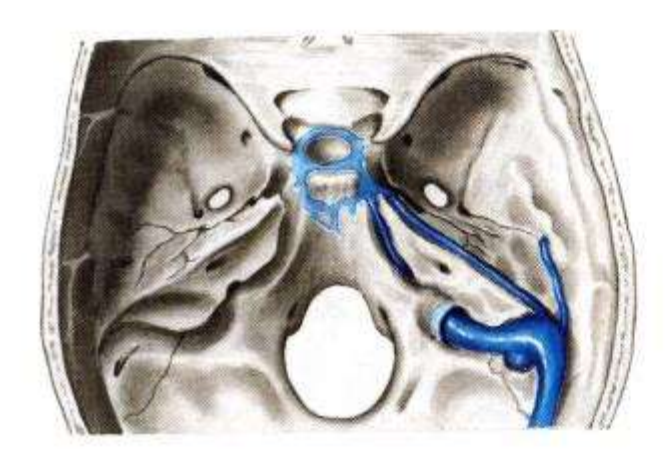
DE LA DURE-MERE



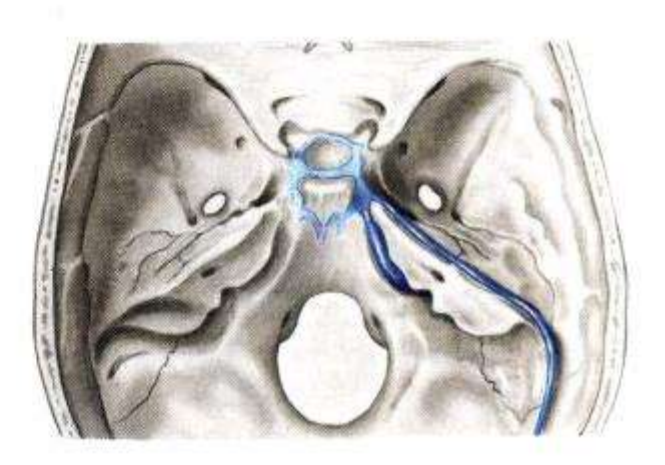
a) Sinus transversus fehlt oder ist nur fadenförmig entwickelt



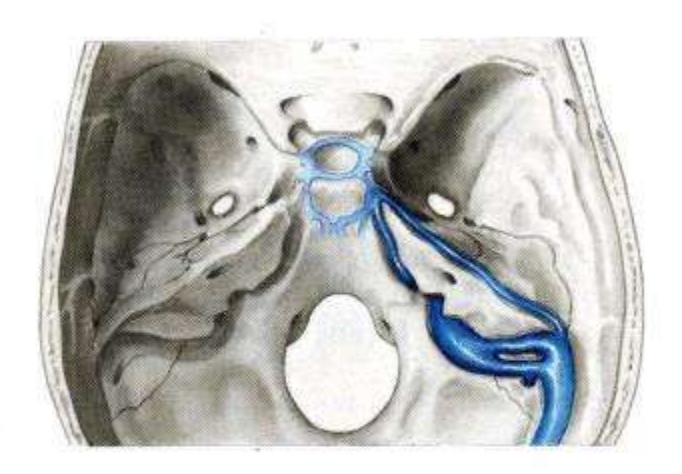
 Englumiger Sinus transversus und Sinus petrosus superior münden in V. emissaria mastoida ein



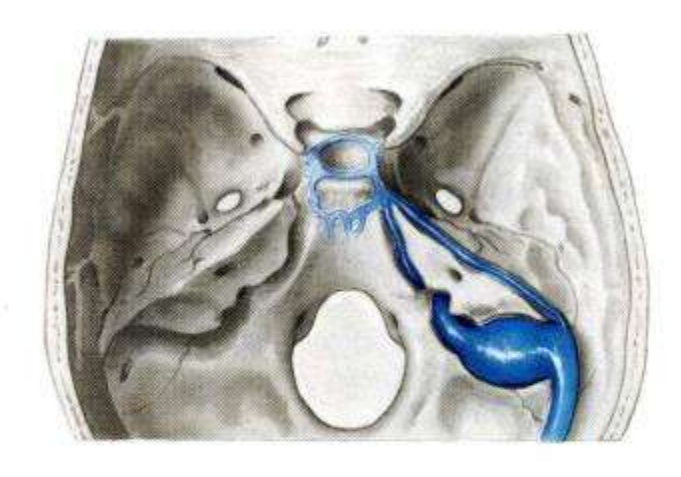
e) Sinus sigmoideus endet als blinde Tasche. Abfluß erfolgt über eine weitlumige V. emissaria mastoidea. In das obere Knie des Sinus sigmoideus mündet der Sinus petrosus superior und zusätzlich ein Sinus petrosquamosus ein



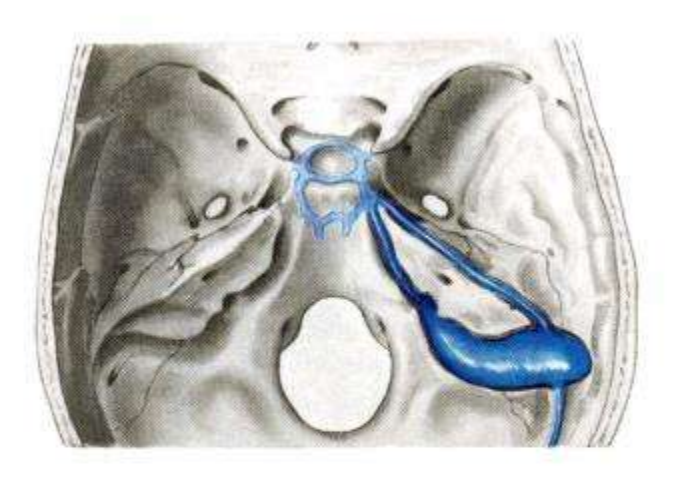
d) Sinus sigmoideus ist nicht entwickelt. Enger Sinus transversus geht in den Sinus petrosus superior über



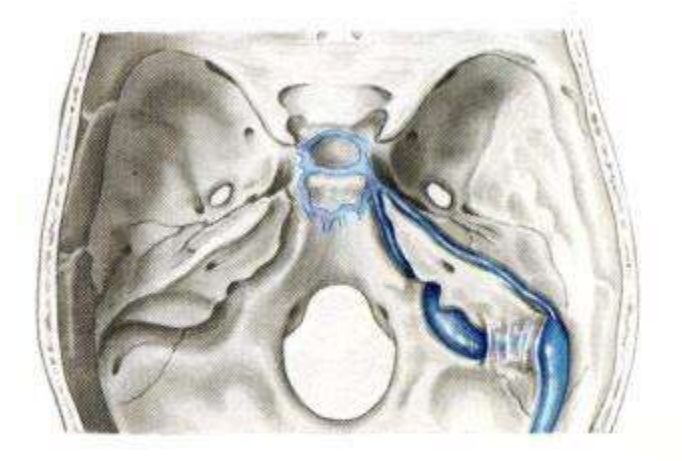
e) Sinus sigmoideus ist durch eine Knochenleiste in zwei Teilstrecken zerlegt. Die Leiste kann auch im Sinus transversus vorkommen



f) Verhältnismäßig häufig wird eine Erweiterung des Sinus sigmoideus, insbesondere an dessen basaler Seite, angetroffen



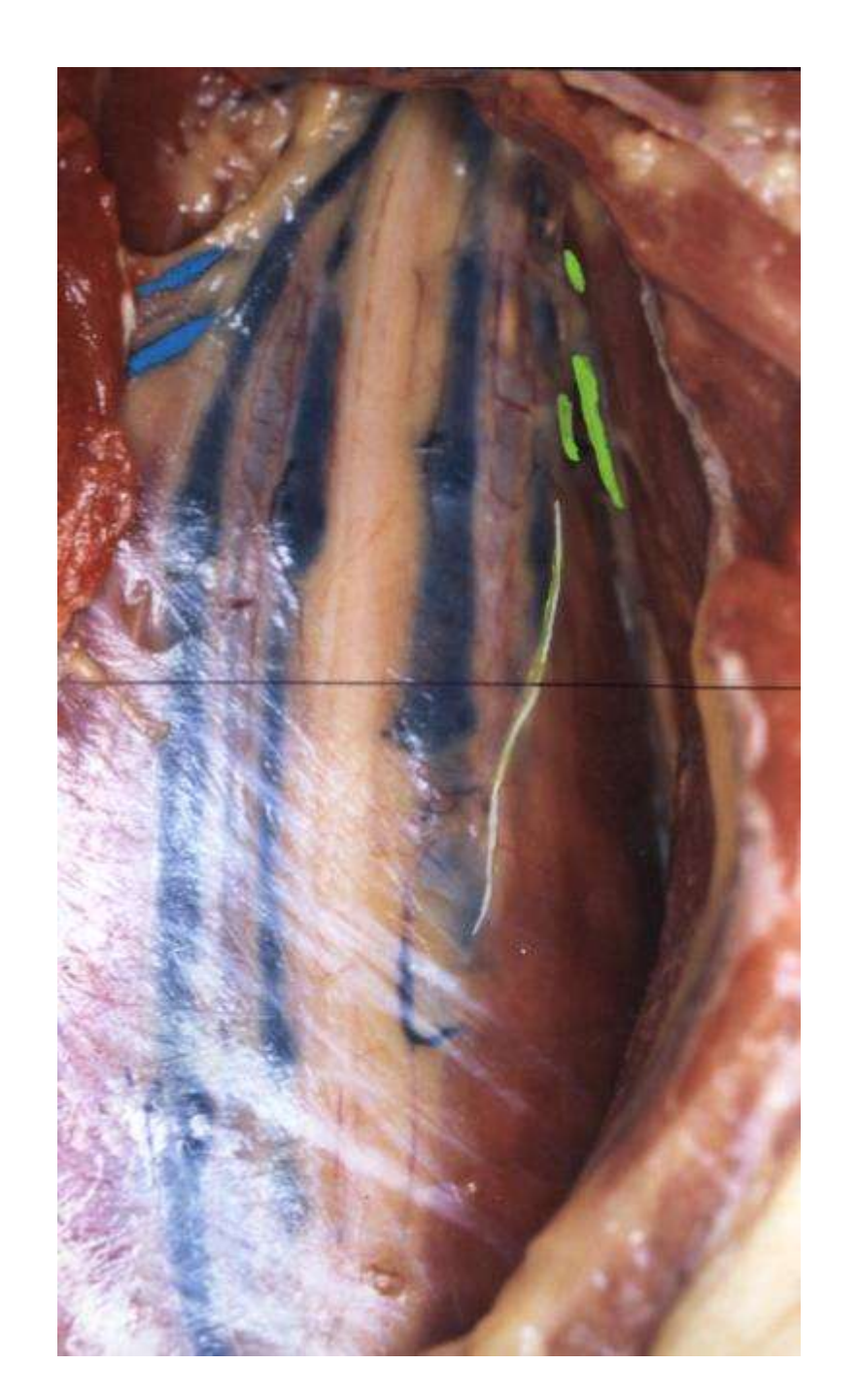
g) Sinus transversus und Sinus petrosus superior m\u00fcnden in erweiterten Sinus sigmoideus ein, der \u00fcber eine englumige Verbindung mit der V. jugularis interna verkn\u00fcpft ist

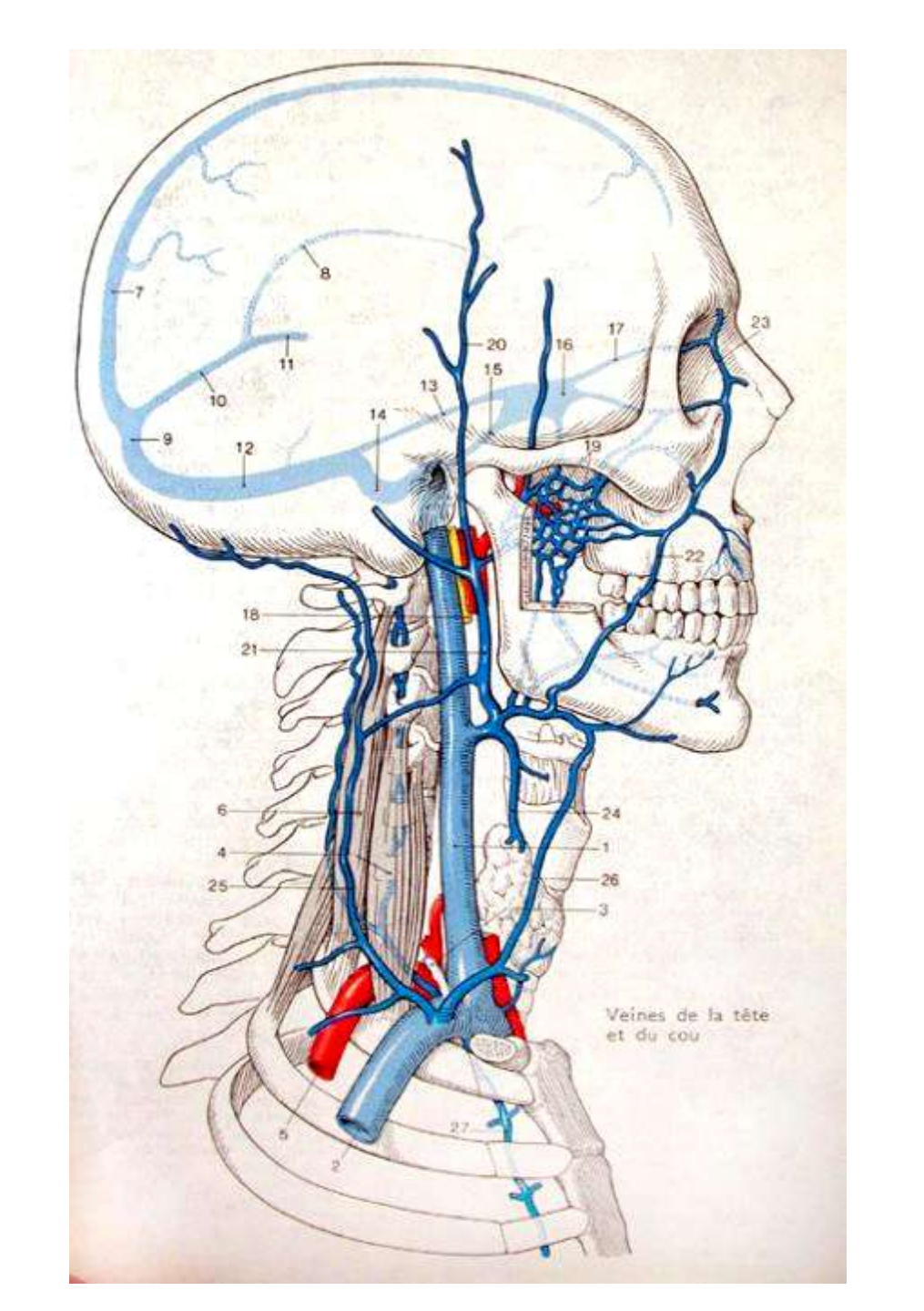


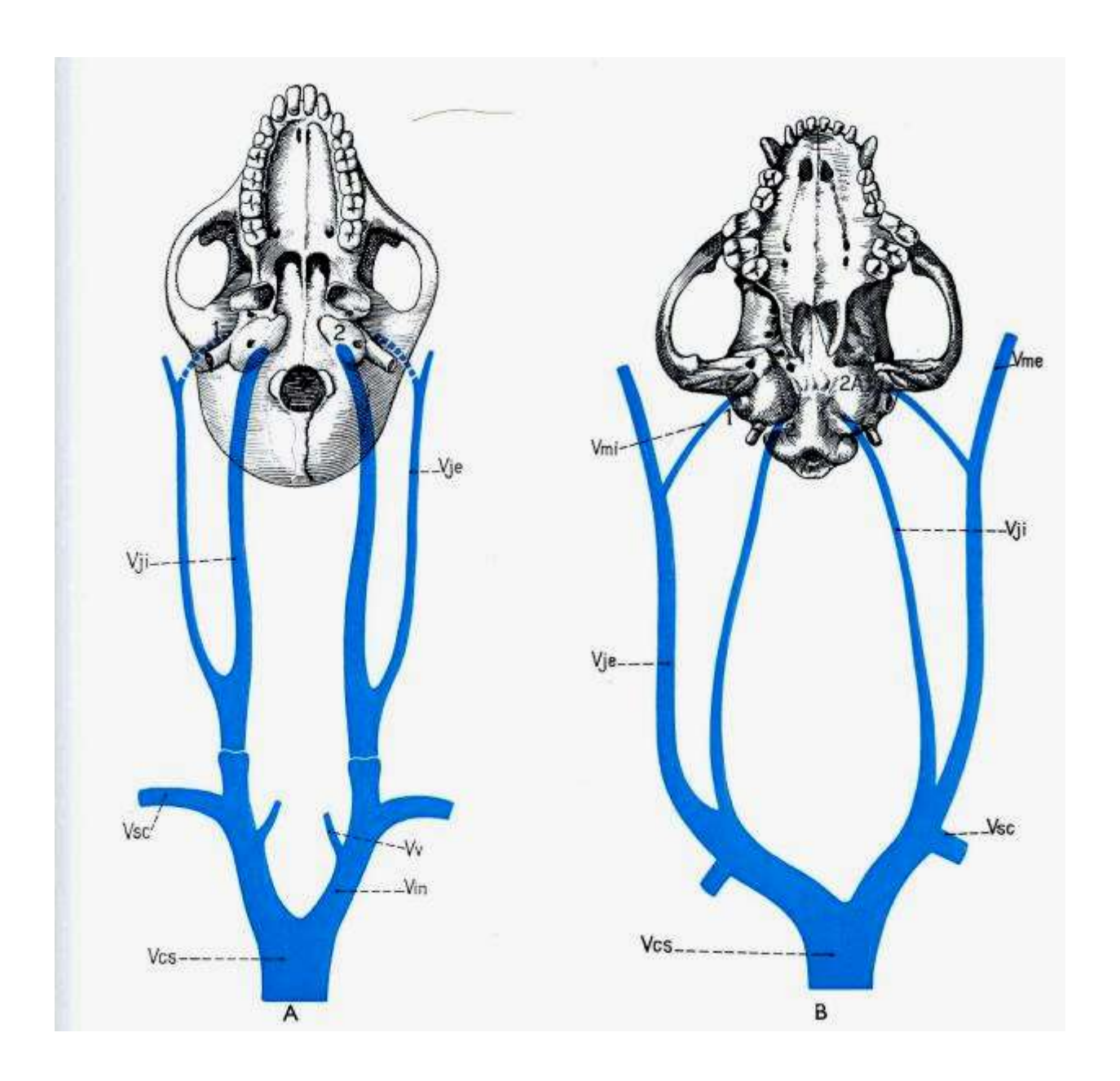
 h) Sinus sigmoideus ist unterschiedlich weit von einer Knochenlamelle überdeckt

Exemples de variabilité

des VEINES PROFONDES







Macaque (Primates

Chat (Carnivores)

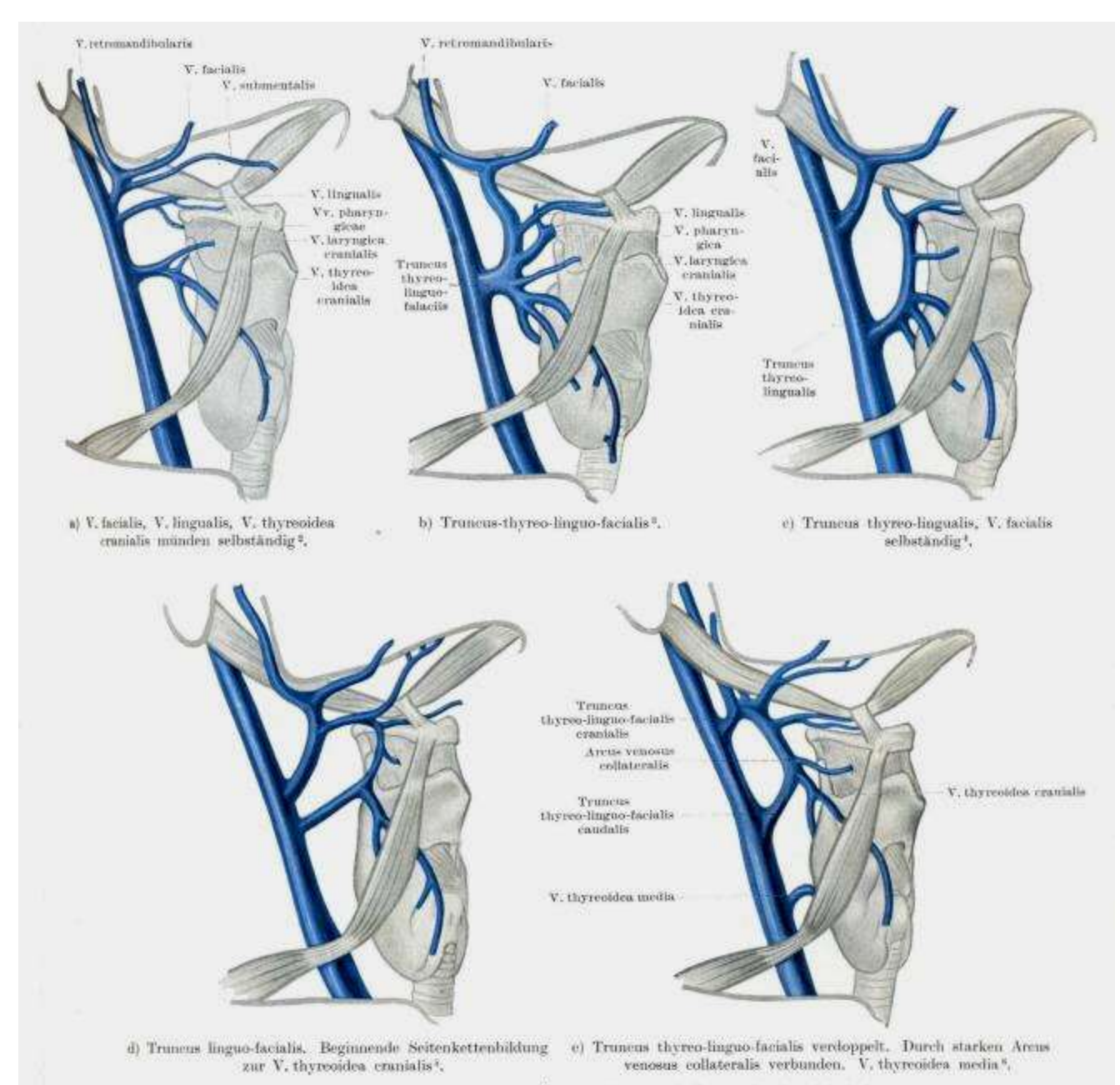
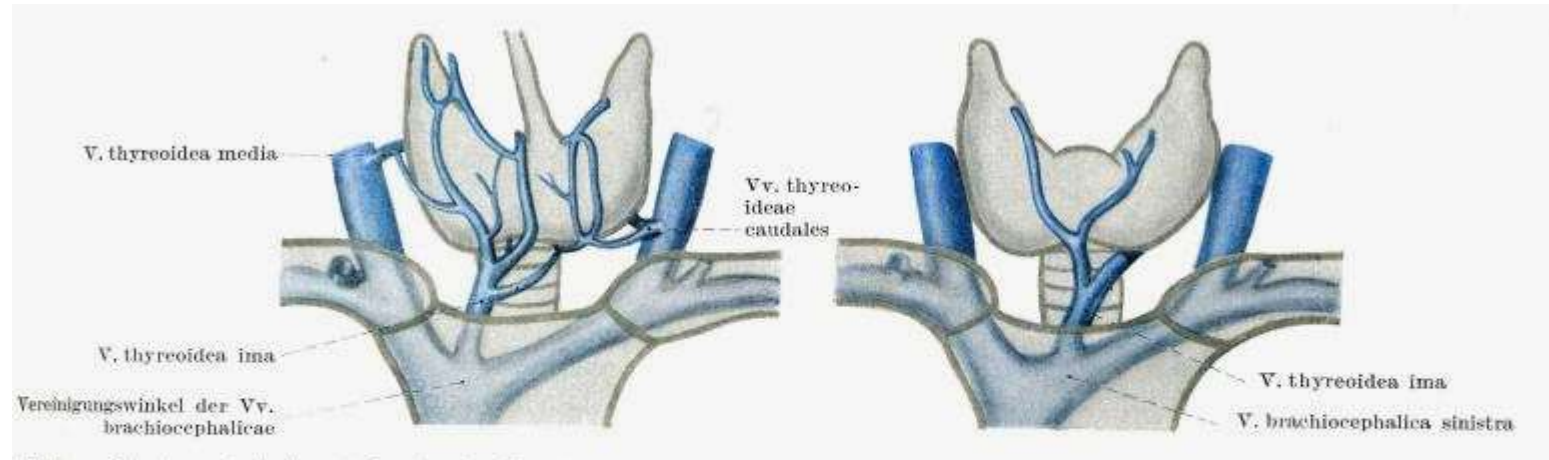
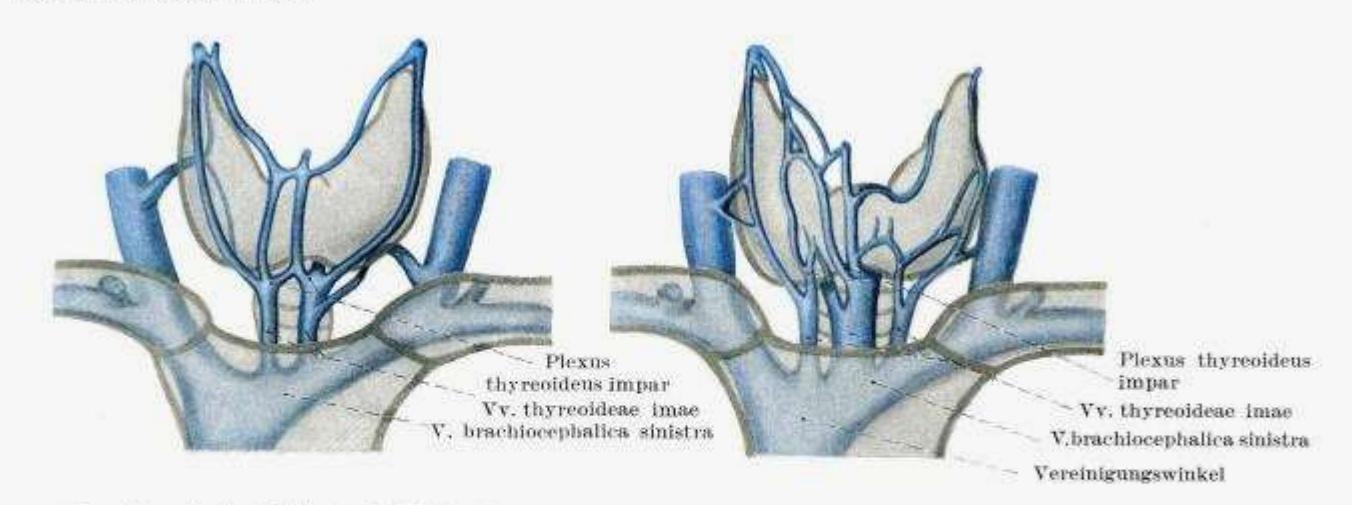


Abb. 106. Schwankungsbreite der ventralen Äste der V. jugularis interna im Carotisdreieck.



V. thyreoidea ima einfach, mündet in den Vereinigungswinkel der beidseitigen Vv. brachiocephalicae. V. thyreoidea media rechts. Vv. thyreoideae caudales von der Ventral- und Dorsalfläche des Seitenlappens links¹.

b) Vv. thyreoidea ima einfach, mündet in die V. brachiocephalica sinistra².



Vv. thyreoideae imae verdoppelt, münden beide in die V. brachiocephalica sinistra. Vv. thyreoideae caudales von der Dorsalfläche der Seitenlappen³.

d) Plexus thyreoideus impar. Vv. thyreoideae imae dreifach, münden in die V. brachiocephalica sinistra und in den Vereinigungswinkel der beidseitigen Vv. thyreoideae caudales beiderseits von den Ventralflächen der Seitenlappen⁴.

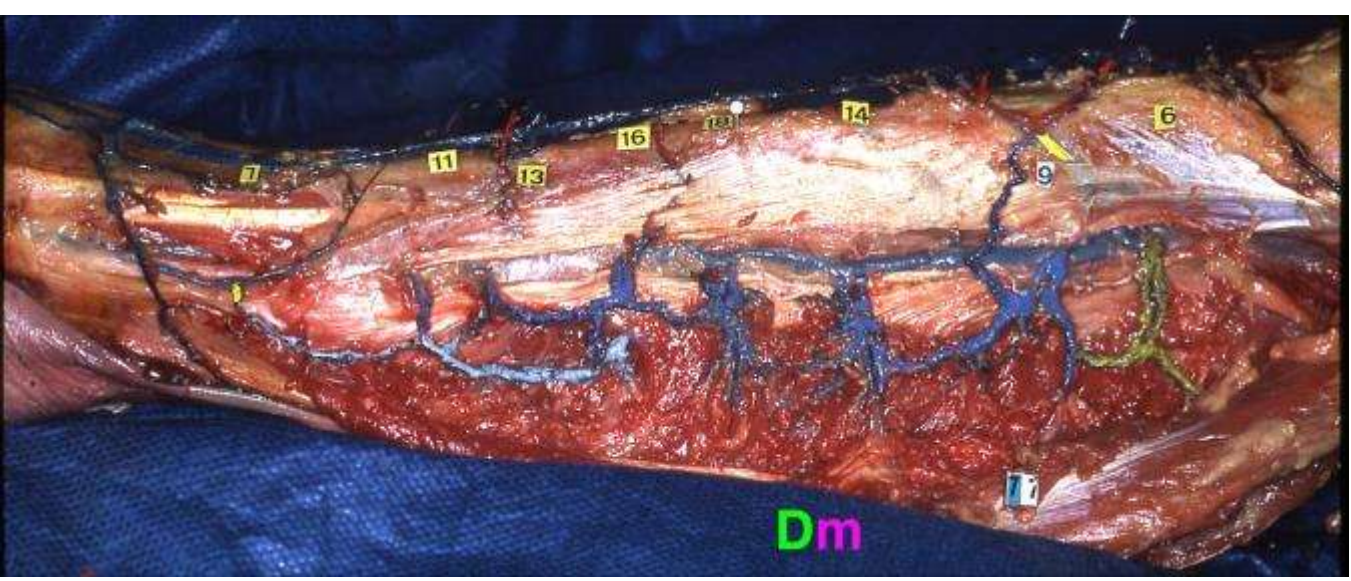
Abb. 167. Vv. thyreoideae imae: Sonderfälle.



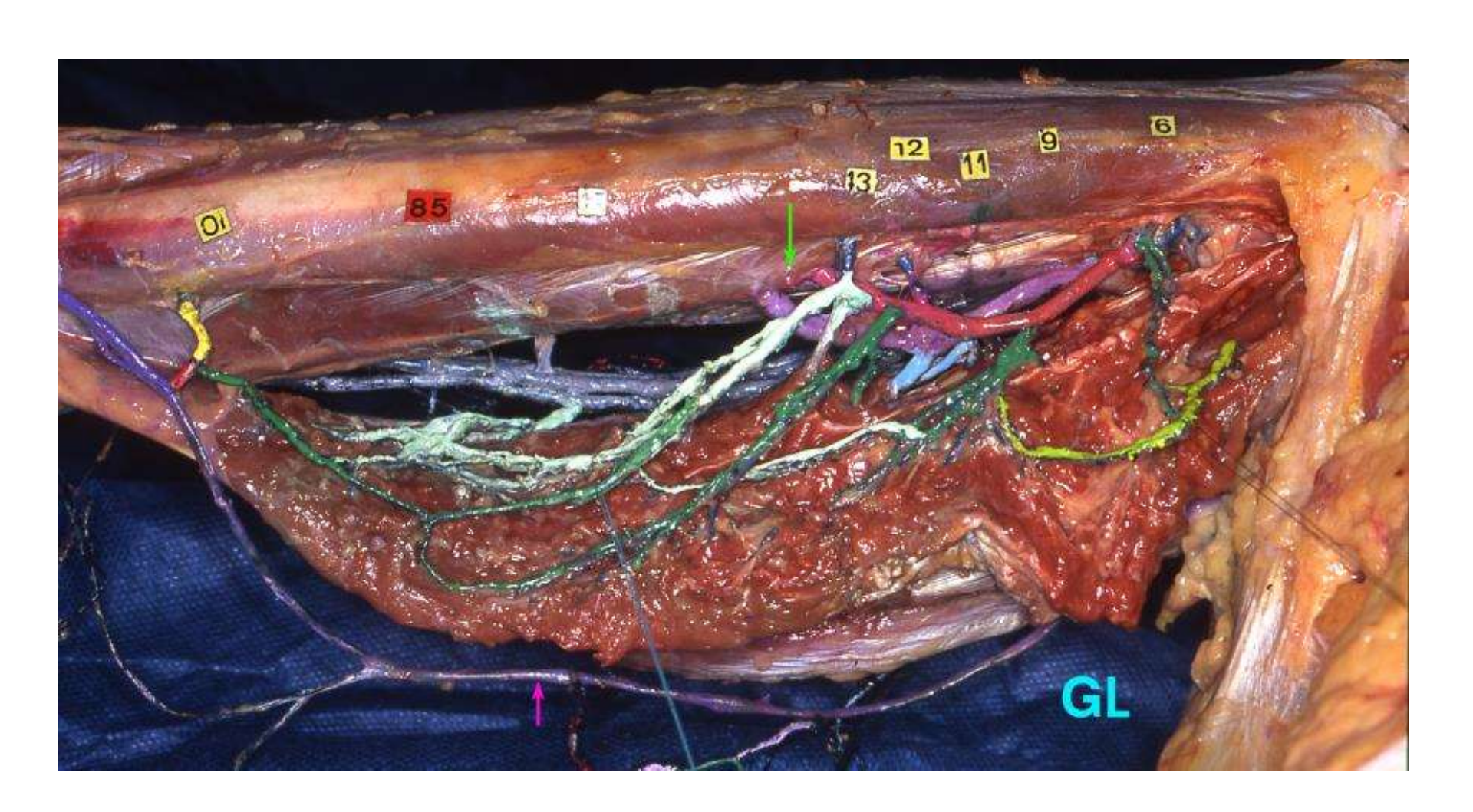


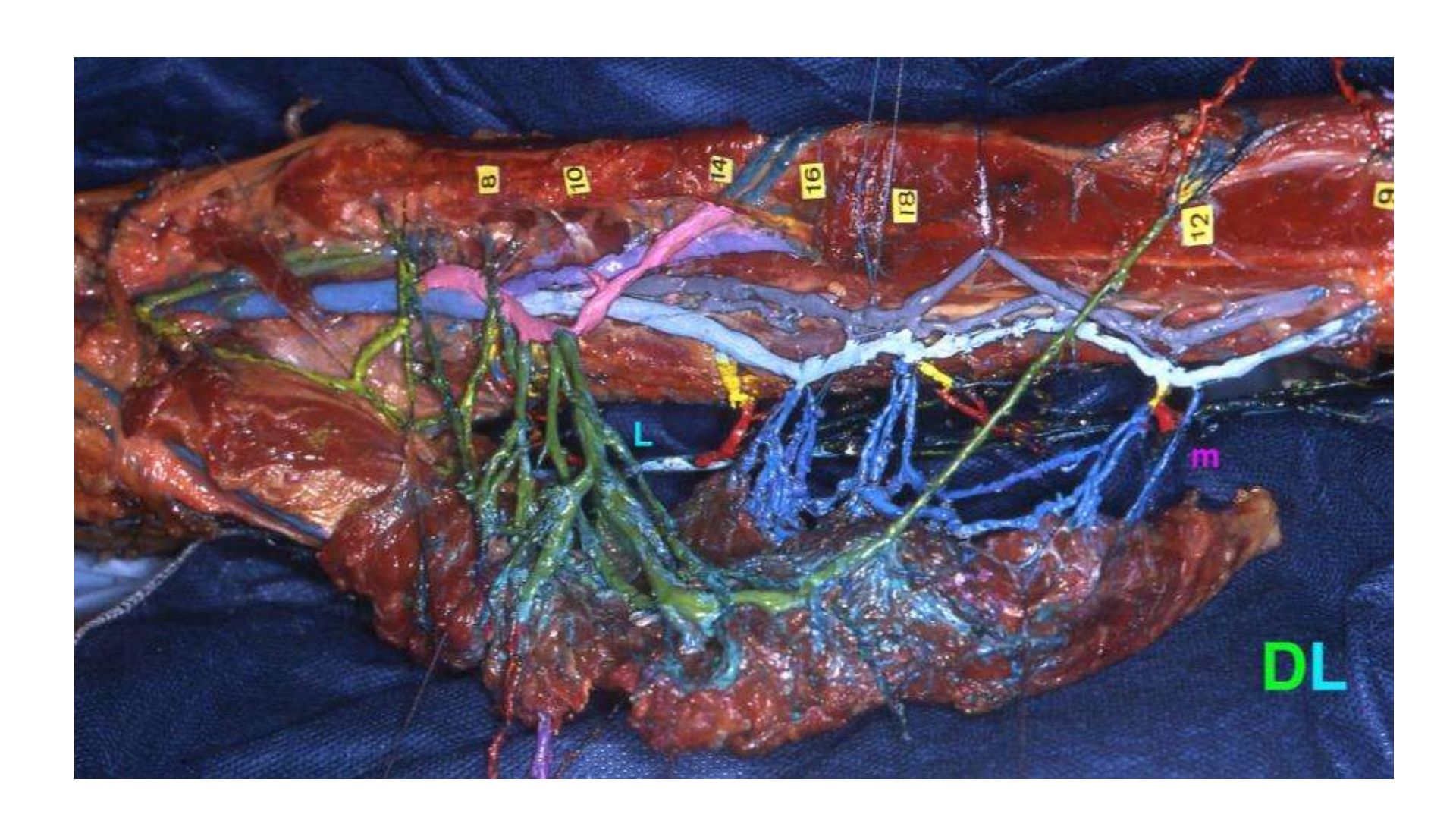


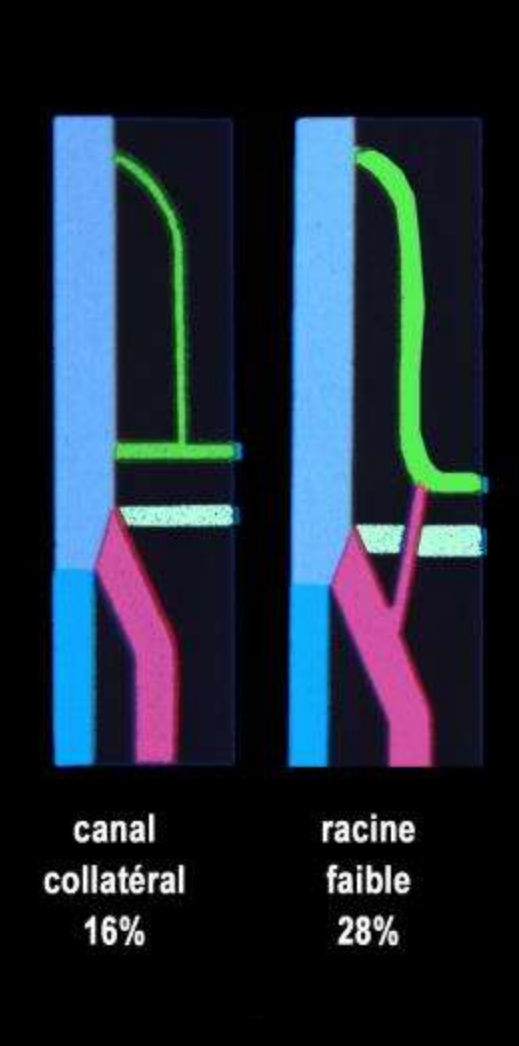


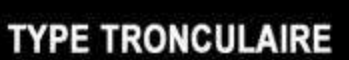


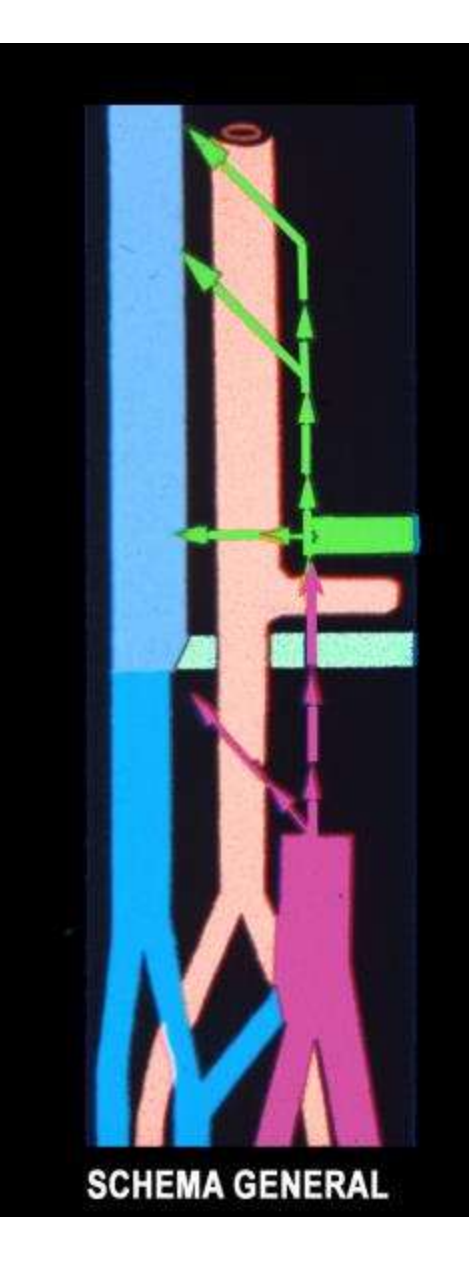


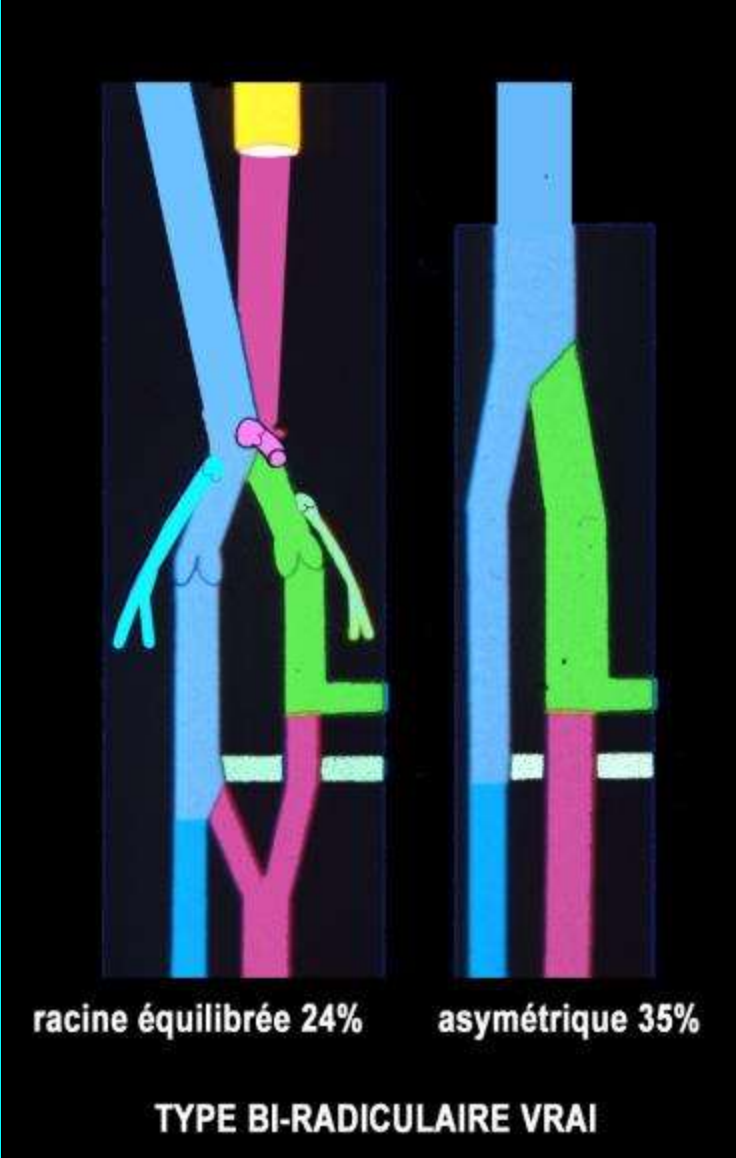


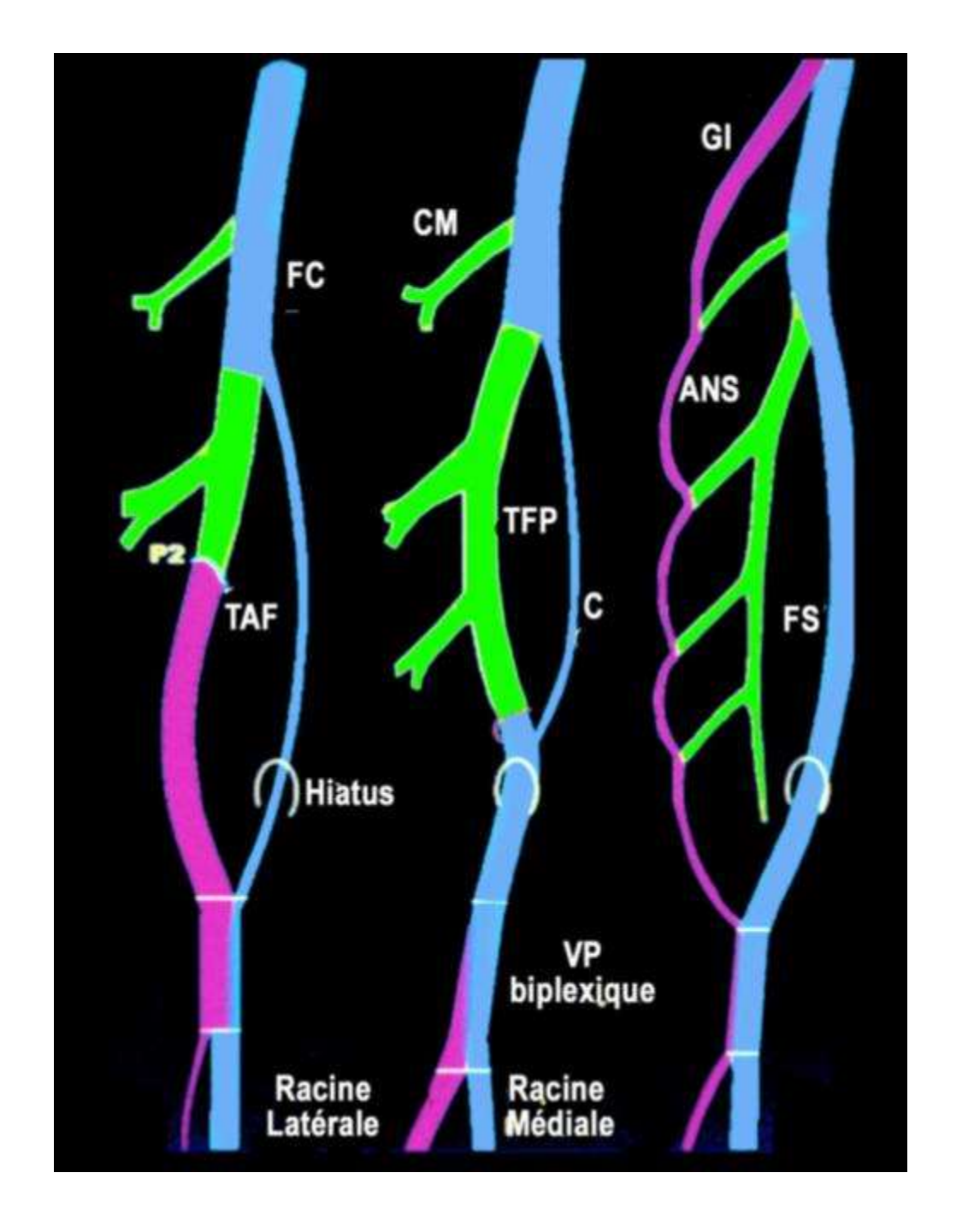


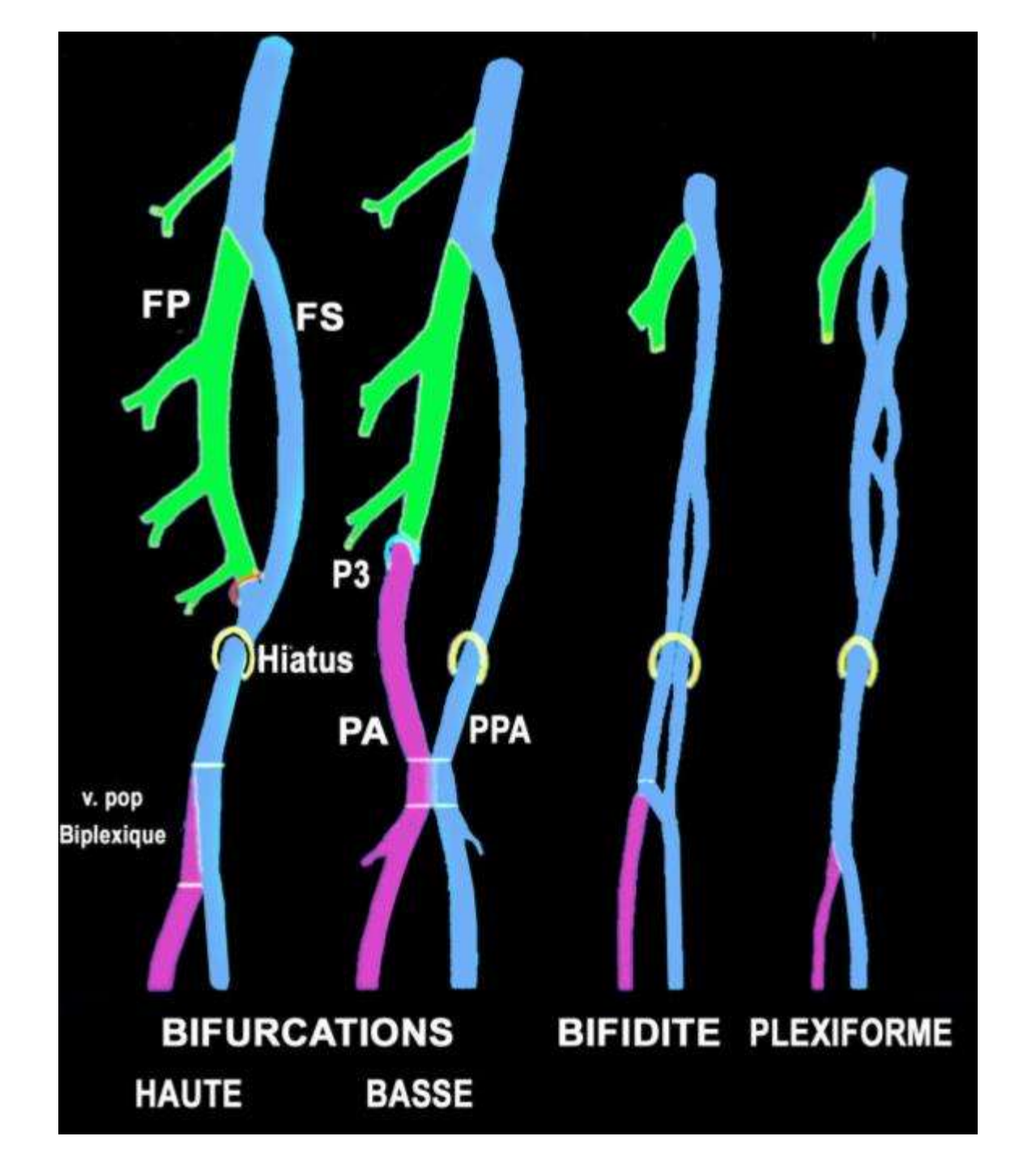










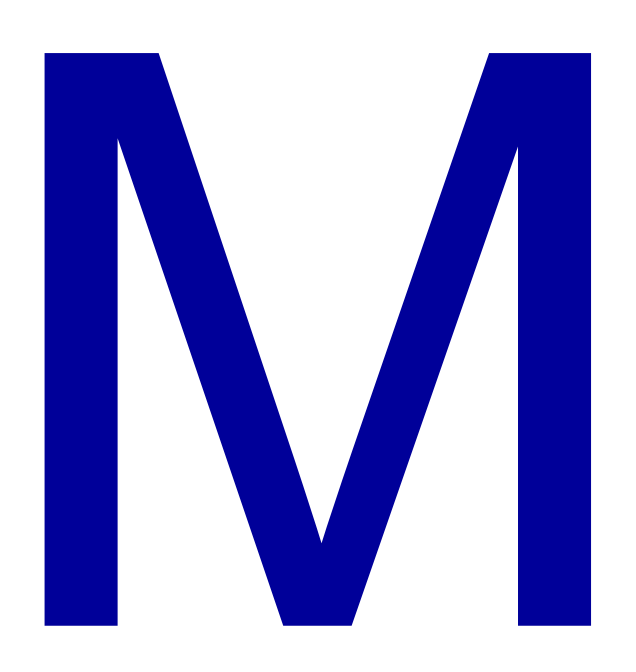


Exemples de variabilité

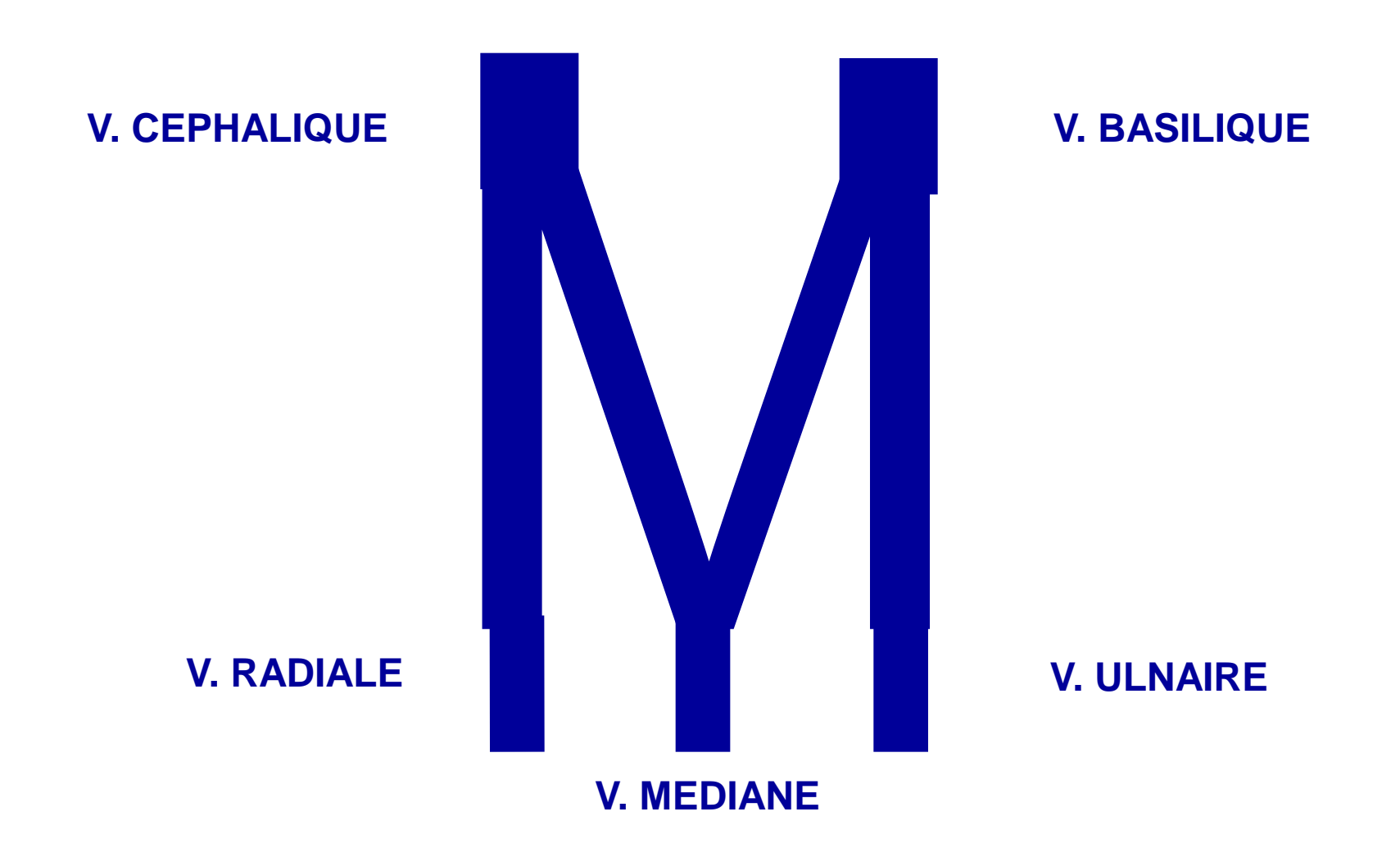
des VEINES SUPERFICIELLES

(= cutanées = subcutanées)

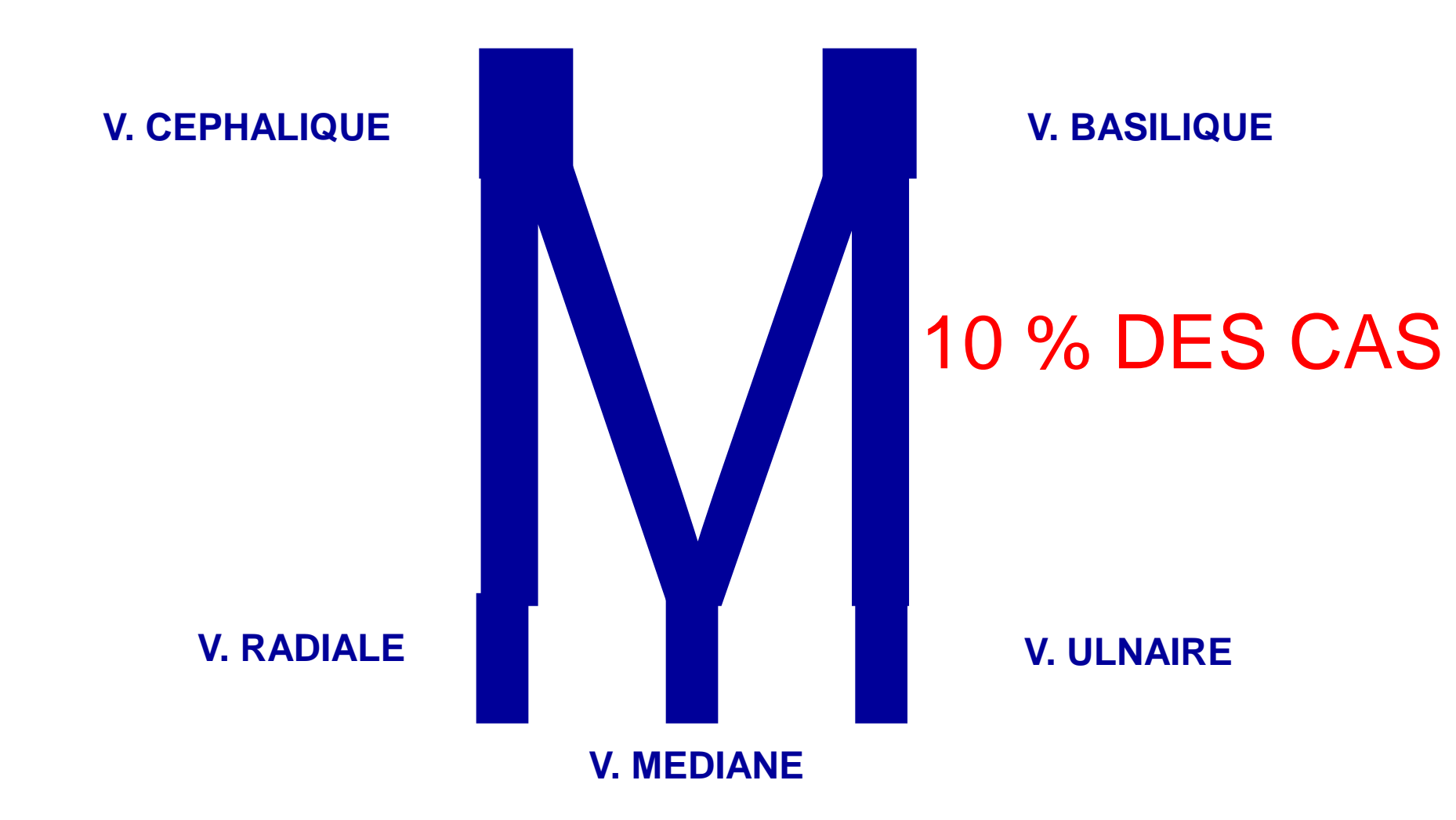
« M » VEINEUX DU PLI DU COUDE

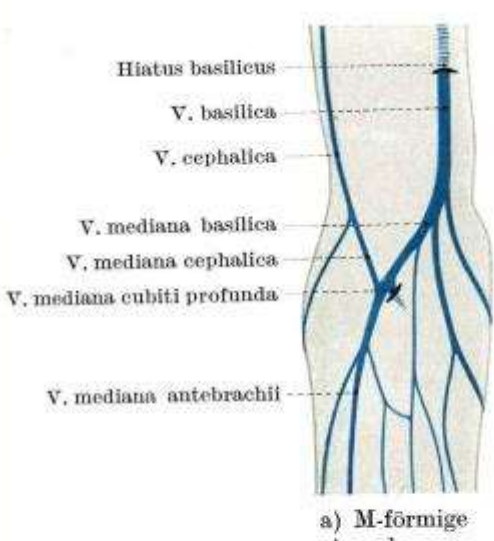


« M » VEINEUX DU PLI DU COUDE



« M » VEINEUX DU PLI DU COUDE

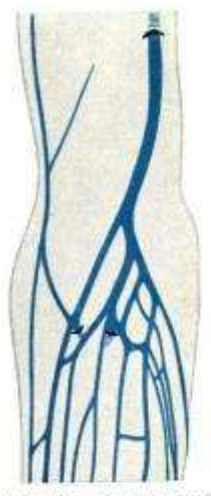




Anordnung.



b) M-förmige Anordnung mit schwacher nung mit vielfachen V. cephalica brachii.



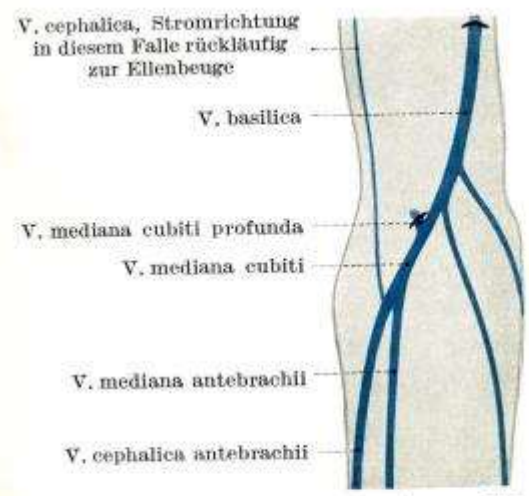
e) M-förmige Anord-Nebenstämmen am Unterarm.



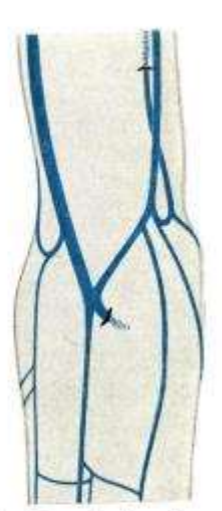
d) V. basilica antebrachii fehlt. V. mediana cubiti profunda aus der V. cephalica.



e) Mehrfache Vv. medianae cubiti profundae.



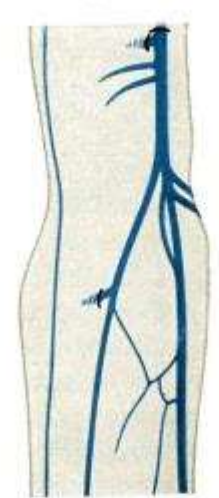
f) V. mediana cubiti. g) V. cephalica bra-V. cephalica brachii rückläufig.



chii stärker als V. basilica.



h) Oberflächliche Querverbindung in der Ellenbeuge fehlt. Mehrfache Vv. medianae cubiti profundae.



i) Oberflächliche Querverbindung in der Ellenbeuge fehlt. V. cephalica vollkommen

selbständig.



k) Ersatz der fehlenden Ellenbeugenquerverbindungen durch Quervene am Oberarm. V. cephalica stärker als V. basilica.

VEINES SUPERFICIELLES DE LA MAIN (PALMAIRES)

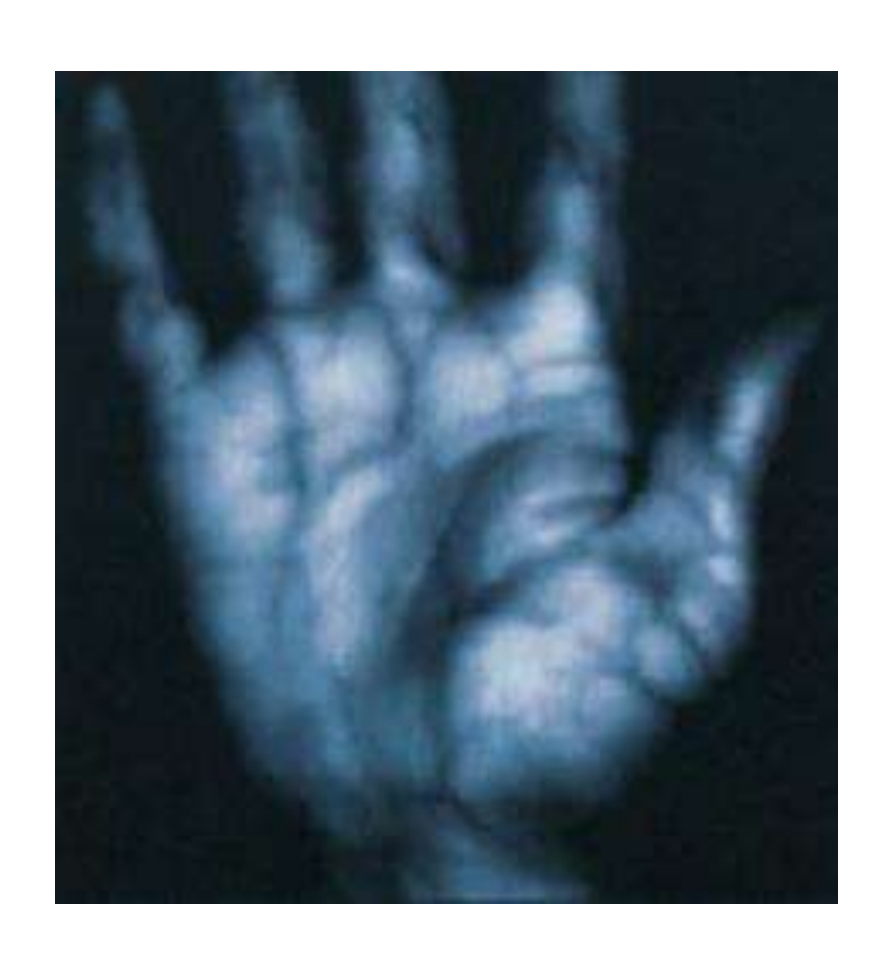


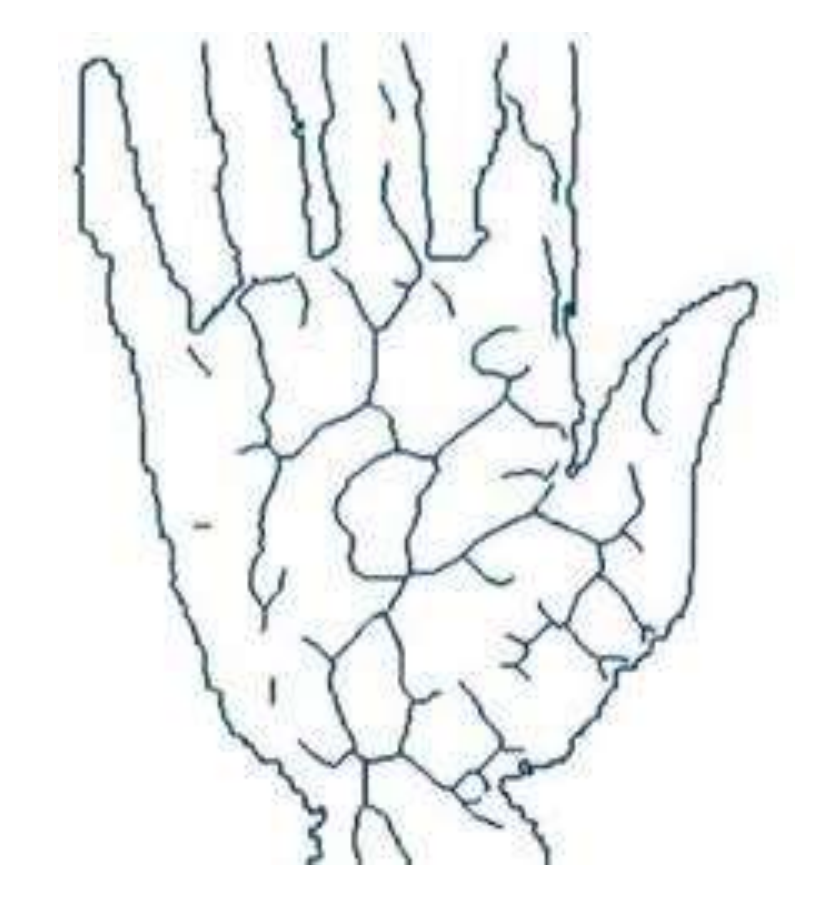
















VEINES SUPERFICIELLES DE LA MAIN (DORSALES)



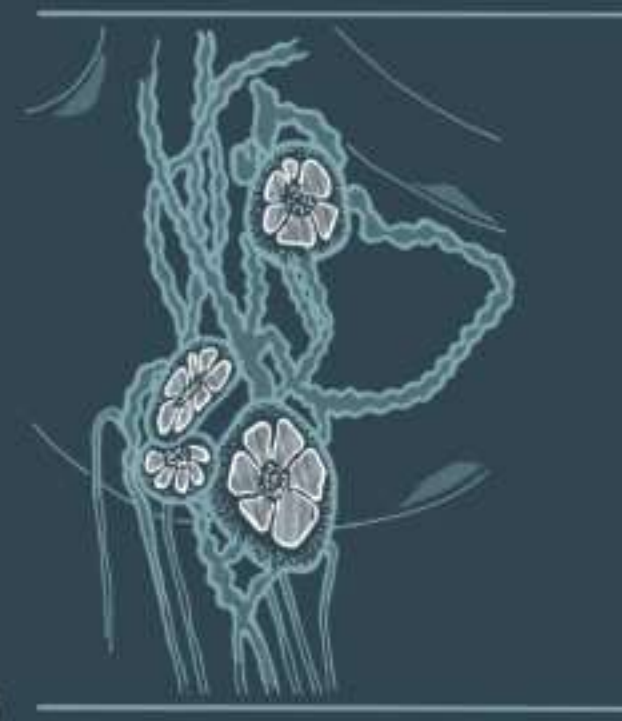
VARIABILITE
VASCULAIRE:
RESEAU VEINEUX
DORSAL DE LA
MAIN

7. Exemples de variabilité lymphatique

K-H. Günter Müller

Lymphographie

Anatomie Technik Diagnostik





Springer-Verlag Berlin Heidelberg New York



